

海洋地球物理

MARINE GEOPHYSICS

国家海洋局海底科学重点实验室 编译

序 言

现将海洋地球物理 (Marine Geophysics) 奉献给大家, 供学习、工作的参考。Marine Geophysics 是 E. J. W. Jones 编著的系统性海洋地球物理专著, 1999 年由英国 John Wiley & Sons 有限出版公司出版。

海底科学研究在二十世纪有过辉煌的成就, 引发了整个地球科学的革命。上个世纪, 在深海、大洋发现绵延八万多公里长的海底山系 (大洋中脊山系) 和相对洋中脊对称的海底地磁条带。这些重大发现促进了海底扩张说和板块构造说的形成, 推动了地球科学思想的巨大变革, 推动了整个地球科学的革命。

海洋地球物理对于二十世纪海底科学的发展有着不可磨灭的突出贡献, 海洋地球物理的快速发展和深厚实力, 如其他学科一样, 是和技术进步密切相关的。海洋地球物理技术对深海大洋的探测, 对于人类认识地球及其随时间变化的过程具有重要的影响, 对于建立现代板块构造理论和引发地球科学革命具有关键性作用。海洋地球物理技术对浅海和大陆边缘的探测, 为人类认识大陆边缘的形成与演化和沉积盆地的形成, 以及寻找石油、天然气等海洋资源占有举足轻重的地位。

这本书的编译着重与海洋地球物理技术有关的内容, 编译海洋地球物理观测的仪器和方法。第二、三章涉及海上测量的精确定位和海底地形的测绘等; 第四、五章讨论探测地球内部最为有力的地震技术; 第六、七章介绍海底重、磁场的测量; 第八、九、十章涉及海底热流、大地电磁和海底放射性的探测; 最后的第十一章讨论海底钻井中的地球物理观测。

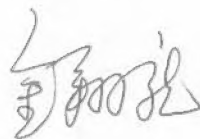
翻译人员名单: 金翔龙 (第一章); 赵俐红 (第二章、第三章); 孙鹏 (第四章); 吴振利 (第五章); 张涛 (第六章); 陈美 (第七章); 尚继宏 (第八章); 李军、章家保、刘春秋、张杰、周普志 (第九章); 赵俊卿 (第十章); 周建平 (第十一章)。

校对人员名单: 金翔龙 (第一章、第二章、第三章); 诸春雷 (第四章、第五章); 高金耀 (第六章、第七章); 方银霞 (第八章); 赵俐红 (第九章); 叶芳 (第十章、第十一章)。

汇总校对: 方银霞、林长松;

制图排版: 徐赛英;

最终校对: 金翔龙。



二〇〇五年七月十五日

目 录

第一章 绪 论	1
第二章 海洋定位方法	16
第三章 利用声呐和机载激光测深技术的海底成像	30
第四章 海洋地震勘探：基本原理	58
第五章 海上地震数据的采集	95
第六章 海洋重力场	124
第七章 海洋地磁场	158
第八章 热 流	196
第九章 海洋电法勘探	217
第十章 海底放射性勘查	245
第十一章 海上钻孔中的地球物理观测	263

第一章 绪 论

1.1 引 言

海洋地球物理测量是为了探测海底和地球内部的性质及其行为。这些测量不仅能满足我们对于我们这颗行星组成和运行规律的自然好奇心，而且还具有非常实际的应用价值；通过这些测量我们可以找到和开发那些为现代工业社会所赖以生存的矿物资源。随着现代科学技术的飞速发展，目前我们已经可以测量下列几项内容：

1. 地球重力加速度
2. 地磁场
3. 由于爆炸或地震而引发的海底地震位移和水柱中的压力变化
4. 海底热量的传输率
5. 海底电势
6. 通过海底的电流
7. 海底的放射性

为了记录海底的地面位移、热流和电流，与固体地球直接接触或把测量仪器直接安放于海底或者安放在钻孔中是非常必要的。对地震压力波动及地球重磁场的测量，我们能在移动船上进行，并且用这种方法收集空间信息要远比用海底传感器收集快得多。尽管通过飞机和卫星能更快速地测定重磁场且覆盖面积大，但其分辨率较低。随着测点与海底间距离的增加，地球物理特性小尺度变化的影响逐渐减小，以至于我们无力解决单个地质特征的问题。为了能够获得更好的构造细节，我们最好能够把测量仪器安放在海底或拖在海底之上，或者干脆安放在钻孔里面。

海洋地球物理学家所采用的测量方法与陆地上的有很多相似之处，例如海底热流传输率的大小主要取决于地温梯度和热传导。由于海底的热结构往往要比陆地上的稳定得多，所以这种测量在深海中确实是要显得更为直接一些。然而海洋环境却给地球物理学家提出了更为尖锐的问题。由于大部分的测量和试验是在相隔很远的区域中进行的，所以需要有一个精确的全球覆盖的导航系统；如果连测点位置都不精确的话，那么测量得到的物理参数就会变得毫无意义。在移动船上进行重力测量时，所测得的总加速度里面包含了较大的外来加速度，我们必须加以剔除。当我们要对地磁场进行记录时，无论是在船上、潜艇上、飞机上还是卫星上，传感器必须远离记录平台的磁感应。当我们用压敏水听器探测地震波在海水中的传播过程时，观测是在诸如船震动或水运动引起的压力波动条件下进行的。自由漂浮的仪器也会由于风或流的作用而发生相应的漂移。由于仪器是浸没在海水中的，所以它要求特殊的数据记录和数据传输到海面的方式，并且在设计时也得考虑到要能经受得起外界的流体静压力、侵蚀、拖应力和便于在恶劣海况下投放和回收的结实手柄。同时我们也必须记住，海水是一种电介质，因而海底的电流、时变磁场和电场都会受到其传导率的影响。然而，虽然由于测量平台与海底之间传导性良好和

扰动的巨厚水层造成很多困难，但实际上在海洋中的许多地球物理测量往往要比陆地上的容易而且也要快一点。

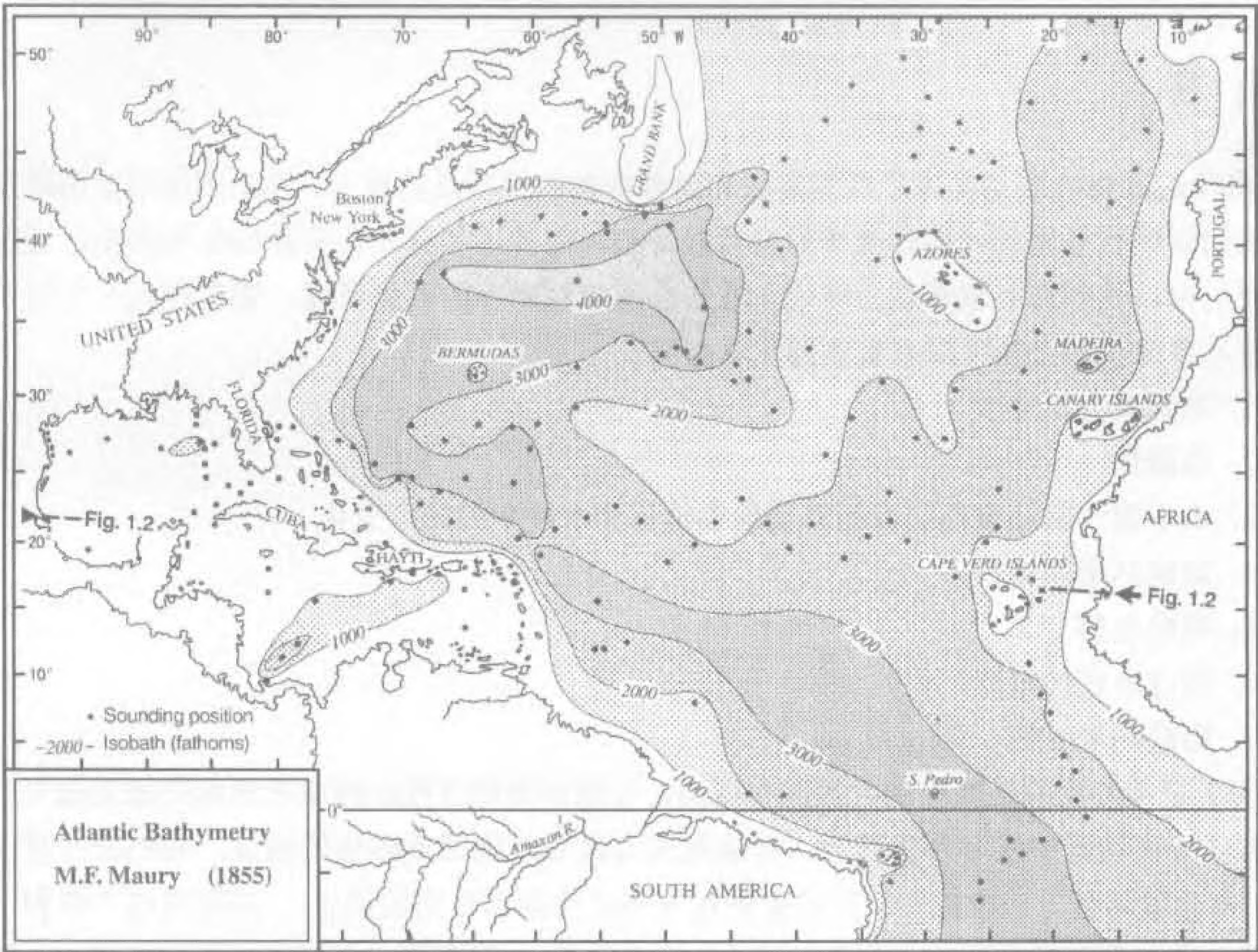


图 1.1 北大西洋水深图，据 1855 年 M.F. Maury 发表的图版重绘。水深线的单位是英寻(1000 英寻=1829m)。虽然单点回声测深的间距较大但还是较清楚地勾画出了大陆边缘、深海盆和大西洋中脊。图上 Maury 所用的地名现在仍保留着。

1.2 海底地貌：地球物理测量的框架

许多海洋地球物理测量关注的是海洋中主要地形形态的结构、起源和演化的调查与研究。最早对海底地形进行测量是在 18 世纪开始的水文测量和 19 世纪的海洋探险中采用的重锤单点水深测量。如图 1.1 和 1.2 是 1855 年 M.F. Maury 测量得到的墨西哥和西非之间的北大西洋水深图和测深剖面。虽然当时测得的深度点很少但已能清楚地揭示出毗邻大陆的浅台地、通往深海的陡坡、中大西洋的较浅区域及加勒比海边缘的深海沟。

图 1.3 给出了一个世纪后对该区应用电子测深技术得到的详细水深图，该图摘自 1984 年的世界大洋水深图 (GEBCO)。它描绘了 Maury 测深图勾画的大尺度地形特征的复杂性。从图上可知有四种海底地形：

- 1. 大陆边缘；
- 2. 深海盆；

3. 大洋中脊;
4. 深海沟。

图 1.4-1.6 分别给出了这四种海底地形的剖面图。大陆边缘位于大陆和水深大于 3500-4000m 的海盆之间。邻近海岸区域而相对平坦的台地构成大陆架，其坡度十分平缓，平均约为 1:1000。陆架向外延伸到陆架坡折处，海底在此变陡，陆坡也开始于此。陆坡坡度平均约为 1: 30，很少有 1: 5 的坡度。但在海底峡谷处却发现了近垂直的坡度，如美国东部峡谷深深地切入了陆坡。在某些地区诸如佛罗里达和几内亚，深度为 800-1000m 的边缘海台位于陆架和陆坡之间。

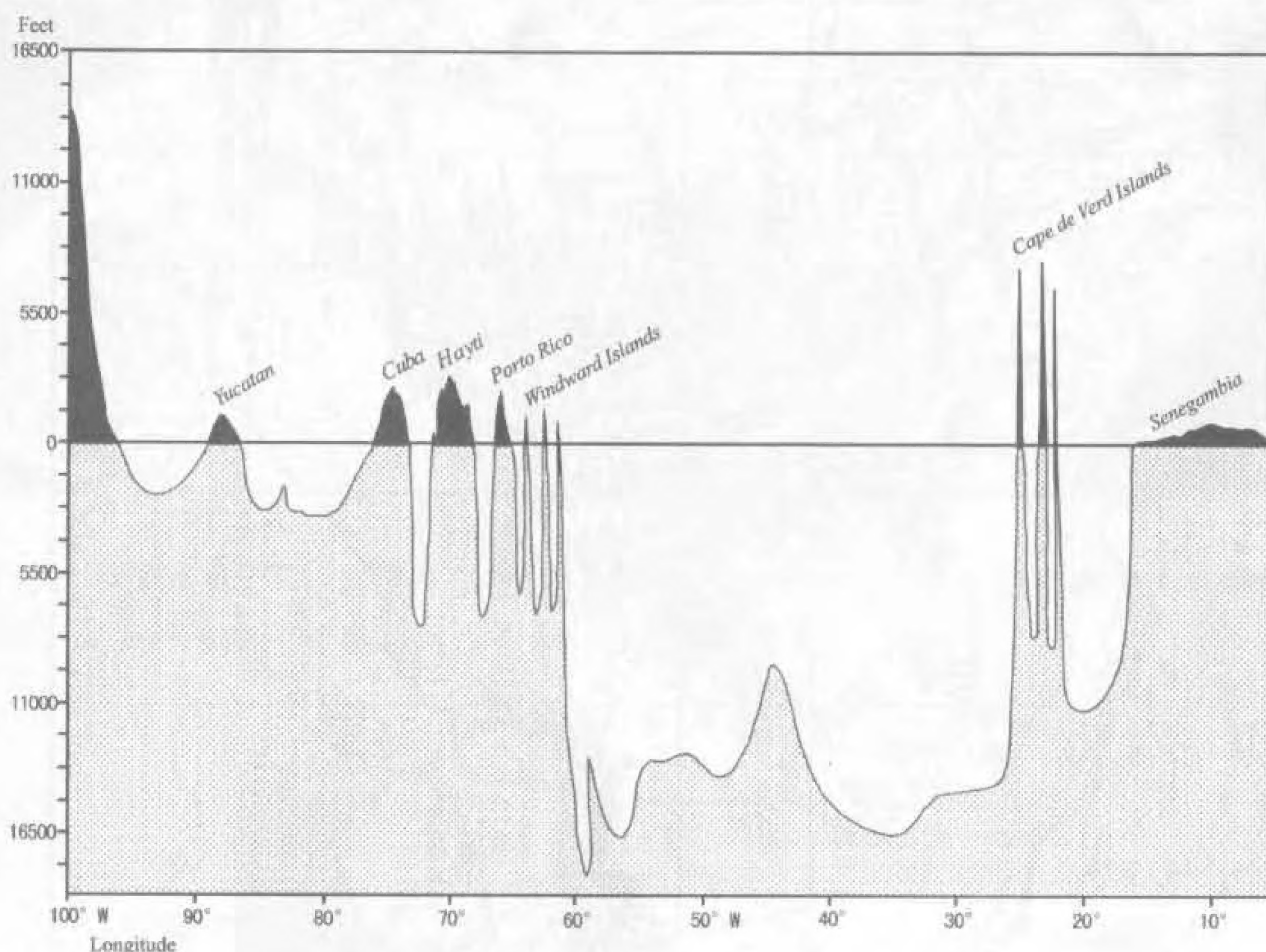


图 1.2 M. F. Maury 于 1855 年出版的墨西哥与西非间的测深剖面图。图上水深和陆地高程的单位是英尺（5500 英尺=1676m；11000 英尺=3353m；16500 英尺=5029m）。剖面的具体位置见图 1.1 中的指示。图上所标地名是 Maury 当时所用的。

在北大西洋，陆坡延伸到水深 4000m 处。坡脚处出现陆隆，其平均坡度为 1: 300。在一些地区，大的海山和海山群破坏了陆隆的平滑度，有一些海山岛如百慕大群岛、佛得角群岛、加那利群岛、马德拉群岛等都露出了海面。穿过该区的深海峡使海底局部变陡。在西北非和其它一些地区陆隆延伸了几百公里而在有些地区譬如佛罗里达、几内亚等地却缺失陆隆。在波多黎各及其相邻岛屿也同样缺失陆隆，但在这儿出现了另外一种重要的地形：即水深超过 7600m 的深海沟。该地形特征在图 1.2 Maury 绘制的剖面中就已经有所显示，这一点在用电子测深数据绘制的图（图 1.5）中看得更清楚。沿着大西洋边缘，陆隆和深海平原（地球表面面积最大的平坦地区）混在一块，这儿的平均坡度大约为 1:1000。

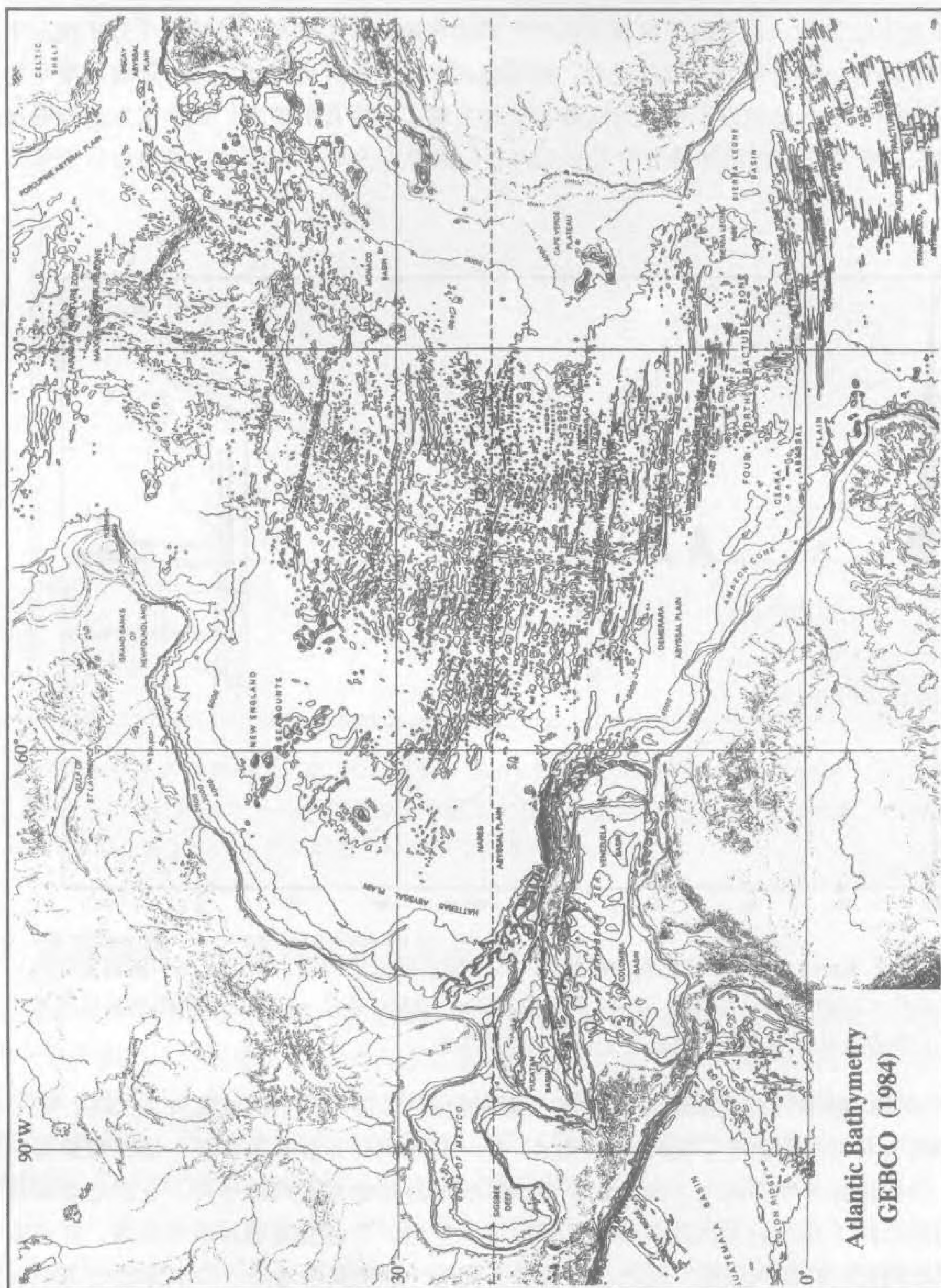


图 1.3 北大西洋的部分水深图, 摘自 GEBCO。单位是米 (加拿大水文测量局, 1984)。

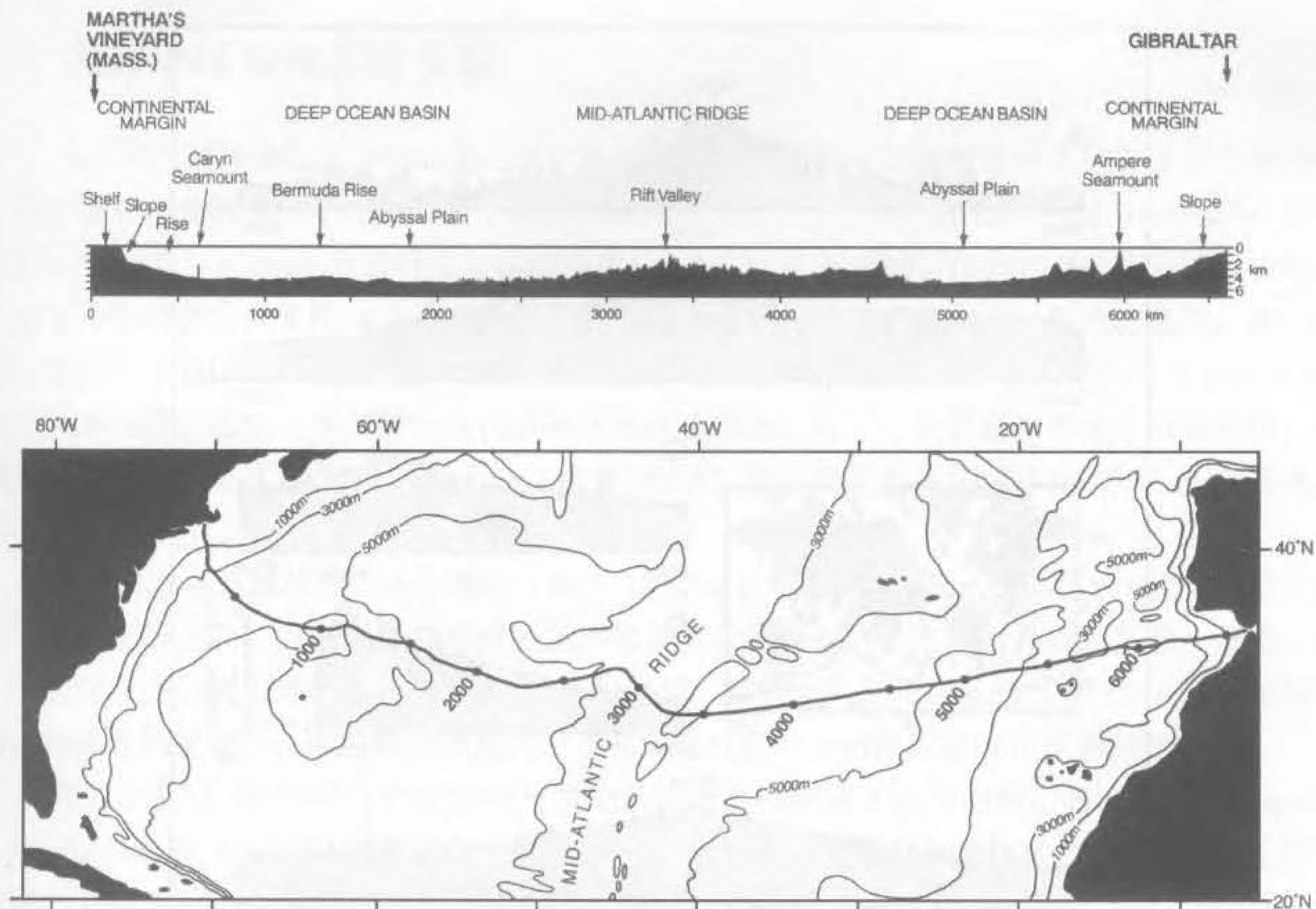


图 1.4 大西洋横穿马萨诸塞州与马撒葡萄园岛、直布罗陀之间的水深图(据 Heezen 等, 1959)。经美国地质学会的允许后引用, 版权归美国地质学会 (1959)。

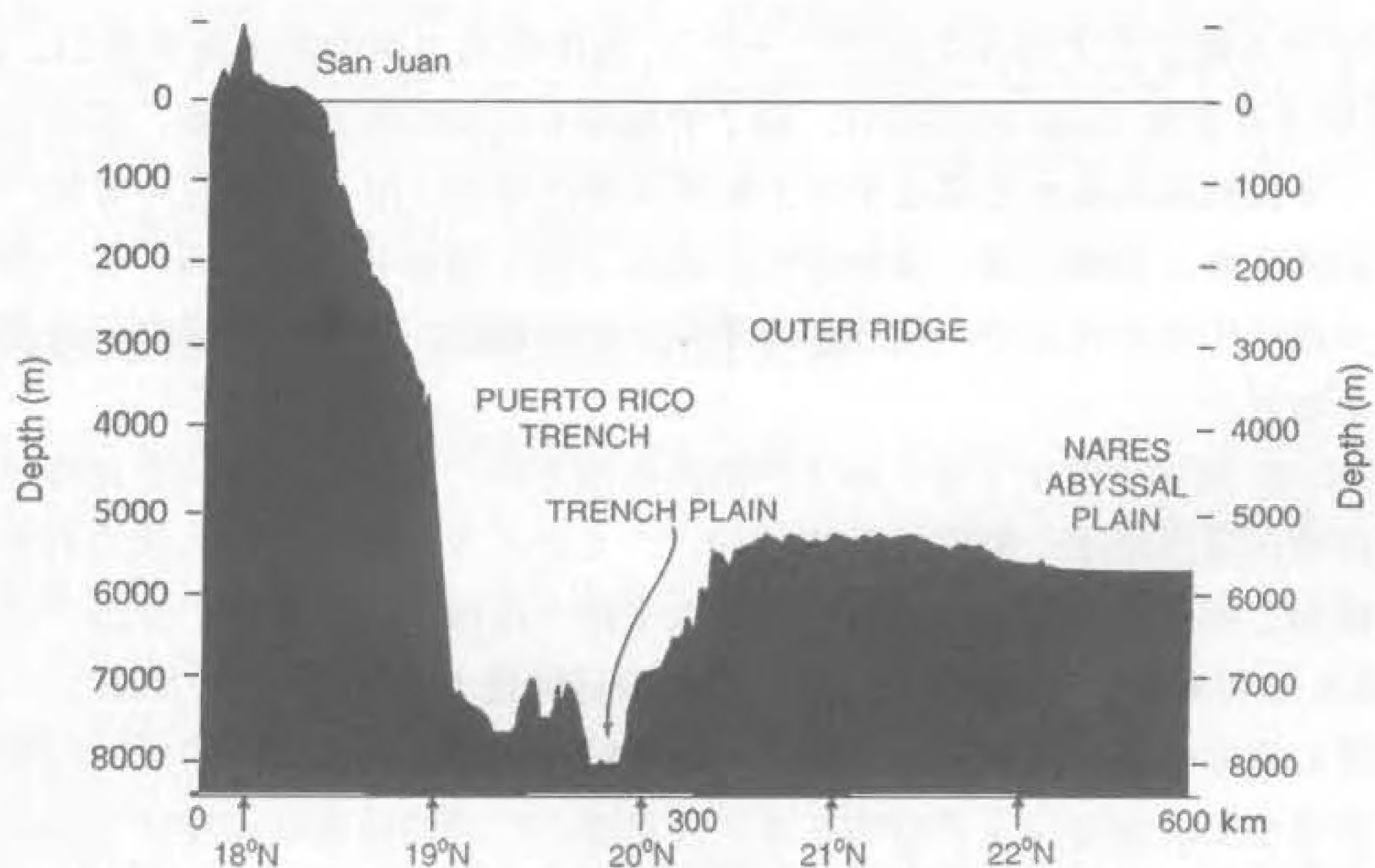


图 1.5 波多黎各海沟测深剖面图(据 Ewing 和 Heezen, 1955)。经美国地质学会的允许后引用, 版权归美国地质学会 (1955)。

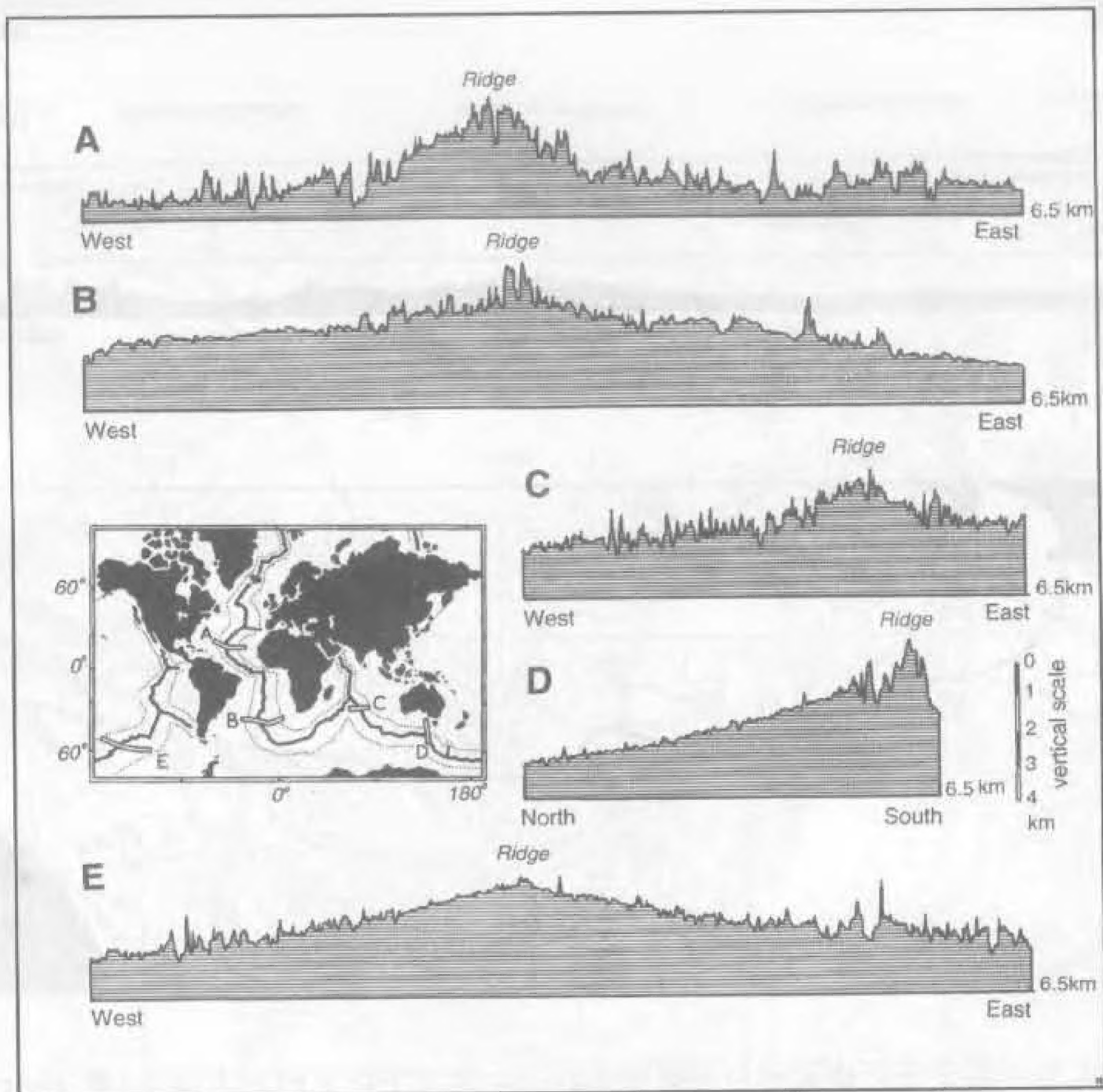


图 1.6 大洋中脊系统五个部分的测深剖面图（据 Heezen, 1962）

大西洋中脊占据了北大西洋中部的三分之一，该中脊高出两侧的深海平原 2km 以上（图 1.4 和 1.6）。在脊顶有宽约 50km 的深裂谷。除了脊轴被长的横切断裂带错断，表现为深峡谷和陡峭海脊以外，脊翼的地形基本上都是平行于脊顶呈线性排列（图 1.3）。在中脊的一些地方还分布着几个大的孤立海山和海山群，其中有些还高出了海平面如亚速尔群岛。在一些地区，宽的大洋隆起从大西洋中脊向外延伸，构成深海平原之间的隔障。位于大西洋赤道的塞拉里昂隆起就是这样一个地区。

图 1.7-1.10 简单地给出了世界四大洋的海底地形图。大西洋中脊向北延伸进入北极，向东进入印度洋并在这里形成一倒置的 Y 形结构，一支进入亚丁湾一支进入澳大利亚南部。在澳大利亚和南极洲之间的部分继续向南太平洋的太平洋—南极洋洋脊延伸，并进一步向东太平洋隆起延伸，进入加利福尼亚湾。洋脊系统的其他部分延伸进入东北太平洋。如图 1.6 沿着 8000km 长的洋脊系统的地形在各个地方有很大的不同，从崎岖的地形和大西洋中脊的裂轴部分到东太平洋隆起的平缓地形。深海沟主要分布在太平洋边缘。广袤的陆隆在印度洋北部的印度河和恒河河口处形成了一扇形构造（图 1.9）。印度洋也包含有几个显著的线性构造，如东经 90 度海岭和几个大高原（西部的塞舌尔滩和东部的布罗肯海脊）。跟大西洋相比较，深海平原并不是太平洋的主要地形，而海山链和长火山脊，如北太平洋的帝皇海山链，才是其主要的地形。

1.3 海洋地球物理学的发展

为了得到固体地球的一些信息,进行磁偏角,即罗盘指针与地理北极之间夹角的测量是船上地球物理测量的第一项任务。最早的世界海洋等偏图是由 Edmond Halley 在 1698-1701 四年间用海军舰艇 Paramore 号进行三次科学考察后于 1702 年发表的。作为以等值线形式发表的第一张地球物理测量成果图,它是当时在天文定位和地物目测不可能时进行航海的基础。然而磁偏角随时间而变化这一点是众所周知的。Halley 认为这与地球深部相对于其外壳向西旋转有关,这是动态行星的思想,至今仍为现代地磁学的核心思想。为了不断更新世界大洋等磁偏图,对海洋磁偏角的测定从 Halley 时代一直延续到本世纪,给人们提供很多关于地磁场长周期变化及其起源的信息。

在海洋上进行地球重力场的测量开始于 19 世纪后期 C. W. Siemens (1876) 用重力测深计进行水深测量的实验。但由于其测量精度还不如使用铅锤测深的精度因而没有得到推广使用。第一个研究海底的重力测量实际上始于约 50 年以后,即 F. A. Vening Meinesz 于 1948 年在潜艇上用钟摆装置测定重力。他的精细测量揭示了与构造过程有关的洋底密度存在侧向变化。

在二十世纪 30 年代人们把陆地用的电法和地震法应用于海洋测量。C. Schlumberger、M. Schlumberger 和 E. G. Leonardon 为了能从电流差和势能差中得到基岩的深度,于 1934 年在离阿尔及利亚不远处海域使用了海底电缆。与此同时, M. Ewing、A. P. Crary 和 H. M. Rutherford 于 1937 年在美国东部的浅水区进行了开创性的地震测量; E. C. Bullard 和 T. F. Gaskell 于 1938 年在不列颠西南部的浅水区也进行了地震测量。通过测定水下爆破产生的弹性波的传播过程,来确定大陆架以下低速沉积厚层的位置,并为后来近海石油工业的发展奠定了基础。

二次世界大战后海洋地球物理学发展迅速。野外勘探调查已远超出近岸区进入深水区,甚至大洋。这彻底改变了我们对于整个地质过程、海底特性和我们所生活的这个星球演化的认识。同时它也明显改变了我们发现和开采海底资源的方法。下面我们详细讨论一下海洋地球物理学在近几年之所以会如此欣欣向荣的几个原因。

1.3.1 海洋地球物理学对全球地质的主要贡献

直到 20 世纪 50 年代我们对地球的演化史和组成还主要来自于对大陆的研究。以陆地为基础的研究给我们留下了许多无法回答的地质问题。其中主要有以下四个基本问题:

1. 从地质意义上来看大陆和大洋有什么不同?
2. 大洋是怎样形成的?
3. 洋盆的年龄究竟是多少?
4. 在整个地质历史时期洋盆及其边缘是怎样演化的?

早在 20 世纪初, F. B. Taylor 和 A. Wegener 就认为海洋是很年轻的,它是通过大陆地块的漂移分裂而形成的,其实这一想法最初的提出距今已有 2 个世纪 (Romm, 1994)。证据主要来自于对化石的研究、对岩石层序中气候指示的研究和对造山带结构的研究。除了少数几个以外,大多数地质学家认为大陆漂移理论没有说服力,也不能改变他们认为海洋形成于很早的地质历史

时期并且是固定的认识。20 世纪五、六十年代的地球物理学研究推翻了以往有关海陆演化史的思想。海洋调查结果清楚地说明海洋要比大陆年轻而且两者在结构上也有很大的不同。洋壳是通过火成作用形成的，在这儿，组成地球外壳的这些刚性块体或岩石圈板块发生分离。板块构造理论很好地概括了岩石圈板块的相互作用及其演化史。

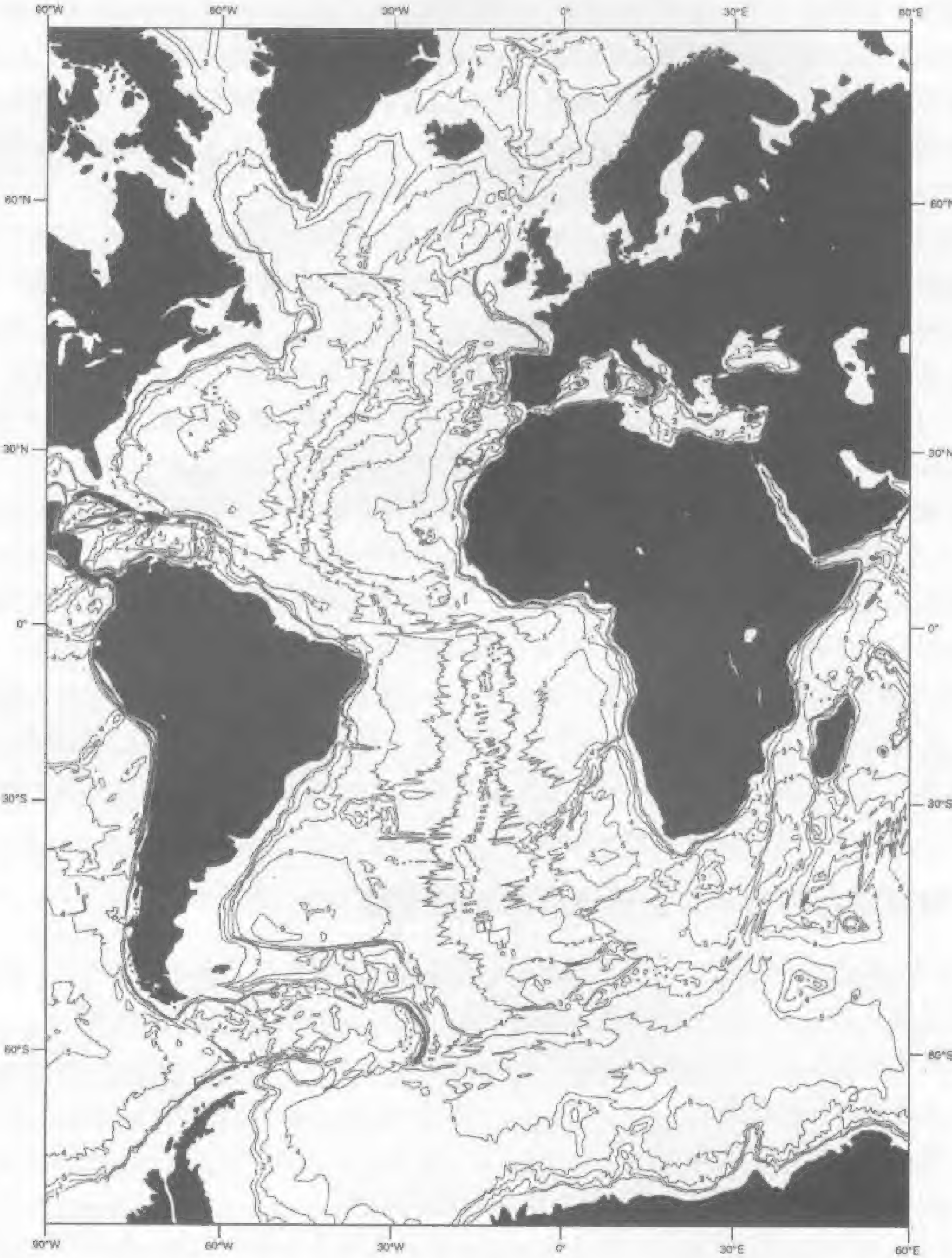


图 1.7 大西洋水深图, 将 GEBCO 图简化后得到的 (加拿大水文测量局, 1984, 水深线的单位是千米)。

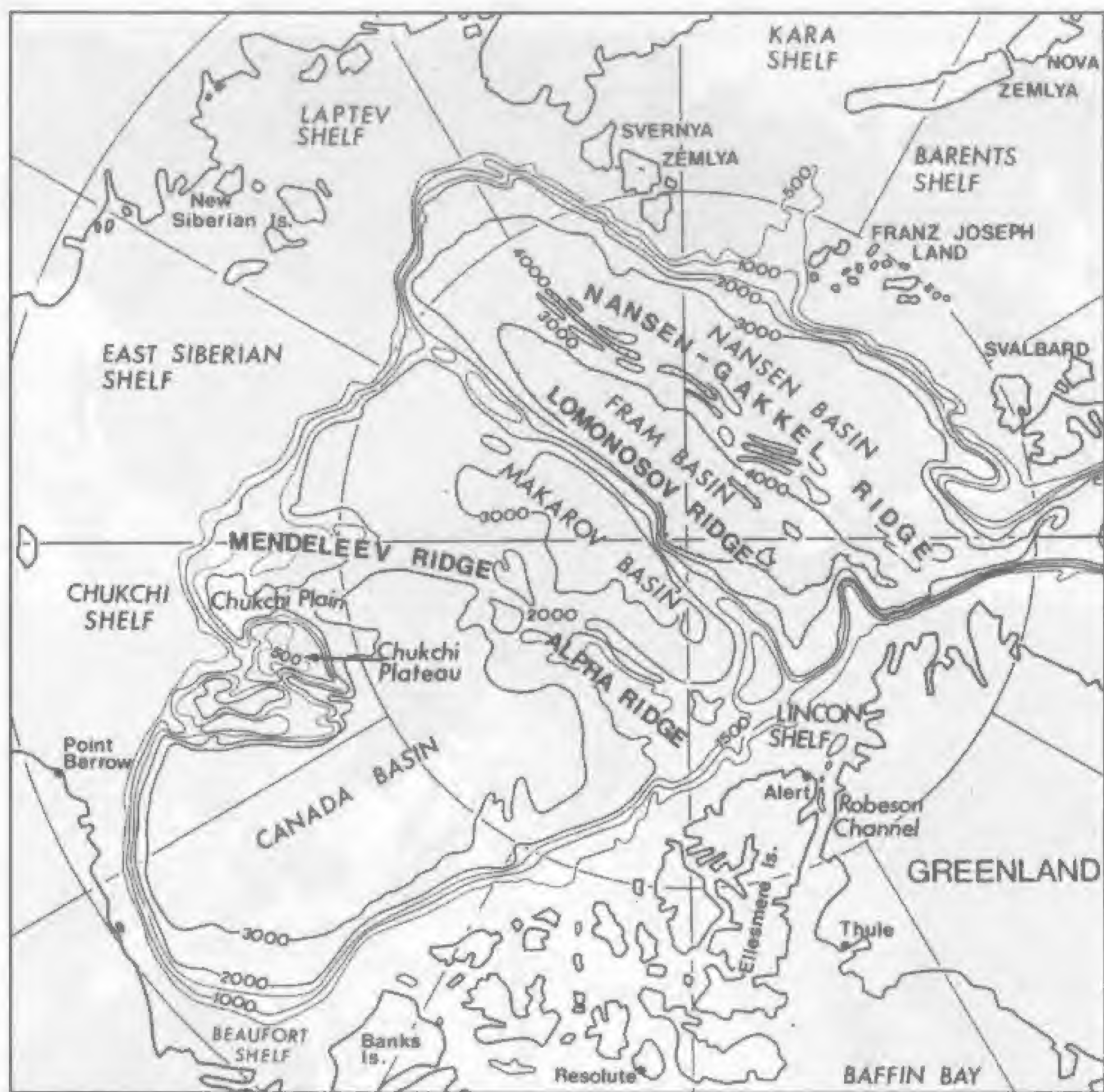


图 1.8 北冰洋水深图，单位是米（据 Weber 和 Sweeney，1990）。经美国地质学会的允许后引用，版权归美国地质学会（1990）。

1.3.2 对军事科学的影响

二战期间进行的军事性质的海洋研究，在 1945 年以后对地球物理学的发展产生了重要的影响。它为在敌对的海洋环境中进行地球物理测量提供了专门的技术和一些基本仪器设备。战争时期必需迅速改进探测潜艇和其它水下目标的技术。他们主要根据声波的检测和地磁场中的摄动，制造了一些海洋地球物理仪器，如高精度的地磁仪、水听器和可频繁进行水下爆破的仪器。为了扫除声学 and 磁性水雷，使其在安全的地方引爆，设计出拖曳式声源和产生高强度磁场的电缆。为着战术上的考虑，有必要很好地了解海洋中声波的传播过程，尤其是水层变化和海底特性对声传播的影响。1945 年以后，许多致力于这些问题研究的科学家纷纷进入了大学、研究所和勘探公司工作，更加开放的非军事生活环境给地球物理学的发展提供了巨大的推动力。在冷战时期海洋地球物理研究的军事目的更加突出，这主要体现在调查研究船只的提供和海底特性及起源研究的经费支撑上。来自军方的资助仍在继续，并且已经扩大公开以前保密的海洋信息，譬如水深测量数据、使用核潜艇进行极地研究和应用海底水听器阵列检测地震的发生 (Langseth et al., 1994; Fox et al., 1995)。

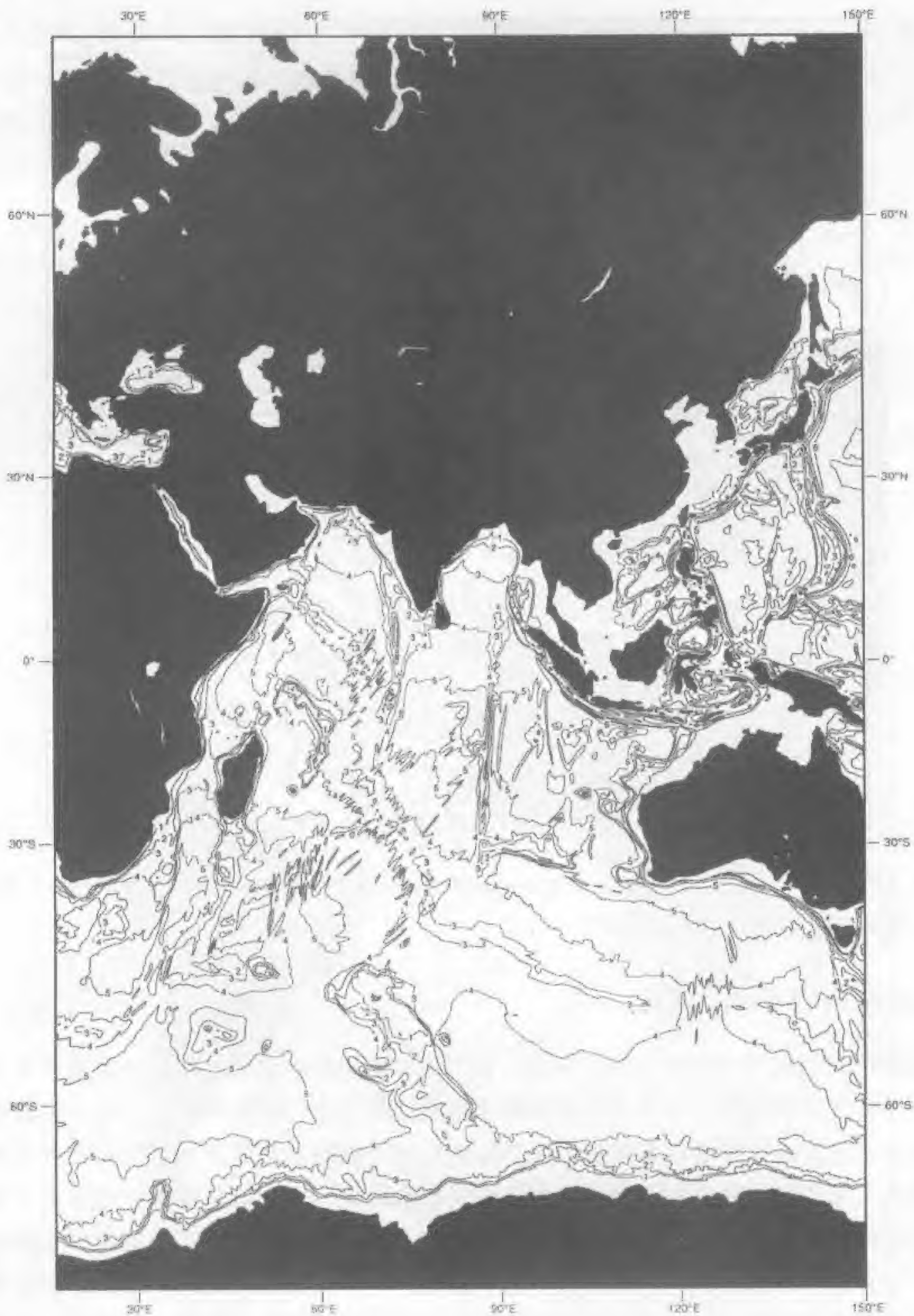


图 1.9 印度洋水深图, 将 GEBCO 图简化后得到的 (加拿大水文测量局, 1984, 水深线的单位是千米)。

1.3.3 石油和其它矿物资源的需求

随着战后工业的快速发展, 为满足人类对石油和其它矿产资源需求的增加, 早在 20 世纪 60 年代海洋地球物理学就得到快速发展。然而, 值得我们重视的是许多海洋地球物理学的经济

利益的获得不是来自于特殊目的的调查而是来自于受好奇心驱使而进行的研究。世界上原油产量的 20%多来自于近岸区（图 1.11），据估计海洋中蕴藏着大约 40%的未开发石油。二战后的一些年来海洋上商业性质的地球物理勘探主要局限于沿岸水域，如墨西哥湾附近地区。众所周知，陆地上的厚层产油沉积层序一直延伸到了大陆架。最初使用改装过的战时的地磁仪在飞机上进行地磁测量。由于沉积物的磁性要比下伏基岩的磁性小很多，所以与其它勘探方法相比，磁场空间变化提供了一种既快又便宜的技术，它能很好地评估发现含油沉积层的远景。到 20 世纪 60 年代早期每年都要飞行 800000 多公里的测线。同样，为探测低密度沉积盆地而设计了能安放于海底的仪器，这种仪器能进行地球重力场的点测。尽管观测速度很慢，但也已经探测到了很多诸如北海和美国东部的沉积盆地。

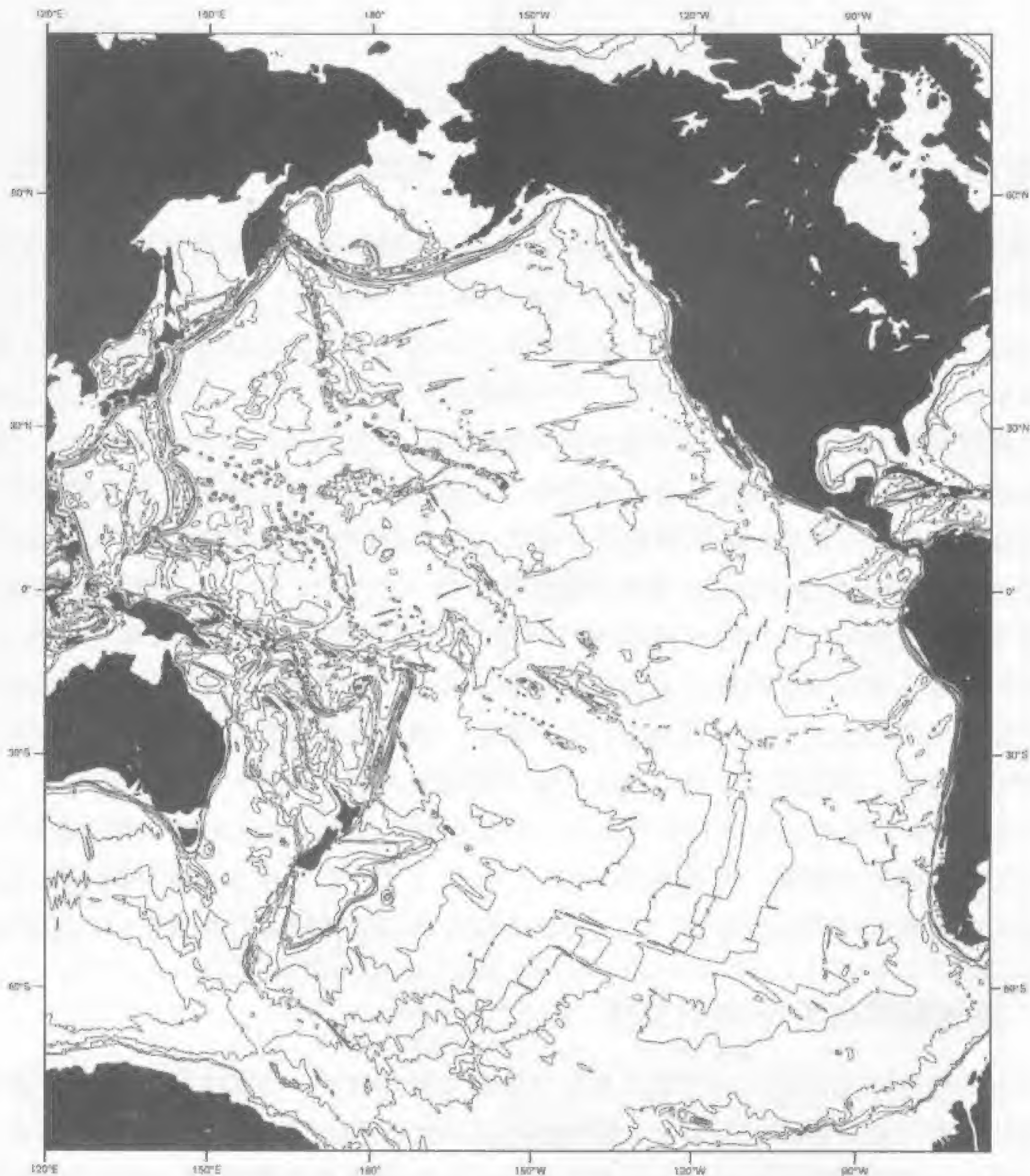


图 1.10 太平洋水深图,将 GEBCO 图简化后得到的(加拿大水文测量局,1984,水深线的单位是千米)。



图 1.11 主要的近岸产油区（据 Cook 等，1992）。版权归 John Wiley&Sons 出版公司。

20 世纪 40 年代中期很多商业公司利用地震方法在墨西哥湾和加利福尼亚的浅水区域寻找油气资源(Sheriff & Geldart, 1995)。野外勘探技术几乎和陆地上的一样。据报道，在 1953 年大约有 100 个地震队在近岸工作。在记录每个炮点时为了保证海底地震接收器稳定，测量数据获取的速率非常慢。为了加快野外操作，并且将勘探扩展到深水区，必须把重点放在从行进船上获取地震剖面的方法上。目前海洋地球物理勘探在这方面已经取得了很大的进步，最初提供的是二维地震结构，最近则提供三维地震结构。海底几千米详细的地震图像不仅使我们发现了大量的石油，而且通过结合钻孔资料的研究使我们对大陆边缘的演化有了更进一步地了解。

非石油矿产资源的勘探只是近岸地球物理作业的一小部分。然而，在各类水深范围的研究大大促进了高分辨率地球物理技术的发展，这种技术能用于探测海底或近海底的精细地质构造。深海底的矿物资源包括铁锰结核、金属硫化物和富含铁、铜、锌、银和金的热液堆积等。在大陆架现已经应用海洋地球物理方法对砂石料、磷矿、热液矿床和含石英、锡、金、铂、钛和锆矿物的砂矿等进行了勘探调查。这些沉积矿床一般来说只有几米厚。从开采量来看，由沙子、砂砾和珊瑚、贝壳碎屑组成的砂石料是目前大陆架上最重要的非石油矿物资源。在 40 年前要进行深海开采几乎是不可能的，但目前在技术上已经可行了。由于很多勘探依赖于市场情况和专属经济区以外矿物勘探的法律条文，因而对商业勘探活动的评价常常会发生一定的变化。

1.3.4 调查船和其它平台的使用

海洋地球物理学的发展与调查船只和平台的使用密切相关，它们有效地扩大了调查范围、检测了新的仪器并且开展了新的实验。20 世纪五、六十年代由于政府对海洋调查的大力支持并且给了科学家充分的空间开展他们的研究，因而海洋地球物理学在这期间取得了前所未有的进步。战后大洋磁条带、热流和地震构造的发现对板块构造理论的发展起到了重要的作用。到了六、七十年代为了繁荣经济、发展科学，大量的多学科调查船，大洋钻探船（Glomar 挑战者号）

和商业地震勘探船开始执行任务。同时为了获得地球的重磁场和进行精确的导航定位，发射了好几颗卫星。用于海洋调查的仪器不仅用在上述这些平台上而且还用于破冰船、核潜艇、驳船、飞机、载人潜艇和遥控潜水器上。那些漂动的冰岛对于极区的研究是非常重要的。一般来说气垫船和 SWATH 船（小水线面双体船）主要用于浅水区的调查。诸如 USS Pargo 这样的核攻击潜艇对于基础研究非常有用。因为它们的运行速度是普通船的二倍以上，而且声学上是安静的，并不受海况和冰况的影响。

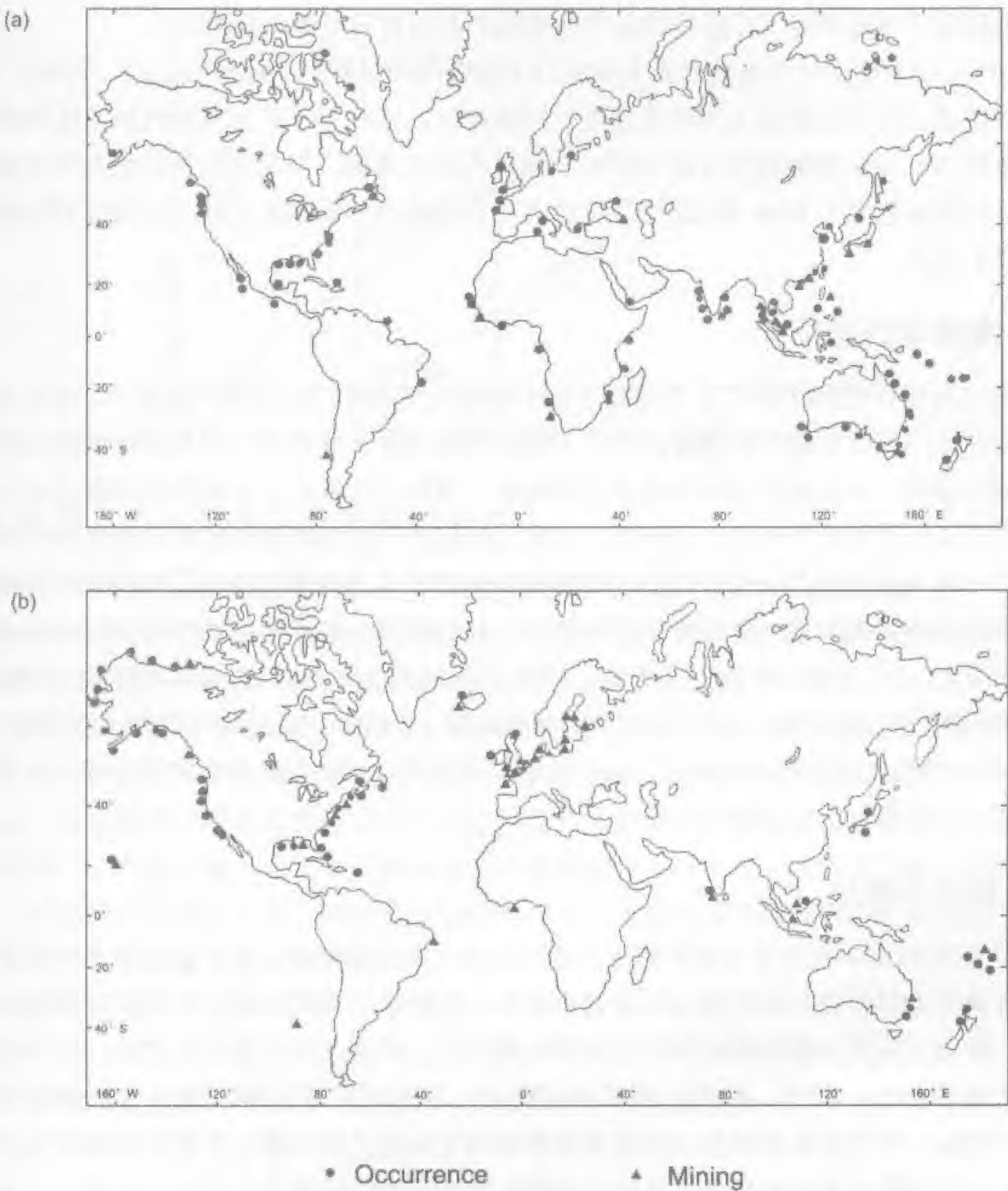


图 1.12 近岸矿产的赋存区和开采区分布：(a) 富含铬铁矿、石英、钛铁矿、磁铁矿、独居石、金红石、锡、铀、锆石的砂矿分布图 (Packer, 1988)；(b) 沙子、砾石和碳酸钙沉积区分布图 (Packer, 1988) (据 Cook 等, 1992)。版权归 John Wiley&Sons 出版公司。

1.3.5 导航系统的发展

从地球物理勘探这个角度出发我们对海洋的认识主要依赖于精确的定位。在过去 40 年里导航技术上的巨大发展有利于改变海洋地球物理勘探的方式。它们大大促进了实验作业的发展,同时允许我们在远离大陆的地方进行详细的勘探。传统上船只的航行是通过天文定位或者是根据已知地物进行目视定位或者是用指南针定位。这些定位方法一直使用到 1945 年出现军事应用的电子导航系统为止。电子导航系统是基于无线电脉冲信号和连续无线电波传输基础上制成的,它大大地提高了导航精度,尤其是在那些远离海岸并且有云层覆盖的地区。

在 60 年代中期卫星传输信号首先被应用于调查船的导航(Talwani et al., 1966)。最初,运行于极轨道上的卫星能给大部分海域进行间歇定位。这些卫星后来又被同步卫星群替代了,它们是美国 GPS 导航系统和前苏联 GLONASS 导航系统的基础,当前这两种导航系统能进行连续定位并且其精度达到了 100m 甚至更好。同时几千米范围内的精确定位能由已知位置的海底声传输器网络上得到。

1.3.6 海洋学的国际化

尽管海洋地球物理学的许多发现是来自于研究组的活动,或是独立地进行,或是以松散合作的方式进行。但很多重大发现还是来自于国际间的合作,这是由它自身的性质决定的,它要求大范围的调查,不管是在空间域还是在时间域。国际合作促进了无数考察和新实验技术的开发、大洋区的研究和多学科的交叉研究。同时它也促进了数据存储和转换的研究网络中心的建立。1957—58 年的国际地球物理年会为提高地球物理学在地球科学中的重要性做了许多工作。尽管在国际地球物理年期间海底研究相对较少,但后来国际海洋地球物理勘探变得越来越受重视。包括 1962—63 年的国际印度洋考察、1963—70 年的上地幔计划、国际海洋十年研究计划、70 年代的国际岩石圈计划、1968—83 年的深海钻探(DSDP)、1984 年开始的大洋钻探(ODP)和 1988 年开始的大洋中脊(InterRidge)计划。在欧洲,MAST(海洋科学与工程)计划在研究大陆边缘时广泛使用了地球物理方法。

1.3.7 新技术概述

海洋地球物理学的发展主要依赖于仪器的进步。和其它科学一样,海洋地球物理学上的许多创新也来自于材料技术的发展。在无数贡献中,材料技术为我们提供了许多探测海洋环境的传感器、微电子装置、高性能计算机、地球轨道卫星、高强度的电缆和光纤缆,以及海底仪器使用的抗腐蚀合金、陶瓷、玻璃、塑料和部件等,以及远距离长期安置设备所需的先进电源(Lynch, 1989)。用来测量重磁场、热流和地震结构空间变化的仪器,提供了研究海底的特性及其资源,以及导致大陆边缘和海洋盆地形成的地质过程的详细信息。

系统存储容量的增大和数据传输、处理及成图的加快对我们进行海量地球物理资料的收集、分配和分析产生了很大的影响。当前的计算机技术允许我们一旦得到海量数据就可进行处理和显示。同样也可通过互联网和其它网络相互交换数据(Menke et al., 1991)。20 世纪四、五十年代商业公司发明在录音磁性上或磁盘上以模拟或连续时间形式记录地震信号的方法。现

在采用了磁带记录，先用模拟信号的形式记录下来，然后再把它存储为离散的数字信号。尽管模拟信号记录仍用于数据质量监测，但大多数海洋地球物理观测资料都是以数字信号的形式记录的，因为数字信号记录系统的动态范围比较大而且易于分析处理，可提高地球物理信号的质量。如图 1.13 形象地说明了自 1955 年以来计算机技术取得的巨大发展。目前很多地球物理计算都是在高性能的独立计算机和交互式工作站上进行的，保证了海量数据资料地顺利处理。

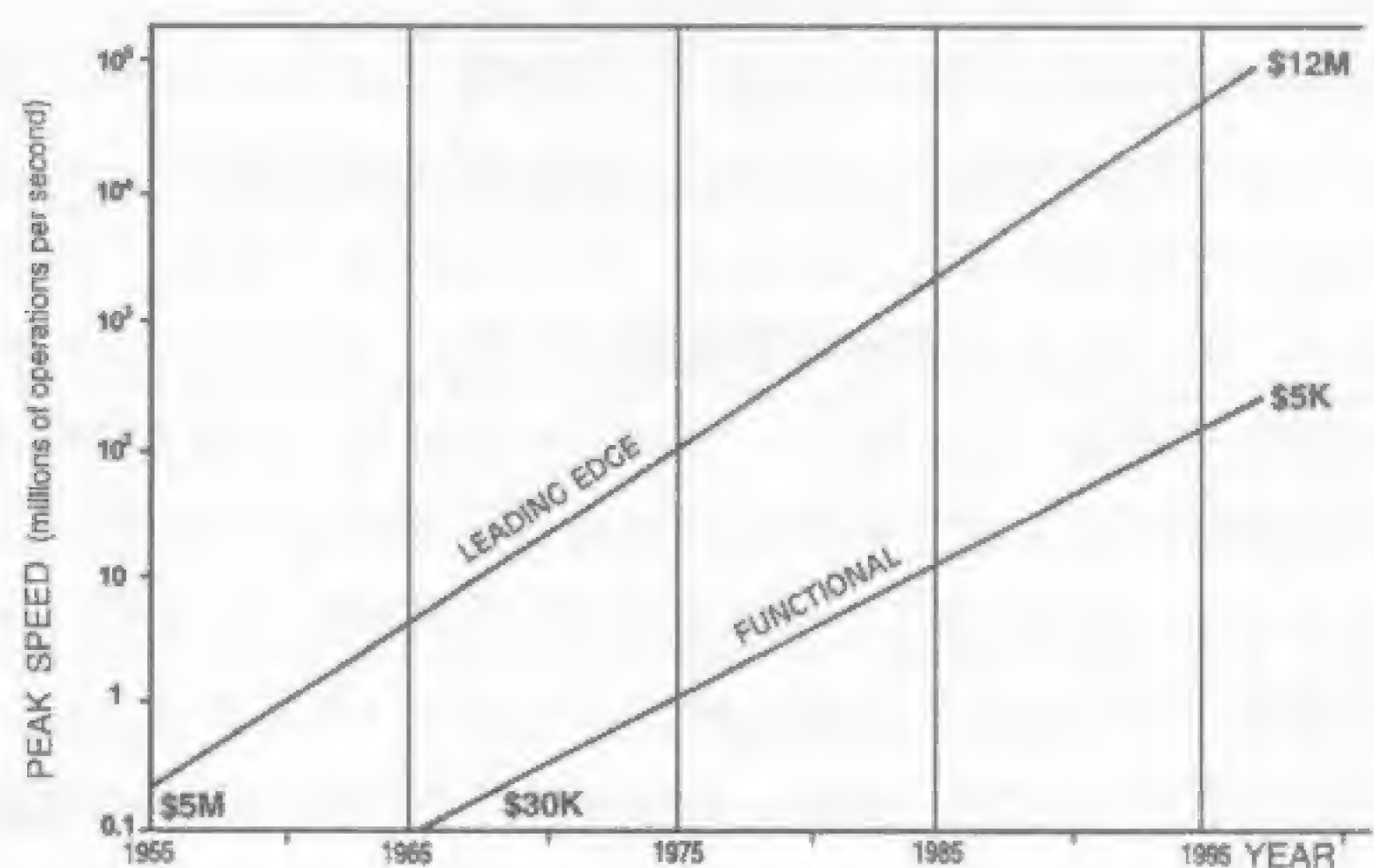


图 1.13 从 1955 年到 1995 年计算机的发展情况图。该图经美国地球物理学会允许后引用。

1.3.8 提高人类对海洋环境的影响意识

随着对海洋开发程度地加大，人们开始注意到了人类对近岸海洋环境产生的严重影响 (Laughton, 1994)，这不仅体现在化学污染上而且还延伸到了很多领域，如海底扰动和地震勘探的高强度声波对海洋生物会产生有害影响 (Richardson *et al.*, 1995)。在过去的 50 年里海底产油区已经从近岸水域逐渐延伸到了大陆坡。在 50 年代一般都在水深几米的地方采集油气，现在发展到在巴西和美国南部水深超过 1000m 的海域开采油气，而在墨西哥湾的勘探井水深却超过了 2200m。高分辨率声呐和地震技术对于确定可能的灾害具有重要的作用，灾害可以崩裂和毁坏海底装置，并严重污染大片水域。地质灾害主要包括含气沉积层中的浅层气囊、冲刷（性）通道、边坡的坍塌和断层等等。同时地球物理勘探技术也被用于寻找铺设电信电缆的安全路线和诸如沉船及考古地址等非地质构造的调查上。

废弃物安全处理是当前社会的一大问题。据估计世界人口将由 90 年代中期的 58 亿增加到 2020 年的 79 亿，到了 2050 年将会有 100 亿的人口 (United Nations, 1995; Lutz *et al.*, 1997)。如果一直维持当前生活水准的话，这样的人口暴涨将给我们的废物处理带来严峻考验。长期以来海底作为城市和工业废物的主要倾废区，但环境的恶化迫使我们去研究曾用过的倾废区和具有倾废潜力的区域。例如将核电站、推进装置和核武器产生的高放射性废物置于大洋底的设想等，推动了仪器和高分辨率地球物理技术的发展，以便检验洋底物理性质和环境的稳定性。海洋石油平台的退役和它们在海洋中的可能处置也同样促进了地球物理技术的发展。

2.1 引言

为了搞清海洋地球物理测量结果的地质意义，必须要与具体的地理位置联系起来。在早期，船只主要是通过对日月星辰的观测进行导航定位，除非船只离岸很近，可以依据陆标来定位。天文观测得到的瞬时定位误差通常可达 1km 以上，在长时间阴天情况下甚至会超过 10km。在海底地势起伏较大的地方，船只航线交汇处水深测量的不同，显然说明导航的不成功。虽然这种重叠误差可以通过航线校正得到一定的减小，但对于许多测量，尤其是有关地球重力场的测量，不精确定位在简化原始测量结果并建立适合反演海底结构的模型计算方面将产生巨大误差。

随着无线电定位系统和水声测量定位系统的发展、卫星的广泛使用以及战争的需要，近海定位技术得到了迅速发展。现代化定位系统的精度已达到了 100m 甚至更好，它不仅在地球物理方面而且在整个海洋科学界产生了重大影响。在我们讨论应用于海洋地球物理测量的定位方法之前，我们先回顾一下几种主要的定位方法。表 2.1 已详细列出了这些方法。

2.2 无线电定位技术

2.2.1 引言

无线电定位系统可以分为两种：一种是通过测定船只与已知地理坐标的发射器之间的电磁波走时来定位，另一种是通过测定数个固定发射站连续发送的电磁波的相位差来定位 (Ingham, 1975)。如果传播路径的方位角能用定向天线测到，相对于固定点的位置便可以从脉冲波的传播时间和无线电波的速度(空中为 $\sim 299650\text{km/s}$) 来确定，这就是船用雷达的原理。同时也可通过测定固定天线向各个方向发射的电磁波的传播时间来定位。如图 2.1 假设 A、B、C 为三个岸台，它们同时向外发射脉冲波，其信号均由船在 V 处接收，这样通过传播时间便可确定 V 点距离 A、B、C 三个岸台分别为 6km、4km 和 5km，所以 V 点就可以从三个射程圆的交点上唯一确定。

同样也可通过测定数个固定发射台同时发射的脉冲波的到达时差来定位。如图 2.2a，D、E 为两个海岸发射台。沿着以 D、E 为焦点的双曲线轨迹上的各点相对于 D、E 具有相等的距离差或脉冲时差。假定船位于双曲线 DE1 上的某处 V 点。为了确定船只在这条线上的位置需引入第三个发射点 F (如图 2.2b)。假定从 D、F 点发射的脉冲波差距将确定船只置于双曲线 DF2 上；则 DE1 和 DF2 的交点就是船只的位置，并且两者之间的交角越接近于 90 度其精度就越高。同样也可以利用 E、F 的脉冲波信号来定位，这里为清晰起见，略掉了另外的双曲线。

海上定位也可以利用连续波传输，通过比较同步发射站的信号相位来确定。如图 2.3a，假设从 G、H 天线分别发射相同波长为 λ 的正弦波，在 GH 连线的中点处两束波的相位一致。过 M

点的垂直平分线 GH5 上所有点接收到的信号也是同相位的。在 GH 连线上再取另一点 N 并使 $MN = \lambda/2$ ，使两种信号在 N 点上的相位差是 0。如果船 V 从 N 点开始向外移动，若要保持零相位差，那它的轨迹就一定是双曲线 GH6。如果 V 移动时满足 $VG - VH = n\lambda$ (这里 n 可为 0、正负整数)，它必将顺着以 G、H 为焦点的双曲线簇移动。在零相位差之间的区域即为航线。当加入第三个发射点 I 后也可以绘出相似的双曲线组 G-I 和 H-I，在图 2.3b 中只包括了部分双曲线，船 V 位于 GH6 和 GI4 的交点上，通过比较从 G、H、I 发出的信号的相位差，从三套双曲线坐标中就可确定其位置。

脉冲波和连续波定位系统通常按照传播频率来划分（表 2.1）。

表 2.1 定位系统列表

电磁波定位			卫星定位	惯性定位	声呐定位
低 频 (10-300kHz)	中 频 (1.5-5MHz)	高 频 (200-12000MHz)			
罗兰-C 系统	Racal Hyperfix	Radar	美国海军子午仪 卫星导航定位系统	船用惯性导航 定位系统 (SINS)	多普勒声呐
Chayka	Racal-Decca Hi-Fix6	肖兰/XR- 肖兰系统			海底声学应答器
奥米伽系统		Sercel Syledis	Tsikada		
Alpha		Hydrodist	全球定位系统 GPS/Navstar GPS		
台卡系统					
脉冲/8		Autotape	GLONASS		
脉冲/8-II 系统					
TORAN		Trisponders	差分 GPS (如: Racal SkyFix)		
		RPS			
		Racal Micro-Fix			

2.2.2 高频系统

传统的船用雷达工作频段是 S 波段 1650-5200MHz 或 X 波段 5200-11900MHz，它主要通过测定旋转定向天线和已知方位目标物之间的脉冲波的传输时间来定位 (Lownsborough 和 Calcutt, 1993)。它的量程受地球曲率的影响，特别是当使用高分辨率的 X 波段雷达时，由于反向散射或波涛汹涌的海面和降雨引起的“喧闹”，其测量范围会大大降低。在离岸线几千米之内所做的许多早期地球物理勘探都是用雷达来定位的，其概略精度可达 50m 或更小。当要对海山及洋脊进行详细研究时须把雷达固定在远离滑坡区的锚系浮标上(如图 2.4)。结合天文或其它定位系统得到的测距和方向能获得每个雷达定位的地理位置。为了增加目标强度，在浮标上安

装几组金属角形反射器或装备应答器，使船上能够收到一个放大的雷达脉冲波信号。尽管其测量范围可超过 20km，但该技术却有一个很大的局限性。即为了避免电缆过分拉张，锚系电缆至少要比水深长 10%，因此定位误差常因浮标随着变幻的风海流的运动而产生（如图 2.4）。在恶劣海况时，浮标还会拖动锚系装置。

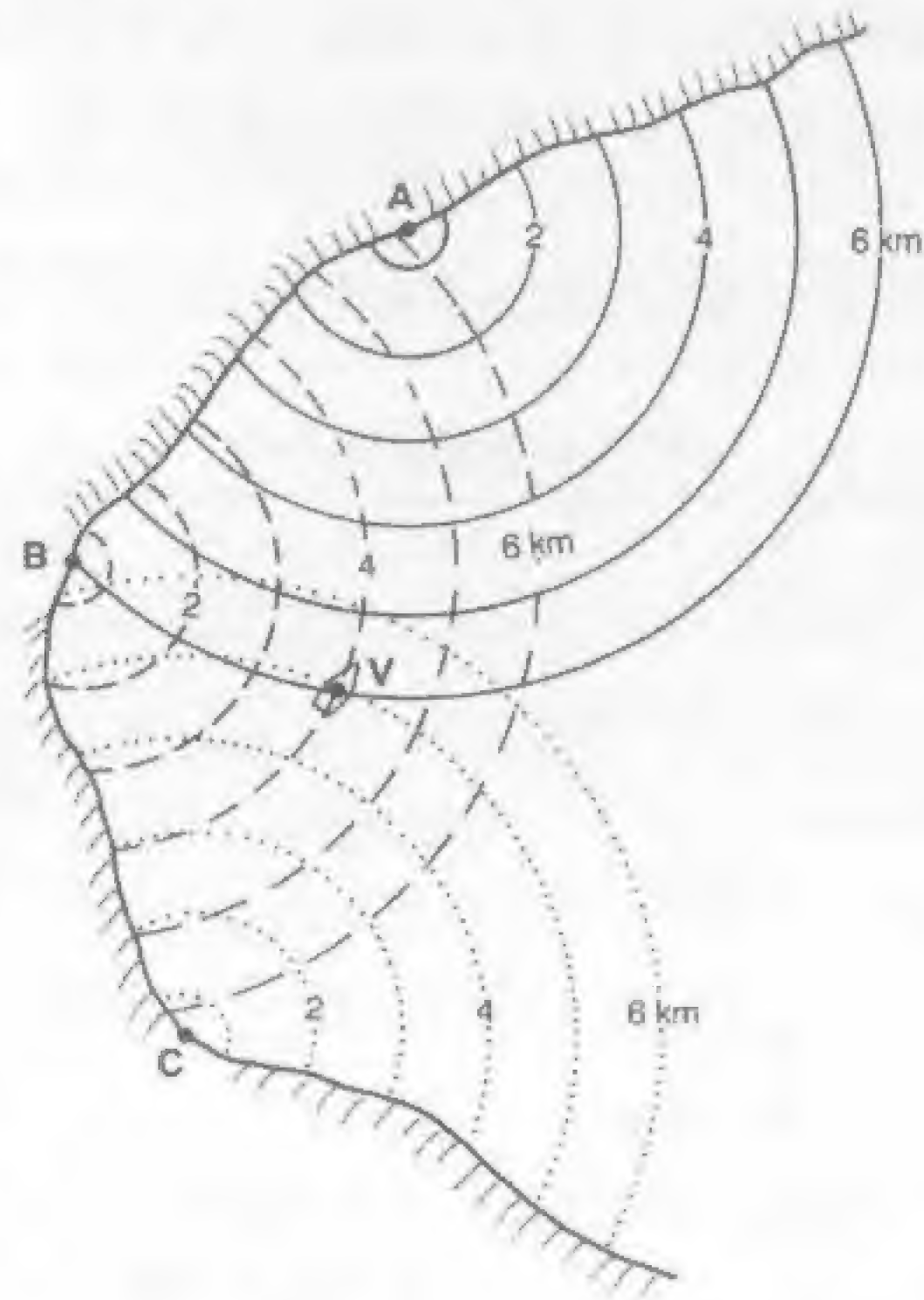


图 2.1 利用船 V 与岸台 A、B、C 之间的无线电波传输时间来定位的无线电定位方法示意图

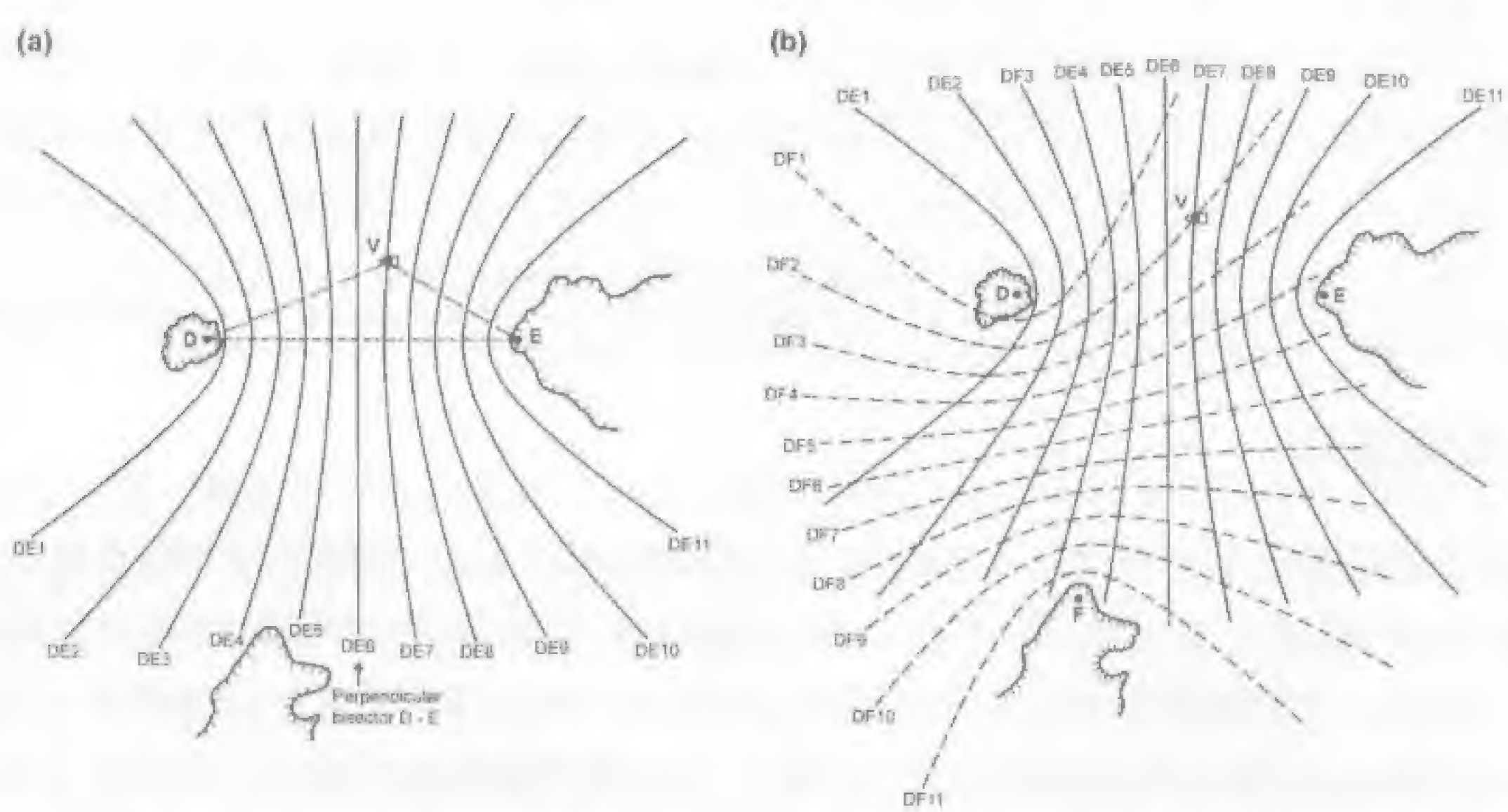


图 2.2 利用固定发射台发射的脉冲波到达时间差来定位的无线电定位方法示意图。(a)通过接收来自 D、E 发射台的脉冲波信号得到船 V 位于双曲线 DE7 上；(b)引入第三个发射台 F，得到船 V 位于双曲线 DE7 和 DF2 的交点。

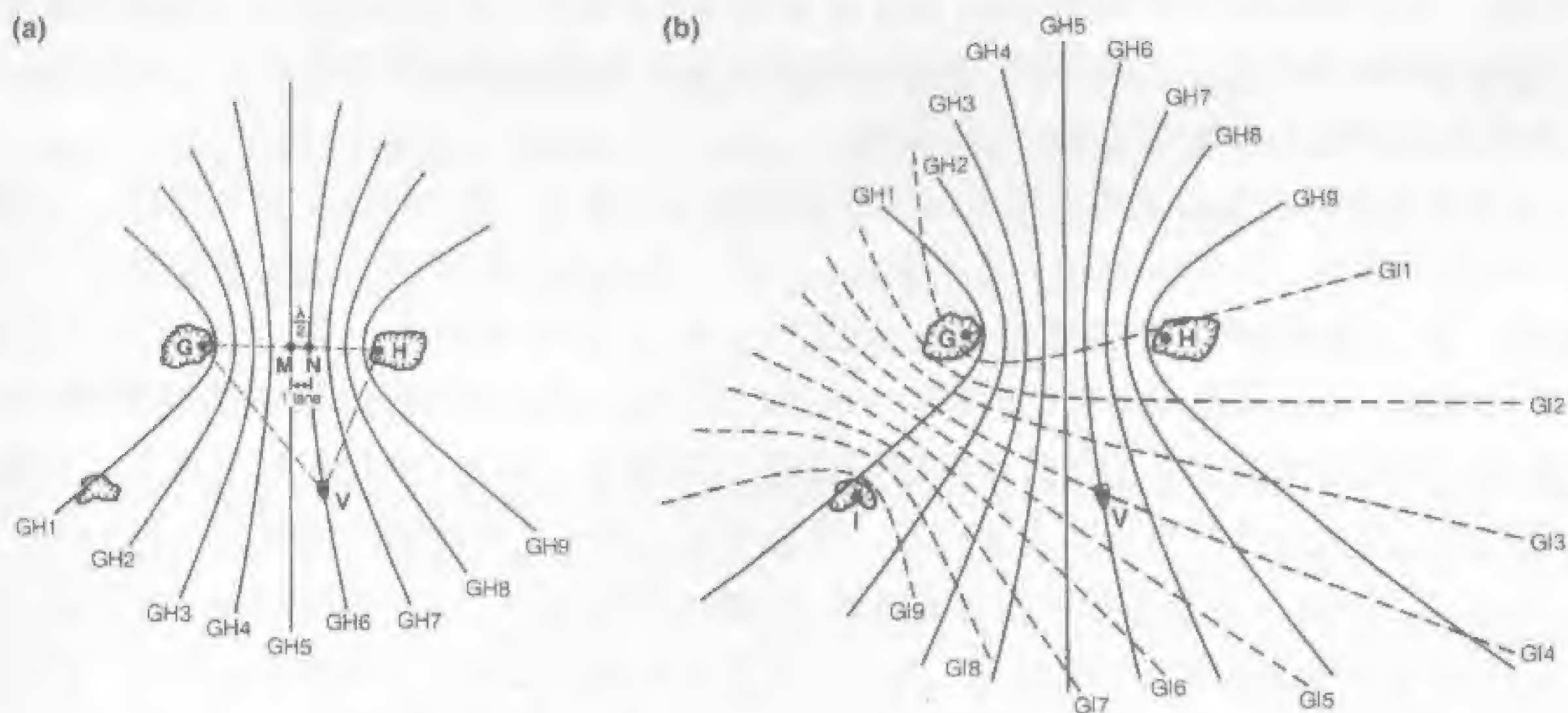


图 2.3 连续波无线电定位方法示意图。(a)两个发射台同时发射波长为 λ 的正弦无线电波，并且在连线GH的中点M处两束波同相。两束波在GH的垂直平分线GH5上各点和通过N点($MN = 0.5\lambda$)的双曲线的相位差也都为零。如图标出了其它的零相位差的双曲线。船V位于双曲线GH6上。(b)引入了第三个发射台I，得到船V位于双曲线GH6和GI4的交点。

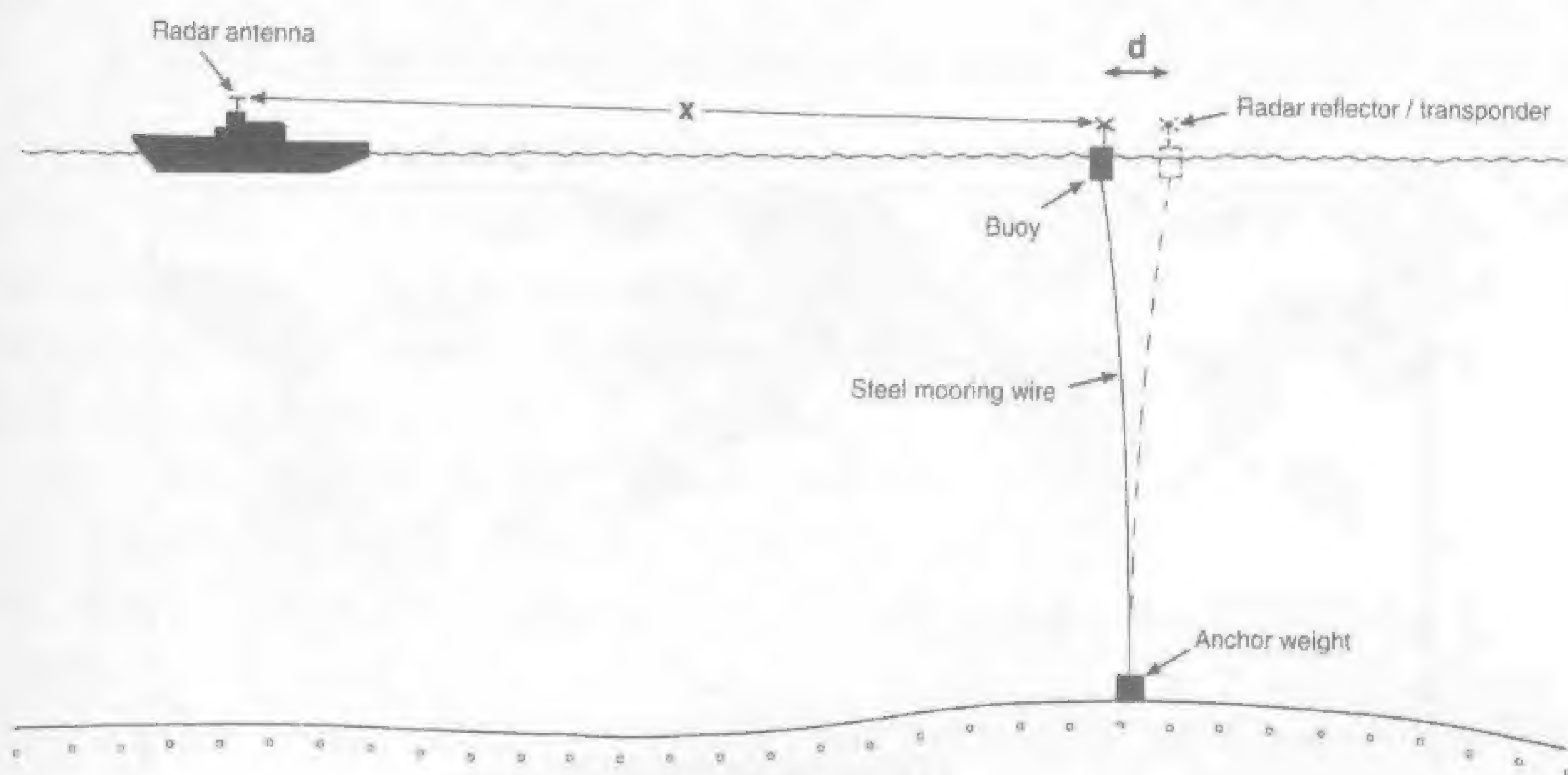


图 2.4 船只的浮标定位示意图。船用雷达能获得相对于浮标的距离 x 及其方向。受风海流影响产生浮标的侧向偏移是该方法定位的主要误差源(据 Robertson, 1990)，经 Kluwer 学术出版社的允许后引用。

目前海洋地球物理测量最常用的高频电磁波系统的工作波段是 200MHz-12GHz，该系统基于固定的发射器。它们的最大测量范围大约相当于直视无线电定位系统的三倍即 $10.9(\sqrt{h_1} + \sqrt{h_2})$ ，这里 h_1 和 h_2 是活动天线和固定台站的高度（单位是米）。接收到直视范围之外的无线电信号是

大气折射、绕射和散射等影响的结果。由于在某些地区如热带, 空气能形成一个低层位波导, 所以在此处高频系统能进行远程传播。高频波段的导航定位系统不会受电离层天空电波的影响, 也不会受传播路径上大地电导率波动的影响。

大量的高频脉冲发射系统应用于海洋地球物理海上作业, 有一些至今仍在使用。二战期间为了发展航空事业, 人们研制成了肖兰系统, 它是一种近程定位系统, 由船置发射器和几个岸台组成。它一接收到脉冲信号就立即返回一个放大信号到船上。肖兰系统的常用频率 (220-400MHz) 要比普通船用雷达的频率 (3-10GHz) 低, 可提供周围约 80km 左右物体的位置。肖兰系统可通过时间分享系统同时被多艘船使用。XR 型肖兰系统 (测程扩展型肖兰) 主要由定向天线和可以放大信号的前置放大器组成, 是为离岸 100km 之外范围的详细定位设计的。

Sercel Syledis 定位系统发射的是 420-450MHz 的频率波。这种系统已被广泛应用于海岸带和近岸油气田的精确地球物理调查, 在这些地方安放在固定钻孔上的测站台增加了岸基的发射机数量, 其精度可达到 5m 甚至更好。通过分时系统还允许几艘船只同时使用一套 Syledis 信标阵列。当几艘船在测距模式使用中继站发射的脉冲波进行定位时, 该系统可在双曲线模式下无限制地运作。

便携式脉冲转发器发射的频率要比肖兰和 Syledis 系统的都高。例如: Hydrodist 和 Autotape 发射的频率大约为 3 GHz, Trisponders 和 RPS 发射的频率约为 9.5 GHz, Racal Micro-Fix 发射的频率为 5.48GHz。Racal Micro-Fix 定位的范围可达 80km 左右, 其定位精度可达 $\pm 1m$ 。Trisponders 多用于大陆架调查以及进行多船地震作业时测量船只间的距离。

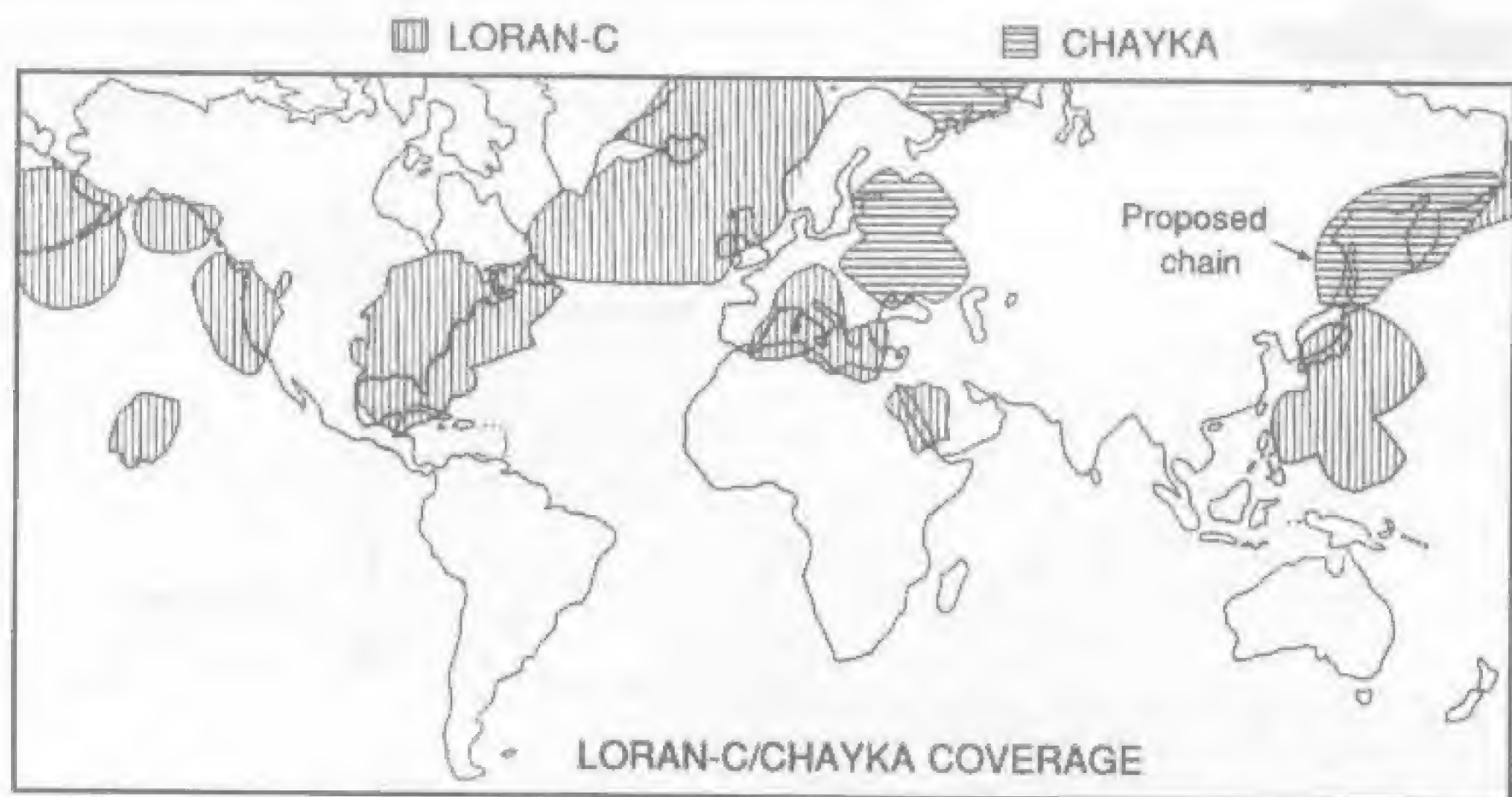


图 2.5 罗兰—C 系统和 Chayka 系统覆盖区, 其定位精度达到了 500m, 有 95%的可信度(据 Ackroyd and Lorimer, 1994)。

2.2.3 中频系统

中频系统的发射频率大约为 1.5-5MHz, 覆盖范围约 800km, 在双曲线模式下这种系统能为许多船只使用; 但在测距模式下会受分序列时槽有效范围的限制。当然我们也可使用一个混

合系统使一些船只使用测距模式，而另外一些船只使用双曲线模式。

例如 Racal hyperfix 和俄罗斯的 Bras-5 Rs-10 就是中频系统。Hyperfix 的发射频率在 1.6-3.4MHz 之间，其白天的最大测距约为 700km，夜间的最大测距约为 300km，定位精度每条航道可达 0.0001，即相当于 1m。如果在双曲线网格中再发射第二个频率信号便可确定航道。Hi-Fix 6 系统发射的是 2MHz 左右的连续波，其定位精度可达 2m。

2.2.4 低频系统

10-300kHz 波段的低频信号通常被用于距离陆地 1000km 以上船只的导航定位，精度一般在 0.5-4.0km 之间。于 1958 年投入使用的美国的罗兰-C 系统和俄国的 Chayka 系统使用的都是从岸台同时发射的编码式连续脉冲波信号。船上接收器利用信号到达的时间差异在参考双曲线网格中进行定位(如图 2.3)。编码式罗兰-C 系统的中心频率为 100kHz，信号传播时间均由原子钟控制。图 2.5 给出了罗兰-C 系统和 Chayka 系统的覆盖地区。

每个罗兰台链，由一个主台和若干个副台（通常为 4 个）组成，各个副台之间相隔约为 2000km，副台与主台之间具有恒定的时差。由于罗兰-C 系统发射的信号是脉冲波，所以不象连续波系统那样易受天波干扰。在距岸 2000km 以外，移动接收器要么直接接收岸上的地波信号，要么接收经电离层一次或多次反射后的天波信号。系统的定位精度在几百公里以内可达 400m，而在 2000km 处约为 4km。天波信号的测距范围大约白天为 4500km，晚上为 5500km，精度一般不小于 3-4km。

在编码式脉冲序列内通过单个循环的相位匹配，在 1500km 或以上范围内的定位精度为 100-300m。要想进一步提高该系统的定位精度需让罗兰-C 系统采用差分模式，根据波速的变化来进行相位偏移校正。信号是由一固定接收器记录的，此接收器位于工区的几百公里范围之内。参考点的地理位置与罗兰系统所获得的位置之间的偏差就能给出用当地波进行相位偏移校正的补偿值。这时定位精度可好于 50m。

Racal 脉冲/8 系统的工作频率为 100kHz，该系统和后来出现的脉冲/8-II 系统用的都是与罗兰-C 相似的脉冲传输系统，是罗兰-C 系统的发展，现在多应用于高分辨率的大陆架调查与研究。脉冲/8-II 系统在 800km 距离的定位精度为 7-10m。该系统已被北海及东南亚海域的一些油田使用。

台卡系统是一种基于低频段连续波的双曲线导航定位系统。西北欧和日本已经使用了台卡台链。该系统的工作频率为 70-130kHz，沿联结两个发射台的基线上，其中心频率可给出 1.5km 宽的航道。白天的最大测距为 800km，晚上的最大测距为 400km，要比罗兰-C 系统的小。每个台卡台链一般包括一个主台和几个链接的伺服发射器，它们发射相关的谐频波。一般使用三个副台。主台负责控制每个副台的发射频率，以确保它们与主台的相位同步。船上接收器的多功能电路为相位比较提供三种频率。在导航图上与发射系统相关的双曲栅格用特定的颜色（红、绿、紫）加以区别。

每航道 0.01 的相位差可提供沿基线的理论定位精度 15m。当不考虑传播误差时，距离发射台 400km 处的定位精度在 50-200m 之间，这个值的可信度为 95%。如果船只已知在几十公里处，

那么通过航道识别信号就可以清楚地确定其具体位置。从已知点保持对航道的计数也可识别出航道来，尽管也会有误差产生，特别是在日出日落时，受天波干扰的影响较大。

美国的奥米伽系统和俄国的 Alpha 系统都是覆盖全球的低频定位系统。美国、阿根廷、澳大利亚、日本、La Reunion、利比里亚和挪威等国均安装了奥米伽发射台。新西伯利亚、克拉斯若达和 Komsomolskon-Amur 等处安装了 Alpha 定位系统。各个台站每隔 10 秒依次发射 10.20 kHz, 11.33kHz 和 13.60kHz 的连续波信号，上述三种信号约为 1s，所有台站都同时使用原子钟来控制时间。如果只使用其中一个导航系统，则需要连续工作以避免双曲网格的航道不确定性。该系统白天的定位精度大约为 1.8km，夜间大约为 3.7km，奥米伽系统也与罗兰-C 系统一样可使用差分模式来定位，定位精度可达 500m 甚至更好，通过使用 10VLF 台站可扩大奥米伽系统的覆盖范围。

2.3 卫星定位

2.3.1 子午卫星导航系统

通过对 1957 年发射的 Sputnik I 人造卫星的无线电信号进行多普勒频移分析，发现如果能从地面追踪站得到卫星运行轨迹，那么就可确定地面接收站的位置。多普勒频移方法能精确地给出卫星与接收站间的距离。当卫星向当地天顶运行时，接收频率要比发射频率高，反之亦然。由时频曲线的斜率可得到卫星轨道平面和接收器中间面间的经度差值，而接收器与南北轨道卫星的纬度在最近点处几乎相同。由于卫星轨道平面可以在接收站中间面的西边或东边，因此必须知道接收器的大体位置($\sim 200\text{km}$)以避免定位不清。

20 世纪 60 年代早期，美国发射了几颗用于军事定位的大致绕极的子午卫星，几乎在同一时期前苏联研制出了一种叫做 Tsikada 的相似系统。美国 NNSS 系统的工作频率为 150MHz 和 400MHz，定位精度约 100m，该系统首先是由 Talwani 等人 (1966) 将其应用于非军事目的近海调查。在大洋区该系统的卫星覆盖范围变化相当大。纬度在 55° 以上的地区每一小时就可获得一个位置值，越靠近赤道时间间隔变得越长，赤道处需要 2 个多小时才能得到一个位置值。但也可以用其它系统，如罗兰-C 系统和奥米伽系统，在定位点之间进行内插。

子午卫星导航系统在 20 世纪 90 年代早期的 20 多年中一直是一种重要的定位方式，尤其在深海。后来美国国防部研制出来的 GPS 定位系统取代了它。

2.3.2 GPS 和 GLONASS

子午仪卫星导航系统的发展是导航定位史上的一个里程碑，但不足的是它不能进行连续定位。为解决这一问题，美国国防部研制出了 GPS 定位系统。该系统共由 24 颗卫星组成，可在全球范围内进行连续定位。俄国研制成功的 GLONASS 系统也可以在全球范围内进行连续定位。

由于 GPS 系统的定位主要依靠的是时距测定而不是由多普勒频移得到的测距，因而卫星不需要低空高速运行。这样便可获得更大的地理覆盖范围。而且由于在高空，空气阻力较小再加

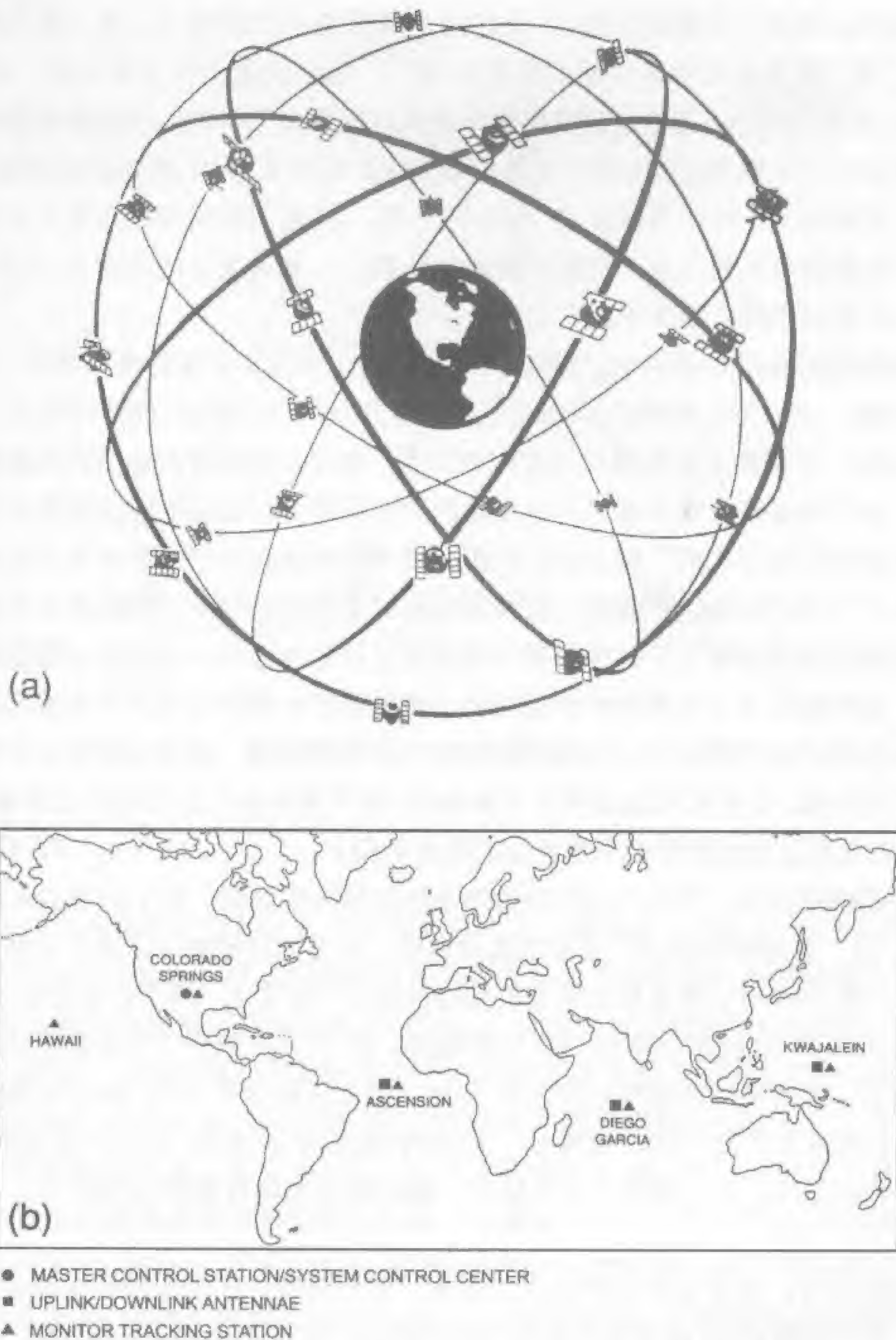


图 2.6 (a)GPS 定位系统的 24 颗卫星分布图。它们平均分布在 20200km 高空的六个相互成 60° 角的轨道平面上，每个轨道上有 4 颗卫星。(b)GPS 地面控制站分布图。在美国科罗拉多州 Springs 的主站可以提供有关卫星轨道及其分布的信息。再加上阿森松、Diego Garcia、夸贾林环礁和夏威夷岛等站的信息便可追踪卫星，得到距离值。接着轨道数据和指令又被发射到阿森松、Diego Garcia 和夸贾林环礁上(据 Ackroyd and Lorimer, 1994)。

之又远离了地球密度不均匀体，因而要比在低空受到的轨道扰乱小，这样便大大地提高了该系统的定位精度。到 1994 年年底全部 21 颗工作(第二组)卫星和 3 颗试验(第一组)卫星已经升空，

运行在约 20200km 高度的近圆形轨道上。它们平均配置在六个轨道上，第一组卫星与赤道平面交角为 63° ，第二组卫星与赤道平面的交角为 55° 。每个轨道上有 4 颗卫星，运行周期为 11 小时 58 分钟（如图 2.6a）。卫星经过观察者天顶的时间为 5 个小时，这样便可保证在任何一点都能同时接收到至少 4 颗卫星的信息。完整的 GLONASS 系统是由 24 颗卫星组成的，它们均运行在近 19100km 的轨道上，运行周期为 11 小时 16 分钟，24 颗卫星均匀分布在 3 个近圆形的轨道平面上，每个轨道面有 8 颗卫星，轨道平面倾角为 65° ，轨道面之间夹角为 120° 。截至 1995 年 11 月已有 16 颗 GLONASS 卫星在正常工作。

GPS 系统根据地面跟踪站的 10.23MHz 同步原子钟，发射 L 波段的两种频率（L1、L2）信号（L1=1575.42MHz, L2=1227.60MHz）。GLONASS 系统与它不同，它使用的载波频率为 L1=1607.0MHz 和 L2=1250.5MHz。如果船上接收器与卫星时钟同步，则可从编码计时信号的传输时间获得其距离。实际上，这个需要接收器上有与卫星发送的相同代码并以合适的时间延迟来匹配二者。如果能得到接收器距已知方位的三颗卫星的距离，便可求得接收器的经纬度及其高度。由于接收器和卫星的原子钟不大可能完全同步，因而由发射时间得到的往往是伪距而不是真距。但是即使这样，如果能得到第四颗卫星的伪距便可得到原子钟的补偿值，同时也可得到接收器的三个大地坐标值。我们还能从大气模型和使用的两个传输频率中得到电离层和对流层的折射情况。与子午仪卫星系统定位不同的是，在这里定位可以不考虑船速。这样系统的定位精度主要依赖于卫星运行轨道信息、可变大气延迟和原子钟补偿。这几项均由广泛分布的地面跟踪站决定（如图 2.6b），它们先发射轨道参数给卫星再由它转发给用户。

GPS 定位精度有两种，它们分别用两种信息码传送轨道数据，即 P 码和 C/A 码。L1 包括二者，L2 只有 P 码。宽频谱码加大了信号的波段宽度，从而有效地减小了电子干扰，并且还允许改变时间边界。到 1990 年，系统的水平定位精度达到了 15m 左右，为了让其服务于非军事用户，美国国防部又引入了 SA 技术以降低 GPS 定位精度。SA 技术中包含了不可靠的卫星位置和传输码中的时间信息。现在民用的标准定位系统（SPS）的定位精度有 100m 和 300m 两种，前者的概率是 95%、后者的概率是 99.99%。使用 L1、L2 频率波段的 GLONASS 系统的定位精度约为 100m，这个值有 95%的可信度。未计划降低信号精度。现在使用的接收器都能接收 GPS 和 GLONASS 的信息。

在 2000km 之内，差分 GPS 的使用大大提高了定位精度。在这里我们先假定由卫星轨道参数不确定性、大气折射及 SA 技术这些因素引起的误差在海区和参考区是相同的。将参考点大地坐标的改正量，以每颗卫星的伪距校正值得向海上发射，用以计算移动接收器的位置（如图 2.7）。对几个固定参考点的校正也能提高定位精度。Racal SkyFix 就是差分 GPS 的一个实例，它利用参考点的国际网站通过双束陆上通讯线联系控制台站，其中的改正量通过 Inmarsat 卫星发给船上的接收器。

差分 GPS 能给船舶航道和要求较高的勘探工区提供实时定位，自 1992 年，差分 GPS 已成为三维地震勘探的主要定位手段（具体见第四章和第五章）。距离参考站 2000km 处的定位精度可达 2m，当超过 4000km 时系统的定位精度便开始降低。目前大范围差分 GPS 定位系统也被广泛应用于海岸和陆上调查（Ashkenazi et al., 1997）。

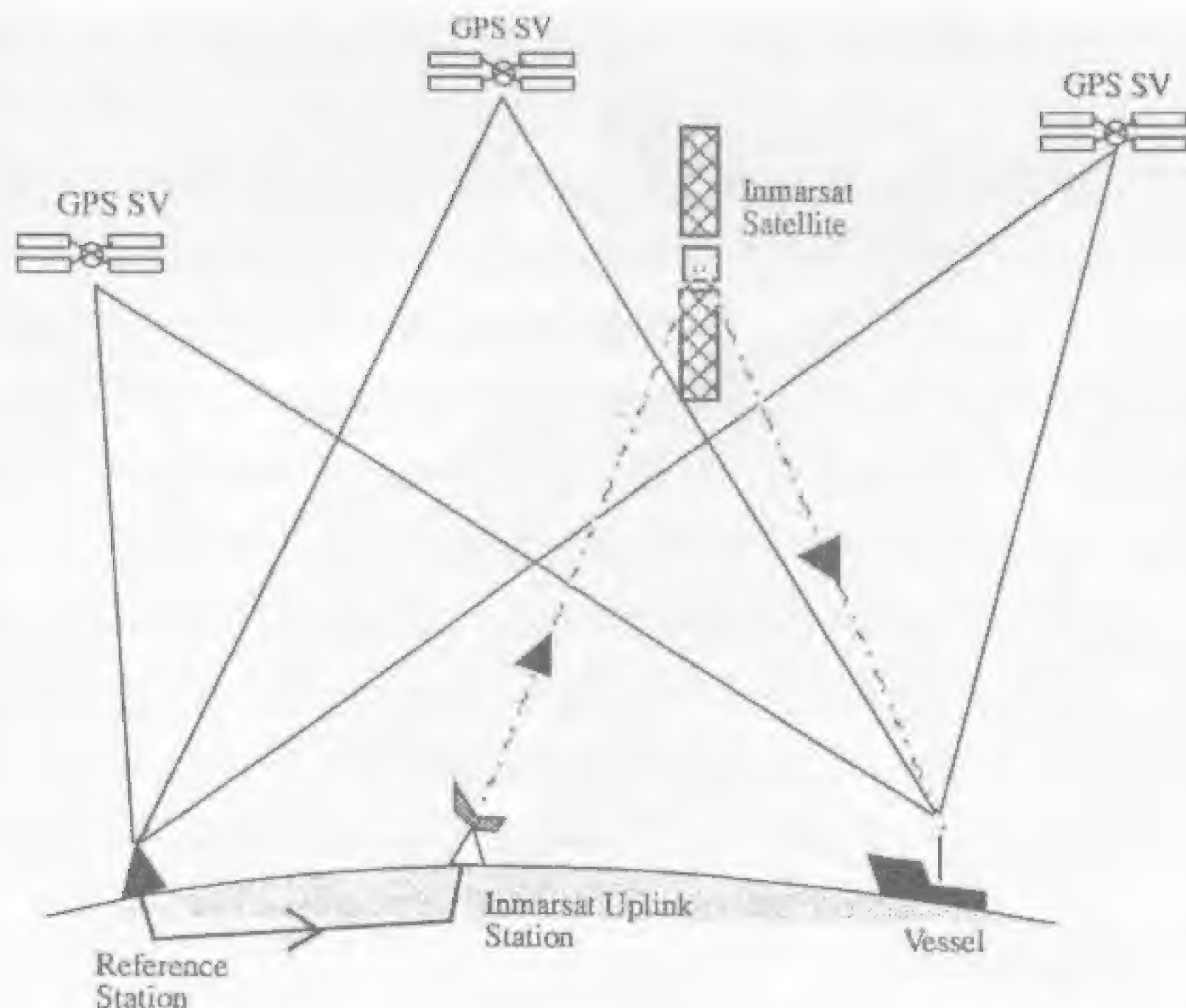


图 2.7 差分 GPS SV 定位示意图(据 Loweth, 1997)

2.4 惯性导航

惯性导航也可称为船位推算法，它是以测量天文坐标系内已知方向上的加速度为基础的，再对加速度从已知点开始进行双重积分便可获得自身在天文体系及大地坐标系内的坐标值。

惯性导航系统的主要部件是加速度计 (Cross, 1985)。当传感器在其偏航指示轴方向受到一加速度时，“测验”质块便将在弹簧的维系下沿着低摩擦的小槽运动，直到其质量和加速度的乘积与弹簧施加的力相等为止。质块的运动或保持质点处于平衡位置所需的力都是用电子测量的，因此就可算出加速度值。在实际工作中，三个加速度计垂直安装在固定平台上，并与陀螺仪正交，它主要是用来测定参考点的惯性坐标。陀螺仪可采用传统的转轮式陀螺仪也可采用最近新开发的环状激光陀螺仪，后者是通过比较两束相反旋转的激光在一个密闭孔洞中的光学路径长度大小来实现的。垂直于小孔平面的轴的旋转运动将产生一个直接与角运动有关的路径差。

陀螺仪能有效地保证加速度在惯性空间中保持方向不变，通过三个旋转矩阵可把计算得到的位移转化到大地坐标系下相应的值；另外也可以采用让加速度计在大地坐标系内连续旋转来达到同样的目的。在对加速度计的输出值（一般典型的以 10-20ms 为间隔）进行二重积分时必须先去掉那些由科氏力、离心力、地球重力场的变化及垂向偏差等所引起的对加速度的影响。

惯性定位系统是一种自主式定位系统，它能够进行连续定位，但是陀螺仪在连续工作 2-3 小时后就会产生超过 1km 的偏差，所以还必须同时配上其它的定位方法对其进行再校正。最近陀螺仪组件制造技术的进步已有效地降低了它的偏移率。惯性导航系统的应用平台主要有直升飞机、固定翼飞机、潜艇及军用平台等等。但是由于该系统会产生较高的偏移率，所以到目前为止还没有成为海洋地球物理调查中的常规定位方法。

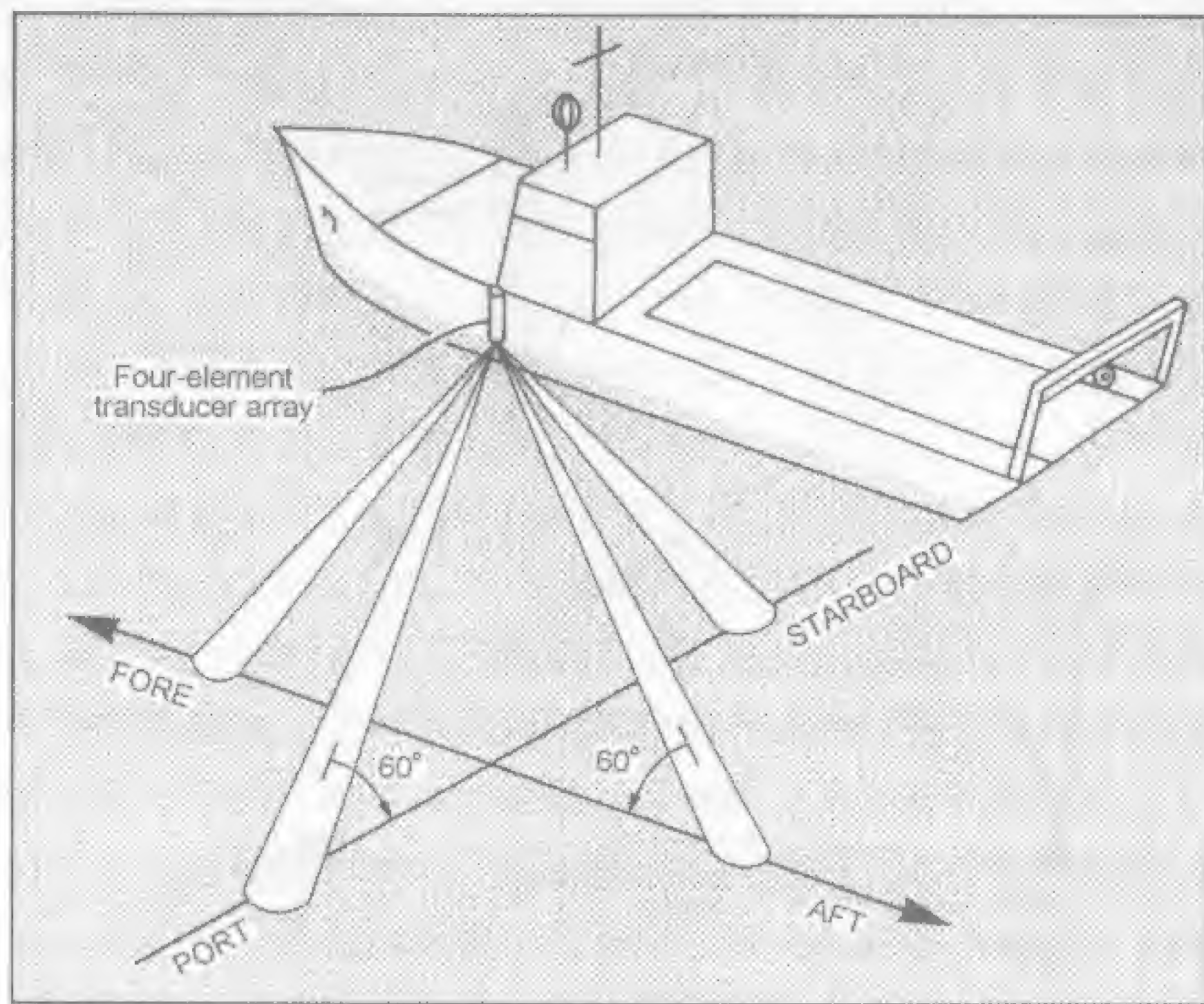


图 2.8 多普勒声呐换能器波束示意图(据 McQuillin and Ardus, 1977)

2.5 声呐导航定位

有几种定位系统是以水下声脉冲的传播为基础的。多普勒声呐就是通过对船只相对于海底的瞬时速度进行积分来得到船相对已知点的距离和方位，该瞬时速度值可由安装在船上的船壳式四元素换能器得到，该换能器能同时沿航迹和垂直航迹发射窄束高频率（大于 200kHz）声脉冲（如图 2.8 所示）。如果已知水下声速，便可利用平行航迹方向上的前后两点的海底反射之间的频率差来求取船的前进速度。水下声速通常是通过连续记录靠近主传感器阵列一定距离处声波在小的传感器之间传播的次数来获取的。在充分混合的水层中，速度计虽能给出一个水柱中的平均速度，但若有温度梯度存在的话它的结果就会受到很大的影响。船只横向上发生的漂移可由其左右舷的脉冲频率差计算得到。将船的前后、左右运动与陀螺罗经提供的航向进行合成便可得到相对海底的速度，再对速度值进行积分便得到了船相对于已知起点的位置。通常一艘以 10 节速度运动的船其定位精度可达 50m 以上。

多普勒声呐主要应用于大陆架区，当水深超过 300-400m 时它就不太可靠了，因为此时海底反射经常被环境噪声所模糊。在深海中多普勒声呐能为遥控潜器 (ROV) 提供定位，利用水柱中的反射，内插在卫星坐标之间。

以利用声脉冲发射机和声应答器计算距离为基础的声学定位系统，为海面船只和水下仪器提供了一种精确定位的重要方法。声脉冲发射机连续发射高频信号，应答器只根据接收到的指令信号进行发射。声应答器是海底仪器如地震仪等不可缺少的组成部分。声学定位广泛应用于海底装备、拖缆及潜艇和无人遥控潜器上的传感器定位。在早期，安装在船壳上的 3 个水听器

接收来自已知水深海底的声脉冲发射机发出的信号。根据水听器接收到的声波的时差便可以得到船相对于信标的位置。

图 2.9 为拖曳式水听器的布设图。排列末端的具体位置可由内置 GPS 接收器的尾标得到，中间部分的位置是采用高频脉冲（大于 200kHz）在船壳换能器和排列上安装的小接收器之间的传播次数来得到的，它们的方向由一组磁罗经确定。

海底声应答器阵列可用于超过几公里距离的定位（图 2.10）。移动式换能器与每个应答器之间的距离可以通过脉冲传输次数和水中声速来得到。虽然常要安装多个脉冲转换器以有效地校正误差，但实际上只需要 3 个就足够确定运动物体相对台网的位置了。移动换能器发出的一个简单询问信号可以激活所有的应答器，继而应答器为确认而发出 8—40kHz 波段上的不同频率信号。为了尽可能减少能量耗费，应答器仅在得到编码探询信号时才发射信号。其转发范围由它的频率、输出功率、环境噪声、海底地形及水柱中的声速结构决定。一个置于 50-100m 水深、工作频率高达 16kHz 应答器的探测范围可达 8km，深水中的最大范围可超过 10km。

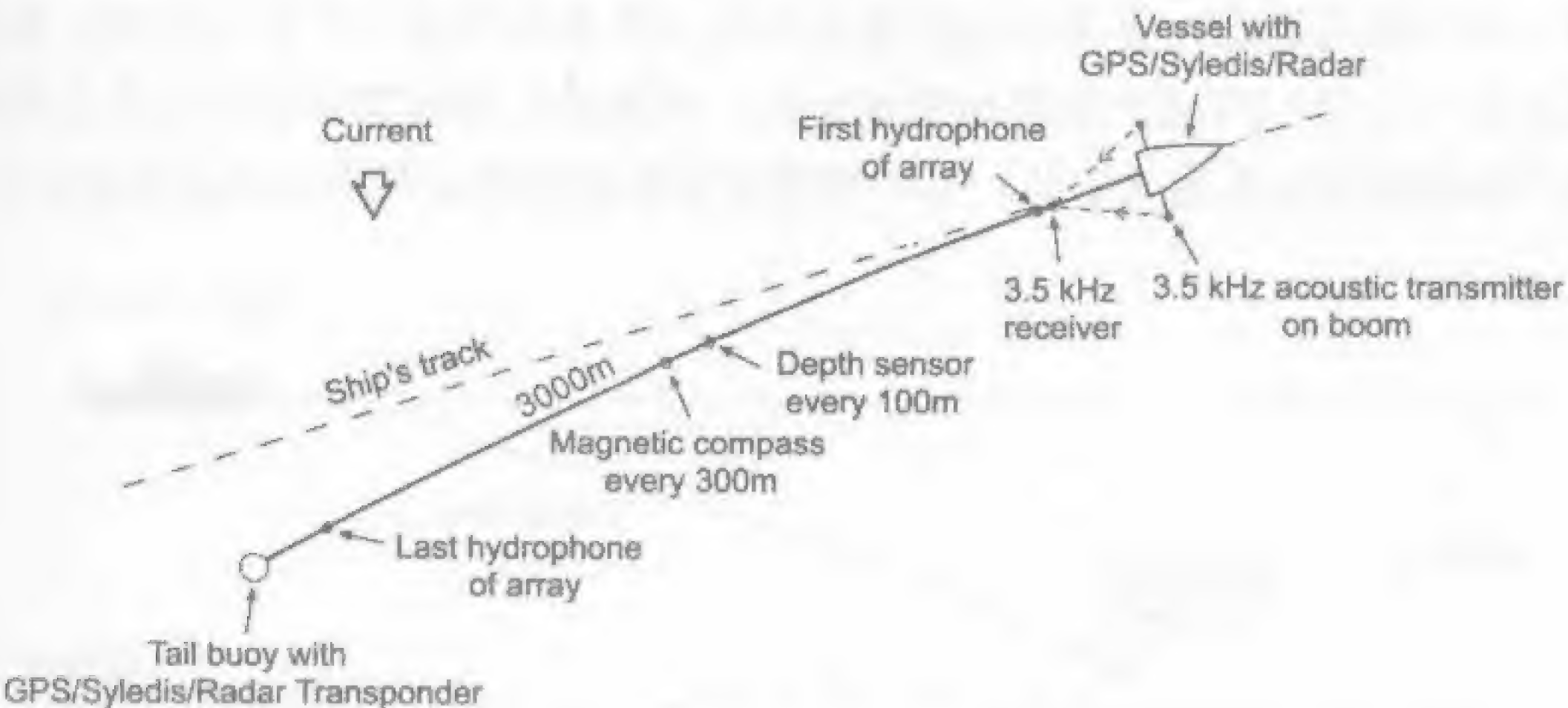


图 2.9 利用 GPS、声呐磁罗经对水下 10m 处 3000m 长阵列上的水听器进行定位

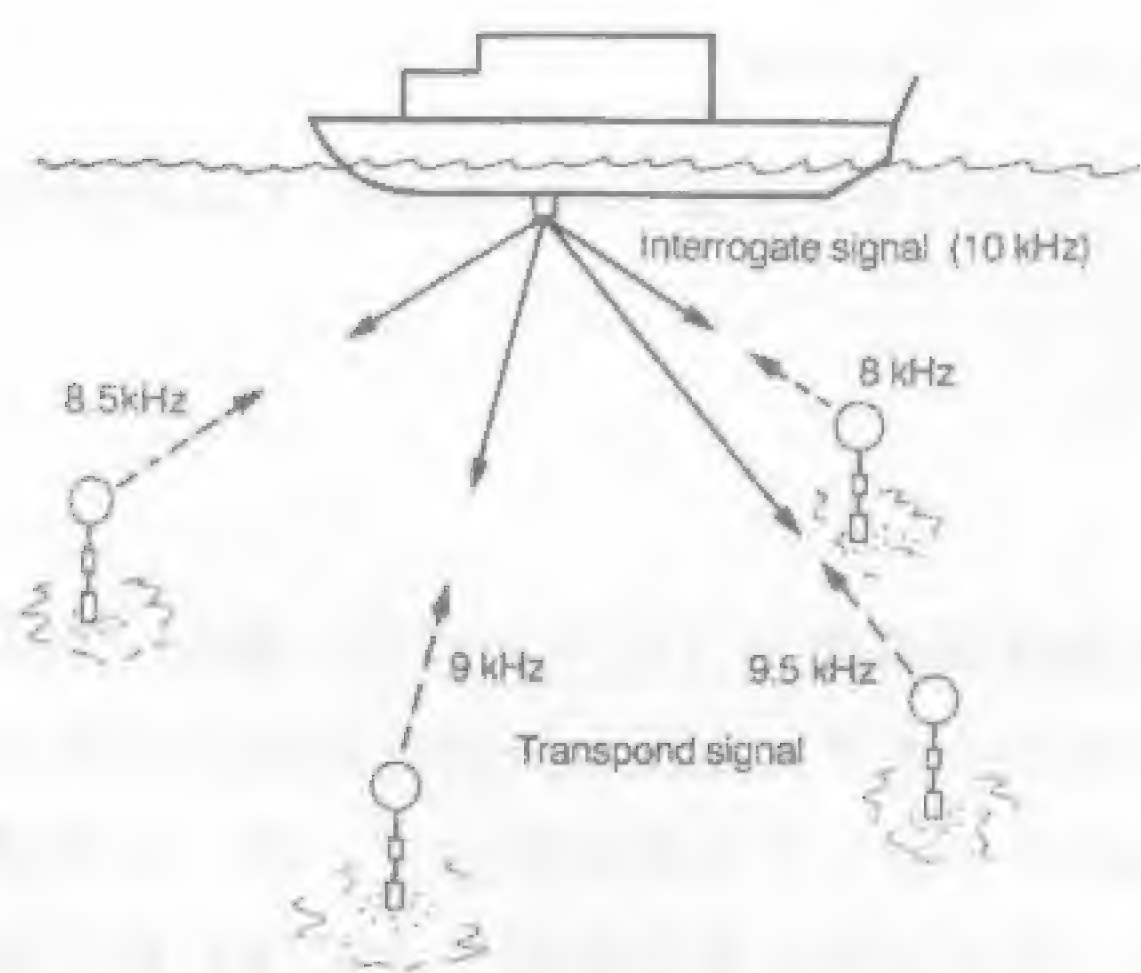


图 2.10 海底声应答器定位示意图(据 Ingham, 1975)。版权归 John Wiley&Sons 出版公司。

开始阶段, 应答器的位置及水深无法精确知道, 这主要是由于当它慢慢沉入海底时会产生侧向漂移。尤其在应答器需要花上一个小时才能沉到海底的深水中, 还会受到大于 0.3m/s (1.1km/hr) 流速的海流影响。因而声测距要与船上导航定位和水深结合起来, 当通过应答器组的次数用线性代数方法可提高其定位精度。对于水深 3000m 处的装备, K. Creager 和 L. Dorman (1982) 认为安装有应答器的地震仪的地理坐标标准偏差为 100m 左右, 而阵列中的相对误差只有 50m 甚至更小。

声应答器被设计成可以连续工作几年, 以便可精确地对重复调查和钻孔进行定位。它们可通过激活声学释放器随时进行回收。应答器网络布设随调查类型的不同而有所区别, 通常采用三角形或四边形排列。基线长度一般 10 倍于水深, 每公里基线长度的定位精度为 $\pm 1\text{m}$ 。在应答器安装过程中, 千万注意不要将其安装在地形和声速变化迅速而引起的声学阴影区中。

根据船尾电缆仅能粗略地估计拖曳式仪器位移的校正量。如图 2.11 形象地给出了拖曳式传感器 (如声呐传感器) 是如何通过激活海底应答器网来进行声学定位的。潜器一般使用范围超过几十公里的局域声应答器网来定位。早期投入地球物理调查的无人遥控潜器多用多普勒声呐和海底应答器来定位, 其中有些应答器被程控定期浮出水面接收 GPS 信号。

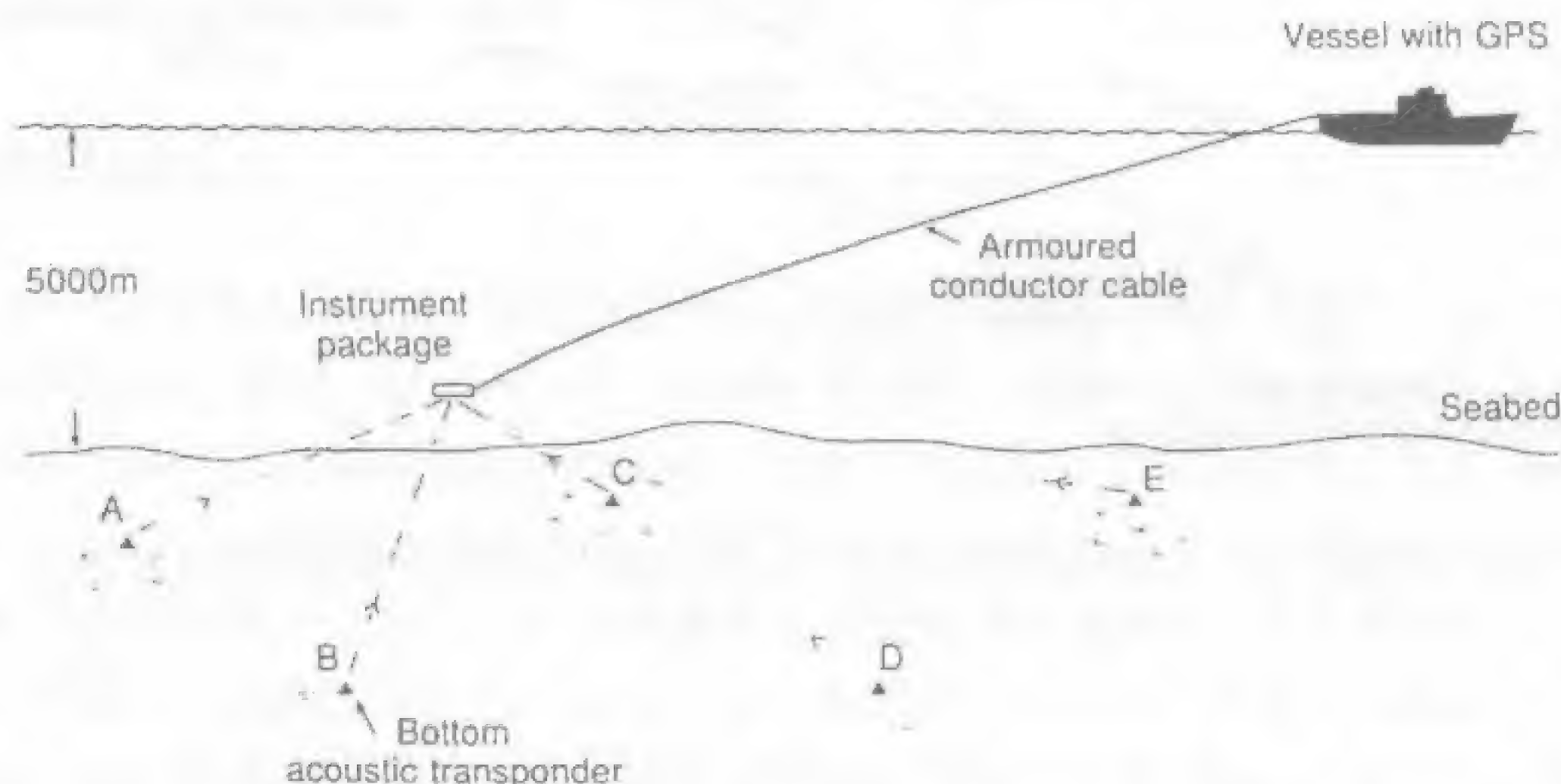


图 2.11 声应答器对水深 5000m 距海底 100m 的拖体进行定位

2.6 组合导航系统

在前面我们已提到在地球物理调查定位中可在同一艘船上使用多种定位技术。在大多数平台上通常将多种方法联合使用以便最大限度地发挥每种方法的优点。实际上组合接收器也是可以得到的, 它们可以自动地从一种定位系统转换到另一种, 以便获得最精确的坐标。但是这样一来就会有許多参考平面, 所以必须注意要将那些定位值归算到通用的基准面。GPS 定位系统用的就是 WGS84 的地心坐标系 (White *et al.*, 1989)。

在能够跟岸上站点或固定的近岸平台取得联系的地区，经常将差分 GPS 与高频电磁波定位系统如 Syledis 和 Pulse 8-II 联合使用。GPS 问世以前，在进行大陆架调查时一般将子午仪卫星定位之间的位置以多普勒声呐结合无线电定位来推算。尤其当受到天波干扰或船只位于发射器覆盖区边缘时，多普勒声呐技术就显得特别有用。在公海，罗兰-C 系统和奥米伽系统可相互插值。电磁计程仪和罗经读数联合使用可测定船速 (Robertson, 1990)。

虽然目前在海洋地球物理工作中广泛采用卫星定位系统，但 GPS 和 GLONASS 也会因微小的卫星功能出错警报而降低精度，另外现在的轨道数据发布安排还不能令使用者及时收到卫星功能出错的实时警报。因而在建立一个庞大的民用全球卫星定位系统以前，基于固定发射器的独立无线电定位系统仍将是为近海地球物理工作服务的组合导航系统的重要组成部分。

第三章 利用声呐和机载激光测深技术的海底成像

3.1 引言

水深测量是一项基本的海洋测量,水深值大小与固体地球的地质和长期行为密切相关,并且对水体中和海底的各类过程具有重要的影响。目前对于地球物理调查来说,高精度的海底地形图显得越来越重要,尤其是近年来勘探重点从泛泛的普查转向了局部地区的精细研究,其重要性变得尤为突出。详细的水深图可使我们追踪到特殊的地形要素或返回到先前的观测点位置。

声学方法是海底地形测量的基本方法。由于海面形状受海底地形万有引力的影响,因而目前利用雷达脉冲波在卫星和海面之间传播计时的卫星测高已成为水深测量一种强有力的手段。卫星测高将在第六章中讨论海洋地球重力场时加以详细论述。海水中传播的脉冲电磁辐射可测量水深,但由于其本身衰减较大因而只能用于浅水测量,有时甚至在几厘米内信号就被背景噪音掩盖了。相反,从小型水下发射器发射的声波尽管其功率小于 1kW,但即使传播几千米后信号仍可检测。图 3.1 给出了电磁波和声波在水中的衰减情况。

早在 19 世纪早期人们就已认识到通过测定海底反射声波的传播时间便可得到水深值,但直到 20 世纪 20 年代声学测量才取代了传统的铅锤测深法,成为常规的测深手段。在过去 20 年内声学测深发展迅速,揭示了许多新的海底形态,小到几米大到几公里。本章用了大量的篇幅来介绍这些声学测深方法,首先我们将介绍一下最简单的测深方法,即单波束回声测深方法,然后再介绍旁侧声呐和多波束测深系统的工作原理。最后再评述一下应用电磁波传播进行浅水测深的方法。

3.2 单波束回声测深仪

3.2.1 概述

传统的单波束回声测深仪记录的是声脉冲从固定在船体上的或拖曳式传感器到海底的双程旅行时间。对传感器进行深度校正后,测点水深便是双程旅行时和垂直声波速度平均值 \bar{V}_w 乘积的一半。这种测量需要一个前沿陡峭的发射脉冲、精确的海底反射计时和精密的速度值 \bar{V}_w 。在距离超过 20km 处,大致相当于大洋最大水深的两倍时,频率低于 50kHz 的声波在海水中传播时衰减较小(图 3.1)。因此我们就可以使用高的声频或超声频发射器来产生所需的尖脉冲,它们的频率范围在 10-15kHz 之间,常用于大洋测深。输出脉冲信号的上升时间通常为 0.2-0.3ms,传播时间可精确至 1/15000。应用于大陆架水深测量换能器的工作频率还要高(~30-210kHz),相应上升时间也快。

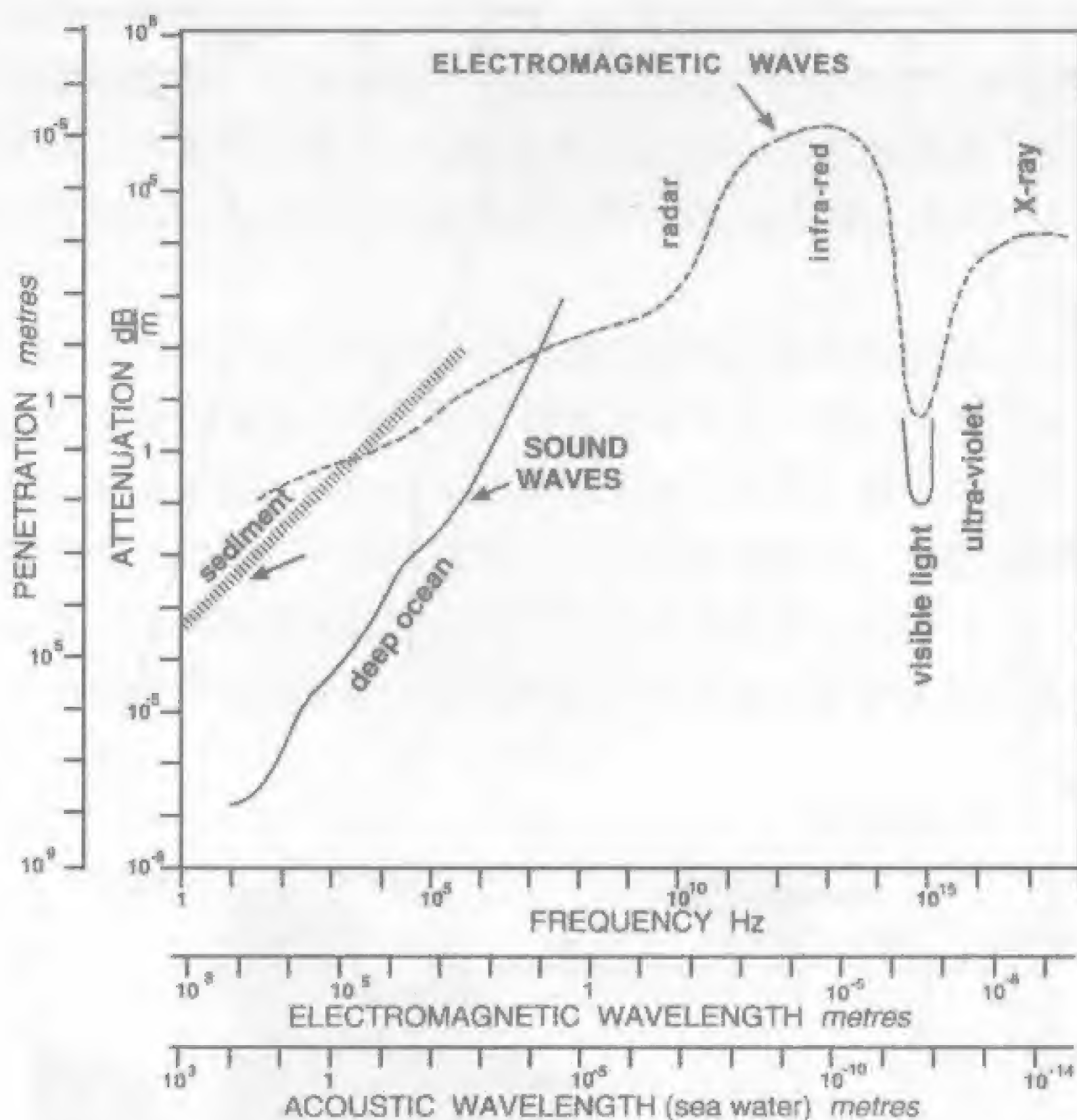


图 3.1 电磁波和声波在海水中的衰减情况(据 Wille, 1986)

声脉冲在海水柱中平均垂直传播速度约为 1500m/s，但这个速度值也是因地而异的，它会随着水温(T_w)、压力(P_w)和盐度(S_w)的变化而变化。当声脉冲近垂线传播时可忽略折射的影响。任何一点的 V_w 均可投放声波速度计，通过记录高频脉冲在相隔几厘米的换能器之间的传播旅行时获得。声速也可通过水温和盐度的测定间接得到。海水盐度一般在 33‰和 37‰之间， V_w 便可从 W. D. Wilson 经验公式中得到：

$$V_w = 1449.22 + V_t + V_{pr} + V_{sal} + V_{t,pr,sal} \quad (3.1)$$

其中：

$$V_t = 4.6233T_w - 5.4585 \times 10^{-2}T_w^2 + 2.822 \times 10^{-4}T_w^3 - 5.07 \times 10^{-7}T_w^4$$

$$V_{pr} = 1.60518 \times 10^{-1}P_w + 1.0279 \times 10^{-5}P_w^2 + 3.451 \times 10^{-9}P_w^3 - 3.503 \times 10^{-12}P_w^4$$

$$V_{sal} = 1.391(S_w - 35) - 7.8 \times 10^{-2}(S_w - 35)^2$$

$$\begin{aligned} V_{t,pr,sal} = & (S_w - 35)(-1.197 \times 10^{-2}T_w + 2.61 \times 10^{-4}P_w - 1.96 \times 10^{-7}P_w^2 - 2.09 \times 10^{-6}PT_w) \\ & + P_w(-2.796 \times 10^{-4}T_w + 1.3302 \times 10^{-5}T_w^2 - 6.644 \times 10^{-8}T_w^3) \\ & + P_w^2(-2.391 \times 10^{-7}T_w + 9.286 \times 10^{-10}T_w^2) - 1.745 \times 10^{-10}P_w^3T_w \end{aligned}$$

V_w 的单位为 m/s， T_w 的单位为℃， S_w 的单位为‰， P_w 的单位为 kg/cm² (其中 1 kg/cm² = 9.8 × 10⁴Pa)。

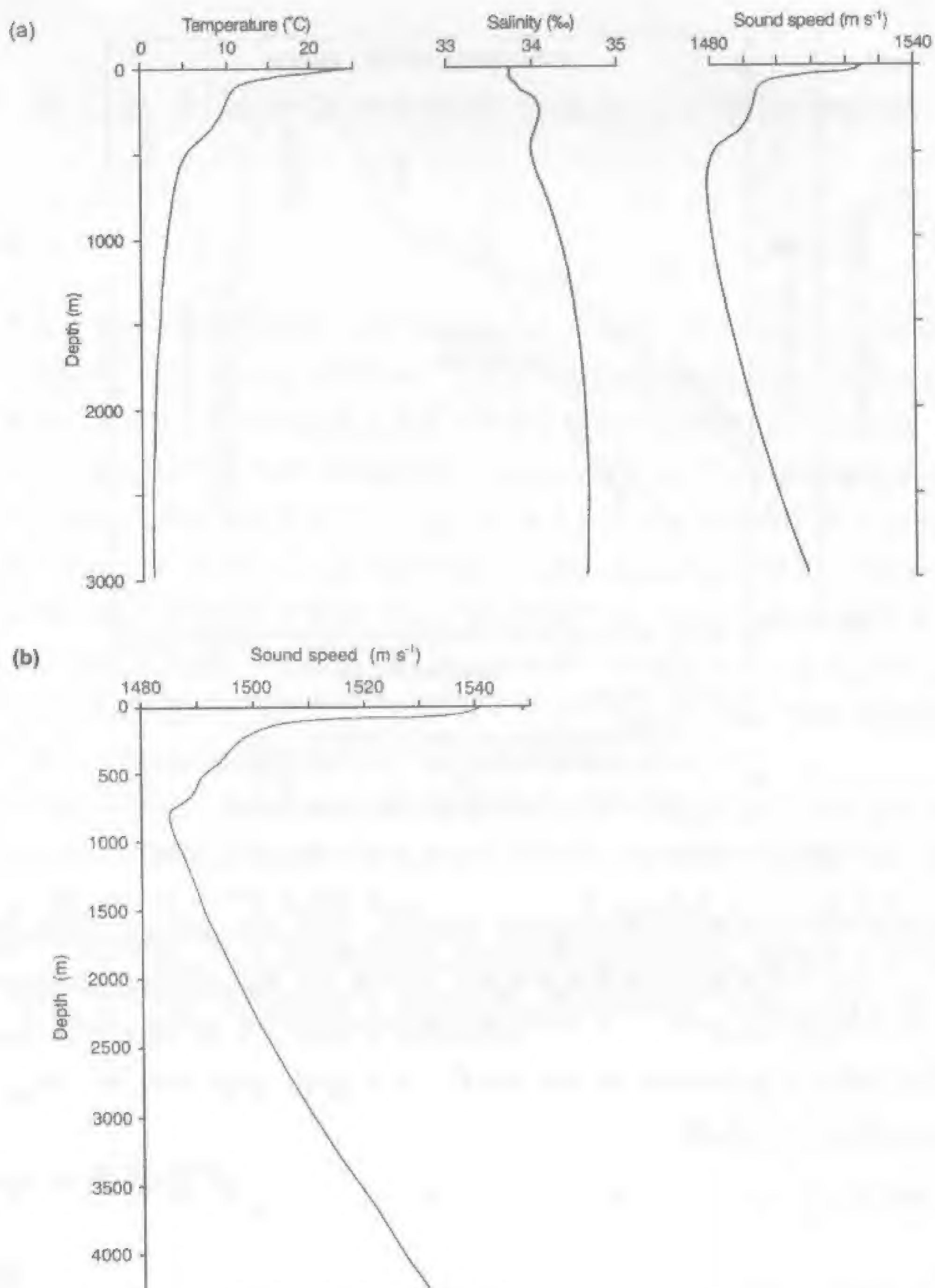


图 3.2 (a)中太平洋 (39° N, 146° W) 的温、盐及声速变化曲线。声速最小值出现在水深 650m 处(据 Pickard and Emery, 1990)。经 Butterworth Heinemann 允许后引用。(b) 用速度计测得的大西洋赤道处 (8° 15' N, 23° 32' W) 声速随深度的变化曲线(据 RRS Charles Darwin, 1985)。

在表层，水温每增加一度，声速平均增长 3m/s；盐度每增加 1‰，声速增加 1.3m/s，压缩率降低对速度的影响要比密度增大对其的影响大。速度也会随压力增加而增加，在水柱上部，深度每增加 100m，速度增加 1.8m/s。

图 3.2a 为某一典型大洋的声速随温盐变化的关系图。显然，温度在 200m 到 500m 间变化很

大，通常将这一层海水叫温跃层，而在该层内，盐度变化却很小。压力随深度几乎呈线性变化。所以从海平面到温跃层底部，声波波速主要由温度控制，温度下降，声速降低。再往深处，压力就开始起主导作用，声速开始增大。结果是声速在 500m 深度处为最小值。除了高纬度地区的某些海域，大部分海域的声速变化都与此类似。图 3. 2b 为大西洋某处的速度剖面，其最低值在 800m 左右。

速度计通常被广泛施放，这样有利于通过温盐数据计算声波波速。D. J. Matthews (1939) 以及 D. J. T. Carter (1980) 等所公布的计算表将大洋分成了若干区块，每一区块都有代表该区的平均深—速剖面。图 3. 3 就是 Carter 将北大西洋细分的图。各区块的大小与海水本身的侧向梯度变化有关：如图在大西洋西部近湾流处（9 区）的区块小，主要是由于这里海水的水平温盐梯度比较高；而在北大西洋涡流较均匀的中部，区块就较大（13 区）。由于海水浅层的季节性变化、表层以下等温层的长期移动，以及补给水的影响，声速就有所变化，这就会导致声速估算发生偏差。

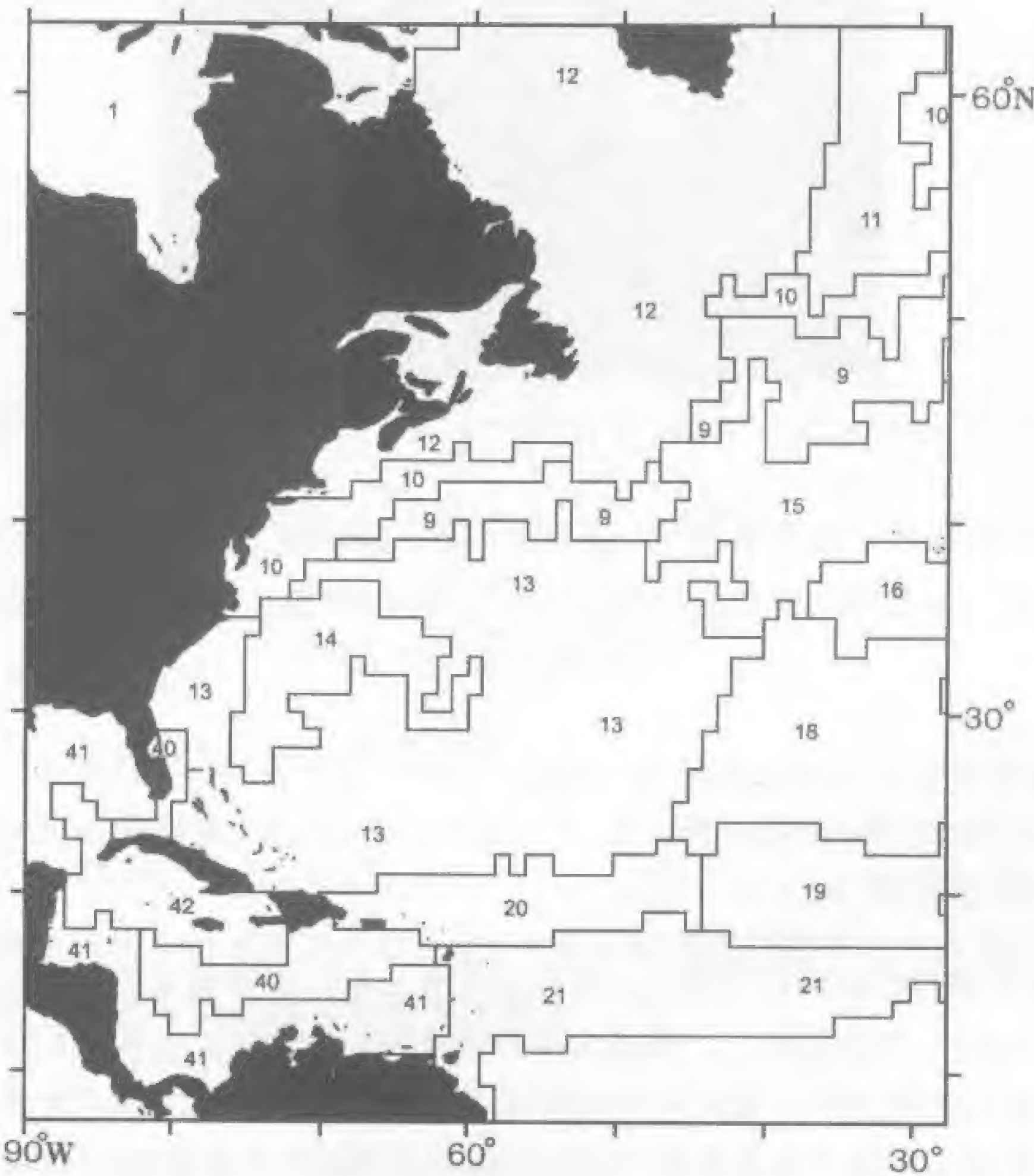


图 3. 3 应用回声测深仪得到的大西洋西北部区块图。每一块均有自己特定的深—速剖面图。经 the Controller of Her Majesty's Stationery Office and the UK Hydrographic Office 允许引用于 Carter(1980)的回声测深校正表（第 3 版）。

3.2.2 回声测深仪及回声测深剖面

回声测深仪是通过触发信号利用压电换能器和磁致伸缩换能器输出脉冲信号的(图 3.4a)。由于输出信号的频率要求大于 10kHz, 所以通常使用锆钛酸铅钡及其它相似材料来制造压电换能器。低频磁致伸缩换能器的输出功率较大。换能器直接安装在船上或者装在一种称为“拖鱼”的流线型容器内拖曳于船尾以减少噪音干扰。换能器信号的主瓣一般呈锥状, 在 6dB 能量点处其半开角范围达 1° - 40° (图 3.4b), 它是控制回声系统分辨率的重要因素。在水深 5000m 处, 40° 立体角的锥体与海底面相交切可形成直径为 3.6km 的覆盖点, 此区的回波汇聚于一点。 1° 波束的相应覆盖点直径为 0.087km, 显然大大提高了仪器的水平分辨率。

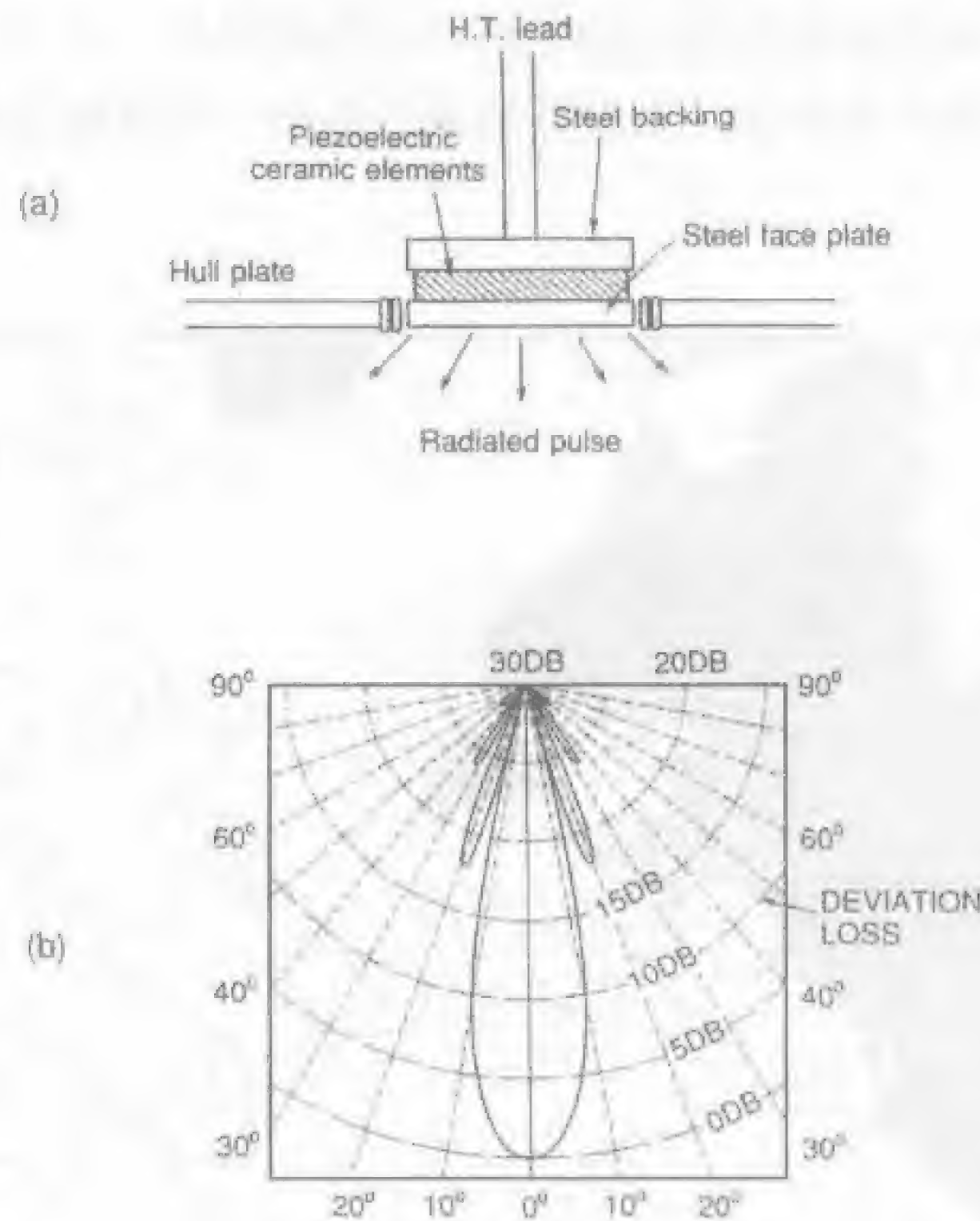


图 3.4 (a)回声测深仪换能器结构图(据 Ingham, 1975), 版权归 John Wiley & Sons 出版公司所有。(b)回声测深仪换能器指向模式图。声源被认为是以在该发射频率下声波在水中传播波长的 5 倍为直径的圆(据 Horton, 1959)。

换能器将接收到的反射波信号放大, 然后用图形记录仪在电敏或热敏纸上以不同灰度的特征显示出来(图 3.5), 扫描速度大小根据水深和记录仪尺寸来定。在两次扫描之间, 要在记录纸上留出一小段绘制海底剖面。我们也能在屏幕上直接监控数字化图像, 而且还能把它储存下来以备作进一步处理以提高记录的质量。随着自动增益控制技术的发展和, 仪器的动态范围扩大, 这种自动增益控制主要用来压制强信号, 增强弱信号。

图 3.6a 和 3.6b 是西非大陆边缘及邻近深海盆处 10kHz 回声测深记录的一个应用实例。剖面边上的深度单位是米, 并假定平均垂直声速为 1500m/s。应用测深校正表可将水深读数转换成真深度。图 3.6a 中除了有强烈的一次海底回波还包含了多次反射波, 它们是声脉冲从海面反

射后在水中二次传播所造成的。该图在垂直方向上放大了 20 倍，这种做法在用回声记录解释海底形态时是很常用的。声速随水深的变化也会引起测量结果的偏差。由于在水深较浅处可以采用潮汐改正来校正读数，测深数据已成为象最低天文低潮数据一样的一种公用数据。

图 3.6b 所示的深海平原剖面，在海底反射波接收之前有四次扫描记录，第一次扫描记录是由富含浮游生物和自游生物的表层所引起的。该深部散射层的位置受光穿透作用控制，而反过来光穿透作用又决定了光合作用发生的层位。白天该层位于水深 200m（约 0.27s）处，而当日落以后则会逐渐上升靠近水面（18:00-19:00 时）。当海底反射波进入散射层时会以更长的时间间隔输出反射脉冲。为避免浅层散射波被记录下来，需在发射后 0.5-1.0s 期间停止记录。

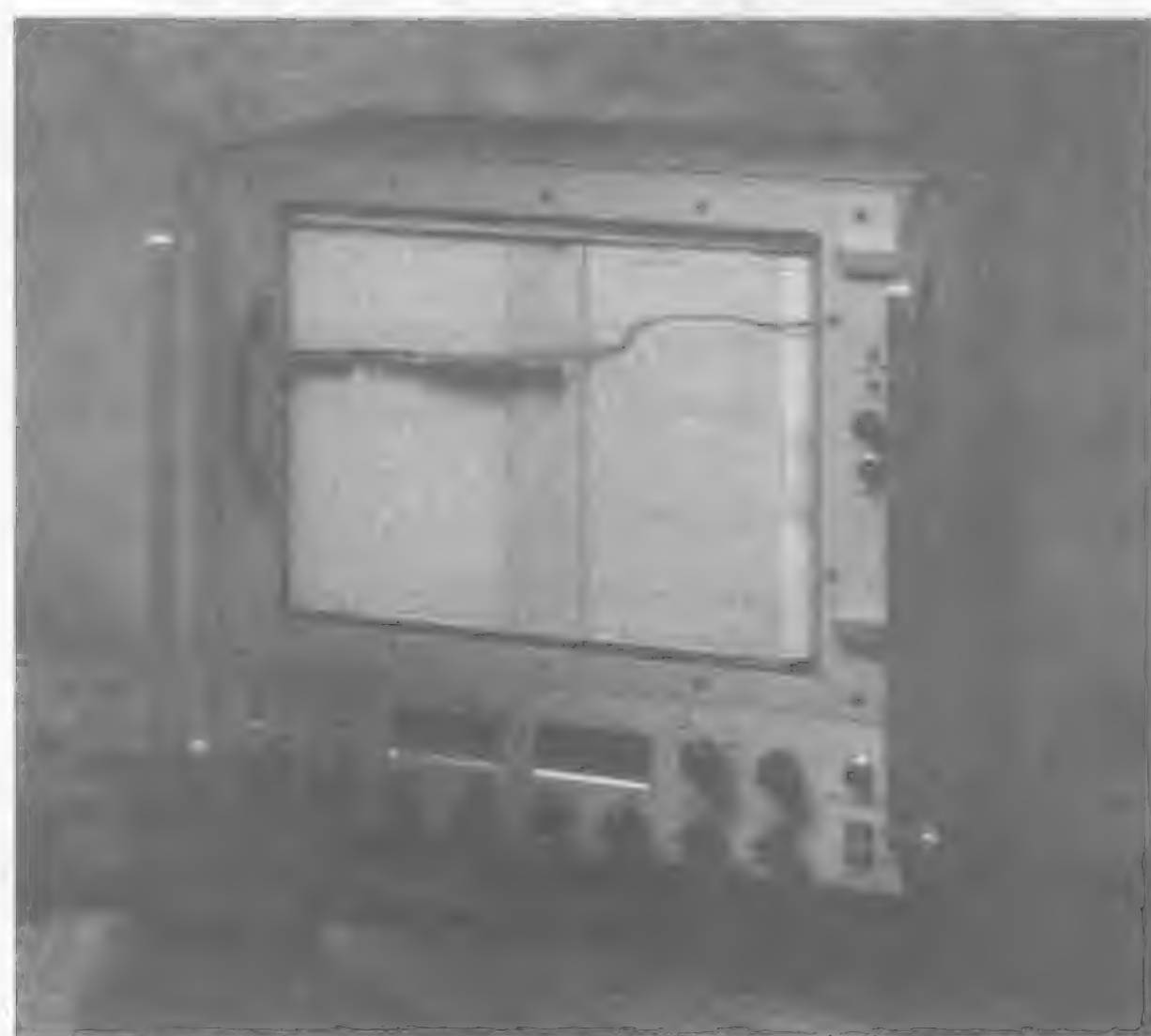


图 3.5 回声测深记录仪。经加拿大 E. Knudsen, Knudsen Engineering 允许后引用。

当海底倾斜时，测深记录上得到的（视）倾角 ϕ_0 小于真倾角 θ_0 ，因为海底回波沿着垂直于主体斜坡的路径传播（Krause, 1962）（如图 3.7a 所示）。假设真倾角为 θ_0 ，则有：

$$\sin \theta_0 = \tan \phi_0 \quad (3.2)$$

如果 r_1 为记录深度， z_1 是船正下方的深度，则

$$z_1 = \frac{r_1}{\cos \theta_0} = \frac{r_1}{\sqrt{1 - \tan^2 \phi_0}} \quad (3.3)$$

如图 3.7b 海底的斜率沿着航迹不断变化。B 点的船接收的是来自 R 点的反射，如果 B 点的记录深度为 r_2 ，则反射点 R 处的真实海底深度就为

$$z_2 = r_2 \sqrt{1 - \tan^2 \phi_r} \quad (3.4)$$

ϕ_r 为回声记录上 R 点的海底倾角，反射点与船之间的水平距离为：

$$x = r_2 \tan \phi_r \quad (3.5)$$

如果坡度太大以至于射线束落到换能器主瓣以外，就只能在侧瓣上记录到微弱的反射信号，有时候连这样的微弱信号都记录不到。陡斜坡返回的漫射波是由于在垂直于换能器所在面发生了反向散射和镜面反射的缘故，而从记录上看，其旁侧回声似乎是一种点源反射，具双曲

线特征。陡峻斜坡易产生一系列不完整的双曲线反射记录（图 3.8），在地形起伏变化较大的地区，对深度的读值和坡度的校正往往会有很大的主观性，这就导致了测深误差及测线交点上的闭合误差。

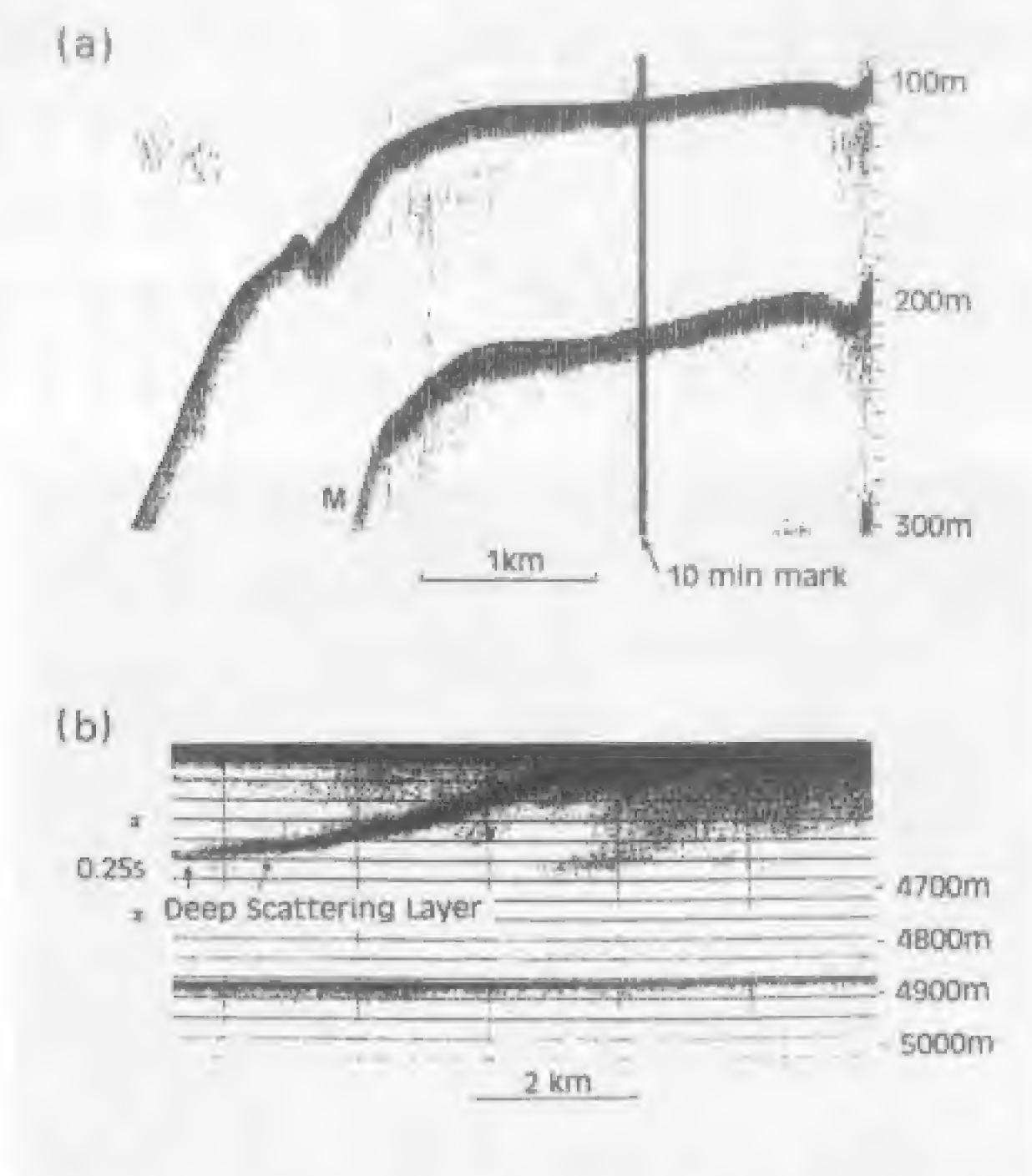


图 3.6 回声测深仪得到的剖面图：(a) 横跨西非大陆架的测深剖面。上方为一次反射波，下方（标记有 M）为多次反射。假设声波速度为 1500m/s。垂向放大了 20 倍。(b) 大西洋赤道附近塞拉里昂深海平原处的强底波反射。垂向放大了 8 倍。假定声速为 1463m/s，深度单位为米。上部记录显示深部散射层在日落时开始向上移动。

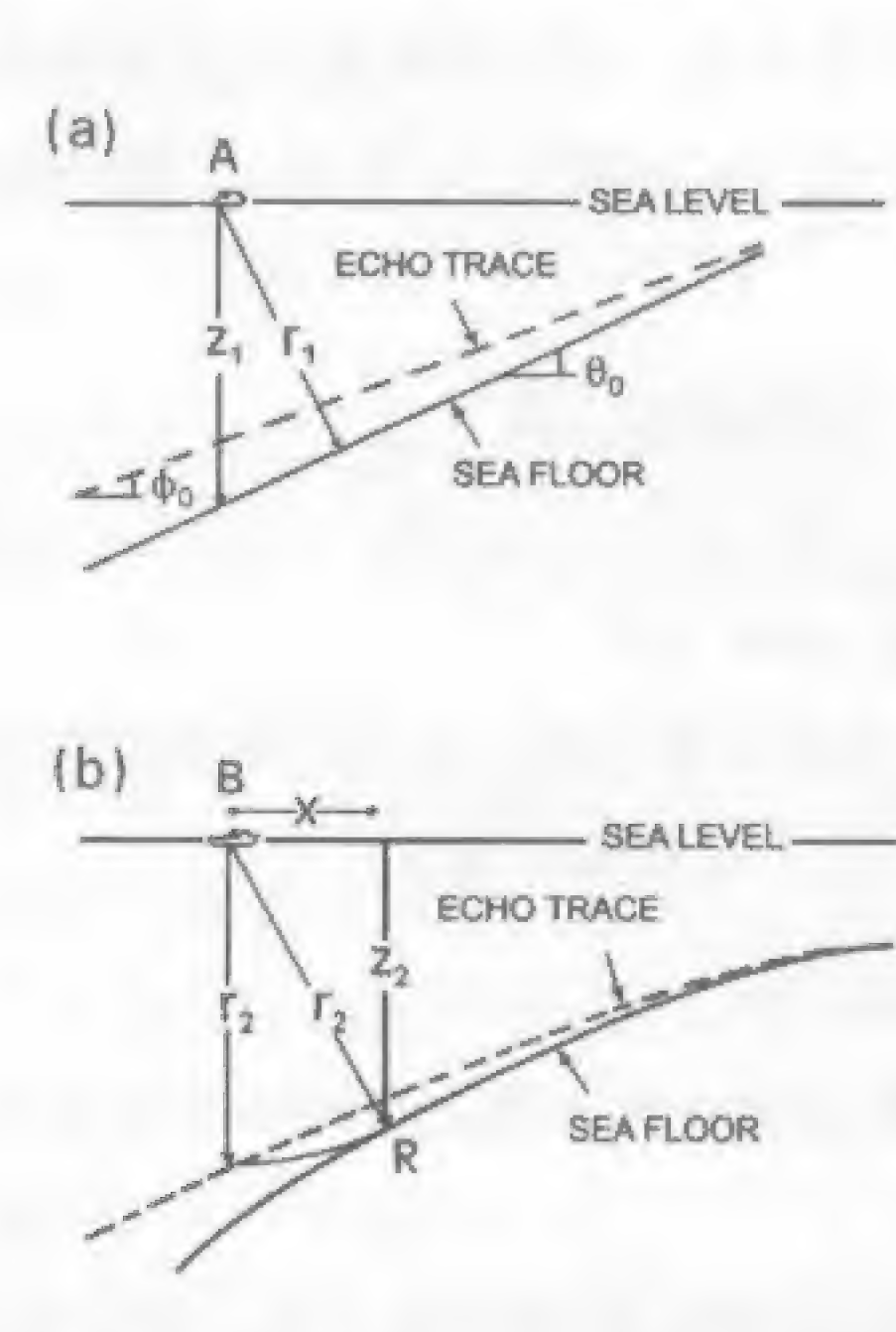


图 3.7 地层倾斜时回声测深仪的测深原理：(a) 坡度不变；(b) 坡度有变化（据 Krause, 1962），经国际水道测量局（IHB）允许引用。

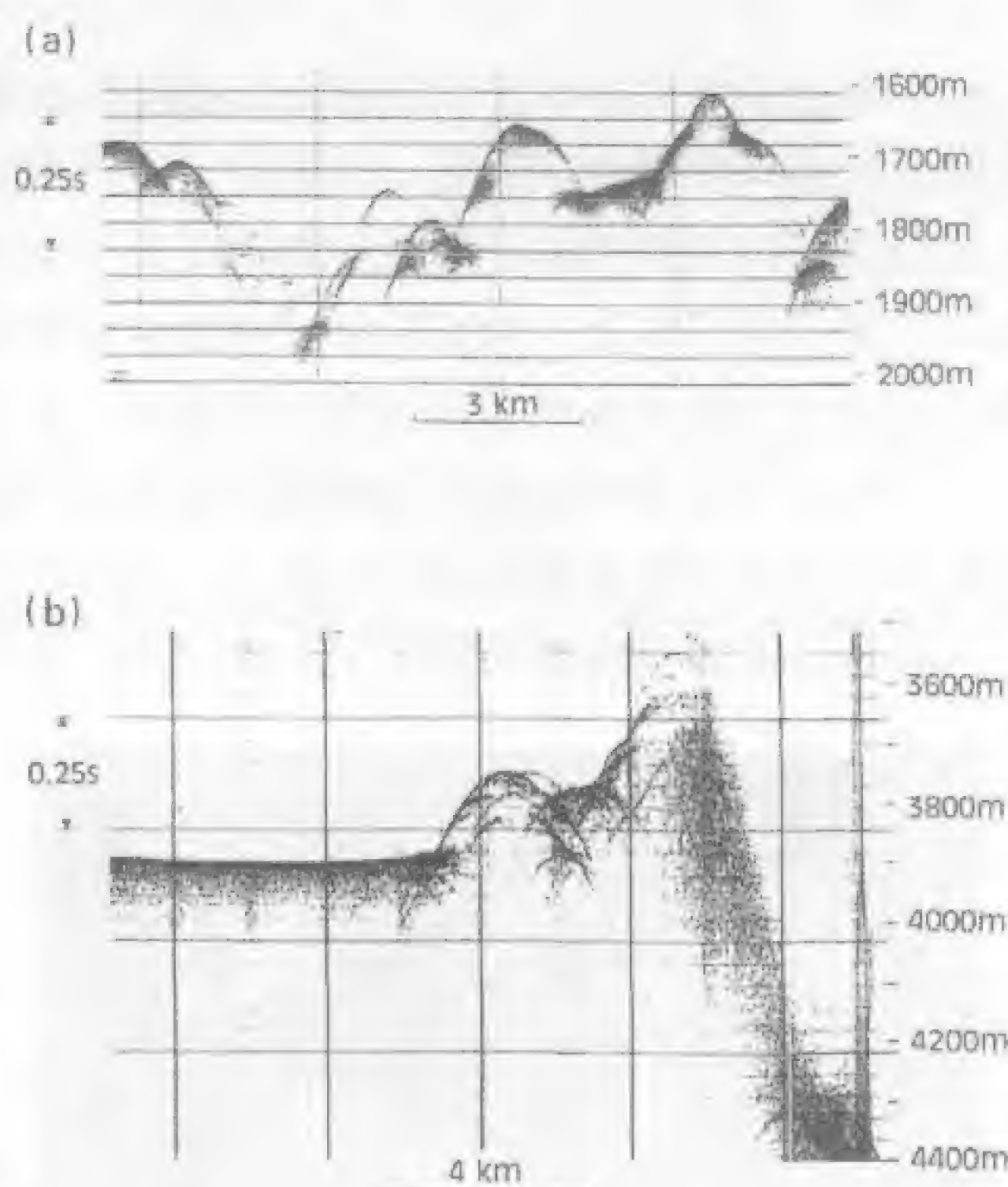


图 3.8 西非毛利塔尼亚附近切穿大陆坡的峡谷。峡壁反射轨迹具双曲线特征。垂向放大 10 倍。(b) 大西洋中脊 (1° N, 30° W) St Paul 断裂带周围的断崖，陡坡由一系列复杂的衍射信息合成，垂向放大 12 倍。

使用窄波束回声测深仪便可有效地消除旁侧回声。可以同时使用宽波束（约 30° ）和窄波束（约 3° ）的换能器，前者发射频率在 10kHz 左右，后者约为 200kHz（图 3.9a, b）。由于窄波束回声测深仪仅接收船下方反射点附近很小区域的反射波信号，因而其测得的地形分辨率较高。电子波束控向可确保回波信号能量正好落在主瓣内。图 3.9c 和 d 根据在红海中部应用宽波束和窄波束两种回声测深仪得到的记录形象地说明了两者的区别。高频剖面不仅给出了清晰的海底图形，而且还清楚地显示出剖面中部部分充填海槽的重卤水层顶面的反射信息。

3.2.3 测深数据成图

测深结果通常以测深剖面图、等深图、等深曲线图或俯视图等形式表示（见第一章）。由于测区的水深值和地理位置都可以数字形式表示，因而目前测深数据的成图和分析已广泛使用计算机图像处理技术。世界地形数据库 ETOPO5 就是一个重要的信息源，其中包括海洋等深图网格数据，数据的经纬度网格为 $5' \times 5'$ （Smith, 1993）。

等深图通常以晕渲地形图来表示，如图 3.10 所示。绘图前先把不规则的、离散的测深值或数字化的等值线值进行规则网格化，然后再以 0（黑色）到 255（白色）之间的灰阶值进行显示编码。彩色也能编码，每种都由红、绿、蓝三原色按一定的比例组成。由于图像处理技术的发展使得图像比例尺、投影和视角的调整非常容易，更易于我们捕捉到一些微细的构造特征和与其它地球物理数据进行对比，因而目前图像处理已成为地质解释不可分割的一部分。

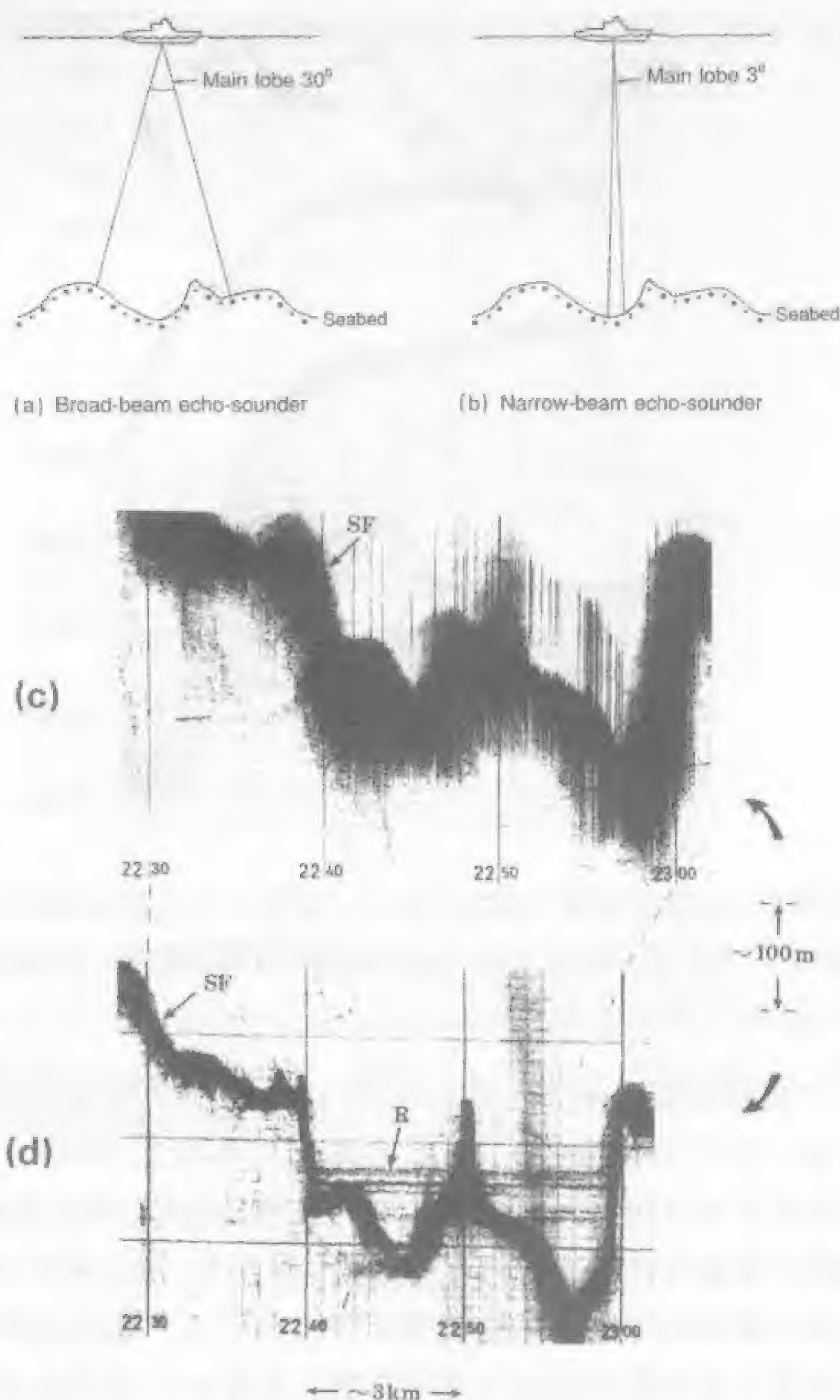


图 3.9 (a)和(b) 宽波束回声测深仪和窄波束回声测深仪发射波束示意图；(c)和(d)两种测深仪得到的穿过红海中部 Atlantis II Deep 区的两幅回声测深剖面图：(c)宽波束 (30° , 18kHz)；(d) 窄波束 (1.3° , 30kHz)。最深探测深度为 3800m。窄波束换能器的精度高，不但能探测到清晰的 SF 区，还能探测到与热液作用有关的重卤水 R 区（经 Elsevier Science 公司允许引自 Ritcher 等人，1986）。

3.3 条幅式测深

我们对海底地形的了解主要依赖于普通的回声测深仪。即便是在它问世的半个世纪以来，许多大洋海域仍然只覆盖有极稀疏的测深线（测线间距往往从几十公里到上百公里不等），所以我们对海底起伏的了解远不如对火星和水星地形的了解（Smith, 1993; Smith and Sandwell, 1994）。在

知之甚少的海域，我们就不得不借助于卫星测高计进行测深，关于这一点我们将在第六章进行详细讨论。局部海域如果回声测深仪的测线很密集足可获得三维信息，但是这样的详查需要相当昂贵的船时，即使测线格网布设得很好，在绘制地形图时也仍会出现一些问题，尤其是在以往的调查中，由于导航定位导致的不确定性和勾画测线间崎岖起伏地形的不确定性，使得这种现象更为明显。为了获得更详细的海底地形资料，人们已经开发了好几种声学系统，它们不仅能描绘船正下方的海底形态，还能获得船两侧的海底形态，主要有三种：

1. 旁侧声呐，它能给出船侧目标体反射回的声波图像；
2. 多波束条幅回声测深仪，它能给出船航迹外侧区域的水深等值线图；
3. 组合式条幅成图系统，它组合了旁侧声呐和条幅测深系统。



图 3.10 将部分地中海数字化等值线内插成 $1\text{km} \times 1\text{km}$ 网格数据绘制而成的阴影图（据 Mark and Pike, 1991）。高度角和视角分别为 30° 和 315° 。经美国地球物理学会（AGU）允许后引用。

3.4 旁侧声呐

3.4.1 应用于大陆架调查的旁侧声呐

旁侧声呐是在二战期间为探测潜艇而设计的 ASDIC 系统基础上发展起来的。它是一种主动式声呐，从旁侧换能器中发出声波，再根据回声信号探测水下目标体。本世纪 50 年代，英国国家海洋研究所的一个专家组认识到了把这项技术应用于大陆架研究的潜力。他们发现海底上延

伸好几百米的不规则体可以产生清晰的回声，利用产生的回声信号可以确定这些不规则体的形状和位置(Belderson et al., 1972)。随后的研究使旁侧声呐在海洋地球物理和地质学领域取得了长足的进展。

旁侧声呐的结构如图 3.11 和 3.12 所示。表 3.1 列出了一些常用的浅水声呐系统。与传统回声测深仪的锥形发射形状不同，旁侧声呐艏艉向的主声呐束是窄的(约 $1^{\circ} - 2^{\circ}$)，横向是宽的(约 $20^{\circ} - 40^{\circ}$)。这样也可以通过侧瓣记录船附近区域的反射能量(图 3.11)。换能器包括一组压电元件的线阵组成，其工作频率在 9-500kHz 之间。磁致伸缩换能器通常只发射低频率信号。先发射一短脉冲，继而接收来自船正下方的海底回波和从海底到船侧的反向散射波及镜面反射信号。脉冲长度根据所需的声学分辨力和测程可在几十毫秒到几百毫秒之间变化。

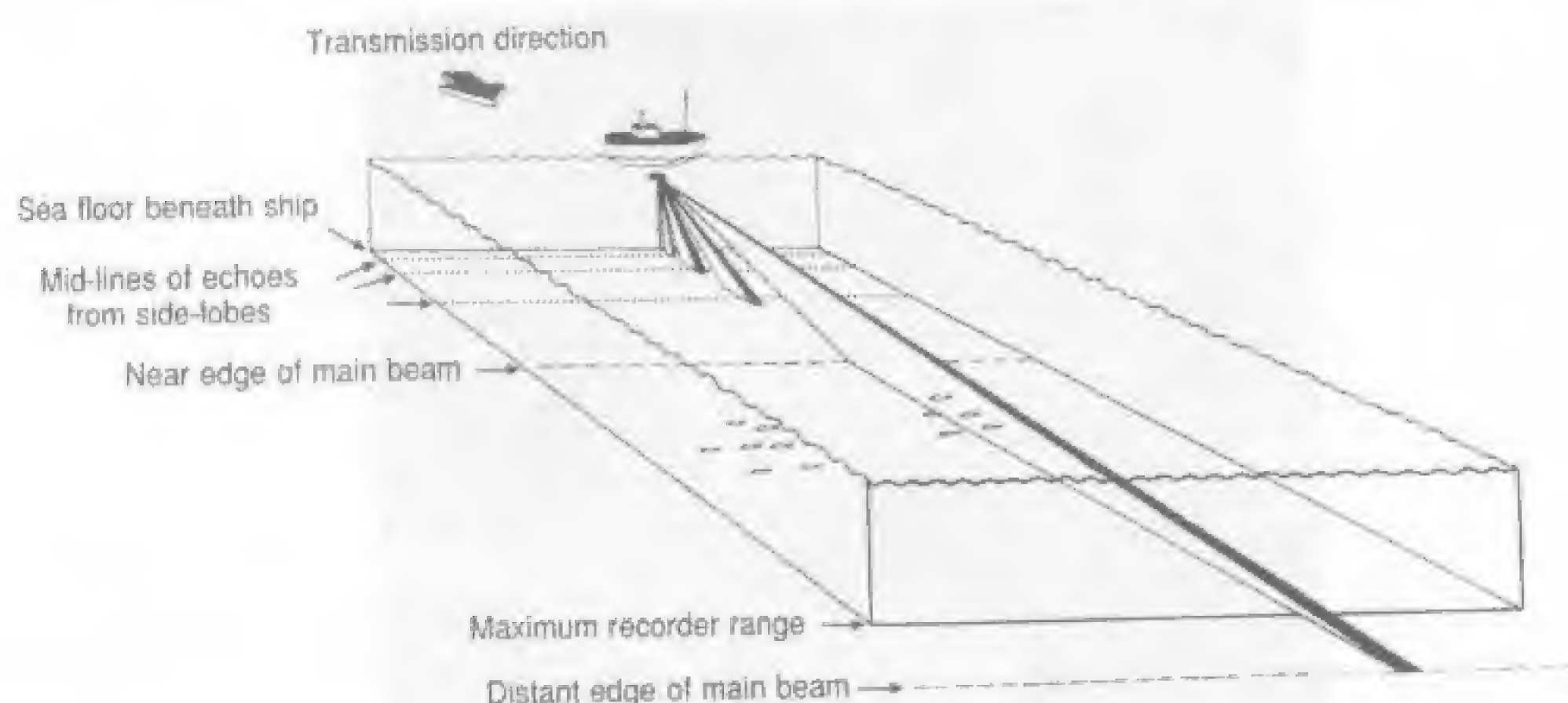


图 3.11 旁侧声呐换能器发射波束的框架图(据 Belderson et al., 1972, 经 Elsevier Science 公司允许后引用)。

海底反向散射强度受反向散射系数 S_b 控制， S_b 是指海底单位面积的声波发散强度与平面入射波强度之比，即：

$$S_b = P_b / (I_i A) \quad (3.6)$$

其中 P_b 指单位立体角的散射功率； I_i 指入射功率， A 指海底声波影响面积。 S_b 的大小与海底起伏及整个海底区域声波速度和密度的变化有关。在大陆架，海底起伏的水平尺度可从 10km 以上变化到小于入射波长的微小地形(100kHz 的换能器的分辨率为 15mm)。海底起伏可简单地用利系数 R 来表示：

$$R = kH \sin \beta \quad (3.7)$$

其中 k 为波数 ($2\pi / \text{信号波长}$)， H 为海底形态峰谷间的均方根高度， β 为以度为单位的掠射角 ($90^{\circ} - \text{入射角}$)。当 $R \ll 1$ 时，表面平坦易发生镜面发射，所有入射能量均向上发射；当 $R > 1$ 时，表面变成一个散射面，能量会向各个方向发射，其中也包括反向散射。在沉积物覆盖区声波通过海底时会产生大量回波，它也是整个反射波能量中很重要的一部分。

旁侧声呐的分辨率主要取决于声波束形状和传递脉冲长度两个因素，两者决定了声学覆盖点的大小。声学覆盖点沿航迹方向的大小 (Δx) 和横向大小 (Δy) 可分别由以下两式来定义：

$$\Delta x = \theta R \quad (3.8a)$$

$$\Delta y = (\bar{V}_w t / 2) \sec \beta \quad (3.8b)$$

其中 θ 是以弧度为单位的射束孔径角； R 是距目标体的距离； \bar{V}_w 是声波在海水中的平均速度； t 是传输时间； β 是掠射角。0.1ms 脉冲波的分辨率可达到几厘米。

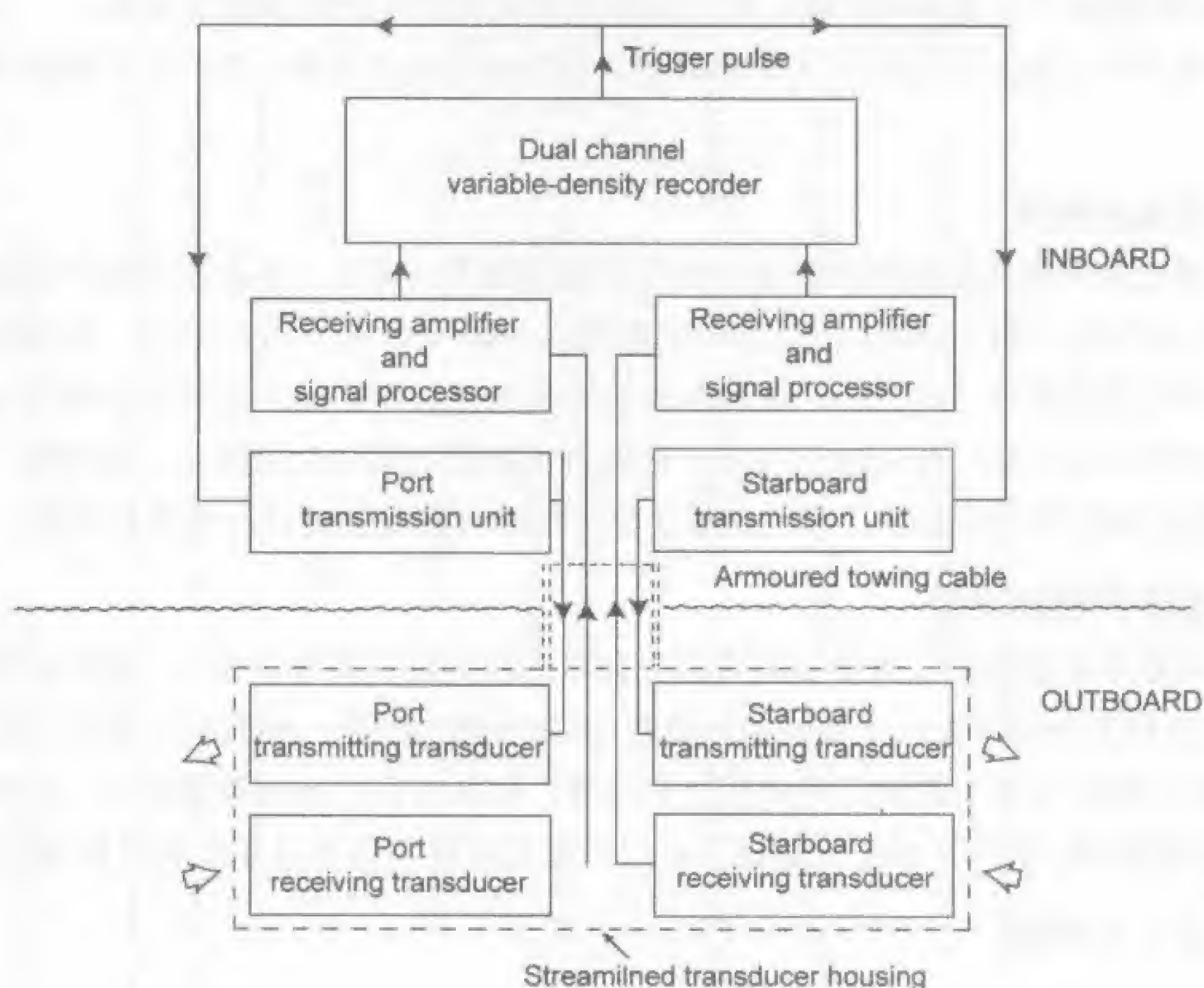


图 3.12 旁侧声呐系统的主要组成部分示意图(据 McQuillin and Ardus, 1977)

将换能器装在船壳上或者流线型拖曳体内可有效地扫描船的左右舷。在其它仪器还在用单频波操作时，旁侧声呐已开始充分利用两种频率信号的反向散射响应，以识别海底地形和沉积物颗粒大小（如：30kHz 和 72kHz，Ryan 和 Flood, 1996）。在一个充分混合的水层里，声呐测宽由主射束孔径角和换能器距海底的高度两者决定（图 3.11）。波束宽度一般在 20° 到 40° 之间，当换能器拖曳于水深 200m 的海面附近时其测宽约为 0.35-0.75km。换能器的拖动要尽量保持平稳，这样可以有效地避免信号失真和因入射回波未能落入主声呐束中而引起的振幅波动。当换能器拖鱼拖曳于海面附近时其测宽较大；而拖曳于离海底几米处时分辨率较高，能探测到微小的地形起伏。一般来说，换能器离海底的距离大约是其测宽的 10% 左右。

犹如回声测深仪，旁侧声呐触发输出脉冲信号的记录器也显示反向散射信号，并以数字形式记录下来，以便以后进行校正和图像增强处理。由于到达波至伸展的水平范围较大，因而需加入时变增益，以补偿远处扫描的振幅损失。图 3.13 就是声谱记录的一个实例。因而在解释这些记录时必须要注意辨别伪声波，伪声波主要受到以下几个因素的影响，如海面回波、多次波、侧回波，以及由于换能器偏航和水柱热分层而引起的目标体反射信号畸变。

为了对声谱记录进行定量分析，我们必须考虑引起比例尺失真的那些因素。一般来说，旁侧声呐图像只给出到目标体的斜距而并未给出航迹横穿海底的距离（图 3.11）。在近源场处畸变是最大的，并且随着海底与换能器间距离的增大其影响范围也会变大。如果换能器拖曳于距海底约为其最大测宽的 10% 处，畸变仅仅影响航迹附近的一小块区域。这样用以补偿斜距和船速变化而进行的几何校正量很容易在声呐图像中得到 (Blondel and Murton, 1997)。在航线间距小到足以使声呐覆盖产生重叠的区域，校正过的声谱记录便可拼接成镶嵌图像。

目前旁侧声呐已被广泛应用于大陆架调查，包括基岩地质制图、海底矿产资源评价、地质灾害探测等。

3.4.1.1 基岩地质制图

声谱记录能揭示现代沉积物未覆盖区的许多构造细节。图 3.13b 就是英格兰南部的基岩结构图，该区有侏罗纪（约 150Ma）的沉积岩出露 (Donovan and stride, 1961)。最强的回波产生于坚硬石灰岩组成的低脊（约 1m），该石灰岩与较易被侵蚀而形成凹陷的页岩相间分布。诸如此类的旁侧声呐记录已被广泛应用于与采样有关的大陆架的系统性制图上。为结构、粒级和功率谱等分析的反向散射研究提供了一种定量手段，用来对海底区域进行分类并制图。

3.4.1.2 海底矿产资源评价

近海砂砾堆积是重要的工业砂石料资源。分布比较有限的是富含锡石、钛铁矿等重矿物的砂矿床。粗粒沉积的海底形态产生很强的声散射，因而旁侧声呐是一种有效的勘探工具。图 3.13a 声谱记录揭示出粗粒沉积与淤泥区间明显的声边界，粗粒沉积几乎是镜面反射，而淤泥却不能将声波反射到换能器。利用声谱记录镶嵌图可以对海底取样和高分辨率地震测量进行规划设计。

3.4.1.3 地质灾害探测

对于探寻对诸如石油生产平台、天然气管线和通讯电缆等海底构筑物完整性具有破坏潜力的海底因素而言。旁侧声呐是有力的一种手段。地质灾害包括岩石露头、不稳定斜坡、海底水道和峡谷及浅层气储层等等。在许多大陆边缘，峡谷深深地切入陆架坡折处，这不仅形成了不稳定边缘而且还为浊流进入深大洋提供了通道。在巨厚沉积物覆盖区天然气常出现于海底浅部。为安装海上平台进行的打桩过程中，可能会穿透浅层气囊并引起气体的喷逸，这显然是一种安全隐患。在声谱记录上海底天然气释放犹如火山口，它的大小从几米到几百米不等（图 3.13c）。少量的孔隙气也会引起浅沉积层抗剪强度的大幅度降低，因而严重影响了海底构筑物的稳定性。另外在对石油大力开采区及废物处理区海底的长期监测上也常运用旁侧声呐方法。

3.4.2 用于深水研究的旁侧声呐

早期探测洋底的旁侧声呐仪都通过安装深拖换能器来工作，这种换能器发射 120kHz 或 240kHz 频率的信号，并拖曳于离海底几米处的几千米长的传导电缆上。巨大拖曳力降低了它的速度（约 0.5-1.0m/s）。通常采用声学仪器来监测拖曳载体的高度，为避免换能器碰到海底通常会增大船的航行速度。

表 3.1 常用的几种浅水侧扫声呐系统（据 Blondel and Murton, 1997）

Widescan 60		[TAMU] ²		EG&G Deep-Tow		Klein 590/595		Klein 520		Simrad MS-992	
类型	浅拖	浅拖	深拖	浅拖	深拖	浅拖	浅拖	浅拖	深拖		
测深量程	<300m	<500m	<600m	<1000m							
总扫描宽度	37.5-400m	100m-30km	<1km	<600m (100kHz) <400m (500kHz)							
定位误差	<100m 卫星+近岸推算船位	<100m 卫星+近岸推算船位	<100m 卫星+近岸推算船位	<100m 卫星+近岸推算船位	<100m 卫星+近岸推算船位	<100m 卫星+近岸推算船位	<100m 卫星+近岸推算船位	<100m 卫星+近岸推算船位	<100m 卫星+近岸推算船位		
日覆盖面积	依赖于船速	<13000km ²	依赖于船速	依赖于船速	依赖于船速	依赖于船速	依赖于船速	依赖于船速	依赖于船速		
工作频率	100kHz/325kHz	11-12kHz/72kHz	59kHz	100kHz/500kHz							

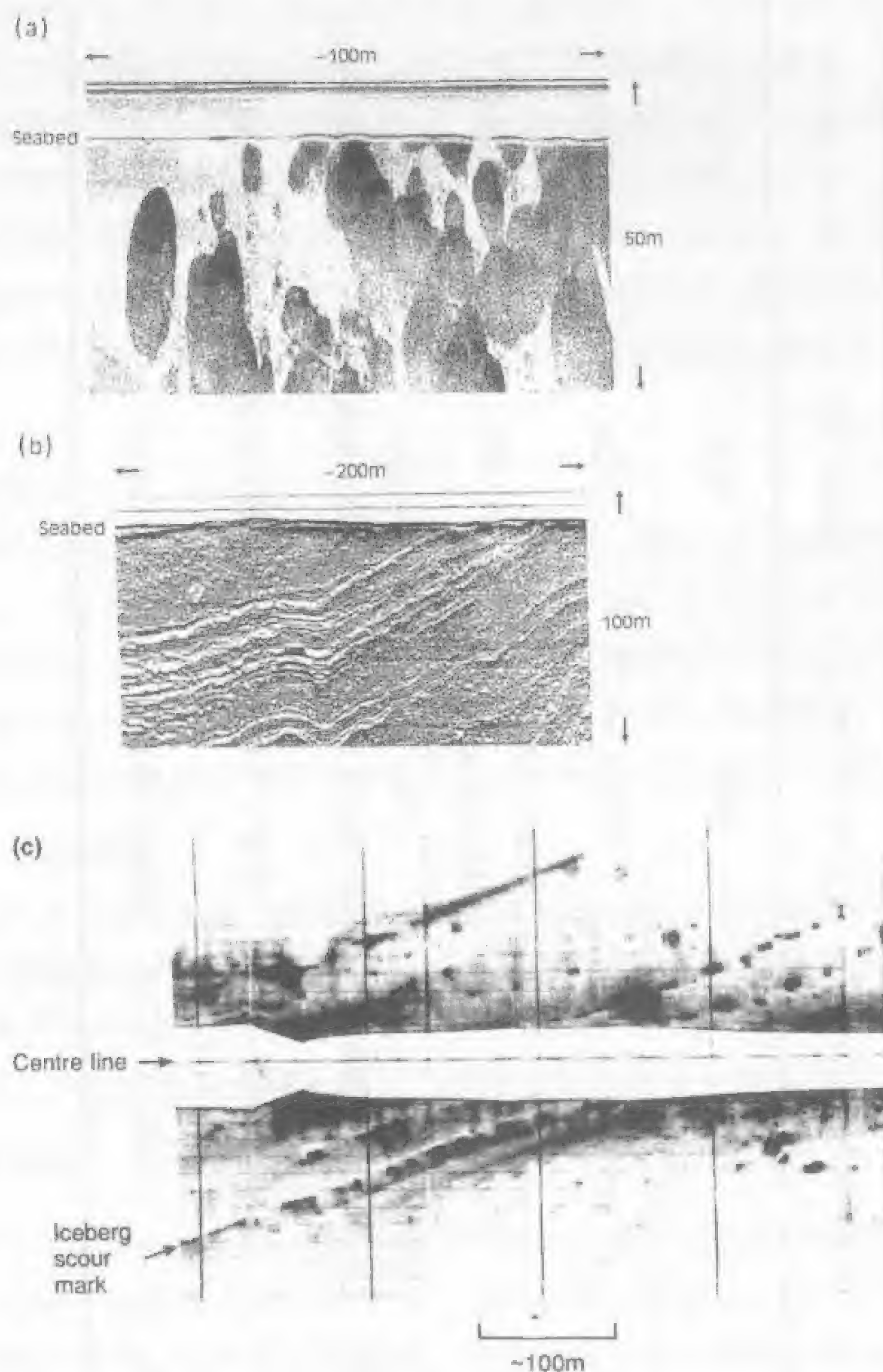


图 3.13 (a) 不列颠南部旁侧声呐图显示不同海底沉积物处的反向散射也不一样。扫描范围为 50m，记录长度为 100m。颜色浅的地方为淤泥区；颜色深的地方为泥沙区(经超电子海洋系统中心允许后引用)。(b) 声谱记录图清楚地显示在多西特海岸和英格兰南部有侏罗纪时代的页岩和未变形的石灰岩出露。扫描范围为 100m，记录长度为 200m(经超电子海洋系统中心允许后引用)。(c) 不列颠北部旁侧声呐图清楚地显示沿着冲刷线分布着很多麻点，这些冲刷线可能是在末次冰期由漂浮的冰山引起的(由 Gardline 测量有限公司获得，并经挪威国家石油公司 Statoil 允许后引用)。

后来远程拖曳式地质声呐 GLORIA (Geological Long Range Inclined Asdic)因安装了双扫描、远程拖体声呐在技术上有了很大的改进，GLORIA 自 20 世纪 60 年代晚期以来，已经历了几个发展阶段(Laughton, 1981; Blondel 和 Marton, 1997)。GLORIA-II 声呐船(图 3.14 和表 3.2)包括两排换能器阵，一排在左舷，一排在右舷。每排均由 2×30 个压电式换能器组成，

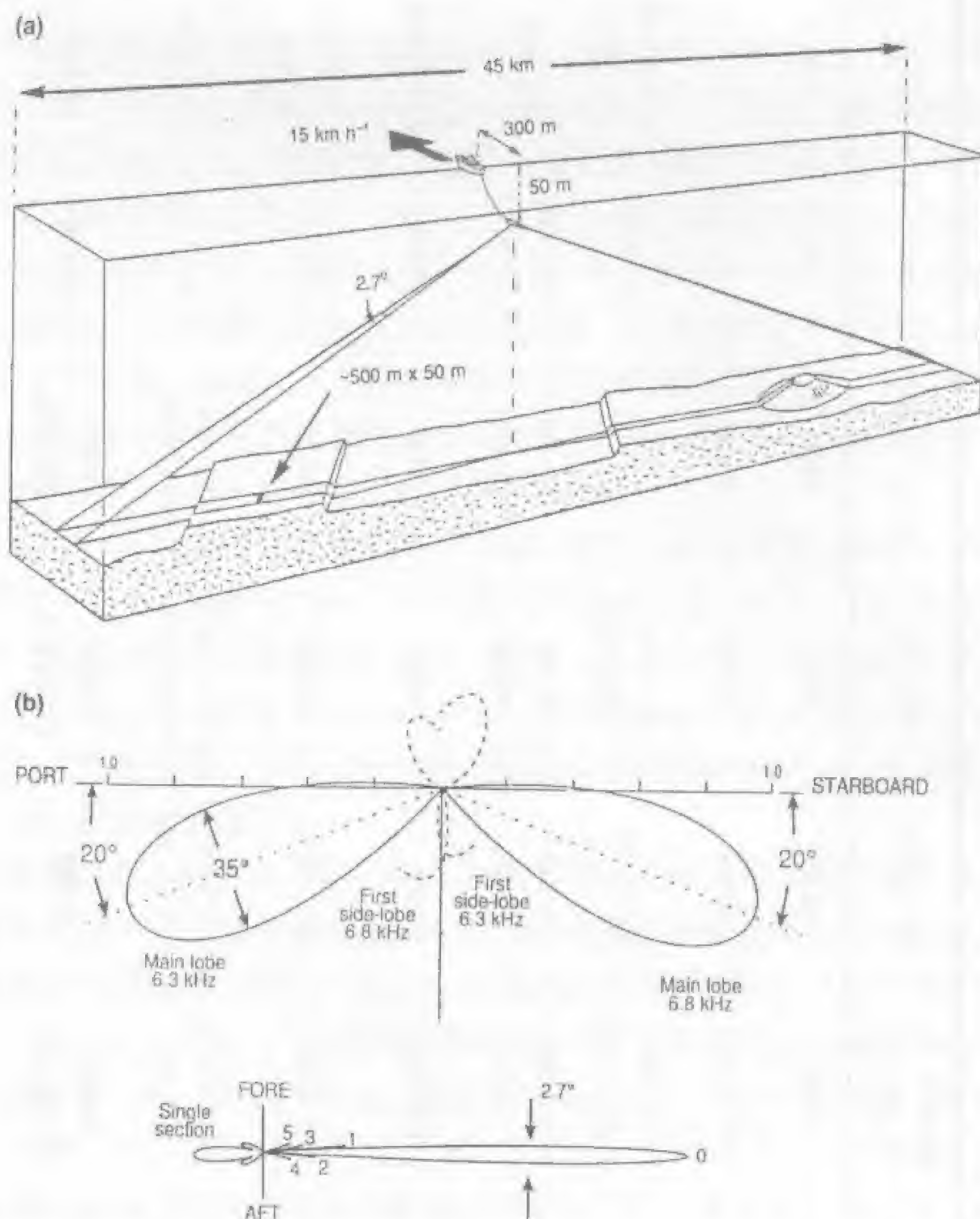


图 3.14 (a)拖曳式 GLORIA 的构造示意图；(b) GLORIA 换能器波束的形态图(据 Searle et al, 1990, 经 Kluwer 学术出版公司允许后引用)。

换能器的直径为 0.17m 并相互间隔 0.1m。每排又分成 6 组，每组有 2×5 个换能器串在一起，使用时仅用每排的三组传送信号即可。其输出信号的频率为 100Hz，是一种线状调频脉冲波，脉冲长度通常为 2s，每隔 30s 输出一次。左右舷载频信号的频率分别为 6.7625kHz 和 6.2875kHz，两舷采用不同的频率可避免换能器间的相互干扰或串音。水平波束在半功率点处沿航向的开角为 2.7° ；垂直波束的开角为 35° ，其轴线与水平线之间的夹角保持在 20° （图 3.14b）。阵列对来自近垂向声波的敏感度很低，这就大大减小了地势平缓处多次反射的影响。当换能器拖曳于船尾之后 400m、海面以下 50m 时，船速一般为 10-20km/h。一般将脉冲波重复率设置为可保证以 7km、15km 或 30km 的标准测程同时到达船的左右舷。大型目标的位置由水柱里的声波折射得到。因为远程回声时间很长，所以最好保证换能器在拖动过程中保持稳定。如图 3.14 中布置的 GLORIA 能在大风恶劣海况中使用。由于调查常在预定的测线网格中进行，因此声谱记录会有几千米的重叠。当船以 18km/h 行驶时，它每小时在大洋的覆盖面积可达到约 1100km^2 。

表 3.2 常用的深水旁测声呐系统(据 Blondel and Murton, 1997)

	GLORIA Mk II	GLORIA-B	TOBI	SeaMARC II /HMR-1	SAR 190kHz	DSL-120	Jason 200kHz	OKEAN	MAK-1
类型	浅拖	浅拖	深拖	浅拖	深拖	深拖	深拖	浅拖	深拖
测深量程	200-11000m	200-11000m	<10500m	100-11000m	<6200m	<6100m	<6000m		
扫描条幅	可达 60km	45km(影像)	6km	可达 10km	可达 1.5km	0.1-1km	0.3km	2×8000m	2×1000m 或 2×250m
总宽度	(一般为 45km)	4.5×深度(水深测量)		(一般为 10km)		(一般为 1km)			
定位误差	100-1000m 卫星	100-1000m 卫星	50-500m 长基线	100-1000m 卫星	5-10m 长基线	5-10m 长基线	0.1-10m 长短基线	100-1000m 卫星	SBL 网络
日覆盖面积	20000km ²	20000km ² (影像) 11, 500km ² (水深测量)	470km ²	10000km ²	10km ²	90km ²	10km ²	600km ²	依赖于船速
工作频率	6.3-6.7kHz	6.25-6.75kHz	30-32kHz	11-12kHz	170-190kHz	120kHz	200kHz	9.5kHz	30kHz 或 100kHz
测点大小 (纵向×横 向)	175×45 至 657×45m	125×45m 至 1000×45m	8×3.5m 至 43×2.1m	120×10m 至 197×2m	0.7×0.8m 至 0.3×0.4m	3.3×0.33m 至 13.7×0.15m	0.5×0.29m 至 2.4×0.15m	100×5m	35×0.5m
输出结果	影像图	影像图 水深测量值	影像图	影像图 水深测量值	影像图	影像图 水深测量值	影像图 水深测量值	影像图	影像图
日数据量	<1Gbyte	~5.3Mbyte	528Mbyte	<1Gbyte	<1Gbyte	>1Gbyte	~100Mbyte	≤350Mbyte	≤1Gbyte

将左右舷上换能器的输出电压进行离散化处理，得到 496 个采样点。对于 30s 间隔的脉冲波发射率可得到 45m 的横向分辨率；在船速为 15km/h 时对于船附近目标体的纵向分辨率可达 120m，最大测宽可达 900m 左右。我们还能通过象元和记录（脉冲）号鉴别声作用区的各个部分。每一个象元的位置完全和船定位联系在一起，它表示声波反向散射强度的平均值，一般取 0 到 255 间的一个整数。在最后出图（纵横比为 1:1）前必须先对斜距、船速变化及水层折射等的影响进行校正。然后再对记录作进一步的处理以剔除干扰，再对声谱记录进行提供统一“照明度”的校正(Blondel & Murton, 1997)。后者即为所谓的光照射或阴影校正，它考虑了随方向而改变的换能器响应，可以从深海平原信号的光滑平均或几小时内纵向电压的平均值中获得。一旦得到扩展和衰减损失便可以估计每个象元的反向散射强度。

图 3.15-3.17 是 GLORIA 仪器记录的一些实例。图 3.15a 是大西洋中脊火山区的声谱记录图。图 3.15b 是受卡斯卡迪海峡侵蚀的一处深海沉积区的声谱记录图，以往传统的回声测深仪只在轮廓上发现了它显著的曲折外貌。图 3.16 是中太平洋北部瓦胡岛和莫洛凯岛的 GLORIA 图，从图上可以看出该区存在着大型崩滑块体和火山区斜坡不稳定的大量证据。图 3.17 是波多黎各北部岸外大陆坡的声谱记录图，从图上也可看到陆坡大规模破坏的现象，沉积物巨大的下滑运动之后遗留下一条长长的弧形海崖。

在一些沉积物覆盖区，例如白令海，从 GLORIA 声谱记录图上能看到声波大量穿透海底的证据，这样反向散射波就不能简单地解释为海水与沉积物界面的物理特性。声谱记录图上曾经被认为是大的沉积波纹的相互平行条纹，现在认为是由海底以下数米的反射波相干扰而造成的声干涉带(Huggett et al., 1992)。各种深拖旁侧声呐经过不断完善已经能够得到比远程系统精度更高的测量结果，如 TOBI、STAR-190kHz、MAK-I、DSL-120、Jason-200kHz 等等(Kleinrock, 1992; Wright, 1994; 表 3.2)。TOBI 系统包括一个 30kHz 的旁扫仪、一个地磁仪和其它一些传感器，它们都安装在可以产生轻微正浮力的泡沫球的框架上（图 3.18、3.19）。若想记录到离左、右舷约 3km 宽的条带形区域的信号，就得拖曳于离海底 400m 处，速度保持在 3km/h 左右。脉冲信号长度为 2.8ms，每隔 4s 发射一次，分辨率从近船处的约 $4 \times 7\text{m}$ 到 3 km 外的约 $42 \times 2\text{m}$ 不等。图 3.20 是由 TOBI 系统得到的加利福尼亚岸外蒙特里海扇处曲折的海峡图像。

旁侧声呐已被广泛应用于大陆架边缘和深海地区的调查研究。研究区域还包括可供未来开采具有潜在经济前景的深海石油区和其它矿产区。例如，美国 370km 以内的海岸区域（专属经济区）已使用 GLORIA 仪器展开了调查研究工作(Cacchione et al., 1988)。远程旁扫系统和深拖旁扫系统也均被用于探查深海边坡的稳定性、通讯缆线的新路线、深水管道和处理有毒废物的潜在倾倒地点。热液矿床和锰结核这些在地形不很复杂条件下就可以产生明显声学特征的矿床也已经开始引起人们的密切关注(Huggett & Somers, 1998; Davin et al., 1992; Weidecke & Weber, 1996)。

3.5 多波束测深

60 年代美国海军开发了一种利用船下方以及航线两侧的回声绘制等值线测深图的方法，即声呐阵列测深系统(Sonar Array Sounding System)。它从换能器中接收大量旁侧反射信号并记录信号的距离和方向，以换能器的配置来推算航迹以外区域的深度。深度数据几乎可以实时得

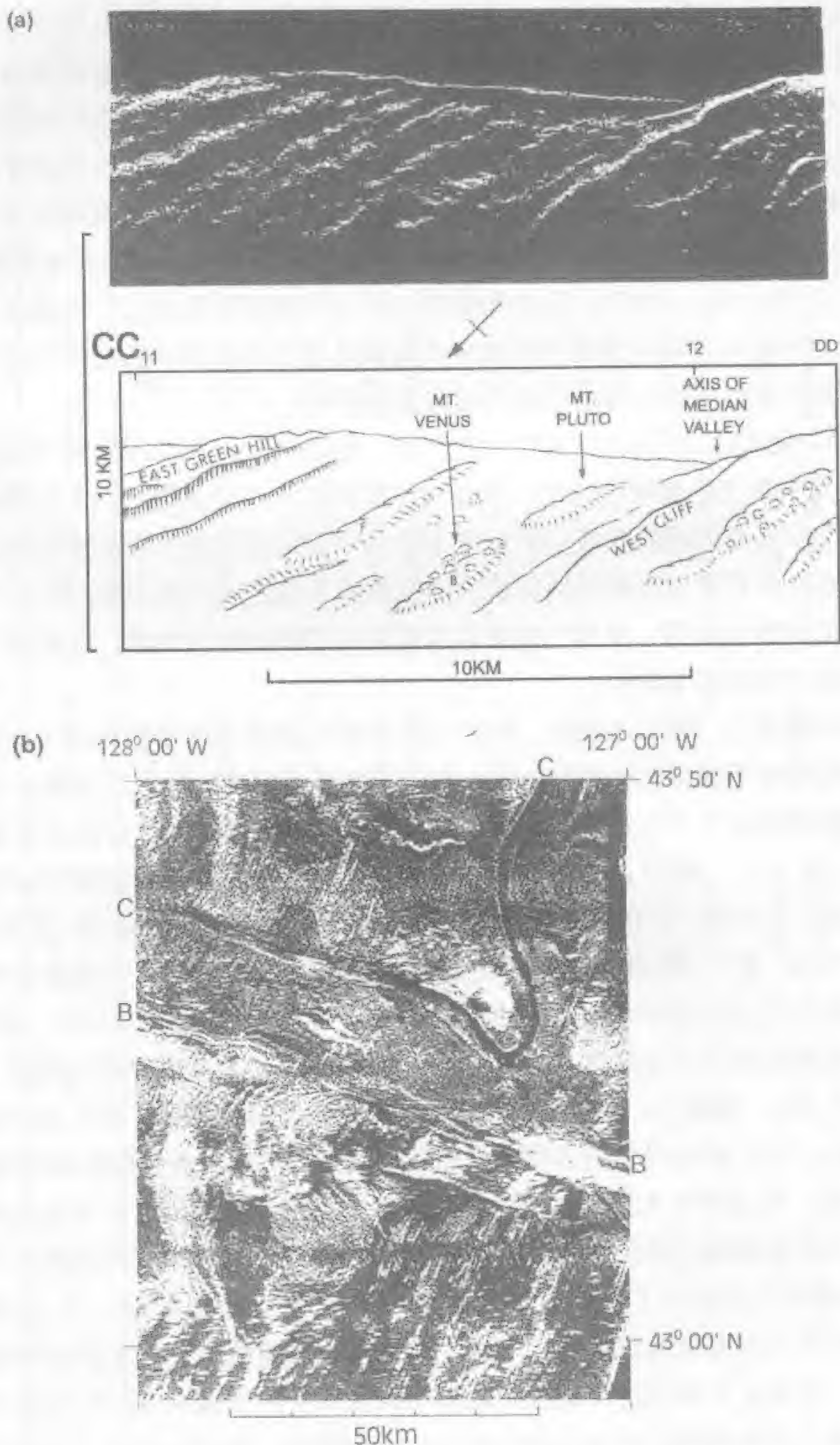


图 3.15 大西洋中脊 (36° 40') 中央裂谷的 GLORIA 声谱记录图及其解释剖面 (据 Laughton and Rusby, 1975)。扫描距离为 6.7km。地形起伏具线性特征, 显然正断层的反向散射较强, 如 West Cliff 正断层。Mount Pluto 和 Mount Venus 是与中央裂谷轴相平行的低火山脊 (经 Elsevier Science 允许引自 1975 年的深海研究 22 航次)。(b) 东北太平洋的 GLORIA 记录。B 为 Blanco 断裂带; C 为卡斯卡迪海峡 (据 EEZ-SCAN 84 Scientific Staff, 1986)。上图浅色区代表反向散射较强处。



图 3.16 瓦胡岛、莫洛凯岛和夏威夷岛北部区域的 GLORIA 声谱记录镶嵌图。浅色区代表强反向散射区。在夏威夷脊发生了大规模的滑坡运动。产生强反向散射的不规则滑塌区块延伸 10km(据 Moore et al, 1989)。经美国地球物理学会允许后引用。



图 3.17 波多黎各北部大陆的 GLORIA 图像。这是从东北方向望过去看到的圆形陡崖地形(据 Schwab et al., 1991, 经 Elsevier Science 允许后引用)。

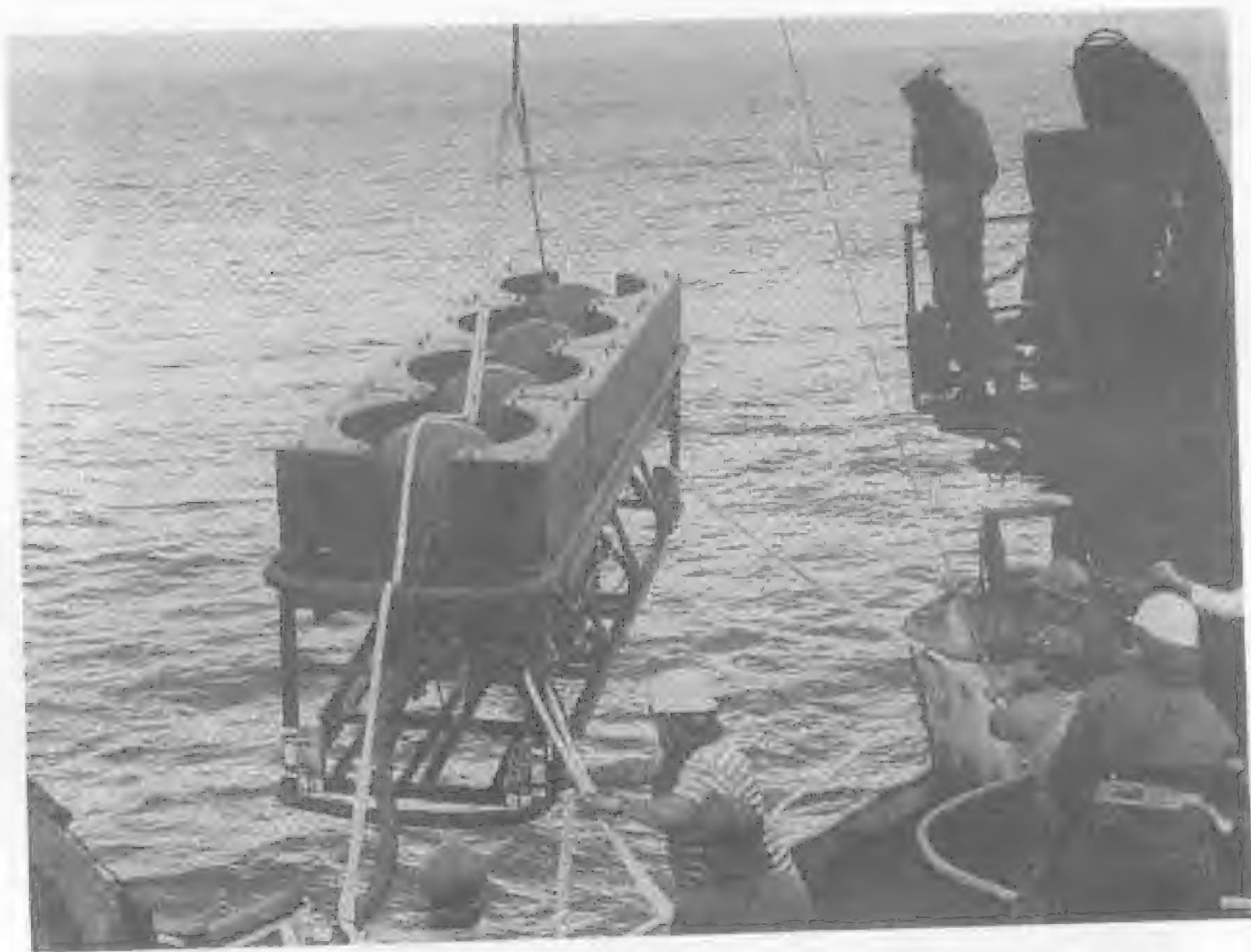


图 3.18 TOBI 系统从 RRS Charles Darwin 上向海中施放 (经南安普敦海洋研究中心允许引用)

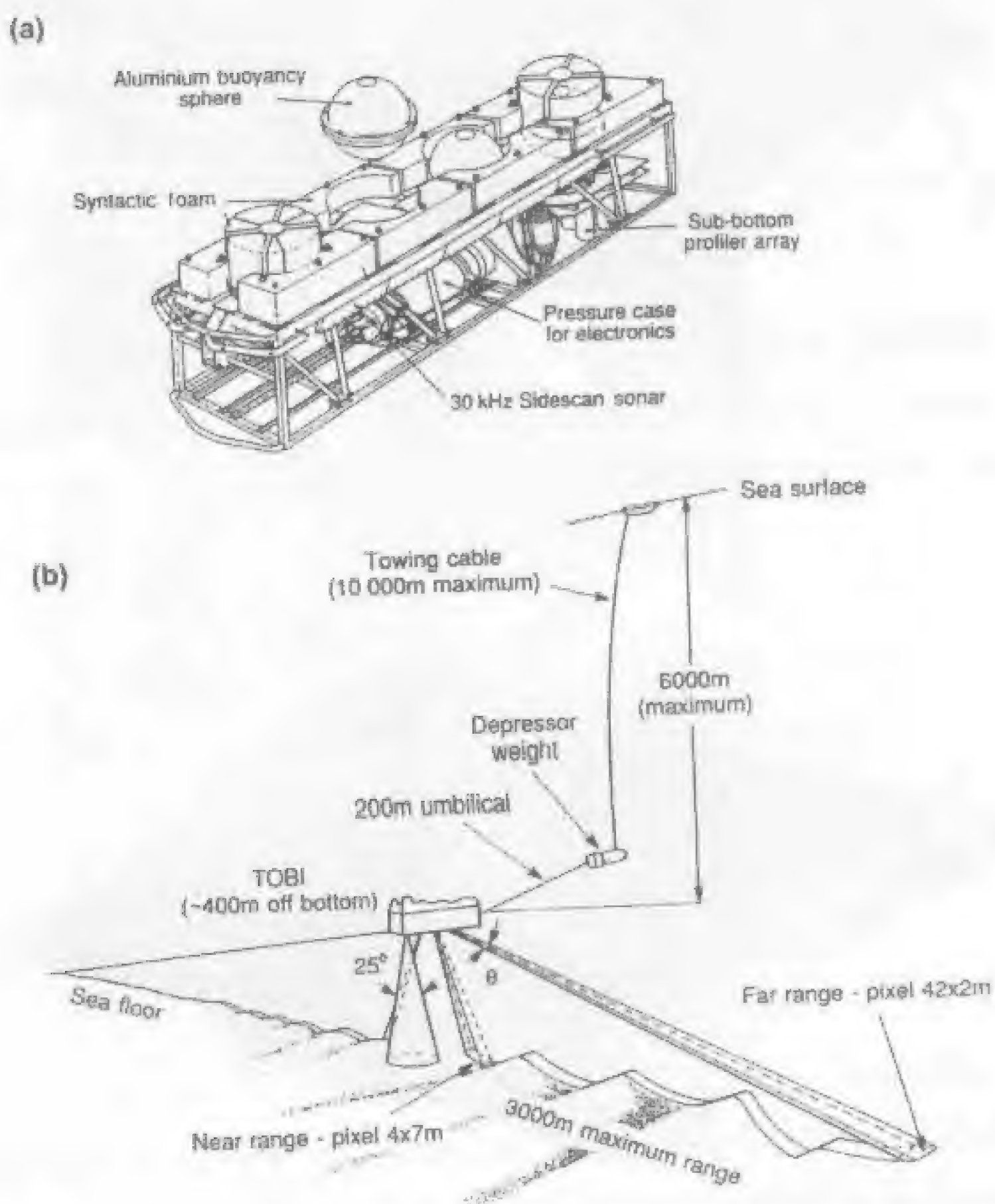


图 3.19 (a) TOBI 系统的结构框略图。仪器长 4.5m (经南安普敦海洋研究中心的 C. Flewelling 允许后引用); (b) TOBI 系统的拖曳方式示意图 (据 Flewelling *et al.*, 1993), 经电子工程研究所允许后引用。

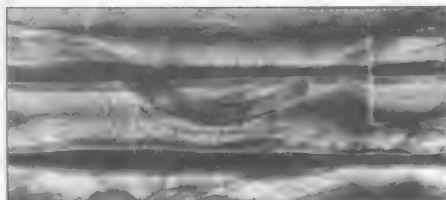


图 3-20 加利福尼亚圣巴巴拉海扇处深海的平山 190 吨的吊运。浅色区代表强反射区，水深已测量 12m、15.28m，测线水深 60m (图 4.10 见附录 A)，1993。一些电子（和声学）允许后处理。

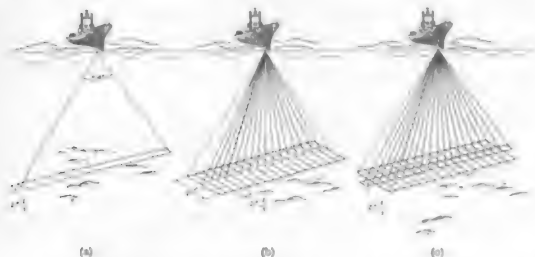


图 3-21 美国通用仪器公司制造的 Seafloor 系统原理图。(a) 多波束声纳与所能测量的海底区域。(b) 接收阵列接收信号。(c) 是 (a) 和 (b) 的结合，显示接收阵列接收信号 16 个波束的信号强度 (图 4.10 见附录 A)。1993 年 10 月 10 日拍摄，见附录 A 中图。

西。目前已有几种多波束系统使用：陆架和深水区的调查研究，如 Seafloor (美国)、Hydroswan (德国)、Edgetech (芬兰)、EM12、EM100、EM1000 (挪威) 和 FSI 2000 (法国) 等。多波束系统不仅可以用于架架调查船上，也可用在 SWATH 双体船和桥墩人处使用。

下面以 Seafloor 系统为例详细介绍一下多波束测深仪的工作原理 (图 3-21)。它有 20 个 125kHz 的收发换器，每一个收发换器包括四个换能器元件，这些收发换器安装在船壳上和长期保护罩下。发射器阵列以船上测深仪设定的角度，发射 160 度声信号，生成与航速垂直的 $64^{\circ} \times 6^{\circ}$ 立体角所对应的海底声作用区。电子确定系统接收并反射平面垂直 (图 3-21a)。接收系统以船在与船壳相垂直的声换板上，通过 40 个线性排列的水听器阵列接收，其轴为沿船前方方向。接收的回波信号经过前置放大，组成 16 个波束 (图 3-21b)。每个波束与声束海底面积为 2.67° (沿船横轴) $\times 20^{\circ}$ (沿船纵轴) 扇区的回波面积。有信号来自

3.6 组合系统：旁侧声呐和多波束测深

通过声呐反向散射的平面图形，多波束回声测深仪可以同时得到海面声呐图像和声深图。这个技术最近研制了多波束系统的新一代产品，其中包括 Seabed 2000, Hydroswath DS-2 和 Simrad EK-12 等等，它克服了传统侧声呐存在的一些问题，即在侧附近区域用侧声呐得到的结果很差，这主要是因为此处主声信号较弱而侧主入射角变化较大（图 3-14b）。区域主声束随海底起伏而侧角变化而变化，一般水深为 30m 时区域宽度为 0km，Sjöberg (1982) 通过将多波束数据每个象元的深度与相应海底的回波强度成正比比例绘制侧声呐图。假设反射能量遵循 Lambert 定理，则在裸岩区有：

$$S_e = 10 \log L + 10 \log \sin^2 \beta \quad (3.10)$$

其中 S_e 是散射系数； L 是一个测量； β 是入射余角。该方法与 GLORIA 系统传感器的相似。虽然侧声式多波束系统的传感器排列与 GLORIA 的不同，但将它们联合起来使用使人大大提高了 GLORIA 声呐记录近航路区的旁侧率，并有助于横向形态的对比。

将反射散射和声深图联系起来，我们可从入射角的变化得到反射散射的变化情况，从而给出一种侧声海底属性的有效方法。这一点已在 45°N 大西洋中脊海岭处得到了验证，该区的岩石主要是年轻火山岩，风化玄武岩及沉积物组成 (Kosson and Searles, 1986)。

包括 Seabed 2000, IMR-1 和 GLORIA B 系统在内的几个拖曳式声呐系统已能提供很好的条带测深图与旁侧声呐图（表 A-1）。Seabed 2000 系统一般拖曳于海面约 100m 水深处，载体两侧安装了侧扫换能器，声能：15kHz，声能：12kHz，线阵以测量回波信号相位角（图 3-25）。这样可得到某一特定反射层的入射角，从而得到反射目标体的方位角 θ ，并从此反射时间求得距离 r 。侧面距离和深度可由此绘制等深线的网格间距。脉冲一旦发出，从换能器拖曳的每一侧每秒钟都可记录到 1000 多个数据。每秒钟，按照方位和射角将这些数据分成几组反射时间，反射时间再转换成深度和水平距离，并绘成网格状和等值图勾画。在大洋一般使用 10km 的条带扫描宽度，载体航速每侧的声呐图像由 1024 个像素组成。

3.7 电磁波测深

3.7.1 雷达

由于电磁波信号在海水中衰减很快，因而电磁波测深系统在使用上受到了很大的限制（图 3-1）。曾在阿拉斯加和马里亚纳群岛附近几十米水深处利用发射线圈和接收线圈（一般用石墨电极的大电流电导率测定）经过试验性航测（见第九章），只要能得到海水和海底的平均电导率，便可计算出水深 (Kosson and Searles, 1986; Zeffinger *et al.*, 1987)。如果电导率受到温度变化或者其他变化的影响，得到的水深精度就会有误差。这种方法可推广应用于具有电导率浮层覆盖的浅水海域 (Holladay *et al.*, 1986)。

尽管雷达脉冲在测深时衰减很快，但由于短周期重力波受与局部地形有关的海流的调制，因而可依据海面反射得到水深变化情况。机载和星载合成孔径雷达用来测定浅部形态的大致位置和走向，如欧洲西北和美国大陆架的沙波场和滩涂沙滩 (Kosson, 1983; Hemmings *et al.*, 1983)。在海面较平静时获得的图像很清晰。1986 年，Harris 等人通过卫星合成孔径雷达和旁侧声呐的对比发现能探测到 10m 多深和 500m 宽度的海底沙有脊，此时表层流速为 0.7m/s。

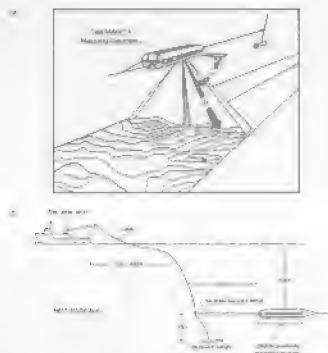


图 3.25 (a) SeaMARC II 系统；(b) SeaMARC II 系统示意图（据 Blackstone and Hussong, 1983）。经近海技术联合会允许后引用。

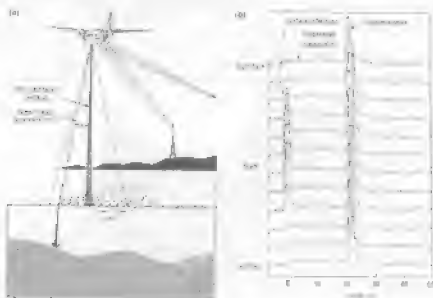


图 3.26 (a) SeaMARC II 系统的示意图；(b) SeaMARC II 系统的示意图（据 Blackstone and Hussong, 1983）。经美国声学学会允许后引用（© 1983 年 7 月 25, 2004 年 2004 年）。

3.7.2 机载激光雷达

通过对海面激光脉冲反射信号的检测发明了一种用于水深测量的技术（Blackman and Hogg, 1969）。由于激光的穿透力弱，这种方法只能应用于深度在几十米以内的区域。穿透深度

最大的是蓝绿光，因为这部分可见光透入海水中的衰减最慢。目前已经有的一些机载激光测深系统开发应用于直升飞机和固定翼飞机上，如 WFLADY 和 LAMAR II（澳大利亚）、SIRALIS（美国）、SIRALIS（瑞典）、LAMARADY（加拿大）和 MAREX（日）（德国）等系统。

图 3.26 所示的是 WFLADY 系统的工作原理，它主要采用一个双轴扫描 SALS 激光器，颜色波长为 532nm (Ferry *et al.*, 1989)。激光扫描角度虽小但是可以覆盖半圆两侧的多方位并中确定深度。激光束向下传播，经反射光由海面反射回来，但不能直接测得海水材料，因为光到达海面而和海底反射回来。返回的信号用激光计取的电位器增量校准。图 3.26 所示即上述系统发射的一束绿光扫描和光接收器接收的输出结果。根据红外线反射信号可确定飞机距海面的高度从激光一秒钟内以角度为左右都工作的来回扫描(扫描几次)。如果 θ 是激光和垂直线间的夹角，则可得到半圆路径长度为 $2H(\sec \theta - 1)$ 。在通过用水中绿光传播时的确定深度之前必须要对数据进行校正。当飞机最低点两侧的最大光束夹角取为 15° ，300m 高的飞机的扫描宽度可达到 260m 左右。

机载激光测深系统的精度取决于水的透明度、海况、海面反射、激光输出功率峰值、激光光斑尺寸和飞机高度等因素。在清澈的海域，平静清澈的水中误差经过多次飞行，而在浑浊的水中扫描精度 2m 甚至更小。在较深的水域，水深精度可达 5m，测深精度约为 0.3m。与同水深精度相比，该系统测深精度受温度变化的影响较小。在 50m 水深处，温度从 0℃ 变化到 30℃ 引起的误差只有 0.1m。材料存储误差值从 30% 变化到 40% 引起的误差值只有 0.07m。

图 3.27 所示为澳大利亚西南 60m 水深处的 WFLADY 测深剖面。机载激光测深测深仪已经应用于许多海洋环境的调查中，如澳大利亚、加拿大、瑞典和美国等都曾用过 (Koppert *et al.*, 1994; Lillycrop and Bulic, 1993; Simejad, 1995)。澳大利亚的沿海，在 50m 水深处，用该系统和使用回声测深仪测得的结果基本一致，精度为 $\pm 0.5m$ 。该系统特有的地面覆盖速度对于期望天气和人类活动影响较小的浅水区的短期检测测量更为有效。例如 SIRALIS 系统（扫描式机载激光测深系统），当安装在 200m 高度的直升机上以 30m/s 的速度飞行时，采集 4m × 4m 网格的测深数据时一小时便可扫描 5km² 的区域。

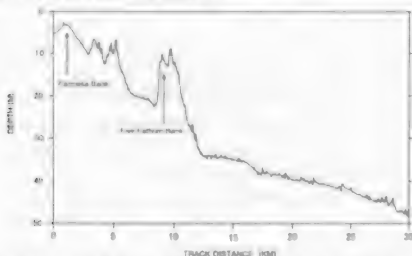


图 3.27 用 WFLADY 系统得到的澳大利亚 Fremantle 港深水深度剖面图(据 Ferry *et al.*, 1989)。经美国光学学会允许引用《海洋光学》, 23, 2046-2048。

第四章 海洋地震勘探：基本原理

4.1 地震波的传播

我们对海底构造的了解，主要源于对弹性波传播的研究。这些弹性波一般由构造运动和天然地震产生。其中，体波和面波是两种截然不同的地震波。

体波是在地球内部传播，其运动与能量（ P ）和剪切波（ S ）的形成传递能量。P波的特点是质点的运动方向与波传播的方向平行。其速度 V_p 取决于体积弹性模量 λ 、剪切模量 μ 和介质密度 ρ 。

$$V_p = \left(\frac{\lambda + \frac{4}{3}\mu}{\rho} \right)^{\frac{1}{2}} \quad (4.1)$$

P 波的接收可以利用悬浮在水中的一列压力传感器（水质器），或者用感应海底位移的地震检波器（图4.1）。一般认为地震或水下爆炸产生的水中传播期P波是1相位的。

S 波通过垂直于波传播方向的质点运动传播地震能量。 S 波的传播速度 V_s 小于 V_p ，公式为：

$$V_s = \left(\frac{\mu}{\rho} \right)^{\frac{1}{2}} \quad (4.2)$$

V_p/V_s 与介质的泊松比 σ 相关：

$$\frac{V_p}{V_s} = \left(\frac{1-\sigma}{0.5-\sigma} \right)^{\frac{1}{2}} \quad (4.3)$$

由于液体不能产生剪切力，所以水中不能观测到 S 波，但可用地震波检波器在海底和钻孔内检测到 S 波（图4.1）。 S 波与 P 波一样，都是非耗散的，也就是说它们的传播速度与频率无关。剪切波没有特定的偏振方向。地震波检波器一般只接收地面运动的水平偏振分量（SH）和垂直偏振分量（SV）。

面波仅限于沿固体地球外表面传播。在自由（非约束的）表面的环境下面能发出瑞利波，其特征是：地面质点在与波传播方向平行的垂直面内作逆时针运动。垂直运动（振幅）随深度呈指数衰减。图4.2的波动图记录有瑞利波，该图显示了在复活节岛附近的一次地震之后，近加利福尼亚海岸的海底地震波检波器（OBS）和一个陆地地震波检波器（BKS）所探测到的垂直地面的信号。每幅波动图上的瑞利波波列的初至都用18标注。

瑞利波的速度取决于近表面的弹性模量和介质密度。在泊松比为0.25的均匀半空间，瑞利波速为 $0.92V_s$ 。在这种简单假设的情况下，瑞利波是非耗散的。在实际地面上，由于弹性模量和密度的深度变化，其速度也就随波长而变化。由于介质密度和体波速度都有向下增加的趋势，所以能量一般是法向散射，并且长波长比短波长传播得快。在图4.2上，面波初至波周期是23s，7分钟后就减少到10s。

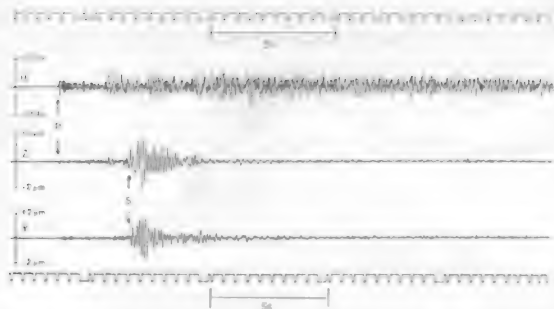


图 4-1 在“S”图中大地注记中看源部，利用海上海底地震波检测器和一个水听器所接收到的地震图。地震波检测器安置垂直方向（Z）和水平方向（U）的地震记录，水听器记录水中的压力变化（Y），P 波源部的区域部，在水听器面，清楚地表现为压力的突然增加，在 Z 和 Y 地震仪检测器上表现为一个脉冲信号波。S 距（S₀）可以通过海底位置进行探测。据 Francis *et al.*, (1977)，经出版商和美国地质学会允许引用。

通过确定群速度 V_g 和相速度 V_p ，可以量化作为波周期函数的频散。 V_g 是以特定频率传播能量的速度； V_p 是一个波群内的特殊相位（波峰或者波谷）传播的速度。它们有如下关系：

$$V_g = V_p + f \frac{dV_p}{df} \quad (4.4)$$

其中 f 是频率， V_g 或 V_p 与波周期之间绘制的曲线被称为频散曲线。

如果 S 波速随深度增加，或者出现层状，上覆层的 S 波速小于下伏层，那么勒夫波就沿表面传播。此时，地面质点在与地面平行的平面上运动，且运动方向与波传播路径垂直。作为完全极化的剪切波，勒夫波的传播速度取决于 V_s 。通常勒夫波是频散的，在表面，其短波长的相速度接近 V_s ，在较深层，其长波长和相速度接近 V_s 。勒夫波在地球表面的群速度通常高于瑞利波。

瑞利波和勒夫波的传播需要剪切力，因此在水中不能直接观察到，但可以通过海底位移进行探测。沿海底传播的瑞利波严格说是在液-固边界传播的界面波，即 Scholte 波。Stamouley 波也是界面波，其质点位移从海底和基岩朝水体和固体两个方向都按指数规律衰减。如果出现平面边界，它则是非频散的，且传播速度高于瑞利波速，而低于 S 波速。如果界面是非平面的，则会出现频散。

表 4.1 列出了近海一般物质的 P 波速度。很多是各向异性的，表现为速度随传播方向的变化（Christensen, 1982）。片状矿物含量很高的重岩一般具有明显的各向异性特征，平行层面方向

的波速比垂直层面方向的波速大 1.25 倍以上。波速在垂直于对称轴的各个方向上是相同的, 这种现象称为横向各向同性。通常假定沉积层中的波速在平行于层面的方向上是相同的。成层的沉积序列由各向同性层组成。如果地震波长与层厚比较大, 则表现为横向各向同性介质。

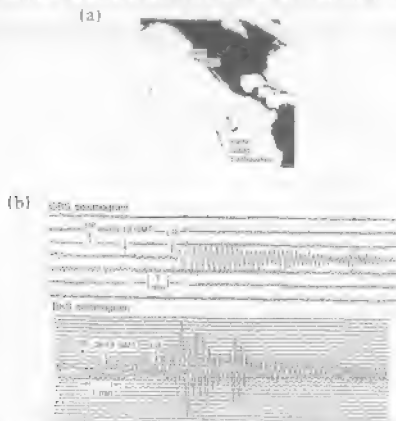


图 4.2 (a) 墨西哥湾的位置并靠近加利福尼亚海岸的地震台站 (BKS, 帕克利陆地地震仪, OBS, 海底地震仪); (b) BKS 和 OBS 地震台站地震图的前三分量 (P, 纵波) 据 Prosser et al. and Nissen, 1989, 美国地震学会版权 1989, 版权所有。

测量 V_p 可以对物质性质进行限制, 但一般不能确定岩性。上覆层地震速度的增大, 可能是因为岩性变化, 还可能是因为气候, 上覆层力, 火山作用和构造运动造成的孔隙度变化。孔隙度岩石时, 其速度和振幅会受裂缝存在的影响。图 4.3 所示, 压力限制在 50-100MPa, 当孔隙度降低时, V_p 测量上升。岩石中气体的存在会降低 V_p 和 V_p/V_s 比率。

弹性波从震源向外传播时, 由于波前扩散, 弹性能量转换成热能, 以及介质的不均匀性, 将导致能量的反射、折射和散射, 使质点运动的振幅不断减小。球面波被穿经均匀弹性介质时, 其振幅的衰减与传播距离成反比。由于压缩波和剪切波的速度通常随深度增加, 这使波下波扩散加剧, 导致振幅衰减快于球形扩散。质点运动产生摩擦损耗, 这也使弹性能量逐渐消散。为了更好地近似, 假设在单位时间内, 通过垂直于波传播方向上单位面积的能量流, 也即强度将随距离增加按指数规律减小。如果 I 是距震源 r 的密度, 那么:

$$I = I_0 e^{-\gamma r} \quad (4.5)$$

其中, I_0 是初始密度, γ 是吸收系数, 单位是 dB/λ。对于水听器测量, 强度与压强 (单位面

积上的压力)成正比。

温度 T 的海水在一个大气压下的吸收率 α (atm) 时的吸收系数为 $5.5 \times 10^{-10} \text{ dB/km}$ (Fisher and Simmons, 1977)。沉积物和岩石的吸收系数 η 常以厘米为单位量度, 在 $0.25 - 0.75 \text{ dB/km}$ 之间 (Widjer and Murphy, 1989)。声波在海水中传播比海水底下传播要费更大比例的高频能量。岩石的实验室测量表明, η 为常数时, 吸收与频率成比例, η 随频率的增加, 会使高频成分随距离增大而衰减。对于短距离和低频, 其能量在传播中的损失主要是由扩散造成, 吸收只占很小的比例。吸收随频率和距离的增加而增加, 并逐渐成为高频和长距离情况下能量消散的主要机制。输入尖脉冲的频率会在向前传播中加重。

表 1-1 近海一般沉积物的压缩波速度。数据来源: (1) F. L. Vernon (1982), (2) Sorensen and Brackley (1994), (3) Stinson and Grijalva (1995) 和 (4) Sorensen (1996)。

岩性	V_p (km/s)
海水	1.45—1.53
非固结砂	1.5—2.0
深海软泥	1.5—1.9
粘土	1.0—2.5
页岩	2.0—4.1
水珠层	3.5—4.0
沙岩(第三纪)	2.0—2.5
沙岩(石炭纪)	4.0—4.5
白垩(白垩纪)	2.0—2.5
石灰岩(侏罗纪)	3.0—4.0
石灰岩(石炭纪)	5.0—5.5
白云岩	2.5—6.5
岩盐	4.0—5.5
玄武岩	3.5—6.0
辉长岩	6.0—7.0
花岗岩	4.0—6.1
超基性岩	7.5—8.5
蛇纹岩	5.5—6.5
片麻岩	3.5—7.6

4.2 探测海底构造的体波方法：折射地震观测

4.2.1 层状介质中的传播

海洋地震学的主要目标之一, 就是为了发现地震波速度如何随海洋深度和位置的变化而变化。为了勘查数千米以下的地层, 我们可以用地震排列的方法, 一般向深水下爆炸, 并在不同的炮检距下精确测量折射体波的旅行时间。

视速度 V_{downp} ，是穿过临界折射界面点的线（图 4.4b 中 K_0 ）的斜率的倒数，公式为：

$$V_{downp} = \frac{V_0}{\sin(i_1 + \alpha)} \quad (4.7)$$

为了获得下伏层未知速度 V_1 ，以及折射界面的倾角，可将垂直界面反转力（图 4.4b），其上行旅行时为：

$$t_{up} = \frac{1}{V_0} \sin(i_1 - \alpha) + \frac{2z_0(V_1^2 - V_0^2)^{1/2}}{V_1 V_0} \quad (4.8)$$

其中， z_0 为上覆层厚度，即震源到倾斜界面的垂直距离。

$$\text{上行视速度: } V_{updp} = \frac{V_0}{\sin(i_1 - \alpha)} \quad (4.9)$$

确定速度 V_1 的临界角 i_1 ，以及倾角 α ，可以由方程 (4.6) 和 (4.8) 得到

$$i_1 = 0.5(\sin^{-1} \frac{V_0}{V_{downp}} + \sin^{-1} \frac{V_0}{V_{updp}}) \quad (4.10)$$

$$\alpha = 0.5(\sin^{-1} \frac{V_0}{V_{downp}} - \sin^{-1} \frac{V_0}{V_{updp}}) \quad (4.11)$$

其中， $x-t$ 时距曲线图中上倾界面时距曲线斜率为： $m_u = 1/V_{updp}$ ，下倾界面时距曲线斜率为： $m_d = 1/V_{downp}$ 。

实际上，震源和检波器都是沉放在上覆水层中的，因此旅行时需校正到某一个参考面上。参考面通常是海面或者海底，L. Meria (1988) 将该理论扩展到两层介质的情况，并且推导出用于计算“速度—深度关系”的表达式，适用于各向同性平面界面任意倾斜的层。时距曲线图上较有价值的是“时间域技术”，能用于推断构造（Levine and Rinehart, 1960）。为了推导每个检波器位置下反射体的深度，把旅行时分两部分：第一部分是波以高速层速度从炮点到检波器点直接传播所需要的时间；另一部分是波入射至高速层，再经反射所需的时间。该技术用于解释一些早期的大陆边缘的折射剖面，但仅限于折射体倾角小于 10° 的情况。

该折射方法不能得到界面低速层的厚度。地震波射线在遇到比如低速非固结层或者含气砂岩时不能进行临界折射，不能产生首波。截距时间可以表示低速层以上介质的入波厚度（Daley et al., 1980）。对于横向各向同性的介质层，某一点的 P 波和 S 波速度可由椭圆近似表示，其中水平速度 V_h 和垂直速度 V_v 分别对应椭圆的长轴和短轴。如果平面波在各向同性介质 1 和 2 的分界面上的入射角是 θ_1 ，折射角是 θ_2 ，那么：

$$\cot^2 \theta_2 = V_v^2 [V_h^2 \cot^2 \theta_1 + V_v^2 (V_h^2 - V_v^2)] / [V_h^2 V_v^2] \quad (4.12)$$

其中， V_{h1} 和 V_{h2} 对应介质 1 和 2 中的水平速度。各向异性射线路径的偏差能用于计算时距曲线图上的结构（Levine, 1978）。

图 4.5 是根据多组结构地震信号绘制の時距曲线图，其中图 4.5a 是在西大西洋的一次较早的地震折射试验中，悬挂在固定测网上的水听器接收到的信号输出。线 G_2 和 G_1 表示两测线检波器

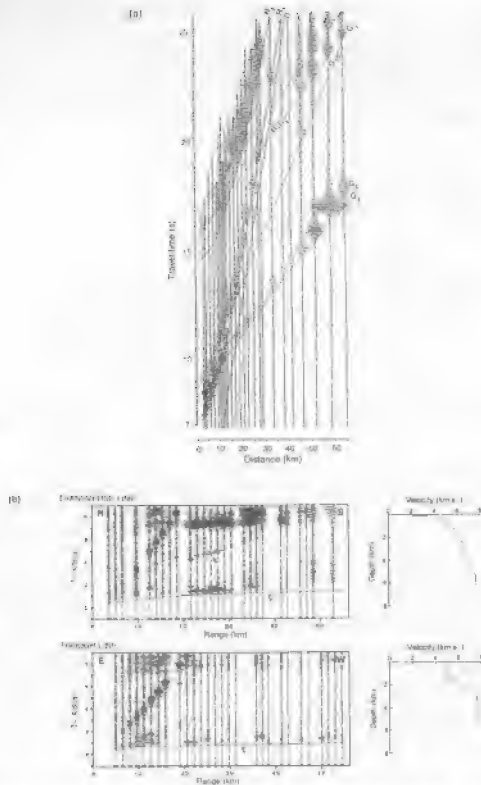


图 4.5 (a) 西太平洋的地震时距曲线图, P 为直达波; S 为首波; P_c 为反射波。(b) 两条位 23°N, 141°W 的中兴渔场断裂带上的地震折射线。在滑动图上, 随着时间的减小, 速度从 3.5 km/s 开始减小, 顶图的测线垂直于断裂带; 底图的测线沿着断裂带谷底。同时绘出速度—深度曲线 (据 Forman *et al.*, 1984, 经美国地球物理学会允许后引用)。

10km 的强震波的初至,在较短范围内最早到达的是来自海底的高振幅反射。水中直达波中线和标示。图 1.51 中的各道面位于中大西洋脊构造带裂带海底水听器记录,其经制成如下的时距曲线图。

$$t = t_{\text{min}} + \frac{x}{V_1} \quad (4.13)$$

其中 t_{min} 是观测能开始, V_1 是不断减小的速度。首波 1.8 km/s , 在“速度—深度”图 1.8 km/s 的速度表现为平行于半坐标轴直线。峰值时间的绘迹扩展了时间双曲线,使得最晚的地表波至也能清楚地显示。

4.2.2 速度梯度和波的传播

4.2.2.1 海水中的速度梯度

震源和检波器通常置于水体中,由于海水中声速垂直变化非常明显,这使得地震波射线弯曲(见图 3.2)。在应用直达波确定炮检距时应考虑水层的折射。图 4.6 a 显示近海面的 P 波折射。射线的弯曲使得没有真正意义上的“直达波”可接收。如果声速随深度增加(图 4.6b),那么向下弯曲的射线就可能到达海底,在利用海底反射波旅行时确定炮检距时必须注意这种可能情况。如果震源附近声速最小,那么大部分地震波能量将会在水层中被完全折射。产生波导的区域称为 SOFAR 通道(Ewing and Wood, 1948)。这里的地震波能量损失低于均匀介质,这是由于能量与距离成反比,而不是在球面传播的情况下与距离的平方成反比。

4.2.2.2 海底之下的速度梯度

海底以下 P 波和 S 波的速度梯度源于不同的沉积充填模式、成岩作用过程以及岩性变化特征。对于在浅部经过快速脱水 and 压实作用的非固结沉积层,沉积充填的影响十分明显;对于断裂的结晶基底,不断增加的上覆压力将使得裂缝逐渐减小。大范围内的岩性变化可以导致小尺度的速度突变,在整体上将使射线明显弯曲。

目前,已经推出了很多基于表面和井孔测量的速度—深度函数。最简单的是假设 P 波速度随深度线性增加,由此在深度 z 的速率 V 可表示为:

$$V_z = V_0 + kz \quad (4.14)$$

其中 V_0 是表面速度, k 是速度梯度。射线路径是以表面以上 V_0/k 处为圆心的圆弧,这称为潜水射线(diving rays)。最大的穿透深度 z_{max} 的公式为:

$$z_{\text{max}} = \frac{V_0}{k} \left\{ \left[1 + \left(\frac{kx}{2V_0} \right)^2 \right]^{1/2} - 1 \right\} \quad (4.15)$$

其中 x 是半空间内射线入射点和出射点之间的距离,距离为 x 的旅行时 t 为:

$$t = \frac{2}{k} \sinh^{-1} \left(\frac{kx}{2V_0} \right) \quad (4.16)$$

这在 $t-x$ 时距曲线上表现为下凹曲线。在距离 x 处梯度的倒数是在该距离内最大穿透深度处的速度(Dobrin, 1980)。

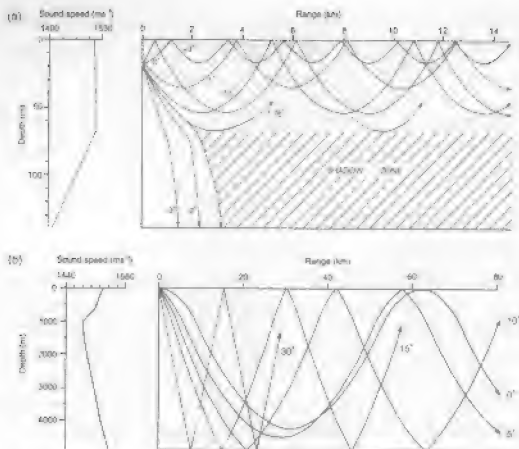


图 4.6 声波射线在 (a) 海洋中的传播中 (据 Levine, 1983); (b) 近海海洋

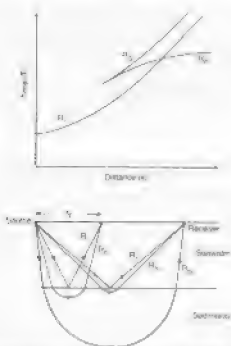


图 4.7 声波穿过有速度梯度的层和层制时的射线路径和时间曲线图 (据 Wong, 1990)

在速度均一水层薄半空间的情况下,存在一个临界距离 x ,在此距离处,地震波能量穿过水层,穿透半空间,并在表面吸收。射线路径 R 如图4.7所示。在距离小于 x 的范围内,只能观测到来自海底的反射波(R_1)。在距离大于 x 的范围内,能记录到两组波至;其中一组是传播路径短于 R 的 R_1 ,另外一组是穿透更深的 R_2 ,由于 R_2 穿过高速层,使得它第一个到达表面。距离较大时, R_2 的斜率接近0,而 R_1 的斜率接近 R 。如果半空间最上层的波速与海水的一致, R_2 靠近 R ,如果稍大, R_2 将与 R 相交。在一些地区,覆盖非固结沉积层的半空间最上部速度可能小于海水中速度,此时, R_2 趋近于与 R 平行的、并在 R 之上的直线。

4.2.3 射线追踪和合成地震图

射线追踪是分析折射波至的通用方法(Cerveny *et al.*, 1974)。首先建立速度-深度模型,再据此计算旅行时间,然后调整初始模型,直到计算的旅行时间和实际的旅行时在拾取的精度范围内一致。射线追踪必须考虑垂直和水平方向的速度梯度,以及不连续、弯曲界面,不规则界面和低速层。然而,在使计算旅行时间和观测旅行时间接近一致前,由于必须要进行的试验以及初始模型的技术缺陷,就少不了大量重复的计算劳动。

除使用旅行时数据限制模型以外,还可根据模型结构计算的地震图(即合成地震图,并与相关记录进行比较来限制模型,根据结构模型表面一点随已知震源信号产生的运动,并基于K. Fuchs和G. Muller的全波形反射技术,可以得到合成地震图。因为球面波可以表示为一系列的平面波,表面位移是层结构对各个面波的响应,并可被整合(Kennett, 1985),故假设表面爆炸产生球面压缩波,且不产生剪切波和面波。计算在频率域内进行。各平面波的响应可归结为所有检波器位置的波入射角。在时间域内的总响应可由傅立叶变换确定。合成地震图是测量复杂构造内地震波运动的重要手段。模型从对构造最佳描述开始反复修正、重建,直到结果近似观测到的旅行时和振幅数据为止。不同检波器接收到的波至可以单独建模,直到与临近检波器的射线交叉后反转。若要利用速率速度耦合模型,可对速度进行必要的变换和调整,直到单个模型之间,观测和合成地震图之间匹配一致。经改进的Fuchs-Muller反射系技术,适用于射线追踪(Kennett, 1985)。各列可参阅Fuchs and Crampton, 1983)以及非均匀各向异性介质(Chapman and Brummond, 1982)。

库瓦一胡格加海位于 $31^{\circ}N$, $146^{\circ}E$ 附近,图4.8给出了穿越这一复杂地区的速度-深度结构模型,北海面海岸的剖面横穿海底,得到如图4.8a的海底31站记录的地震图,图4.8b显示了合成地震图,图4.8c为射线路径图。

4.3 利用体波探测海底构造的方法:地震反射波法

4.3.1 旅行时和地震速度

基于记录海底反射地震波的地震反射波法,是实际工作中广泛应用的地球物理商业勘探技术,也是调查海底构造的最强有力的方法。震源和检波器都于海底,震源以一定频率间隔产生爆炸,通过每个时间隔上的地震波波至振幅,可建立海底反射体的详细剖面。一个简单的剖面系统由一个震源和一个单道拖式检波器组成,道集集如图4.9所示。反射剖面虽然是一维的地震图像,但它也记录震源-检波器垂直平面外反射的能量。图4.9中,每个反射点采样一次。一般情况下,使用多道检波器在同一点以不同的炮距记录反射信号(多次覆盖;见4.4.2节)。

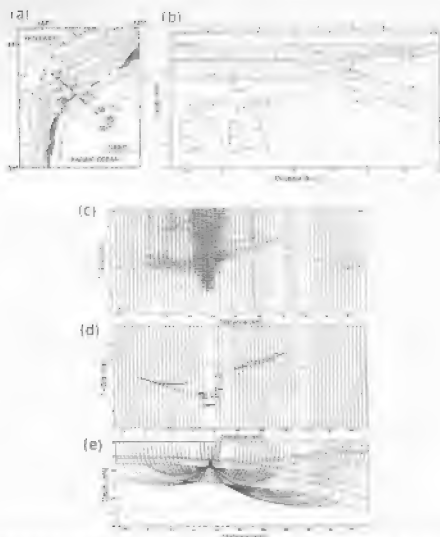


图 4.8 (a) 横穿库页—堪察加海沟的地震剖面位置图; (b) 速度—深度结构图; (c) 在 OBS N3 站位海底检波器所记录的地震图; (d) 合成的地震图; (e) 射线线路图 (据 Iwasaki *et al.*, 1989, 经 Elsevier Science 出版社允许后引用)。

为了将反射时间转换为反射体埋深, 必须根据不同炮检距的波至求得每条射线路径的地震波速度。如果自深度为 z_0 的海底平面反射, 反射波在炮检距为 x 的情况下旅行时为:

$$t_x = \frac{2}{V_0} \left[z_0^2 + \left(\frac{x}{2} \right)^2 \right]^{\frac{1}{2}} \quad (4.17)$$

该公式可变换为标准的双曲线方程:

$$\frac{V_0^2 t_x^2}{4 z_0^2} - \frac{x^2}{4 z_0^2} = 1 \quad (4.18)$$

如果因东听器的线性排列作为检波器, 波至将沿着双曲线与 x 轴的交点下降, 交点为正常入射时间 t_0 , 或者 $2z_0/V_0$ (图 4.10^[1])。不同炮检偏移距反射记录的时间差称为时差。重新变换方程 4.18 可得:

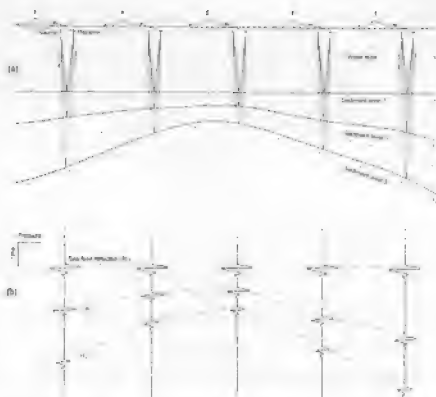


图 4.9 单一反射剖面: (a) 五个炮检位置的射线路径; (b) 显示反射波至的震动图

$$t_1 = \frac{2z_0}{V_0} \left[1 + \left(\frac{x}{2z_0} \right)^2 \right]^{\frac{1}{2}} \quad (4.19a)$$

$$= t_0 \left[1 + \left(\frac{x}{V_0 t_0} \right)^2 \right]^{\frac{1}{2}} \quad (4.19b)$$

$$= t_0 \left[1 + \frac{1}{2} \left(\frac{x}{V_0 t_0} \right)^2 + \frac{1}{8} \left(\frac{x}{V_0 t_0} \right)^4 + \dots \right] \quad (4.19c)$$

当偏移距与反射体深度相比很小时 ($x \ll z_0$)

$$t_1 = t_0 \left[1 + \frac{1}{2} \left(\frac{x}{V_0 t_0} \right)^2 \right] \quad (4.20)$$

如果在偏移距 x_1 和 x_2 的反射波旅行时分别为 t_1 和 t_2 , 则时差为:

$$t_2 - t_1 = \frac{x_2^2 - x_1^2}{2V_0^2 t_0} \quad (4.21)$$

t_1 与垂直入射时间 t_0 的差, 称为正常时差 (NMO), 即 Δt ,

$$\Delta t = t_1 - t_0 = \frac{x^2}{2V_0^2 t_0} \quad (4.22)$$

根据上面 t_0 和正常时差的关系, 就可以推导出反射体的速度:

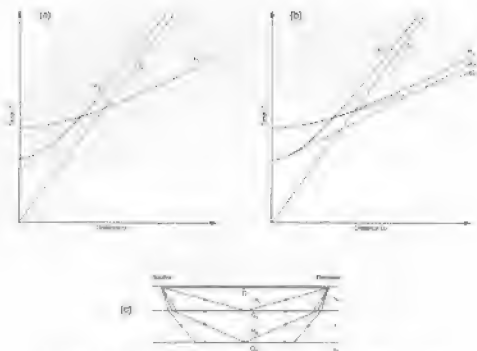


图 4.10 水平层射线路径和相应的时距曲线图 (据 Lawing, 1963)

$$V_0 = \frac{x}{(2t_0 \Delta t)^{\frac{1}{2}}} \quad (4.23)$$

在偏移距很大的范围内 ($x \gg z$, $t_1 \approx x/V_0$)，反射双曲线变为直达波线 (渐近线) (图 4.10)。海底折射曲线与双曲线在临界距 x_c 处相切，切点在第一次出境海底首波的位置。

C. H. Dix (1955) 将方程 (4.18) 改写为如下形式：

$$t_x^2 = \frac{x^2}{V_0^2} + t_0^2 \quad (4.24)$$

在 $t_x^2 - x^2$ 曲线图上，根据反射波曲线斜率的倒数可以推导出 V_0 ； z 可由截距时间 t_0 获得。当海底倾角为 α 时 (x 正向为下倾方向)，时距方程变为：

$$t_x^2 = (x^2 + 4z^2 + 4xz \sin \alpha)^{1/2} / V_0 \quad (4.25)$$

其中， z 是炮点和反射点的垂向距离，公式 (4.25) 可变换为：

$$\frac{V_0^2 t_x^2}{(2z_0 \cos \alpha)^2} - \frac{x + 2z_0 \sin \alpha}{(2z_0 \cos \alpha)^2} = 1 \quad (4.26)$$

反射双曲线的对称轴方程是： $x = -2z \sin \alpha$ ，旅行时由截去一项扩展的表达式给出：

$$t_1 - t_0 \left[1 + \frac{(x^2 + 4xz \sin \alpha)}{8z^2} \right] \quad (4.27)$$

根据自中间炮点上行和下行等偏移距 Δx 的旅行时可求出 α 。如果 t_1 和 t_2 是下行和上行的时间，则：

$$t_1 = t_0 \left[1 + \frac{(4\Delta x)^2 + 4\Delta x z^2 \sin^2 \alpha}{8z^2} \right] \quad (4.28)$$

$$t_2 = t_0 \left[1 + \frac{(\Delta x)^2 + 4\Delta x z^2 \sin^2 \alpha}{8z^2} \right] \quad (4.29)$$

还有:

$$\Delta t_d = t_1 - t_2 \sim t_0 \left(\frac{\Delta x \sin \alpha}{z} \right) \sim \frac{2\Delta x}{V_0} \sin \alpha \quad (4.30)$$

由此倾角 α 可由下式获得:

$$\sin \alpha = \frac{1}{2} V_0 \left(\frac{\Delta t_d}{\Delta x} \right) \quad (4.31)$$

$\Delta t/\Delta x$ 被称为倾角差。如果倾斜层是各向异性的, 那么入射角和反射角不相等, 反射曲线不再是双曲线。

层均匀水平层进行叠加, 层速度自上而下增加, 来自第二层的反射时距曲线见图 1.10。来自深层反射面 (R_2) 的反射曲线穿过浅层 (R_1) 的反射曲线。我们注意到, 某界面的临界折射线与其反射双曲线在临界距离处相切。此外, 某层下界面的反射双曲线与沿同层上界面传播的首波曲线相切。

垂直速度变化是 $t_0^2 - x^2$ 线弯曲的原因。如果速度向下增加, 随着视检偏移距的增加, 射线穿过高速介质的时间将相对较长, $t_0^2 - x^2$ 曲线在零偏移距的梯度为 $1/V_{rms}^2$, 其中 V_{rms} 为反射体上方介质的均方根速度, 并有以下关系:

$$t_x^2 = \frac{x^2}{V_{rms}^2} + t_0^2 \quad (4.32)$$

若 x 相对较小, 对于 n 层叠加后的 V_{rms} 为:

$$V_{rms}^2 = \sum_{i=1}^n V_i^2 \Delta t_i / \sum_{i=1}^n \Delta t_i \quad (4.33)$$

其中 V_i 是第 i 层的速度 (层间速度), Δt_i 是穿过该层的单程旅行时间。据此假设, V_{rms} 可由方程 (4.33) 得到, 但在大偏移距情况下并不成立, 此时需更精确的表达式 (Shah 和 Levin, 1973)。

若偏移距相对反射体深度较小, 第 n 层界面深度为 z , 则界面反射能量的旅行时 t_n 为:

$$t_n = (x^2 + 4z^2)^{1/2} / V_{rms} \quad (4.34)$$

第 n 层反射界面的 NMO 为:

$$\Delta t_n = \frac{x^2}{2V_{rms}^2 t_0} \quad (4.35)$$

由此反射界面以上介质的 V_{rms} 可由正常时差 NMO 求出, V_{rms} 的值随反射层的不同而变化, 由此可利用 Dix 公式计算层速度:

$$V_i^2 = \frac{V_{\text{ref}(i)}^2 t_n - V_{\text{ref}(n-1)}^2 t_{n-1}}{t_n - t_{n-1}} \quad (4.36)$$

其中 $V_{\text{ref}(i)}$ 、 t_{n-1} 和 $V_{\text{ref}(n-1)}$ 、 t_n 是第 $i-1$ 层和第 n 层反射界面以上介质的均方根速度及其旅行时。

如果给出由光滑速度—深度函数表示的速度梯度，就可通过两个积分求得确定射线路径 (Eisberg et al., 1960)。以上讨论基于第一个假设，即介质由一系列薄的水平层组成，对每一层的速度一定。如果 i_0 是射线和第 n 层上表面垂线之间的夹角，并以速度为 V_n ，则有：

$$\frac{\sin i_n}{V_n} = \frac{\sin i_0}{V_0} = p, \quad (4.37)$$

其中 i_0 是射线自震源到介质表面的入射角度， V_0 是第一层的速度， p 称为射线参数。如果层数无穷多，每层的厚度无限薄，那么偏移距 x 和旅行时 t 可由下面的积分公式得到：

$$x = \int_0^z \frac{p_0 V dz}{[1 - (p_0 V)^2]^{\frac{1}{2}}} \quad (4.38)$$

$$t = \int_0^z \frac{dz}{V [1 - (p_0 V)^2]^{\frac{1}{2}}} \quad (4.39)$$

4.3.2 τ - p 域的地震数据分析

由 Eissberg 和 P. L. Slonimskii (1981) 推导出随斜层的旅行时方程，及包括多组在偏移距 x 上于地表穿透深度情况下，进行地震实验的震源—检波器的几何关系。对于如图 4.11a 的水平层，整个旅行时 t 可以表示为：

$$t = px + \tau \quad (4.40)$$

其中 x 为炮检偏移距， p 为旅行时曲线的瞬时斜率， τ 为截距时间。

水平叠加均匀层的截距时间为 τ ， $\Delta\tau_i$ 是其中一层的截距时间：

$$\Delta\tau_i = 2z_i(u_i^2 - p^2)^{\frac{1}{2}} \quad (4.41)$$

其中 z_i 是第 i 层的厚度， u_i 等于第 i 层速度的倒数（慢度）。

在 τ - p 平面内可表示为一个椭圆方程，其中椭圆半轴长分别为 $2z_i u_i$ （双程旅行时）和该层的慢度 u_i 。对于所有水平叠加层，所有椭圆的总和即是 τ - p 域的绘图。一系列首波在椭圆交点处减弱，交点对应于临界反射点，首波在距离较大时逐渐接近反射波（图 4.11）。

为了将地震数据转换到 τ - p 域内，要求能在速度—深度平面上进行分带。图 4.11 中的 A 点为震源或者检波器，自该点到第一点 B 的旅行时为：

$$t = p_0 x + \sum_j z_{a,j} (q_{a,j} + q_{b,j}) \quad (4.42)$$

其中 x = 炮检偏移距

$z_{a,j}$ = A 层下第 j 层的厚度

$$p_a = \frac{\sin a_i}{V_i}$$

$$p_b = \frac{\sin b_i}{V_i}$$

$$q_{a,i} = \frac{\cos a_i}{V_i}$$

$$q_{b,i} = \frac{\cos b_i}{V_i}$$

角对应于反射射线的上行和下行。对于剖面：震源和接收器之间具有其深度点的那一层，地震波旅行时 t_{CMP} 为：

$$t_{CMP} = x(p_a + p_b)/2 + \sum z_j(q_{a,j} + q_{b,j}) \quad (4.43)$$

在这种情况下，时间利率是射线在表面上行或下行传播时的慢度平均，由此可确定两个界面之间对倾角不敏感的层速度。对于厚度为 Δz ，速度具有线性梯度的层有：

$$\tau = \frac{2\rho}{k} \left[\cosh^{-1} \frac{1}{pV} - \left(\frac{1}{p^2 - V^2} \right)^{1/2} \right]_{V_0 + k\Delta z}^{V_0} \quad (4.44)$$

4.3.3 地震反射的振幅和能量分配

4.3.3.1 自不连续界面的地震反射

当波从斜入射到弹性性质和密度有明显变化的界面时，将会产生 P 波和 S 波的反射和透射（如图 1.12）。在海底和很多不连续界面之下，都会依据如下斯奈尔定律产生 P 波和 S 波。

$$\frac{\sin \theta_1}{V_{p1}} = \frac{\sin \theta_2}{V_{p2}} = \frac{\sin \theta_3}{V_{s1}} = \frac{\sin \theta_4}{V_{s2}} \quad (4.45)$$

其中 V_{p1} 和 V_{p2} 是上层和下层介质中的 P 波速度， V_{s1} 和 V_{s2} 是相应的 S 波速度， θ_1 和 θ_3 是 P 波反射和折射的角度， θ_2 和 θ_4 是相应的 S 波反射和折射的角度。根据界面的压力和位移可以得到反射波和折射波的振幅，但要压力在垂向和切向上必须连续变化。振幅为 A_0 的 P 波入射到界面时，根据边界条件可得到如下一般表达式（Zoppo 等, 1979）。

$$A_1 \cos \theta_1 - B_1 \sin \theta_1 + A_2 \cos \theta_3 + B_2 \sin \theta_3 = A_0 \cos \theta_1 \quad (4.46)$$

$$A_1 \sin \theta_1 + B_1 \cos \theta_1 = A_2 \sin \theta_3 + B_2 \cos \theta_3 = -A_0 \sin \theta_1 \quad (4.47)$$

$$A_1 \rho_1 V_{p1} \cos 2\theta_1 - B_1 \rho_1 V_{p1} \sin 2\theta_1 + A_2 \rho_2 V_{p2} \cos 2\theta_3 + B_2 \rho_2 V_{p2} \sin 2\theta_3 = -A_0 \rho_1 V_{p1} \cos 2\theta_1 \quad (4.48)$$

$$A_1 (V_{p1}/V_{p1}) \rho_1 V_{p1} \sin 2\theta_1 + B_1 \rho_1 V_{p1} \cos 2\theta_1 + A_2 (V_{p1}/V_{p2}) \rho_2 V_{p2} \sin 2\theta_3 + B_2 \rho_2 V_{p2} \cos 2\theta_3 = A_0 (V_{p1}/V_{p1}) \rho_1 V_{p1} \sin 2\theta_1 \quad (4.49)$$

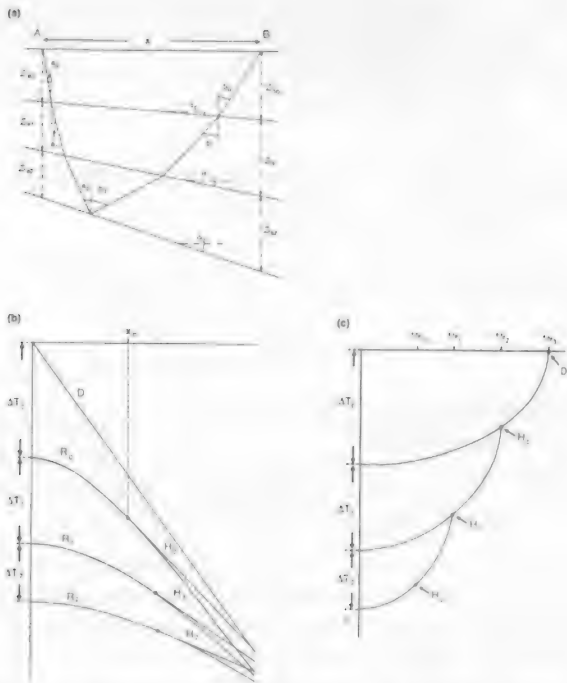


图 1.1 (a) 界面倾斜的多层介质中反射界面的射线反射路径 (b) 各层速度为 V ，双程垂直延迟时间为 $\Delta T(\Omega)$ 的层结构介质中传播的反射波，并沿时间-距离线，D. 自法源， R_i 反射波曲线， H_i 折射波曲线， x 接收界面的最小距离（临界距离），(c) 图 (a) 中反射和折射波全的 $t-p$ 绘图。直时线和直波图点标示（据 Derbolav and Stoltz, 1981） 对勘探地球物理学有广泛应用。

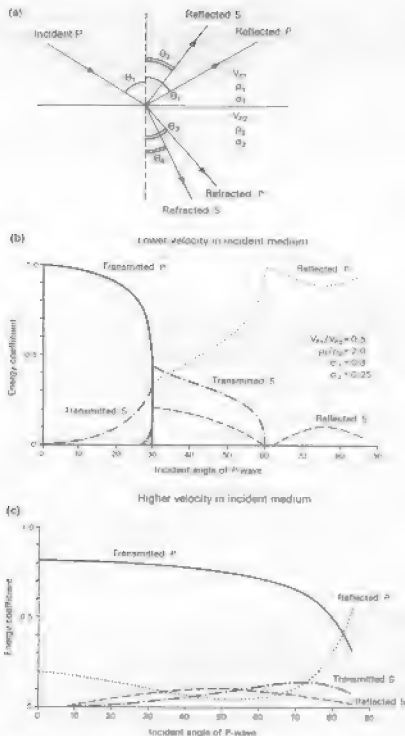


图 4.12 (a) 中放在不同速度图中的两介质边界斜入射时的传播模型, V_{p1} , V_{p2} 是 P 波速度; ρ_1 , ρ_2 是介质密度; σ_1 , σ_2 是泊松比; (b) 和 (c) 是 P 波在不同速度边界上的能量分配, 曲线表示 P 波的能量, 能量系数与反射波和透射波入射角度的函数关系。在 (b) 中, 入射介质速度慢, $V_{p1}/V_{p2} = 0.5$, $\rho_1/\rho_2 = 2.0$, $\sigma_1 = 0.3$, $\sigma_2 = 0.25$; 在 (c) 中, 入射介质的速度快, $V_{p1}/V_{p2} = 2.0$, $\rho_1/\rho_2 = 1.25$, $\sigma_1 = 0.3$, $\sigma_2 = 0.25$ (据 *Feeney et al.*, 1986), 经中国地球物理学会允许后引用。

其中, A_1 为反射 P 波振幅, A_2 为折射 P 波振幅, B_1 为反射 S 波振幅, B_2 为折射 S 波振幅。

剪切应力和位移在垂直入射时为零, 故此时不产生剪切波, 则 $B_1 = 0$ 和 $B_2 = 0$, 方程 (4.46)

— (4.49) 可简化为:

$$A_1 + A_2 = A_0 \quad (4.50)$$

$$Z_1 A_1 - Z_2 A_2 = -Z_1 A_0 \quad (4.51)$$

其中 Z_1, Z_2 是上下介质的波阻抗 ($\rho_1 V_{p1}, \rho_2 V_{p2}$)。反射和折射的振幅比为反射系数 R_{ref} , 表示为:

$$\frac{A_1}{A_0} = \frac{Z_2 - Z_1}{Z_2 + Z_1} \quad (4.52)$$

转换系数 T_{ref} 是折射波和入射波的振幅比, 表示为:

$$\frac{A_2}{A_0} = \frac{2Z_1}{Z_2 + Z_1} \quad (4.53)$$

随着界面阻抗的增加, 反射波的振幅也会随之增加。如果 $Z_1 < Z_2$, 则入射波和反射波的相位是一样的; 如果 $Z_1 > Z_2$, 则反射波将会有 180° 的相位反转。在海洋地震勘探中, 当波自海面 ($R_{\text{ref}} = -1$)、天然气储层和岩浆体反射时, 反射波都会发生相位反转。天然气和岩浆可以表现为强反射体, 在图像上反映为亮点。

在一般情况下, P 波入射到界面, 都将产生 S 波和 P 波的反射和折射。如图 4.12b 和 c 所示, 能量分配是入射角的函数。图 4.12b 说明了 P 波入射到低速介质的情况。P 波小角度入射时 $Z_1 = Z_2$, 能量全部透射。随着入射角的增大, 转换为 S 波的能量也随之增大。在接近 P 波临界角时, P 波和 S 波的反射能量都迅速增加, 与此同时, P 波透射的能量迅速减为零。入射角超过 P 波临界角时, P 波不能透射, 但 S 波还能继续透射, 直到接近 S 波临界角时突然减为零。在接近临界角时, 反射能量的大幅度增加, 可以利用该特性跟踪探测在近垂直入射时反射较弱的反射体。

图 4.12c 说明了 P 波入射到低速层情况下的能量分配。小角度入射时, S 波能量较弱。随着入射角增大, 反射和折射的 S 波能量逐渐加强, 与此同时反射 P 波能量减弱。在入射角为 $41^\circ - 68^\circ$ 的范围内, 反射 S 波能量强于反射 P 波, 但是垂直入射时, 反射 P 波包含绝大部分能量。振幅随偏移距变化 (AVO) 的特性可用于探测砂岩中储藏的天然气。天然气取代孔隙水后将岩体物质的速度和密度降低。在大的偏移距的情况下 (图 4.12c), 反射 P 波的能量不但由速度和密度来控制, 也与气藏储层的厚度有关, 这是因为气层顶界面波的会有相干涉。

4.3.3.2 地震反射体的分辨率

前面的章节假设波来自某一点反射, 并没有考虑层的厚度。垂直地震分辨率取决于地震波长, 决定了分辨某单层的能力。图 4.13 是自单界面和楔形体界面的反射示意图, 速度为 V_2 的楔形体夹在速度为 V_1 和 V_3 的层之间, 入射信号是零相位的正弦子波 (两侧子波幅对称于单半波峰), 在地震剖面上为 $\lambda/4 = 12\text{ms}$ 。楔形体厚度由剖面的双程旅行时表示。当楔形体厚度超过 $\lambda/4$ 时,

自楔形体顶部和底部的反射就可以明显地区分开来,并且很容易看出逐渐变厚的过程。对于厚度小于 $\lambda/4$ 、甚至是 $\lambda/10$ 的反射体,虽然能得到其反射能量,但却不能分辨出来。由于楔形体底界面由反射波的下落,使得剖面上楔形体底部只有很小的变化。

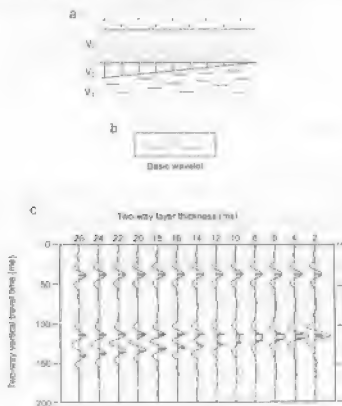


图 4.13 斜中界面和楔形体界面的反射图。速度为 V_2 的楔形体处于速度为 V_1 和 V_1 的层之间,且 $V_1 < V_2 < V_1$ 或者 $V_1 > V_2 > V_1$ 。(b)中入射了波为窄脉冲(两侧小的波幅可称为半个波峰)。当 $\lambda/4 = 12\text{ms}$ (据 Knappert and Wood, 1982)。经勘探地球物理学杂志允许后引用。

垂直分辨率随波长的增加而减小,并且由于地球对高频能量的大量吸收使得反射时间增加。实际上计算分辨率还需考虑噪音和传播损失的影响。地震反射记录的水平分辨率还与极间距和接收器间距有关,极间距即能得到最高的分辨率。检波器不仅接收界面上单个点反射的能量,还接收包含无数多个离散点的面的反射能量,因此水平分辨率也取决于地震波的波长。其它因素诸如噪音、来自平面外的能量和透射波同样影响水平分辨率。能量在半个波长内反射后能得到干涉加强的信号,对应反射面上的区域为第一菲涅尔带(图 4.14)。围绕它是一个环行的区域,其中能量趋于干涉减弱;这使得地震信号能量大幅度减弱。一般的地质勘探不能识别宽度小于该菲涅尔带的反射体。如果震源峰值能量的波长为 λ ,反射体深度为 z ,且远大于 λ ,那么第一菲涅尔带的宽度 W_f 可由下面的近似关系给出:

$$W_f \approx (2z\lambda)^{1/2} \quad (4.54)$$

由于高频能量吸收很快,第一菲涅尔带的宽度随深度的增加而增加。

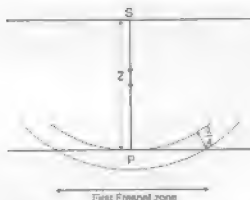


图 4.14 第一菲涅尔带 (据 McQuillin et al, 1984)

4.3.3.3 速度转换带的 P 波反射

风化作用、成岩作用、断裂和火山作用都能使地震波速随深度而变化。能否观测到转换带的地震反射取决于速度、速度梯度以及转换带相对于地震波长的厚度。假设一个简单的深海结构模型，速度随深度变化曲线图为 1.15a，转换带在沉积层盖层 ($V_p=0.0\text{km/s}$, $V_s=0.0\text{km/s}$) 和主要的火成岩基底之间，厚度为 Δh ，在转换带内速度随深度急速增加。转换带可表示为一系列薄的速度向下逐渐增加的叠层。假设火成岩基底以下具有值为 1.0s^{-1} 的相同速度梯度。

图 4.15a 是由 R. S. White 和 R. A. Stephen (1980) 计算的合成地震图。其简单解析输入信号的峰值振幅为 10Hz 。震源和检波器都接近海面。 $\Delta h=0\text{m}$ 时，在 7km 和 9km 范围内的反射 P 波振幅 (a) 明显下降，对应 P 波和 S 波的临界距离。早抵的速度梯度使得首波中 P 速度加快，标示 S 的波至是基底的双倍转换波，振幅较大。

基底上部的转换带使得地面响应变化明显。薄层转换带 ($\Delta h=42\text{m}$) 的影响如图 4.15b 地震图中圆圈第一圈所示。在 7km 和 9km 范围内的反射 P 波振幅较大，该范围的入射角在 P 波和 S 波的临界角之间，与第一圈断层 $\Delta h=0\text{m}$ 同范围内的情况形成鲜明对比。双倍转换的剪切波 (S)，其振幅远小于 $\Delta h=0\text{m}$ 情况下的双倍转换波。当转换层 $\Delta h=42\text{m}$ 时，其厚度小于 P 波波长 (230%) 的一半，故表现为很薄的界面；但对转换带顶部的 S 波来说，由于转换带厚度明显大于波长的 $\frac{1}{4}$ ，故表现为变化较慢的边界。薄的转换带对应所有超临界角时大振幅 P 波反射，同时伴随着剪切波振幅的减小。我们注意到，S 波速度在基底顶部的小尺度变化对反射 P 波振幅有很明显的影响。

当 $\Delta h=150\text{m}$ 时，转换层的厚度就进入了 P 波和 S 波波长的一半，前临界角的 P 波反射是减小的。在 3km 到 6km 道的范围内，但超临界角反射时，与薄界面的观测情况有小的变化。

4.3.3.4 多孔介质的反射

在土质海洋水层之下的区域为固体弹性介质的情况下，我们测试了地震波的能量分配。如果为水下为多孔弹性介质，比如没有固结的砂，则更具弹性，此时可认为波是在粘弹性介质中传播，且能量耗散在骨架中，频率取决于孔隙水中的粘滞损失 (Stoll and Kan, 1981)。除一般的 P 波和 S 波之外，还有第三种体波能在这种多孔弹性的介质中传播。这是一种扩散波，波速较一般的 P 波慢，且衰减很快。传播包括固体成份和流体成份的运动，且几乎是异相的。

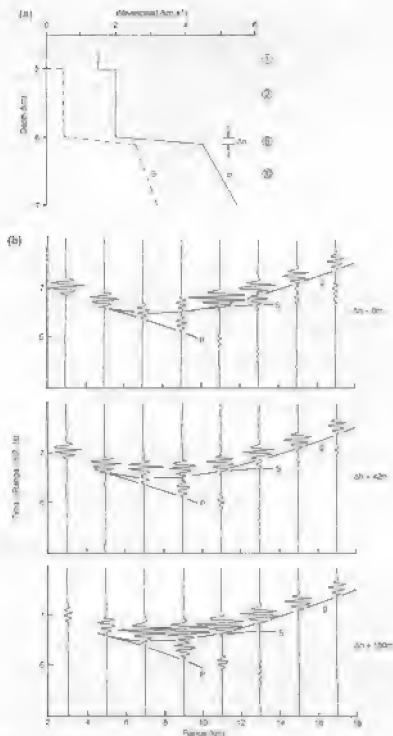


图 1A (a) 具有连续硬度的深海结构模型。水深为 30 km ($L = 1.5\text{ km/s}$)。沉积层总厚度为 1 km 和 1.7 km ($\rho = 0.5\text{ km/s}$)。在火成岩基岩和沉积层之间的转换层厚度为 Δh 。剖面中的数字表示层数。图中计算各段地震波 (图 1(b)) 的速度分布。(b) P 波和 S 波在剖面是底部转换的合成地震图。分别针对 (a) 中转换带的不同厚度。但是底部剖面 P 波发射标记为 ρ 。 ρ 和 ρ 是自然基岩基岩的 P 波和 S 波的速度。张弛没有比例图 (图 1b) (J. van Strien, 1989) 经 Blackwell Science 允许后引用。

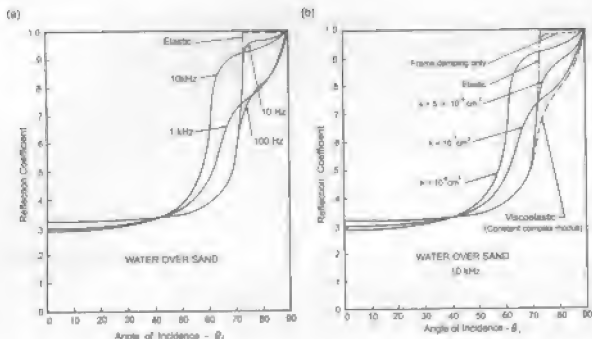


图 1.16 (a) 水-砂界面的反射系数与四种频率平面波的入射角之间的函数关系。(b) 水-砂界面在不同渗透率(k)下的反射系数与 10kHz 平面波的入射角之间的函数关系。经 Stoll, R. D. 和 Kan, T. K 允许引自美国声学学会期刊。

图 4.16a 所表示的是孔隙度为 43% 的松散砂质的海底反射系数与入射角之间的函数关系。频率为 10kHz 时, 反射系数取决于沉积物骨架相属性, 介质属于弹性固体。频率为 1kHz 和 10kHz 时, 曲线明显偏离固体弹性介质, 且没有常规的临界角。强频率取决于流体中粘滞损失的上升, 其近 65° 入射的特征是明显证据。反射界面实际具有滤波器的效果。频率较高时, 渗透率对反射系数有重要的影响(图 1.16b)。10kHz 情况下, 渗透率数量级的增加与频率降低 10 倍产生的影响相似。因为沉积层上部的孔隙度可能超过 70%, 所以在开展频率超过数百赫兹的地震勘探时, 考虑海底的频率变化特征就很重要。

4.3.3.5 多次反射

如果勘探区域的层界面具有高反射系数, 那么检波器能明显接收到多个反射地震波的能量。图 1.17 为多次反射的射线路径示意图。长路程多次波在地声道上的反射显示清晰。短路程多次波和 peg-leg 多次波是那些在第一反射波之后很快到达的波, 并对其进行拉伸效应。在长偏移距的情况下, 短路程和长路程多次波紧随首波之后。

对于海底反射测量, 强的多次波源于海面 and 海底之间的重复多次反射(图 1.17e)。水层的混响和拖尾是相干噪音的主要来源, 并能干扰海底以下多数一次反射波。另外, 还能记录到自海面传播路径多次波(图 1.17b)。这些“假反射”的特征是在水-气界面有 180° 的相位反转。地震波能量也能在海底以下层间被多次反射, 产生的多次波包括短路程和长路程传播。消除多次波的方法将在后面讨论。

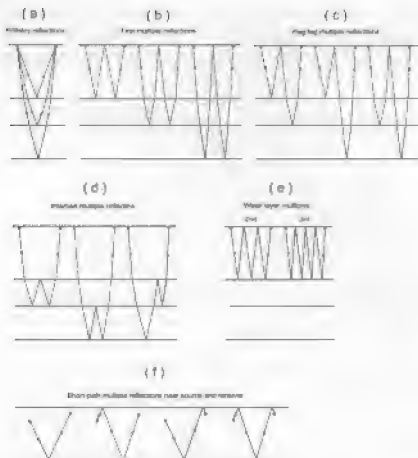


图 4.17 多次反射的射线路径示意图

4.4 利用检波器阵列增强反射波

4.4.1 前言

地震波相位的探测能力取决于检波器处的信噪比水平。噪音有多种组成，或是空间随机干扰，如炮震式检波器域测的流动噪音，或是相位噪音（如多次反射）。利用多重检波器，可以很大程度上减弱或者消除这类噪音，同时也降低了地震反射探测接收的门限。n 个检波器中的每一个的随机噪音降低的比例是 \sqrt{n} 。此外，由于检波器阵列对自不同方向传来能量的响应也不相同，所以据此也能减小相位噪音（如来自船舶螺旋桨的随机噪音）的振幅。n 个水听器或者地震波检波器以间距 d 平行连接组成的检波器线性阵列，接收波长为 λ 的平面正弦波的方向特征可表示为：

$$\frac{A_\theta}{A_0} = \frac{\sin \left[\frac{n\pi d \sin \beta}{\lambda} \right]}{\pi d \sin \left[\frac{\pi d \sin \beta}{\lambda} \right]} \quad (4.55)$$

见图 4.14 为地震波能量垂直传向检波器阵列的响应, d 是与垂直方向夹角为 θ 时的响应 (Hortner, 1968)。典型的方向组合如图 4.18 所示。虽然噪音频谱实际上可能会很宽很窄, 但可以看出检波器阵列对水平传播的能量响应较弱。因此, 船后拖着的水听器阵列能在一定程度上压制船舶噪音。

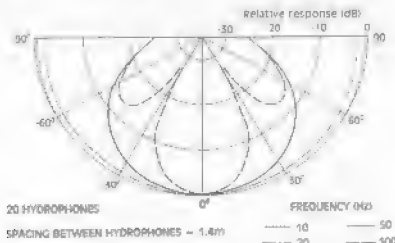


图 4.18 20 个水听器间距 1.4m 等间距线性排列的方向性 (据 Rosenbushenko 等, 1976), 经苏联地球物理学会议许可引用。

4.4.2 反射波叠加

通过叠加多个检波器接收同一点反射的回声序列, 能使反射波相对噪音得到加强 (Mayne, 1962; Yilmaz, 1987)。假设有几个间距为 d 的检波器组成的检波器阵列拖曳在水平海底之上 (图 4.19a)。自第一炮 S_1 激发的波自海底反射至检波器阵列的 H_1 位置, 反射点位于 S_1 和 H_1 之间; 下一炮 S_2 激发位置到 S_1 的距离是 $d/2$, S_2 到 H_2 路径的反射点与 S_1 和 H_1 相同, 由此得到一共同中心点 (CMP) (图 4.19b)。这样的炮点组合可以得到自 CMP 处反射的 n 道射线路径, 其反射波的时差逐渐增大。这样生成的道集称为共同中心点道集。

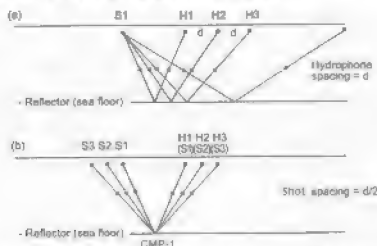


图 4.19 (a) 共同中心点 (CMP) 反射数据的现场记录; (b) 共同中心点 (CMP) 道集的概略示意图

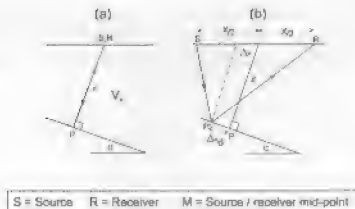


图 4.20 单个反射界面上反射点与炮检中心点间的关系。(a) 炮点和检波点重合情况下倾斜反射体的射线路径。(b) 为炮检偏移距的情况下倾斜反射体的射线路径。

如果 CMP-1 以上介质的地震波速度已知, 那么就可对垂直入射的双程时间进行动校正(NMO)。这样就可以分开所有道, 或者将它们叠加起来, 加强第一反射波, 然后对反射界面上的其它反射点或者其它地震反射体应用同样的程序。如果一个反射点作为一个 48 次的反射体, 那么可以说是有 48 道叠加。叠道通常不超过 60 道。除第一反射波外, 各项还可能出现的直达波和首波。在叠加之前, 需通过切迹手段将它们消除, 也就是将它们的振幅置零, 这非常重要。因为偏移距的很小变化可以强烈影响到波的形式, 所以大炮检距的反射能量在叠加前一般都要切除。

来自呈反射点的 n 道叠加后可以使空间随机噪音减弱 \sqrt{n} 。此外, 由于动校正只能使各波趋于一致, 而对多次波则没有作用, 因此动校正后的叠加也能削弱多次波。

对一个水平反射体, 叠加道是由其中心点确定的炮检组合记录。如果界面倾斜角为 α , 反射点于会向上移动 Δx , 如图 4.20 所示移动距离取决于 α , 炮检偏移距和炮检中点到界面的垂直距离。因此, 用于叠加的来自同一反射点上的波串, 实际是炮检中心点 M 上偏方向 Δx 位置对炮点的反射波。 Δx 表示为 (Sheriff 和 Gelfand, 1995):

$$\Delta x = \frac{x^2}{4z} \sin \alpha \quad (4.56)$$

相对零偏移距时间的改变 Δt 为

$$\Delta t = \left(\frac{x^2}{2zV} \right) \sin^2 \alpha \quad (4.57)$$

反射点网上的偏移, 使得速度与倾角相关。由于 Δx 和 Δt 与偏移距的平方成比例, 叠加使得波串产生拉伸效应和拖尾效应, 为此, 在叠加前需进行偏移时差 (DMO) 校正。在时间域可以使用有限差分技术计算 DMO 校正, 或者使用傅氏积分的方法 (Bale, 1981)。

4.4.3 速度分析

若要通过叠加增强第一反射相对噪音的强度, 在很大程度上依赖于用于计算 DMO 和 NMO 校正的地震波速度的精度。可以先通过数道绘制一组 CMP 道集确定速度, 假设每次的叠加速度

都不同,并据此生成一个常数道集。如果正常时差修正正确,自水平界面的反射将会水平贯穿整个道集。如果实际叠加速度小于假设值,那么时差就不能完全校正,偏移距较大的道将会向下弯曲。噪声噪音和大的偏移使得难以达到最佳的校正,但常数道集还是能得到叠加速度与时间的函数关系。

更为严格的推导速度要求:先是利用 x^2-t^2 或者 $t-Ax$ 方法,然后在时差校正之后确定校正的施或者CMP道集间的相干性。相干性可以定义为特定时窗内叠加道总能量总和与同一组内所有道能量总和的比率(Nielsen和Janser, 1971)。如果叠加速度正确,那么相干性就高。如果相干性低,可以假设另外的叠加速度,并重新计算相干性。由此相干性可以表示为叠加速度与时间的函数。

图4.31左边是其中心点道集,据此计算了叠加速度。右边是相干性的等值线图,对应CMP道集上定义的一个。相干性图上的波峰值对应叠加的最佳速度。如果表面以下界面倾斜,并且最大偏移距相对反射体深度较小,那么叠加速度接近 V_{avg} 。由于多次波也可表现为相干性的波峰,所以必须在最初的速度分析中首先将其区分出来。

4.5 反射波增强:频率滤波和反褶积

4.5.1 频率滤波器

利用各种不同类型的滤波处理都可以使一次波得到加强。如果相干噪音和随机噪音频率超过一次波频率的范围,那么可以在时域或频域的高通、低通和带通滤波器提高信噪比。时变带通滤波器的广泛应用主要针对地层对高频能量的快速吸收。为了避免最终地表斜面上出现假的不连续特征,在整个调查区内滤波特征通常是变化的。

4.5.2 反滤波

当噪音在反射带频率范围之内时,可以通过进行非频率参数的反滤波来削弱噪音。地震波脉冲通过地层时,一般会被拉长,并造成多路径传播和高频能量吸收。这也使得垂直分辨率降低。反褶积的过程主要是去除炮点和接收点之间不想要的滤波影响。反褶积可以应用于叠前的每个道和叠后的CMP道集。反滤波能消除水层中的多次波(交混回响)和反射路径多次波,比如在震源和海水表面之间的多次波,且很难通过叠加来消除。对于那些被地层吸收的高频能量,反滤波也可以恢复这些频率组份的振幅。

对于一个地震道 P_i ,可以认为是一个震源波 S 与地层(F)脉冲响应、检波器(D)和记录系统(R)的卷积。忽略噪音时可以表示为:

$$P_i = S * E * H * R \quad (4.58)$$

其中 $*$ 代表卷积运算(Shuey和Gelbart, 1995)。最终目标是求出 E ,且一系列脉冲的振幅由每个反射界面的反射系数给出。每个脉冲的位置由相对应的海底下地震反射的双程旅行时间确定。因为勘探系统参数 H 和 R 是可测量量,则只有地震道 P_i (即地层脉冲响应和震源了波 S 的卷积)是未知。

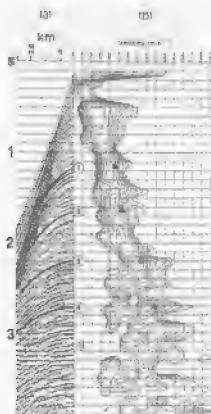


图 1-35 速度分析: (a) 集中点道集; (b) 外观等值线, 由于性的顶峰即为叠加速率 (据 Viñmar, 1987)。经勘探地球物理学会允许后引用。

$$P_t' = S * E \quad (4.59)$$

现在, 我们可以定义一个算子 D 与 S 的卷积, 结果为 $t=0$ 时单位振幅的脉冲信号 δ_t ,

$$S * D = \delta_t \quad (4.60)$$

将该脉冲算子与地震道 P_t 卷积可得:

$$D * P_t' = D * S * E = \delta_t * E = E \quad (4.61)$$

算子 D 是测弹子波的逆, 这使我们能计算地层脉冲响应 E (Sørensen 和 Beget, 1980)。当海底与海面间以反射系数为 1 的边界条件产生多次波时, 水层的脉冲响应 W_t 可表示为:

$$W_t = (A, -2rA, 3r^2A, -4r^3A, 5r^4A, \dots) \quad (4.62)$$

其中, A 为一次波的振幅, r 为海底的反射系数。连续信号 $A, -2rA, 3r^2A, \dots$ 之间的间隔为信号在水层中的双程旅行时间。 W_t 可简化为仅包含一个非零元素的 D_t :

$$D_t = (1, 2r, r^2) \quad (4.63)$$

将 D_t 与 W_t 卷积后可得到信号 T' :

$$T' = (A, 0, 0, 0, \dots) \quad (4.64)$$

这样就只包含一次波的原始振幅, 水层的多次波已经被置零。

可以通过多种方法消除附加的地层波滤波器的影响, 比如强的反射层产生的层间多次波。预测反褶积就是其中一种技术 (Beasack and Treitel, 1969)。设计一个具有预测距离的算子 D_p , 它与地震道 P^* 卷积后得到道在 t 时刻的预测, 记为 P_t^* , 则:

$$P_t^* = \sum_i P_i(t_i) D_p(t - t_i) \quad (4.65)$$

P_t^* 与在预测距离处的 P_t^* 之间的差可得到一个误差序列, 表示 P_t^* 不能预测的部分。算子可以去掉可预测的重复回波, 只留下一次反射波。如果反射体在较宽的空间产生多次波, 需将其部分长度设置为零以加快计算速度 (间隙反褶积; Zolnikowski, 1984)。

假设地球反射结构是随机的, 以地震道的自动相关函数设计算子 D_p 。假设波源输出波形是最小延迟的, 即大部分能量在脉冲的前部。波形由地震道确定。虽然有这些假设的限制, 滤波过程还是在很大程度上提高了地震数据的质量。其它反滤波的方法包括静态反褶积, 即将振幅一时间道转换为对数到频谱域的形式, 这可以通过相加而不是卷积来求得输出道 (Stoltz et al., 1974), 其它还有卡尔曼滤波, 主要考虑由于高频吸收和39路径多次波引起的波相随时间的变化。

为了尽可能准确地定义一次波, 可先根据直接测量或者数值模拟的方法得出波源信号, 然后由带阻匹配滤波、维纳滤波或者最小平方滤波可将波源信号转换为一个输出道。为了使输出道与所需要输出信号最接近, 可以确保实际的和计算的输出振幅差的平方和为最小来实现 (Robinson and Treitel, 1980)。理想的输出子波可以是最小相位的, 其大部分能量集中在波形的首部; 或者是零相位的, 且具有一个主要的道偏移。大多数子波是零相位的, Spiking (尖脉冲) 或者 Whitening (白噪声)。反褶积使用维纳滤波, 其输出的是脉冲函数。

4.6 地震偏移

对于常规反射地震记录, 每个地震道是对应炮点至反射界面垂直上的显示。如果反射界面水平, 那么反射点位置在炮点的正下方。一旦界面倾斜, 界面上的反射点位置会随之移动, 移动距离大小与坡度、深度和介质的波速度相关。图 4.22a 所示在 X 点零偏移距接收的地震反射波来自于倾斜界面上的 A 点。但在时间剖面上却显示为来自 X 点下方点 C 的反射, 其中 $XA = XC$ 。与此相似, 检波器 Y 对应的反射点 B 被显示为 D。在地震记录剖面上, 反射面向下偏移, 倾角小于真实界面的坡度。如果入射波前的弯曲度小于反射界面的弯曲度, 那么自界面上多点反射的能量或能到达如图示的炮检位置, 并形成地震剖面上复杂的几何特征。在时间剖面上, 背斜将变宽、同斜将变窄。反射体断点是一个点源, 如图 4.22b 和 c 记录有绕射产生的双曲线波至。将反射界面时位置真实的空间位置称为偏移。在时间剖面上的反射点偏移过程称为时间偏移 (Y. Yeh, 1987)。在深度剖面上也能将反射图像归位到真实位置上 (深度偏移)。

在倾角反射记录偏移时, 可用 CMP 道集的均方根速度作几何位置校正, 将反射点偏移至真实位置。由于反射波也可能来自数层垂直平面以外, 因此, 偏移的效果往往不理想, 特别是在断层和反射界面陡的区域, 其偏移图像并不完美。另一种偏移方法是追踪穿过模型结构的射线, 可改变波速度, 以使实际观测的和计算的反射时间之差最小。该射线追踪偏移技术适用于构造复杂的地区 (卓希森夫)。绕射叠集, 偏移和波动方程偏移适用于绕射波 (比如白礁层

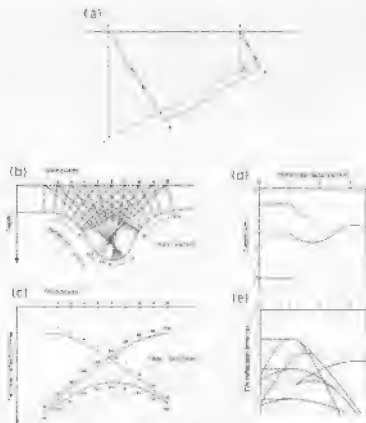


图 4.22 (a) 倾斜反射界面 (A-B) 与其边界面 (C-D) 之间的关系; (b), (c) 反射界面曲率大于入射波前曲率情况下的“蝴蝶结”反射模式, 1-10 频带的能量被界面上一个点反射; 模式 (d) 和没有偏移的时间剖面 (e) 显示了地下结构就强涉区域的复杂反射组合 (据 Sheriff, 1978; McQuillin *et al.*, 1984)。

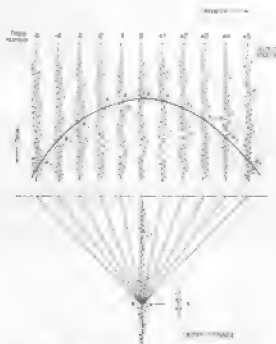


图 4.23 克希荷夫偏转原理 (据 Schneider, 1971), 经勘探地球物理学会允许后引用。

的绕射波；发育地区的地震成像。执行克希荷夫偏移时，假设反射界面上的任何点都是地震波能量的一个点源。在接收表面，反射点产生反射曲线组合，其形状取决于速度场，如果反射面上介质的速度是常数，那么曲线为双曲线。为了确定地震剖面上某一特定位置的信号振幅，比如图 4.21 中的 X，必须计算 X 点处的曲线。首先利用权重函数计算波前随时间扩散曲线，并根据各道与该曲线相交位置的振幅。所有振幅的和即为 X 的能量输出。与外场方法比较减小了所有随机噪音的振幅。重复该过程，就能得到地震剖面上各点的采样振幅，由此获得偏移记录。叠合适的数量选择，通常要求孔径尺寸能覆盖剖面上的最陡剖面。孔径一般要求大于最陡斜距偏移水平距离的两倍，由于绕射随深度拉伸，还要求孔径随反射时间的增加而增大。

波动方程偏移基于表面记录压力场的向下连续变化。可以利用傅氏变换、频域偏移，或有能差分方法（有限差分偏移）来解波动方程。反射界面上的每一个点假设为一个点源，能量同时反射产生可观测到压力场 $P(x, z, t)$ ，其中 $P(x, z, t)$ 是在 (x, z, t) 处的压力幅值。若表面记录点间的距离和反射信号采样时间间隔都很小，并且以避免混叠重叠的发生，那么如果知道表面和反射界面之间的速度—深度关系，就可利用波动方程的一维形式计算记录面以下 Δz 的压力分布

$$\frac{\partial^2 P}{\partial x^2} + \frac{\partial^2 P}{\partial z^2} = \frac{1}{V^2} \frac{\partial^2 P}{\partial t^2} \quad (4.66)$$

其中 V 是 P 波速度，深度 Δz 的压力场由 $t=0$ 确定。若零时间轴与反射点重合，则信号偏移完全。不断增加 Δz 使压力场向下移动，由此是含 $t=0$ 的压力场，形成偏移剖面。该步长间隔通常小于优势波的周期。图 4.24 为波动偏移处理的一个实例。

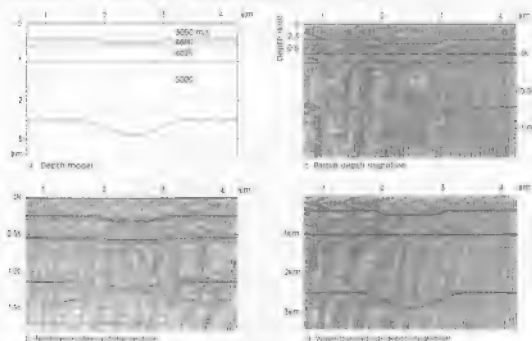


图 4.24 深度偏移和波动方程。 (a) 模型结构，P 波速度为 3050 m/s，在深度为 4000m 处，到 5000m 处剖面之间的反射系数为零。其它所有界面的反射系数都非常小且相等。(b) 点源反射时模型结构的时间剖面。(c) 基于深度偏移，对观测面下 3000m 深度处，虚线所示，进行波动方程偏移处理。该剖面已经完成了深度偏移。虚线以下是炮点和接收器位于 3000m 深处时记录的时间剖面。(d) 对记录 (b) 进行的波动方程偏移处理所得的结果。

如果对 CMP 叠加道集进行偏移, 假设叠加记录等时子仅包含垂直入射和反射的零偏移距道集, 那么就可以减少偏移的计算时间, 但这个假设在构造变化剧烈的地区并不成立。更合理的程序是对炮检距偏移一定的道集剖面的单道地震记录进行偏移, 并将偏移后的道转换为方便叠加 CMP 道集。考虑到需要计算时间量大, 可先对一定炮检距下记录的 CMP 叠加道集进行偏移, 叠合经过偏移的部分道, 就可以获得 CMP 道集完全偏移的记录。

4.7 三维地震勘探

地震测线间的数据空缺, 以及反射自炮检垂直平面以外的地震波的存在, 是利用二维反射地震平面解释构造的最大限制。为了使高密度构造的地震成像更清楚更详细, 可在炮检点间距为数米的大量网格上进行反射地震勘探, 以便表层下单点反射的地震波至在不同方向上, 也即按不同的炮检偏移距, 记录 (图 1.25)。随着精确导航系统的发展以及多源联合多组构波器阵列的应用 (第 5.9.4 节), 现在浅海区域可以进行这种高密度的地震采集, 将地震反射波划分为小的单元组或称面元, 如果中点落在表层下该面元的区域内, 则数据即为该特定面元包含的地震波。自每个面元的数据可以进行叠加和偏移, 并得到表层下的三维图像。

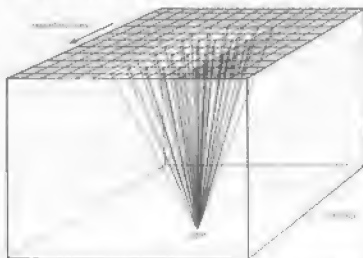


图 1.25 三维地震勘探中其反射点的射线路径 (据 Kohnstien & Borsini, 1991, 经 Blackwell Science 允许后引用)。

表层以下面元沿测线方向长度一般为 12.5m, 沿横测线方向边长为 2m。地震道的数字化间隔为 2ms, 若表层下平均速度为 3km/s 时, 垂向采样间隔为 3m。单元大小可以选择, 因此能够得到表层下较高分辨率, 还能避免处理过程中的混淆重叠, 但面元也不能过小以至于大量的面元不能没有测线。它同数据点应接近于地震波波长 1/3 倍的标准值进行分配。如果地震波的最高频率是 f_{max} , 且最大的侧角是 α_{max} , 那么最大的分割距离 Δx_1 为 (Silver et al and Gelman, 1995):

$$\Delta x_1 \leq \frac{V}{4f_{max} \sin \alpha_{max}} \quad (4.67)$$

每个单元内的数据应包含相同数量的道以及同样的偏移距分布。但是实际上, 由于调查测线并不一定是正交表层下构造复杂时, 道的密度是变化的, 空间格内的测线, 一般停留在以下

邻近部分的平均数据替代。在一些处理过程中,对于面元通常可以在精确线方向上进行扩张,直到面元包含足够的道。

生成一次反射波正确空间图像的原理跟前面讨论的二维地震数据的情况一样。同样应用正常时差校正(NMCD)和倾角时差校正(DMPC),并进行CMP叠加以增强信噪比和削弱多次波。计算各面元叠加速度的工作量很大,因此一般使用粗网格确定的速度,典型的网格大小为 $500m \times 500m$ 。对CMP道集的速度进行内插,所得值可用于每一面元。如果速度明显不符合所定义的反射体,还可对速度进行重新计算。至水平界面的旅行时间还可用于修正叠加速度。在有必要校正在不同潮汐状态下的旅行时差。在对叠加数据进行偏移前,还需作的进一步处理包括为提高分辨率而采用的反褶积和削弱多次波等处理。

地震测线封闭网格的最大优点是可以进行三维偏移。通过将反射体归位到其真实的空间位置,压缩绕射波,削弱侧反射波和聚焦菲涅尔带的能量,对构造勘探能力起到了实质性的提高。考虑到倾斜界面和绕射波,在叠加前我们可能希望进行偏移,但为了减少计算时间,通常叠完后才进行偏移。在三维空间一反射点产生的分辨率服从双曲线的绕射,并能由地震网格确定。通过对双曲面上振幅求和来求得该点总的能量,并以此进行偏移。双路径技术(two-pass)是偏移的一种方法,沿着平行测线的一侧使绕射双曲线塌陷,以此在垂直于坍塌陷为顶点的双曲线的方向上定义一系列的顶点。但这并不能正确归位陡的反射界面,因此在构造复杂的地区有必要使用全三维偏移算法。偏移数据的进一步处理包括:利用小波处理将波至转换为零相位反射波。零相位小波具有单个波峰,并且两侧对称有小的侧波瓣,它能使反射体在噪音存在的情况下更清晰地成像。反射波的极性也能清楚地确定。

为了对勘探区的边缘进行偏移,获取的数据必须超出其边界,这样才能考查任何例外延伸的倾斜反射体,其反射偏移会上插入该区块。额外采集的数据也提供了对菲涅尔带的完全覆盖,使得来自区块边界的反射波振幅和频率可以和区块内的进行很好比较。调查边缘的宽度 x_{margin} 由下面公式给出:

$$x_{margin} \geq \frac{1}{4} V t \sin \alpha_{max} + \frac{V}{2} \left(\frac{t}{f_{max}} \right)^2 + \frac{L}{4} \quad (4.68)$$

其中 V 是表层下介质的平均速度, t 为总的反射时间, α_{max} 为问外的最大倾角, f_{max} 是有用的最高的地震频率, L 是检波器阵列的长度(Singh(11)和Gallagher,1995)。

三维覆盖的数据块可以利用工作站上的现代可视软件进行快速检测(见3.9.4节)。利用三维数据,可以在任何方向上建立二维垂直剖面,可以分离与井孔有关的数据块或者显示倾斜方位角的数据。还可以通过切片显示任何时间剖面上的反射组合(时间切片)。沿特定反射体的(水平)切片可以显示石油储藏的振幅变化。

4.8 体波层析成像

海陆不均与勘探的一个重要方法是利用大量的交叉射线路径确定标准地球结构的体波旅行时间。连续差分和层析成像是(图13.6和16.5)。也可以由面波散射变化来成像,主

定分辨率会降低。层析成像的方法已经应用于深部结构的探测,它使用全球标准地震台站记录的震动图,并对观测网络的数据,根据非孔数据点进行插值(模拟层析成像)。

体波速度不均匀性引起的延迟时,可以通过路径积分求得:

$$t = \int_{source}^{receiver} (1/v) ds \quad (4.69)$$

其中, v 是沿着传播路径的速度, ds 是路径微分长度。这一速度场可以由经过多条射线路径的震源时确定,并能够取源于震点和接收点的位置 (Thorne and Aki, 1987), 建立全球以下的层析模型。层析模型与层析成像模型计算的延迟时, 可用于改进层析模型。公式 (4.69) 中抽查射线确定路径并不确定, 这取决于地震波的速度分布情况。但如果我们假设任何路径到震源路径变化很小的时候都是固定不变, 则根据 Fermat 原理的推论, 延迟时延迟 δ_t 和速度延迟 δ 具有以下的比例关系:

$$\delta_t \sim \int_{source}^{receiver} (1/\delta_t) ds \quad (4.70)$$

射线路径由三维射线追踪确定。利用地下结构的几种表示形式同时拟合反演, 可以假设地下结构由层圈组成, 是一系列的平面层包含大量的板相型连续, 或者地球内大量离散点即速度值。地球可以表示为速度随深度变化的函数, 且不含含浅表不均匀性的区域。要求尽可能多地利用现有的速度数据来限制初始模型。

射线追踪的一个技术是确定起始点射线的最初方向, 沿着起始点的射线方向不断被改变直到路程和接收位置。第二个技术是确定射线的终止点, 从最初路径开始, 射线将每步都在初始是射线方向上。为了限制计算时间, 开发了二维射线追踪技术。一种技术利用仿射的速度场确定精确的射线路径, 而另一种技术可近似射线路径的三维真地球场。事实上可以通过将震点和接收点是在已知三维模型表面上, 应该在各个区域获得较详细的层析成像模型, 特别是在海底洋中脊的顶部区域。

对于全球地震模型, 例如调查地球内部的结构变化, 可以通过地球任意点的速度场表示为 $\delta v(r, \theta, \phi)$ 来描述速度场, 分别对地球描述三个量 δ , θ 和 ϕ 的量和 (Wengertson and Dziewonski, 1984)。

$$\delta v(r, \theta, \phi) = \sum_{l=0}^{\infty} \sum_{m=-l}^l \sum_{n=-l}^l f_l(r) \left[A_n^m \cos m\phi + B_n^m \sin m\phi \right] P_n^m \cos \theta \quad (4.71)$$

其中 $f_l(r)$ 是标准基函数的任意函数, $P_n^m \cos \theta$ 是标准正交的标量函数 (任意位置的) 的函数。根据上述射线追踪和射线参数, A_n^m 和 B_n^m 和 θ 和 ϕ 的值是角动量和磁矩的分布函数。如果 $\theta=0$ 和 $\phi=0$, 则 θ 和 ϕ 分别为 2000km 垂直分布率为 100km 。

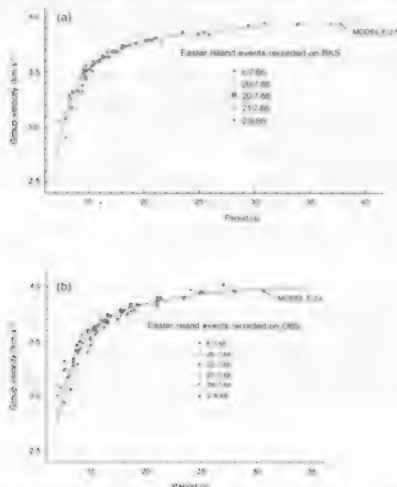
4.9 海底构造的面波勘探

面波散射取决于速度场问题, 是地球内部构造速度和刚度变化的结果, 是勘探、定位海底构造为海底构造的基础。分辨率取决于地震波长, 面波散射率在垂直于传播路径方向上一步骤

大小的结构。这样具有 40 s 周期和 4.0 km/s 相速度的偏利波, 就具有 16.05 m 的水平分辨率, 垂直分辨率也来自于周期。作为对基本传播模式的一般概述, 偏利波对入3 深度的剪切波的速度分布最敏感, 而和深度上 1/2 的弹性模量相关。

尽管地震面波形成因而分辨率低于超短周期的可利用的地表方法, 但它还是可以应用于海盆及其边缘之下数公里深的构造 (Olliver 和 Dorman, 1966)。若忽略细节, 也还是用表面波数与水深因物理属性的方法。而波散射随角度变化会有所不同, 偏利波和精英波散射的速度-深度曲线间的差别是各向异性的表现, 并能限定地层的形成和结构。若都能通过测量群速度和相速度来推导散射线, 是复活节岛至智利福屈亚 (图 1.2a) 的曲线路径见图 1.2b。

散射线曲线的形状取决于剪切波速度和地壳厚度的变化。长周期波的传播主要受深部构造影响, 然而短周期面波主要受浅层物理属性的影响。图 1.27 表明了偏利波在水层与干土层与干层构成介质内传播时的散射线曲线的形状。水深在 4.06 m 到 6.36 m 之间, 长波是 11.25 s。相速度对水层的厚度并不敏感。曲线平直的部分是偏利波在固体 (0.925 m/s) 中速度的渐近线。在波长较短 (1.25 s) 时水的影响很显著, 特别是在水层很薄时更明显。在水层和固体中间层间插入的中间层将影响中波长偏利波的传播, 前中两层结构间的偏差取决于层速度和厚度。



周期方程的解的形式可用于表示更确切的结构参数的散射线曲线, 该方程是多层介质情况下相速度或群速度与周期间的关系(Black, 1975; Kogut, 1983)。一系列联立方程表示传播, 每个方程表示在特定界面的能量传输。基于计算机的数值处理方法可用来解该方程, 并由此得到群射线曲线。该技术在勘探中的广泛应用很有价值。但以往在描述通过大量的不均匀层来近似表示, 并由此得到各向同性介质。通过比较观测群射线曲线与假设速度密度的理论曲线, 可得到与观测数据相符的模型。据此可计算海底沉积物的层状结构。图 4.2 给出的速度和密度分布可使模型曲线与复活节岛岛架横断面观测的散射线曲线相似(图 4.2b)。这样的模型实际上不是唯一的。另外的方法是假设一些已知的散射线曲线并求成地球模型。该假设可表示为:

$$y_d = Ax_m \quad (4.72)$$

其中 y_d 是联系散射线曲线 y_d 与模型 x_m 的函数。 x_m 可以表示观测散射线和最初模型 x_0 间的差别。将参数的改变加到 x_0 上去, 从而可得到 x_m 。因此 y_d 是最小化的, 它是群速度和相速度部分求和后组成的函数。因为与横断面参数相关的速度是非线性的, 所以散射线曲线的部分求和后求和一定很慢。现代技术降低了观测和计算数据间的平方和差。现代直接估计与模型参数可被接受为止。还可以根据模型参数的速度标准偏差和同度系数, 在更深层次上, 模型代表了一个平均的和真实的结构。还可以假设对估计散射线和合成地震图来检验模型。

表 4.2 用于计算复活节岛岛架横断面大陆边缘沉积物结构的散射线曲线的模型结构
(据 Piermattar and Nowroozi, 1969)

层厚 (km)	V_p (km/s)	V_s (km/s)	ρ (kg/m ³)
模型 E-27: 复活节岛全大陆接收站			
3.80	1.51	0.00	1.03
0.01	1.52	0.15	1.65
0.10	1.60	0.19	1.70
0.10	1.71	0.37	1.79
0.10	1.80	0.53	1.86
1.30	5.07	2.88	2.67
5.00	7.20	3.98	2.90
50.00	8.00	4.68	3.30
160.00	7.90	4.60	3.35
	8.20	4.68	3.40
模型 E-24: 复活节岛全海底接收站			
3.80	1.51	0.00	1.03
0.01	1.52	0.15	1.65
0.10	1.60	0.19	1.70
0.10	1.71	0.37	1.79
0.10	1.80	0.53	1.86
1.00	5.07	2.88	2.67
4.50	7.20	3.98	2.90
50.0	8.20	4.72	3.30
160.00	7.90	4.60	3.35
	8.20	4.72	3.38

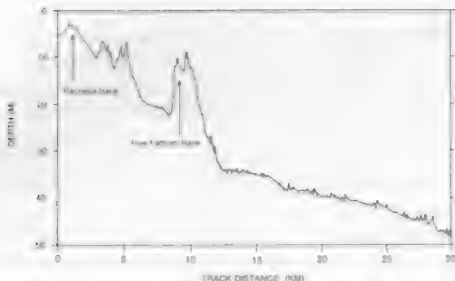


图 1.2 通过地震学手段观测到的地球内部的速度传播 (据 Ol'Yosh 等, 1969; Gutenberg, 1963, 经出版社和美国地质学会允许后引用)。

可以对模型中的几种参数进行很好的限定。例如, 在地震勘探勘探中所使用的纵波速度 V_p 和声速可以通过 V_p 值进行测量。这使得建模的工作可以集中在减少参数数基上一“精简方法”的基础上, 即在有限的参数范围内寻找模型结构 (Kelly-Burgok and Yuncuoglu, 1987)。模型建立和未知因素类型和和适当频率: 通过拟合基本的群速度和横波速度与未知的第一级模型, 群切波速度与频率大约是以 1 km/s , 并解达到表层下 30 km 。

由于面波传播与频率相关, 故在一维一维中面波的速度变化比体波更为复杂。即使如此, 面波层析成像还是在区域性和全球的建模中发挥了作用。假设群射线与整体内部结构和体波基于一维的属性相关, 频率为 f 时的旅行时间偏差 $\delta t(f)$ 和群速度和速度的变化量 $\delta v(f)$ 具有以下关系:

$$\delta t(f) = -v(f)^{-2} \int \delta v(f) ds \quad (4.73)$$

其中 $v(f)$ 是射线沿射线曲线的速度。横向和纵向的速度变化用 $\delta v(f)$ 表示。对旅行时间偏差进行分区块来建立速度模型。由该式 (4.73) 可表示为:

$$\delta t(f) = -v(f)^{-2} \sum_{k=1}^N \delta v_k(f) \Delta s_k \quad (4.74)$$

其中 N 是区域的数量, δv_k 和 Δs_k 是速度扰动和沿第 k 区块上的路径长度。射线曲线表示用于每个区块的垂直变化速度结构。另外, 速度还可以定义为连续函数。J.H. Woodsworth 和 A.M. Isaksson (1984) 通过可以自全球地震台网的震源图与计算合成的震源图, 推导出和观测 common 深的地震的速度异常图。计算使用了表示地球结构的横面变化的射线和用于计算和变化的射线曲率函数。

第五章 海上地震数据的采集

5.1 引言

海洋地震勘探需要具备以下几项：

1. 地震能量来源；
2. 探测弹性波在水中或者海底旅行的方法；
3. 用能承受且容易解释的声压记录来记录地震波的方法。

理想的地震源产生单一的高频脉冲，在存在噪声的情况下，穿过我们希望研究的地球的最深部，虽然能被轻易地探测到，并输出信号覆盖了极大的频率范围；而来自声线附近和侧向断面的所有噪声，用于探测地震探测的也有阻碍。实际上，储存在震源的能量是无限脉冲响应而局限在其中的。地震源自身的本性，以及弹性波依赖于频率的微弱吸收和震源附近边界的存在，都会使输出震源发生频率变化而不再保持简单的脉冲特性。

海上调查的震源可分为两类：提供弹性波能量的短持续时间脉冲型的脉冲型和产生连续信号，或称为正弦波源，长期连续脉冲，能模拟各种脉冲的模型型，小震源距（close）或大震源距（远震源或，distant），脉冲型震源都得到广泛应用。后者设备不太复杂，它使用较少能量产生连续信号，高能量的脉冲，大震源距，考虑到对海洋生物的伤害和对探测设备关节的损害等本身固有的缺陷，几种特殊的一次性地震源得以发展，所以用不同的方法产生连续信号，包括使用炸药，炸药埋置海底，气泡柱连续膨胀，蒸汽气泡膨胀和底面共振器。为了提供地震的高分辨率，需要了深探和海量震源，后者能够产生和压电波相似的正负波，在埋置震源的震源信号，脉冲，能量耗散速率和响应频率的变化相对较小。震源的选择由震源为所需和需要的存储深度所决定。为了在某一个震源产生连续信号，需要很长的时间，所以把震源排列成阵列。

在水中，震源能产生压力变化，可以传播到地震波，它吸收，而通过地面的运动，而直接或在用材料（如炸药等）制造的水听器记录。水听器通常排列成阵列以检测到的信号，使得或者能位于海水平，随船移动，直接制动的接收器的可移动深探设备要造成，都连接海面接收站接收中心，使用最复杂特殊的地震记录站记录。地震探测器的输出信号通常以数字格式，在记录站或可常深度记录器上记录。在记录站中，我们检测到地震波，在接收器配置和记录器系统的细节时，会展示一些地震数据的例子。

5.2 脉冲式震源

5.2.1 导言

海上地震勘探震源和震源是水下气体的膨胀产生的弹性波，震源的早期阶段，水下的压力迅速膨胀；由于材料是压缩流体，气体的不断膨胀导致其内部压力迅速克服外力平衡状态，而由于是材料气体迅速膨胀，然后，当该过程平衡力平衡的力了（图 5-1a），气体产生膨胀后

振动, 且波数由辐射、排布、重力和边界存在导致的能量散失所决定。气泡脉冲振幅值不断衰减的一次指数脉冲形式, 由 F. 和 J. L. 修改 Cole 和 S. L. 的沸水中气泡运动的表达式, 输出了气泡脉冲的周期 T (Cole, 1955)。

$$T = k_w \rho^{1/3} p^{-5/6} E^{1/3} \quad (5.1)$$

这里 k_w 是常量, ρ 是流体密度, p 是绝对静水力学压力, E 是疏爆能量的总和。对于 1 kg 的炸药, 初始震动波和第一个气泡脉冲之间的时间间隔是,

$$T_b = 0.48k_w W^{1/3} (d+10)^{-5/6} \quad (5.2)$$

这里, d 给定单位为米, k_w 是由炸药类型所确定的常量, d 是炸药沉放深度, 单位为米 (Arons, 1948)。

图 5.1c 显示了波形从振荡气泡被海面几乎为 1 的反射系数修改的情形。在初始压力升高和每次二级脉冲后都出现相位反转。在波部爆破可使气泡第一次膨胀时就碰到水面而破裂。这样就避免了气泡振动而产生的微弱剖面上的“鬼波”初次记录干扰。

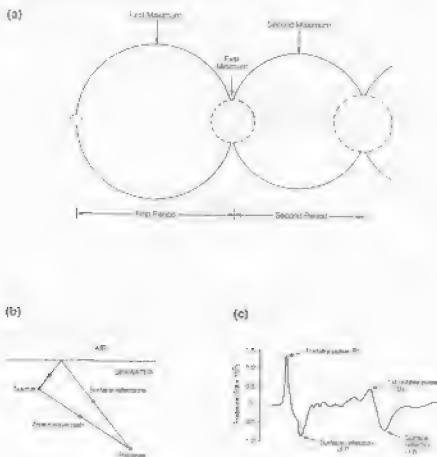


图 5.1 (a) 表示炸药爆炸产生的气泡膨胀和收缩; (b) 射线图; (c) 显示爆炸脉冲被水面或底部水下压力场 (见 Arons, 1948) 经 the first international Engineers 允许后引用。

5.2.2 化学爆破

19 世纪 60 年代中期以前, 化学爆破被广泛应用于海洋地质勘探。但此后, 作为能量、重量和成本的来源, 它们的应用局限于军事训练并建的深部地质实验中。爆炸既可以通过电力产生也可以通过常规商业的引爆剂产生。声学压力在几毫秒内达到最大值。峰值能量的损失随着如图 5-2 所示的气压脉冲频率而发生, 图 5-2 展示了 0.45kg 炸药在 1.3m 到 6706m 深度爆炸产生的频谱, 在水下, 峰值频率能达到几赫兹。爆炸频率设定在相对峰值频率四分之一深度。这是因为下行波的能量能够被海面反射波所加强。这种频率不是总能达到, 因为大量炸药必须沉到适宜深度以下, 以便放炮船在引爆产生时切割似的, 有足够时间到达安全的距离。

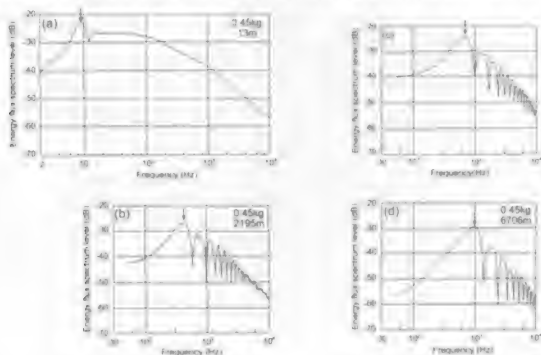


图 5-2 0.45kg 重量炸药在海水下 1.3m、2195m、4132m 和 6706m 的能量谱, 能量水平单位是 $10^{-7} \text{ m}^2/\text{s}^2/\text{Hz}$ (据 Weston, 1980; Christian and Dalk, 1965) 经 IIR 出版社和美国声学学会允许后引用。

地震源使用不同成分、大小和形状的炸药, 范围从研究浅部地层的几克, 到力探测数十公里深度构造而使用的超过十吨的大量军用炸药。电子引爆线就炸药而提供定时来源, 而且很少有二次脉冲产生 (Lugg, 1979)。

在海域上方或者在海底引爆化学炸药能提高地震分辨率 (见 4.3.3 节)。图 5-3 展示了 D.L. Kowich 等 (1986) 采用延期的一种方法: 深部爆炸延期 (DBD) 包括 38 个排布在构造垂向上 (下) 列出的筒, 每个筒内装有延迟延期炸药, 可以在这里进行不引爆。炸药被一根尼龙绳吊在合适的位置, 尼龙绳绑了一个截电线。当得到艇上的指令时, DBD 的电路穿过电线, 尼龙绳分裂成两股, 使得炸药和导火器基体内提出。适当的信号通过装置将点燃炸药, 电子触发开关能够防止过早引爆炸药。

Atlas Parosound 系统利用海水的非线性声学属性产生一个 2.5-3.5kHz 频率范围的狭窄声波束 (Grant and Schroeder, 1990)。如果频率为 f_1 和 f_2 的两个正弦波声信号同时传入海水中, 产生的第二个信号的频率是 f_1+f_2 和 f_1-f_2 , 那么后者将提供穿透海底所需要的低频能量。因为不同频率的信号被限制在声波束的主要部分, 一般为 $\sim 1^\circ$, 窄频能量就不需要大型传感器就能在窄波束中产生微弱能量。Parosound 在 180Hz 附近频率运转, 使用一个 20.1-25.5kHz 之间, 并以 0.5kHz 为步长变化的可变频率来产生大小在 2.5 和 3.5kHz 之间的第二个频率。打在物体上的电子束扫描装置可以使得回波运动造成的信号损失减少到最小。该系统已被用于冰层和其他类型的浅水沉积物的研究 (McClintock and Neumann, 1992)。

5.2.4 电火花和强震板

S. L. Kneff and J. B. Hervey (1986) 发现, 当高压电容器通过水下电极对聚发电产生的电火花, 会激发了伏气体的气泡迅速膨胀, 产生足够的能量能够穿透数百米的沉积物。电火花器由数百兆瓦的电容器驱动并由绝缘组成, 已被用作深部地质应用于大陆架的研究。

19 世纪 60 年代早期, 电激流液或者强震板 (Dunson) 被发明 (Edgerton and Bayward, 1961)。电激流液来自植入绝缘材料网络中的铝板 and 铝中的铜线圈的突然分离。铝板开始时有铁源放置。电容通过线圈迅速放电, 铝管内感应的强电流产生迅速的爆炸, 在水中产生气穴。第一个压力脉冲是由铝管内部网外的加速度产生的。这之后紧接着气穴爆炸产生又一个脉冲。距海面和高海底 10-50m 的强震板已被用于在深部取剖面速率或层反射特征的大陆边缘调查。脉冲长度在 0.1-0.2ms 的强震板则被用在水深只有几米的反射剖面中。它们距区分近海沉积物中不到 0.3m 的反射体 (Stimpert and Jarrin, 1993)。

5.2.5 气枪

并同空气突然释放到水中, 可产生短促, 高能的膨胀脉冲 (Wong and Zinn, 1994)。气枪作为常用的获取海上地震数据的震源, 已经取代了早期是爆炸物燃烧的气体或者释放过热液体到水中的设备。图 5.4 所示的气枪由两个高压空气枪 (A 和 B) 组成, 由双头活塞密封, 活塞轴上有通孔。当气枪充满海水之后, 空气就储存在 A 和 B 之间流动, 如图所示, 高压空气进入气室 A。因为 A 区域的边缘大于 B, 活塞在力矩膨胀封在 B 出的橡胶卡套膨胀, 通过打开螺旋盖阀门使高压空气到达 A 区域的内部, 气枪膨胀。由于 A 区域和 B 区的膨胀, 产生的要活塞向上的力是弱充泵使其向上的阻力。于是活塞快速运动, 高压空气从下方气室通过 A 和 B 之间的上下通孔进入水室。随着空气被释放, 活塞向上冲的力减弱, 气室 A 中空气产生的向下的压力不断增加。压力加快活塞快速返回初始位置。高压空气到达进入下力的气室, 膨胀的循环得以重复。气枪中的压力通常可达到 2000 psi (138MPa)。一些甚至可在压力超过 10 000 psi (690MPa) 的条件下操作。气枪的大小, 由下方气室的体积测定, 从 0.10 升到 10 升之间变化。

套筒气枪的设计允许对激气室更快填充, 增加了空气释放的频率, 提高了输出信号的峰值。大部分强震震量集中在初始脉冲中。图 5.5 比较了套筒气枪信号与其他气枪的信号和振

偏转。气泡脉冲造成的衰减使传播距离产生明显的平滑效应。J. Langhammer 等 (1995) 指出在气枪周围装上有孔的掩盖物能在气枪振动时阻止水流, 从而降低二次波。

气枪产生一个变容积的脉冲来激励激波源 (图 5.4)。峰值能量随着气枪体积的变小而减小。激波的一个重要特性是多次开火信号具有可重复性, 这在数据处理中是一个主要的优点。输出信号可以被深地听器器面听, 而距离每个气枪 1m 放置的远场水听器更加便利, 其输出允许远场波形参与计算。

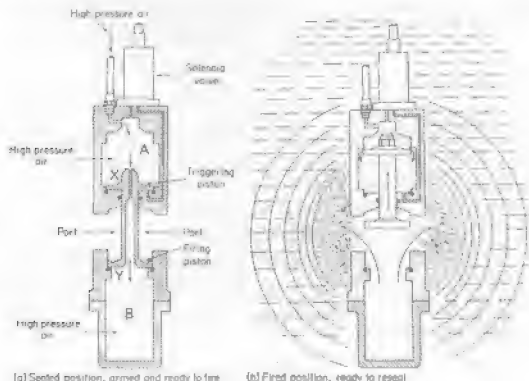


图 5.4 气枪地震震源, 经 Roll 技术公司允许后引用。

为了得到每隔 10~15s 的窄带输出信号, 不同尺寸的气枪被排成阵列。典型的情况是, 两个震源阵列被拖在水深 3~10m 处, 分别放炮。气枪的位置由水面浮标的 GPS 接收器和星-地站的频率 100~1000Hz 换能器接收脉冲的水听器共同监测。在石油调查和深海地壳剖面测量中可以用到几十口气枪, 总体积达到 100 升 (Klemperer and Bohlen, 1990; Axedik *et al.*, 1990)。它们在频率 12~128 Hz 范围内释放的峰值压力为 100 bar, 但可以透过地面波在超过 500km 范围内被折射方法所探测 (OBI Workgroup, 1991)。气枪的触发是同步的, 因此它们的初始波前脉冲是同相的, 而二次气泡脉冲是非-相干的。间距和气枪的型号一样, 是设计阵列的重要因素。如果它们的峰值脉冲间隔小于一个波长, 震源波形就会受到气泡相互作用的影响。图 5.5 上的影响可以在数据处理过程中得到估算和补偿 (Jakes *et al.*, 1984)。

根据技术实验结果, Ewing *et al.* (1992) 在海底滑架上水平拉了两个气枪。交替放炮导致相反的方向上产生了水平推力, 在形成 P 波和 SV 波的同时, 交替形成了偏振的 SH 波。因此除了得到 P 波和 SV 波数据, 还可从这对气枪中获得 SH 波的带宽。

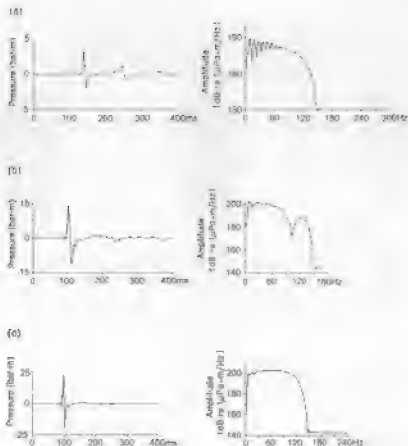


图 5.5 气枪震源在压力 2000psi (13.8MPa) 下发射的输出波形和振幅谱。(a) 0.50 立方英寸 (3.1 liters) 类型如图 5.1 所示的气枪, 发射深度 = 7.5m; (b) 1.50 立方英寸 (22.1 liters) 气枪阵列, 发射深度 = 7.5m; (c) 7.50 立方英寸 (12.1 liters) 气枪阵列, 发射深度 = 6m [据 Fontana and Boughie, 1991; 经勘探地球物理学学会允许后引用]

5.2.6 水枪

由 Societe pour le Developpement de la Recherche Appliquee 设计用于高分辨率地震剖面测量的水枪, 其声学输出是通过水中气泡的突然溃灭产生的。图 5.6 显示了水枪放炮循环的三个阶段。开始阶段从压缩空气推动中心活塞向下, 快速推出并存在套筒中活塞前部的水。当活塞被标有“STOP”的凸缘卡住时, 移动的水滴从活塞中分离形成气泡。随后气泡的爆破产生地震输出, 其能量与水滴子的动能成比例。当活塞到达击打的底部, 空气从上层腔室中排出, 静水压为推动活塞回到出发前的位置准备下一次放炮循环。

5.2.7 自由落体重物

下落到海底的重物可以为短范围剖面提供地震能量。在一次 Malindi 群岛外的深水实验中, 重量都为 10 吨的一个钝圆筒和一个改进的弹丸, 从船上被以自由落体的方式放下去 (Whitman and Lillwall, 1982)。撞击产生的剪切波和表面波能够被 1000m 以外的海底接收器接收。

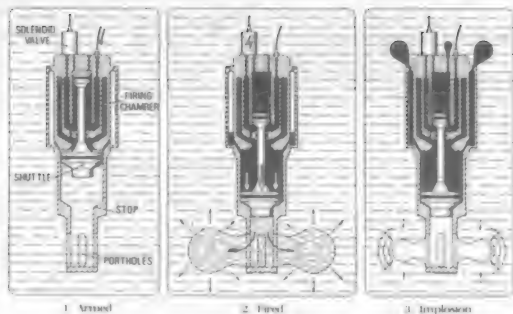


图 5.4 气枪和激波的三个阶段 (图 5.4.1 和 5.4.2 由 Ge Dong Equipment, Inc. by permission of Applique and Seismic Systems Inc 授权使用)。

5.3 可控地震震源

脉冲式震源的大部分能量都是在气枪击发室内释放出来的。其峰值压力集中在波形的早期部分。得到高质量输出的一种可选择方法是在很窄的范围内产生低值。可控震源在陆地反射数据和高频声响中广泛应用 (5.3.3 节)。陆地应用的 Vibecon[®] 已经扩展到海底地震勘探的应用。海底地震源系统为多型车编提供道路 (Cross et al., 1986)。可控式设备与传统的脉冲式震源相比有如下优点：(1) 峰值压力低，在预期范围内；(2) 输出频谱可以调整以达应特殊调查的目的，例如探测微小石油圈闭构造；(3) 经过处理的数据对来自船只和海洋生物噪音的干扰不敏感。然而，可控设备设计更为复杂，操作和船上保养更困难。由于震源频率的多普勒偏移，在震源处理的过程中，要作频率偏移补偿 (Drazenovic, 1985)。

Clayton et al (1984) 制造了一个早期海洋电动震源，包括一个由振荡电路控制的磁力液压驱动的活塞。其脉宽为持续 1s，频率频率由 100Hz 到 1000 Hz 到 2000 Hz。输出的全部能量均在 100Hz，线性谱则每 16s 重复一次。震源信号被传送到水听器接收站，存储然后对来自海底的反射波互相关。

图 5.5a 显示了一个新型的可控震源，装备了数字水压开关，它提供和传统的脉冲压力传递具有不同频率的脉宽脉冲 (图 5.5b)。这个一吨重的震源由一吨液缸传动的移动活塞驱动，在气枪压力支撑。其压力要大于静水压力。作用在活塞上的可变压力由电液泵系统来改变。活塞通过气枪中的气压被向外推出，通过静水压力被推进。通过改变水运动的空穴中的压力，活塞可以在 10s 的扫描周期移动 8-100Hz。图 5.5c 显示了信号的振幅谱。

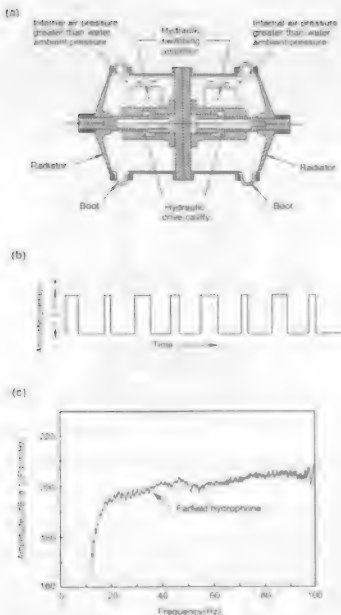


图 5.7 (a) 水听器工作原理图。(b) 传感器灵敏度波形。(c) 该水听器灵敏度非线性度达 100% 时的频率范围 (Reynolds, 见 Neff 等, 1998)。摘自 Salway, Technology and operation 授权后引用。

5.4 水下地震探测器：水听器 and 地震检波器

5.4.1 水听器

水听器是用于探测水中传播的地震信号，通常由压电材料，比如钛酸钡，锆酸钡或铝镍钴合金制造。水中压力的变化在传感器内部产生小的电流，由传输的电缆，光纤或无线传输而放光以传输到数据存储器或显示装置。传感器多种多样，包括棒状，底部衬套消音器，金属板和水听器。灵敏度 ($\sim 1000\text{V}/\text{mPa}$)，地震频率为 $10\sim 1000\text{Hz}$ (图 5.8)。深潜用的传感器需要耐压式或密封式浮标。水听器通常设计为成对匹配，这样它们的输出会因应力或应变而增加，且消

除因水平加速度的产生的电压。水听器的大小与地震波波长相比相对很小, 所以它们本质上是全方位的 (Lamont, 1966)。单独的水听器仍然用于声音传播的研究, 例如在热液喷口区, 但是在大多数海底地震仪中, 水听器被布置成阵列, 拥有重要的降噪特性, 同时能对地震能量产生直接的影响 (见 3.4.1 节)。在应用侧向测量时, 水听器阵列或者拖拽传感器系统。后者通常可以同时进行多种传感器布置在充满油的柔性的塑料管中, 该管子被设计用于提供与海水相适应的浮力。这个装置被设计成流线型以减少机器振动和水流扰动带来的噪音。

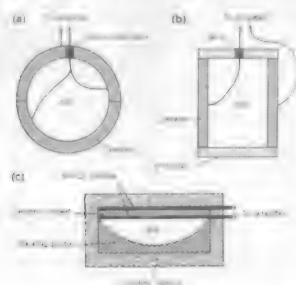


图 5.4 水听器: (a) 压电陶瓷传感器; (b) 压阻式的圆筒; (c) 水听器

5.4.2 海底地震检波器

地震检波器被用在自给容的海底设备中, 放置在海底的钻孔里, 它们应用于因障碍物阻挡而无法安装连续极型的接收器而需要作精细的一维地震调查的浅水陆岸间的地震工作 (Bouchon *et al.*, 1985; Sroog *et al.*, 1994)。通常的设计包括一个无调谐共振的可排水欠阻尼体, 其包括一个在轴发射上的线圈。整个装置被安装在压力箱内 (图 5.4), 当海面发生垂直移动时, 磁体跟随地面运动, 而线圈由于惯性而保持固定。地面线圈与磁体发生相对运动的速度, 线圈的末端产生相应的电动势。信号通过电缆或者光纤接口导出或存储在本地记录仪记录上。另一种可能的配置是线圈置于坚固的固定在深水的衬壳上, 而磁体本身安装在壳内。线圈和线圈的磁体被设计用来探测水平运动或扭转。

磁体和线圈的共振频率在 1000 至 10000 Hz 用于折射前缘的探测器; 1 Hz 用于探测面波。当线圈和线圈的磁体金属的结壳保证了频率响应的均匀, 并使得安装在主震仪和主震仪的磁体上。地震检波器对海底的响应满足方程 $M_{eff}(\rho_s r_s)^{-1}$, 其中 M_{eff} 是磁体线圈磁体质量, ρ_s 是磁体线圈的密度, r_s 是地震检波器的半径 (Lamont, 1970)。地震检波器通常可以探测到海底运动产生的噪音影响, 这受到通过海底的剪切应力面产生地震的噪声。磁体的磁体磁体上磁性磁体 (Bouchon *et al.*, 1994)。

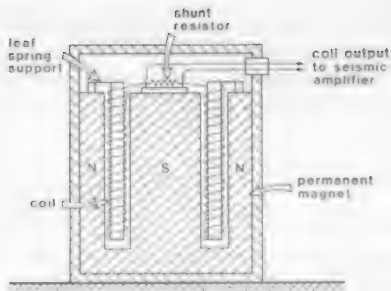


图 5.4 绕线圈磁线圈装置 [据 Lamont & Brooks, 1991]。引自 Lamont & Brooks, 1991 页 100

5.5 自由漂流和锚系水听器接收器

5.5.1 悬挂在记录船上的水听器

最早的海底地震调查是通过使用悬挂在固定或者缓慢漂流船只上的单个水听器来实现的 [Berney and Ewing, 1942; Wyllie], 1953)。小的 TNT 炸药在 100m 深度爆炸，就可在那里 at 100m 的水听器探测来自海底和下方反射体的回声。经过放大和滤波，水听器信号在示波器上被记录下来 (图 5.10)。到达斜射的海底反射，可以通过海底子波的频率组成附加区分。海底的反射在很大的一个频率范围内都可见，然而海底的反射只在较低频段 (1000 - 10000Hz) 可辨别，因为主波在沉积物和岩石中随频率增加而快速衰减。来自单站的水听器观测可以显示海底以下 1km 多深度处的反射界面。由于地层在垂直和横向上的变化，回声信号在相隔较远的站位间就不能清晰地相关。

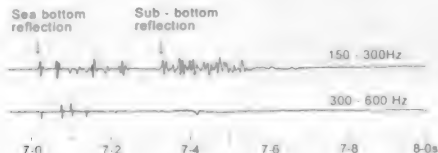


图 5.10 西夫洪口早期深水地震实验，水听器信号被记录在示波器上，记录到海底回声的清晰反射 [据 Berney and Ewing, 1942]。经美国地球物理学学会许可引用

二战期间 Wing *et al.*, 1960; Lilljorin and Kosmiskarna, 1968; Short, 1963)。美国和俄罗斯工作人员在记录双船地震剖面时, 使用了一个或一组(更普遍的情况下)悬浮在海底有用有效深度以下的水听器。为了减少水流扰动造成的噪音, 水听器被安置在保持中立的悬浮状态。在太平洋, 水听器被悬挂在与艇体垂直的 100m 浮筏平台上, 用来记录地震速度。早期的锚系水听器已经被用于通过了对相对深海地震进行定位 (Nauyas and Johnson, 1999)。

5.5.2 声呐浮标

从 1911 年起就是在地震调查中使用水听器-声呐浮标的先例, 该声呐浮标包括水听器信号到记录船上的无线电传感器。声呐浮标通常自由漂浮, 水听器距离可在 50-150m 深度, 以便使噪音控制在可以接受的低水平上。信号通过被调制的 27-180 MHz 的载波上传输。除非常特殊的传播条件例如热带雨林中, 接收一般被限制在无线电视线的范围 (40-60km)。为了提高品质, 声呐浮标上安装了内置的记录器, 在地震波预期到达前, 通过船上的主传感器发送编码信号来激活该记录器。

60 年代末期, 从船只或者艇架上投掷的低成本、抛弃式的军用声呐浮标已经应用于地震勘探工作。浮标入水后, 开始超高频传感器无线和水听器, 并启动蓄电池 (图 5.11)。浮标被设计成约 10 个小时后下沉。除了被用在广角地震剖面的发射上, 抛弃式声呐浮标还被用来观测局部的微型地震 (Nortrup *et al.*, 1976)。声呐浮标还被改进用来记录冰中的反射剖面 (Kristoffersen and Husebye, 1985)。



图 5.11 装有水听器的声呐浮标。经 Fox-Penner and Johnson (1999) 允许引用

5.6 海底接收器

5.6.1 海底地震仪

固定的海底接收器被广泛用于海洋地质调查。接收器设备本身包括记录器、用以通过电缆回收或由回收船放出的浮标中增加附加物件(弹性系统)等。图 1-13 展示了海底地震仪(OBS), 它们比所助浮标有更宽的范围(约 1000 呎, 300 m)。[1983]

1. 它们能放置的范围超过所助浮标无线传输的更大距离, 因而可以用于更广泛偏僻地区探测, 深至几十公里和海底下更深的部分。
2. 固定的海底接收器对电子固结面不平如前构造的水平变化造成的地震反射解释的不确定性。
3. 新仪器都使用一些特殊设备记录为资料, 以获得更精确的速度-深度曲线。而且新仪对于深海相对尤为重要, 因为深部构造材料通常是将来石油和天然气的主要第二个事件, 而这一事件可能来自海底构造的延伸或海。

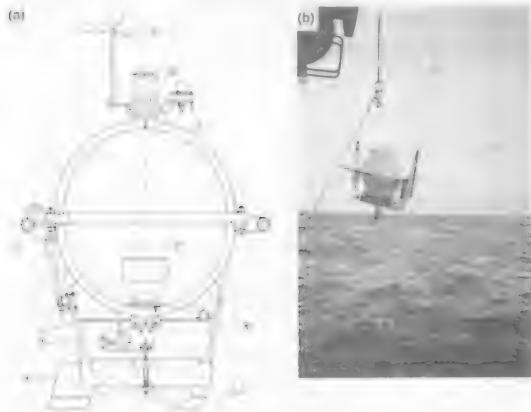


图 1-13 海底地震仪。1. 起重机, 2. 电缆系统, 3. 回收系统或回收器, 4. 耐压球形压力壳, 5. 海底地震仪和记录器, 6. 从回收船到浮标, 7. 回收船, 8. 浮标器, 9. 海底地震仪和记录器。(据 Kirk et al., [1982], 经 K. J. 许可由美国地质调查局, 1544 海底地震仪和接收器照片由 W. Weigh 提供)。

4. 深水中的海底接收器的噪音级通常很低, 这是因为噪音被很好地从上层水柱的高能环境中去除了。
5. 海底设备可以和地震检波器结合起来记录除压缩波以外的剪切波和表面波的路径。这就加强了对深海底物质物理性质和属性的约束。地面质点的运动可以从一维地震检波器的输出中得到。
6. 固定的海底地震设备具有长时间间隔记录的能力, 这就使得监测小的局部地震如同监测大地震一样成为可能, 同时还能监测更多更远的远震事件 (Shen *et al.*, 1997)。地震活动性与本地构造特征的联系可以被更为精确地确定, 断层的属性也能被确定。而且从 P 波的初动, 最大 P 波和 S 波振幅比来研究确定震源机制也成为可能 (Frederic and Solomon, 1983)。

5.6.2 海底多道接收器

地震信号可以在海底多点接收, 通过包括独立水听器或者水听器和一维地震检波器组合的静态接收器阵列来实现。使用如叠加和反褶积技术 (见第四章) 处理多道数据可以得到地下速度并加强基本的地震识别。图 5.13 的阵列用于大陆架的地震实验。它由一个柔软的塑料管组成, 包含 12 个间隔 100m 的水听器, 并连接到电池驱动的记录设备上。为了保存电池能量, 一个微处理器单元在放炮的间歇期会将记录器的开关关闭。

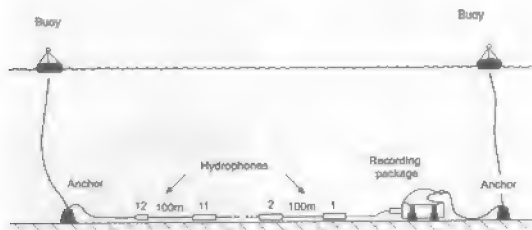


图 5.13 海底水听器阵列 (据 Powell *et al.*, 1988, 经 Kluwer 学术出版社允许后引用)

海底水听器阵列曾被海军应用, 其中就包括了环境噪声的空间模式研究。美国海军的 SOSUS (Sound and Surveillance system) 覆盖了北大西洋和北太平洋的大部分。Juno SOSUS 数据现在可被用于海底地震研究。T 波的记录被证明是监测东北太平洋 de Fuca 脊玄武岩脉侵入事件的有效方法 (Fox *et al.*, 1995)。

在海底阵列中增加三分量地震检波器的一个主要优点是可以记录剪切波, 因为剪切波不受构造的流动性影响。除非存在大的密度改变, S 波震面不包括极性反转和与富气层序有关的亮

点。在P波记录上而不是S波斜面上的亮点存在通常指示有气体存储。S波在探测断裂构造中有重要作用。断裂导致各向异性；S波沿断裂方向的偏振要快于在垂直断裂方向上的偏振，导致S波分裂。将P波和S波在相同界面的反射 V_p/V_s 比值，可以帮助了解地下岩性。尽管这样的方法受限于孔隙度和孔隙形状改变对速度的影响，以及声阻抗度与其他岩石参数的限制。这些应用导致了4分量（4C）阵列和密集阵列的气枪放炮，即使在海洋调查中的使用。在一些地区，海底电缆（OBC）被固定在海底，这样就可以重复测量地下反射率随时间的变化（4维与地震调查，见5.9.4节）。

5.7 拖曳式水听器接收器

5.7.1 单一水听器

单一水听器是全向的，受来自几个方向的声学干扰，包括船体内部和推进器、螺旋桨和尾流影响等。水听器附近由水流导致的压力波动会产生地震频率上的噪音，电缆拖动导致的机械张力和一般的水动荡也会产生相同的影响。波浪运动、航海交通和生物活动都产生环境噪音（Wenz, 1982）。低于10 Hz的背景噪音受控于微震活动。10-2000 Hz的噪音主要是由船只造成的。200-10000 Hz的噪音与当地海浪和风有关。噪音场的存在随时间变化很大（Bucke, 1984）。

J. J. Ewing and G. H. Treece (1961) 采用单一水听器来记录200 FSI 炸药每隔两秒钟点火一次产生的回声，船的移动速度大约是5 m/s。电缆在每次放炮前几秒被释放下来，使水听器能够缓慢沉入水中并达到静止。用这种方法得到了数十公里的反射剖面，第二次暴露了深的沉积层的密度和结构是如何变化的。

5.7.2 拖曳水听器排列

单点反射剖面被拖曳很久以前就被拖曳水听器排列（拖缆或电缆）所取代了。每个探测器沉入探测剖面中，放在一个直径约10mm的聚丙烯塑料管子中，因为器具与海水非常接近的声阻抗。整个排列被设计成中性的，不使用充满非液相和液注的拖缆，且不容易损坏。在甲板上能占空间也更小。最简单的配置中，拖缆是由平行水听器排列的连在一起组成接收器，长度有1公里（图5-14）。如果我们将第四章看到的，这种配置比单点探测器有明显的优点：它更少受环境噪音的影响，而且随方向改变会作出响应。这种阵列被用来记录数十公里长的反射剖面，拖行速度超过15km/h（~8节）。

大多数拖曳排列使用多道接收器。它们被分成几千里以分别记录，于是可以使用叠加和其他处理方法来加强其基本反射。图5-15显示了30道拖缆的布局，其拖行速度为~2.5 m/s或~5 km/h（~3节），拖行深度为~18m。解缆包括一个缓冲加重段，有一系列弹簧来降低船体运动的影响。其后是一个由8组12 km长，每组10个水听器组成的单元，被装在直径80mm的聚丙烯管子里。所有组成单元通过能承受拖动产生的应力的有力装置所联结。还可以装上带有水听器，用来增强接收范围的不活动段。拖缆的末端包括更多的缓冲段，减震段和一个拖缆装在深达反射器的浮标。该排列掉头时需要大约2km的转弯圈了。

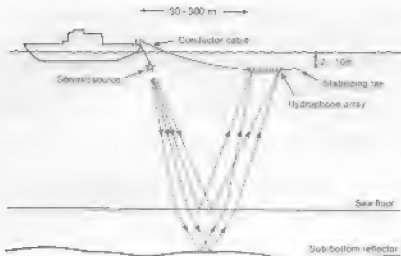


图 5-11 用于反射的单道水听器排列 水听器串联连接形成一个几十米长的等距线状接收器

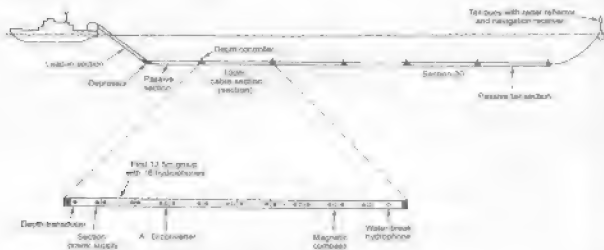


图 5-15 多道水听器排列 (经 Western Geophysical Ltd. 允许后引用)

在最早的设计中,水听器信号通过电缆以模拟信号形式传输。电缆现在包括模-数转换器和编码器,可通过光纤进行数字信号传递,速率超过 5 兆每秒。数字数据传输避免了信号失真和传输路径的基础因素的影响。利用许多小水听器测头记录数字信号,就可以在本国或拖缆情况下轻松地改变接收配置。

在地震调查中,经常使用到超过 6000m 长,300 或者更多道的水听器阵列。在一维调查中,8 到 12 个拖缆同时拖放。展布器使阵列保持固定间距。由于受到不同水密度、水流和风的影响,每个水听器单元已经组合了保持拖缆上特定深度和水听器定位的功能。在放拖缆前调整油的体积使拖缆主要漂浮;保持在水中的垂直运动最小化可保持拖缆降低了垂直级。通过中控制展布器,拖缆保持在预先设定的水深。一系列压力传感器监测着拖缆深度。利用阵列前缘、中间、尾端的高频水听器对一个拖在船体附近 50-100kHz 小光源发出的脉冲的探测,就能通过一维测

量确定拖缆的形状。另外，为了得到阵列形状还安装了一个小的磁性罗经 (Mount, 1963)，罗经装有 GPS 或者其他高精度导航系统使主拖缆尾端的定位。

多道阵列可以几乎不需要维护地拖上几周时间。但在热带地区容易受到鲨鱼攻击，在高纬度地区也常遭受冰体的破坏。在这些地区，阵列持续工作几个小时就需要进行维修。

5.7.3 深拖水听器排列

地震分辨率可以通过提高水听器排列拖曳深度得到提高，但这样却减小了第一个垂直扫描 R 的面积。图 5.16a 显示了 R 的连续源接收几何原理。可以看出，在水深 5000m 时，相对海底移动震源或者接收器不到 100m， R 的因子几乎降低了 5。将震源和接收器都靠近海底会使 R 降低得更多，尽管这很少被提到。

A. N. Bowen and R. S. White (1986) 在 Vema 断裂区记录地震剖面时，使用了一个近水平的气枪震源和一个垂直走向几千米长的水听器阵列 (图 5.16b)。阵列中一个 3.6kHz 的宽频器提供了浅层穿透反射剖面，也显示了拖缆相对于海底和水听器阵列的布置。

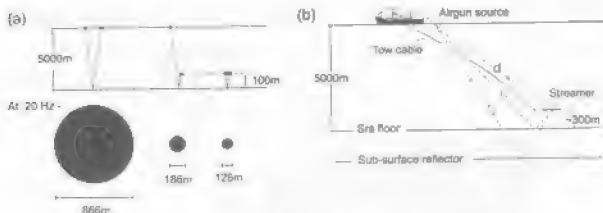


图 5.16 (a) 在 20Hz 下垂直震源和接收器，表面震源和深拖接收器以及在一个水平反射层 (b) 为连续拖曳源和接收器的第一个垂直扫描几何原理，拖曳震源和接收器是垂直一致的。水深深度为 1500m；(c) 为 Vema 断裂区记录深拖海面使用的震源、发射阵列系统；d，垂直扫描；e，海底反射；f，海底规则反射。拖 Bowen and White, 1986，经地球学会会员引用。

5.8 地震数据的记录和显示

早期的海上地震数据因示波器或者变密度记录器显示，存储在类似可重复使用的磁带上。后来的观念认为只有 50-60dB，60 年代被数字存储器取而代之，因为数字存储提供更高质量记录，而且可以迅速存取便于数据处理。数字记录系统现在包括国家记录多道拖缆的拖生的船上单元，和旧来记录海底的地震响滤波器和水听器信号的远程系统。为了节约电源，后者包括一个微型处理器在固定的时间窗内或者信号强度达到阈值时操作记录仪 (Owen and Burton, 1990)。图 5.17 给出了一个用数字形式记录多道数据的系统流程图，部分被集成到拖缆中以便通过拖曳的电缆直接获得数字信息。

间进行比较, 并提供以二进制形式表示的给定放大器电压振幅。经过数模转换器的脉冲通过全管理顺序的格式化程序, 数字性数据就被记录到磁带上。格式化程序也组织磁带头信息, 例如剖面序号和取样率。现在普遍使用 32 位模数转换器。

5. 数字磁带记录器: 格式化后的输出就存储到脉冲式磁带或者传统的 9 轨、半英寸 (13mm) 的磁带上。数据的记录有几种不同的工业标准格式, 如 1 个字节的 SEG-D (Northwood, et al., 1980)、SEG-Y 格式被广泛用来进行数据转换。

6. 数据信号分离器: 该信号分离器输出的数据为国际通用的轨迹连续格式, 例如 SEG-Y, 优先记录到磁带上。

7. 剖面显示单元: 示波器、变宽度记录器和显示器显示用来监视拖缆输出质量和显示处理过的数据。示波器单元把数据绘制成传统的轨迹线, 可能是经过半波校正和高频信号调整, 填充了正的或者负的波形部分。颜色显示是普通的。

5.9 放炮—接收配置

5.9.1 折射地震剖面

折射线通常呈单端的、翻转或者分裂 (图 5.18a)。它们是双船或者单船放炮, 使用陆地浮标、海底或者井下接收器记录到的 (图 5.18b)。使用环形模型围绕一个接收器放炮可以研究地震的各向异性。

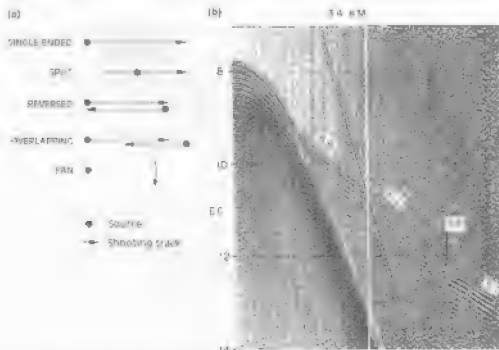
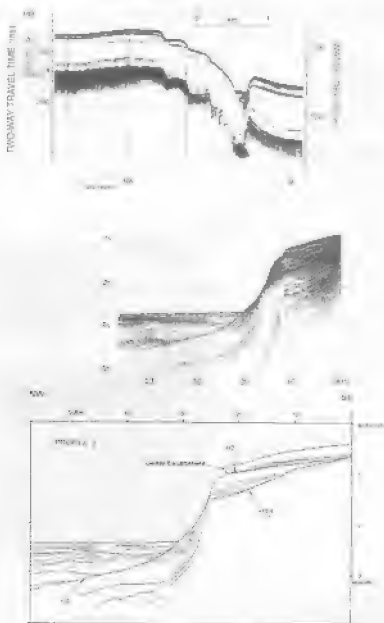


图 5.18 (a) 折射地震剖面的轨迹 (据 Starr, 1963); (b) 使用海底浮标和气泡在大约 500m 水深记录到的中频地震剖面。右轴使用 km 表示, CR 是反射面到 8.1km 附近的垂直距离 (据 Houtz, 1977), 经美国地球物理学学会允许后引用。

5.9.2 单道折射剖面

最简单的单道剖面系统使用一种传感器，当每个发射脉冲发出时传感器切换到接收模式，电子补偿器用来校正船体的垂直运动 (Crabtree, 1980)。图 5.19a 显示了用 3.5 kHz 传感器记录的海反射剖面，地声受到最近活动的船尾的影响。地震穿透可能超过 50m，间隔不足 1m 的反射体都可以确定。

用来控制海底深度的底刺传感器与接收器分开使用 (图 5.14)。图 5.19b 是在苏格兰西北大陆架用气枪得到的记录，凡沉积层覆盖在反射强烈的基底上，深度从几米到一千米以上。图 5.19c 是同一地区大陆架坡折地带，利用深拖深震板得到的局部剖面。这张充分曝光的图像涵盖 100~200m 的沉积物覆盖没有受到水柱多次反射的干扰。



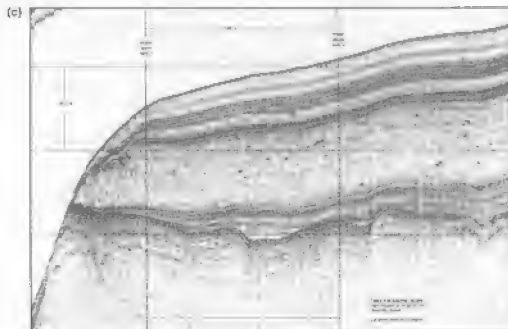


图 5.19 (c) 希腊内部 Patras 海沟, 从 SKR 反射剖面, 显示了活跃于该地垫中的活动断层(据 Chourakis, et al., 2004, 经 *Geological Sciences* 允许后引用)。(b) 苏格兰西北部大陆架使用气枪记录到的地震反射剖面。见, 本图复合图(Jones et al., 1986), 经英国皇家学会允许后引用(“*地质皇家学会学报*”, *Section B- Biological Sciences*, volume 88(1986), pp. 27-31)。(c) 苏格兰大陆架使用气枪记录的深拖布麦尔拖曳反射剖面(经英国地质调查局允许后引用)。

图 5.20 显示了穿越 Yema 断裂区的主峡谷的地震剖面, 使用了近表面空气枪和深拖单声道水听器阵列配置如图 5.18 所示。图 5.20a 是原始的拖测记录。这里海底形状的变化反应了水听器阵列深度变化导致的测源—接收器的偏移变化情况。图 5.20b 是经过处理的记录, 对水听器距海底高度改变和接收器深度改变造成的反射点侧向的偏移进行了时间校正。主要同相轴经过维纳滤波进行了强化。偏移去除了很多衍射双曲线, 给出了一个活动断层切割沉积层和基底的清晰图像。

5.9.3 多道折射剖面：二维调查

很多反射剖面是用拖拽震源阵列和一个多道拖缆记录得到的(图 5.15)。震源—接收器的几何形态是不同的。为了使地震波穿透达到几十公里, 英国 BIRPS 和法国 IFORS 研究组使用了大型(1000 台)空气枪阵列(即 1×5 km 拖缆)(Komperfer and deJong, 1991; Ascheg et al., 1993)。高频率海面侧向和斜向的水听器拖缆被用来进行不足 1km 18 域的高分辨率剖面调查。针对多道拖缆剖面新技术, 如基岩气枪和泳流中的水听器阵列, 已经设计用于两极地区(Oxner et al., 1985)。如果有某个地区的调查数据, 这些区域的深海反射解算处理的高质量的碳酸盐、蒸发岩和火山岩层暴露, 那么对这些调查数据的进一步处理可以通过来自试验拖缆—接收器系统产生的合成剖面进行一些流程的处理以达到最佳化效果。

图 5.21a 显示了三维数据处理的必要和可选步骤的流程图。图 5.22 显示了经过处理后的多道地震剖面。图 5.22a 显示了北海海底的基底岩从超过 3000m (3 s 的双程反射时间) 的深度上升；图 5.22b 显示了沉积序列被碎伏斯层切期的细致结构。

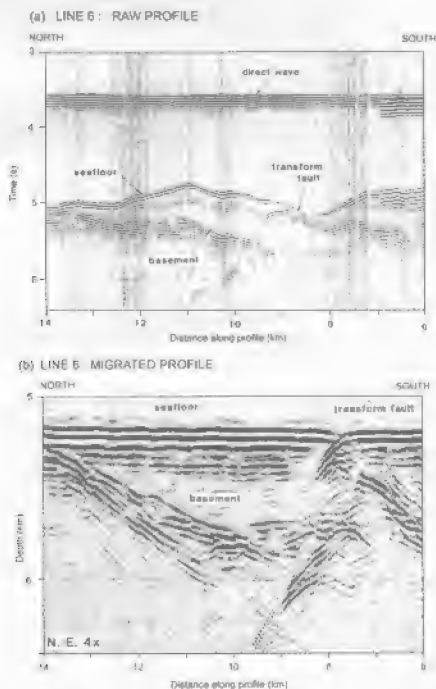


图 5.22 (a) 原始地震带 (10° 50' N, 13° 30' E) 剖面；沿该端深掩及切剖面。 (b) 剖面及带相同偏移的地震剖面 (据 Bowes and White, 1980)。经美国地质学会允许后引用。



图 5.23 拖着电缆阵列和水听器拖缆的地震船（经 Oosterschelde seismysystem 允许后引用）

该调查中使用了连续铺设的双震源阵列和超过 32 条的拖缆（图 5.23a）。每个地下接收器的 CMP 数量由船载的记录系统控制。当船只偏离航线，重新发射需要在每个接收器建立最小的 CMP 数量时，该系统就会显示。（图 5.21b）显示了处理数据的流程图。现在计算机的能力允许对二维数据进行全处理。导航和拖缆声学监控需要花费大量计算时间，在整个调查成本中也占据了显著的部分。在一些石油勘探，如墨西哥湾和西北欧洲地区，二维调查被反复进行来确定反射率和反射体深度，作为一种监测流体在储油库中运动的方法（侧扫或者时移地震；Waters *et al.*, 1998; Johnston *et al.*, 1997）。在一些地区，使用四分量海底地震电缆来进行这些操作（参见 5.6.2 节）。

图 5.23a 显示了一维调查采集反射数据的例子。交互式计算机工作站和可视化软件的快速发展允许整个 20×20 km 的一维调查数据以各种方式旋转和结构切片进行查看。构造解释可以通过在同一个工作站上建立三维地质模型来得到验证。

5.9.5 广角扩展剖面

叠加和偏移处理需要精确的速度，精确的速度又取决于动校时间的质量。由于水听器拖缆深度只有 6km，大洋和深部（5 km）大陆架剖面的速度很少能得到。它们或者通过假定或者通过大范围折射调查得到。使用双船或者多船扩展接收范围改进了速度确定的问题。接收范围可以通过使用两艘船以固定速度，相反方向移动，保持固定中心点的办法得以扩大（图 5.23b）。该技术比单站浮标方法有很多优点。由于射线路径窄空间局部化，地形和倾斜对速度确定的影响很小，侧向速度改变的影响也被最小化。此外通常近垂直入射时很弱的反射同相轴可以通过在大入射角处跨于临界值处记录以便其得到加强，因为此处反射系数可能大大增强（第四章）。以大角度入射时，可能观察到模式转换形成的折射能量和到达，这也有助于限制结构模型的数量。

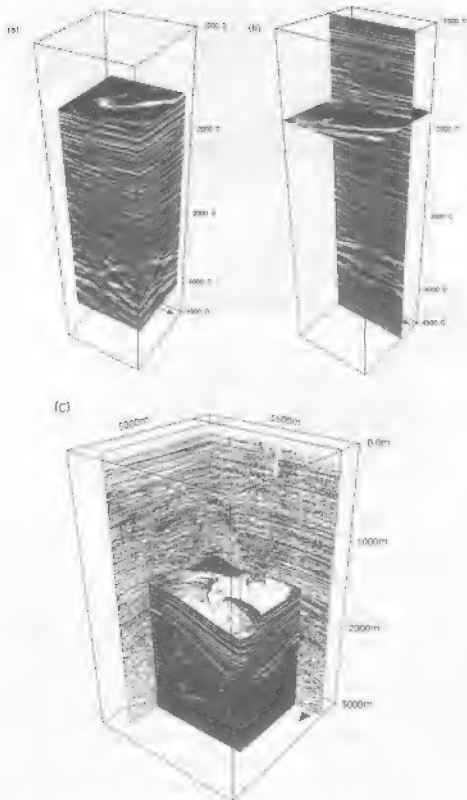


图 3.15 三维数据的实例: (a) $1250m \times 1450m \times 2400m$ 数据体, 显示了埋于深度在 1600m 和 2400m 之间的薄油层沉积层状况和结构; (b) 来自数据体的垂直和水平部分; (c) $5250m \times 5000m \times 5000m$ 数据体, 显示了 3D 地震地中的复杂断层模式 (引自 Schlumberger: Casaleque, 1998 年引用)。

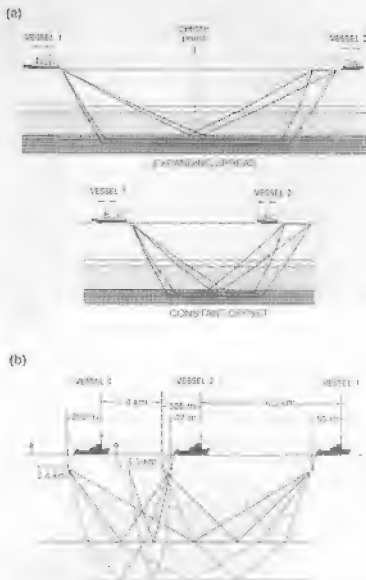


图 26 (a) 使用双船发射扩展剖面和平偏移距地震剖面的发射—接收系统 (据 S. J. G. and Hall, 1989; Jones *et al.*, 1985)。(b) 使用三船记录扩展剖面和平偏移距剖面的发射—接收组合 (据 Kasin *et al.*, 1986)。经美国地球物理学会允许后使用。

在深海和大陆边缘, 使用化学炸药或者气枪震源和多道水听器阵列得到的扩展剖面记录。如果船只以 9 km h^{-1} (2.5 m s^{-1}) 速度从中心点移动, 震源每分钟点火一次, 使用 24 道水听器阵列, 每个探测单元的中心间隔 100 m , 那么地表覆盖是 87.5% 。如果炮幅间隔减少为 1 分钟, 那么覆盖率只有 50% 。十几公里范围之外, 来自近程水听器的发展等距通村无线电系统接到接收船。可靠记录阵列可使接收器输出和震源同步。在更大范围, 无线电传输变得不可靠时, 使用可靠钟和来自陆站站的外都定时信号来进行记录的同步。距离超过 50 km 时, 使用雷达发射机, 可靠复精度 5 m 或者更好, 靠器跟踪从船跟踪器, 从而通过改变速度和航向来保持正确的发射状态。更远的距离则使用 GPS/DGPS 和连续波系统。

图 5.27a 扩展剖面是在英国西北部大陆架记录到的。它显示了沉积物盖层的反射, 且观察距离超过 7km。在更远的距离, 可以观察到速度为 6.1 和 6.6 km/s 的强基底反射, 同时有以 S 波形式穿过基底的到达波。从 27km 深处返回的反射波观察距离超过 50km。

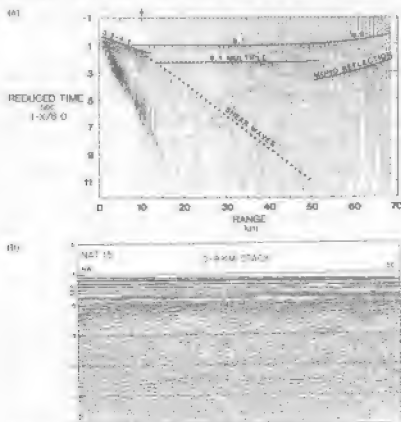


图 5.27 (a) 在苏格兰北部大陆架使用化学炸药作为地震震源获得的扩展剖面。速度单位为 km/s (据 Jones et al., 1981)。借助地球物理学学会允许后引用。(b) 西北太平洋 5000m 水深, 震源—接收偏移距 0~9km 记录到的双频数据的共中心点叠加。记录到的强反射在 10.3% 和 16.5% 之间。不连续反射率 9.6% 和 15.0%。图也可以看到 (据 NGL Study Group, 1985)。经美国地球物理学学会允许后引用。

5.9.6 广角定偏移距剖面

通过将震源和接收器分别拖在两艘固定距离移动的船上, 能够得到更宽的接收半径 (图 5.27b)。大接收半径的主要优势在于提高了速度信息的质量。与传统的排列相比, 可以更严格地区分主同相轴和多次反射同相轴。图 5.27b 显示了用这种技术得到的剖面记录。采用变距去噪方法去除临界折射波后, 偏移超过 9km 的数据被叠加得到接近 10.5s 的强反射, 并与来自高速火成岩基底的返回波相关。这种方法已经扩展到一船采集系统 (图 5.28a)。然而, 借助于大型震源阵列和多道长拖缆的使用以及地震处理计算能力的极大增强, 单船以较低成本就能够记录到很多深部的地震目标。

第六章 海洋重力场

6.1 引言

对地球重力加速度 g 的观测提供了研究远海地区的重要方法,因为它受到深海及其边缘的形成和变化作用所引起的海底以下物质分布变化的影响。重力引起的加速度从两极地区的大约 9.86m/s^2 变化到赤道地区的 9.78m/s^2 。任意点的 g 值由地球的几何形状和密度结构、纬度、高度和由潮汐引起的随时间变化的地球的形状决定。为了在全球范围内比较重力的测量,我们所有的测量都参考重力势处处相等并且可以粗略地定义为平均海平面的大地水准面。那么,由海面下质量差异所引起的重力场部分就被分离出来并被用于确定密度分布状态。由于剩余场仅仅组成总加速度的一个小部分, g 一般用毫伽 ($1\text{ mGal}=10^{-5}\text{ m/s}^2$) 或者重力单位 (10^{-8} m/s^2) 来表示。在本章中我们采用前者。

6.2 早期海上重力测量

直到 20 世纪早期,对海洋及其边缘的重力场的了解还来源于几个孤立的岛上的摆的测量。第一个远航式重力测量的仪器是 C. W. Siemens (1876) 作为传统的线锤式水深测量方法的潜在替代物来设计的。Siemens 相信,由于岩石被较小密度的水所代替,深底就可以通过重力吸引的减小来计算。但是,他没有意识到重力受到地球要达到地壳均衡状态的趋势的影响,水深的差异已被海底下的质量分布的变化所补偿。更重要的是,他不知道重力随纬度的确切变化,所以他无法考虑由地球扁率引起的重要的重力变化。他的“水深测量计”读数 and 锤线式测量的水深值并不能相近到证明这是进一步的仪器发展方向。随后的著名实验是 H. Becker (1903) 所做的。他通过水银(密度 ρ) 气柱的高度 h 和由水在沸点得到的大气压力 P_a 来确定重力; g 就通过 $P_a = g \rho h$ 来计算得到。Becker 不仅在大西洋、太平洋和印度洋,也在地中海和黑海做了测量。虽然 g 的误差相当于后来船载重力仪所测的 30 倍,但是他指出在几乎处在壳均衡状态下的地球上的重力值是一致的。

在二十世纪 20 年代到 30 年代期间,荷兰地球物理学家 F. A. Vening Meinesz 用他所改进的实用荷兰不稳定地面观测的摆式仪器 (Vening Meinesz, 1911, 1918) 在潜艇上做了一系列开创性的重力测量工作。在这种条件下,一个摆的周期不仅仅取决于它的长度和 g 的值,而且还取决于支架的移动。对一个悬挂在刚性支架上长度为 l 的无重细绳 l 的质点 m 组成的一个假想摆来说,

$$l\ddot{\theta} = -g \sin \theta \quad (6.1)$$

这里 θ 是摆的角位移,如果 θ 很小,则

$$\theta + (g/l)\theta = 0 \quad (6.2)$$

当支架受到水平加速度 \ddot{y} 的影响时, 运动方程变为

$$\ddot{\theta} + (g/l)\theta + (1/l)\ddot{y} = 0 \quad (6.3)$$

如果悬挂在每一个支架上的两个摆具有相同的长度并且在任意时间有角位移 θ_1 和 θ_2 , 给出运动方程的差

$$(\ddot{\theta}_1 - \ddot{\theta}_2) + (g/l)(\theta_1 - \theta_2) = 0 \quad (6.4)$$

那么, 摆幅的差和假想摆的摆幅有着同样的变化方式, 并且不受一阶水平加速度的影响。支架的垂直加速度 \ddot{z} 不能从 \ddot{z} 中分解出来, 其平均值 $\bar{\ddot{z}}$ 为

$$\bar{\ddot{z}} = \frac{1}{t}(\dot{z}_e - \dot{z}_i) \quad (6.5)$$

\dot{z}_i 和 \dot{z}_e 是观测周期的开始和结束时支架的垂直速度, t 长到能确保平均值 $\bar{\ddot{z}}$ 可以被忽略。

图 6.1 是一个 Vanier-Morison 使用的二摆仪的示意图。系统放在带支架内以减小水平加速度。测量开始时, 中间的摆保持静止并将另外两个设置为反相位摆动。外面摆的运动使居中的摆以角度 θ_c 摆动。将摆结合成对, 就有了两个摆角为 $\theta_1 - \theta_c$ 和 $\theta_2 - \theta_c$ 的假想摆。一个假摆在垂直于另外两个摆组成的平面内摆动, 它为摆角提供了一个参考并且能指示三个摆所组成的平面偏离的垂直位置。

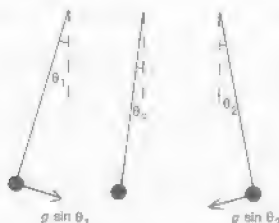


图 6.1 三个摆仪用来进行垂直测量的二摆仪。通过对摆角 $(\theta_1 - \theta_c)$ 和 $(\theta_2 - \theta_c)$ 取平均而消除作用在摆支撑点上的一阶水平加速度。

摆的摆角和全计时信号一起用摄影的方法记录。大约 30 分钟的记录期间确保了潜艇运动引起的二阶加速度的影响为零。但是, 这里需要考虑到二次效应, 因为摆不仅响应由重力引起的垂直加速度, 而且响应仪器的垂直加速度、重力的和与水平加速度的作用。如果寻找加速度的周期比摆的自然周期要长, 那么我们观测到的就不是 g , 而是更大的加速度总和的平均值。如果 \ddot{y} 是加速度的两个水平分量, g 和测出测加速度 \ddot{z}_0 的差就是:

$$g - g_r = -[(\bar{x})^2 + (\bar{y})^2] - \frac{1}{2}(\bar{z})^2 / 2g \quad (6.6)$$

这就是所谓的 Browne 改正 (Browne, 1973)。它很重要, 因为浪和涌运动的周期要比测的长。改正作用可以达到 10 μgal 。实际工作中, 通过用两个周期约 30s 的长周期连续器控艇垂面来确定 Browne 改正。

从 1923 年到二十世纪 30 年代中期, Vening Meenes, J. Lamet Worzel, B.C. Boman 等人在潜水深度约 30m 的潜艇上开展了超过 4000 次的观测。这些分散的重力值来自众多的地质背景类型, 从大陆架到深海海沟 (Worzel, 1985)。早期的重点测量也使用观测者受到海底的潜水待内的常规重力仪和用电泵放下的手压力盒内的常规陆地重力仪。水下仪器记录与海面重力值已知的站点的重力差。这种方法在墨西哥湾、中东和西北欧的浅水区用过, 但是它缓慢又只能在海面平静的情况下才可以使用。用深海潜水器进行深水测量始于二十世纪 50 年代 (Morell, 1985; Drake and Delauze, 1968)。

6.3 连续记录的重力仪

随着能测量与国际标准相连接绝对 g 值精确已知的码头之间的重力差的连续记录重力仪的发展, 我们关于海洋地球重力场的知识得到了快速的生长。第一次连续的船舱测量是 1957 年在 USS Compass Island 船上进行的 (Worzel, 1985)。走向式仪器测量的是敏感元件上承受的力, 该敏感元件通常是由弹簧固定的物体。这个力是物体质量与其所受加速度的向量和的乘积。重力仪可以分为三类:

1. 弹簧式重力仪: 它们由一个摆或者别的由弹簧支承的物体组成。在一些传感器内, 运动的物体被限制在垂直方向运动, 从而从根本上不受水平和垂直加速度其相互作用交叉耦合效应的影响。弹簧式重力仪可以是静态 (稳定) 型或是非静态 (不稳定) 型。前者是高度敏感的平衡结构, 当 g 发生变化时悬挂物体的弹簧偏离其平衡位置。后者的设计将传感器的变化产生位移时, 附加的力开始起作用以增加位移。
2. 张弦式重力仪: 敏感元件是一个调整到自然振动的悬挂的张弦或者纤维, 张动频率与 g 相联系。重力仪从张弦振动的频率中导出。
3. 反磁仪仪器: 悬挂在两个永久磁铁中间的物体的位移由加速度变化引起, 被一个磁物体一直保持在零点的反馈系统所抵消。重力从反磁电路的电流变化中看到。

6.4 弹簧式重力仪

6.4.1 Graf-Askania 重力仪

最早生产和记录的重力仪是静态的, 传感器由两个摆状扭力弹簧固定在近似水平面离地 300mm 高度处形成 (图 6.2a)。使用精密弹簧细旋转变且用细丝张紧防止其水平运动。一根细丝由的弹簧丝线有摩擦支撑点, 它的位置可以用外部的校正螺旋来改变。

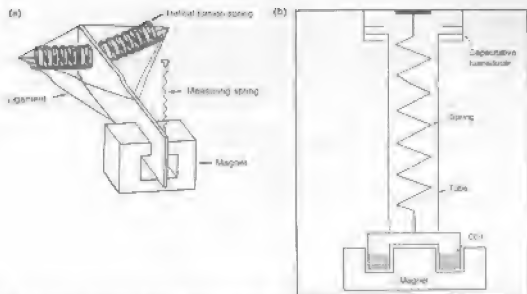


图 6.2 (a) Gauss 重力仪的传感元件。摆系强的永久磁场中运动。用多根纤维弹簧来防止摆的水平运动。这种弹簧-摆的结构是后来一些微重力仪设计的基础。(b) Bodensowenwerk 的 Kosmos 31 (Askaniya bas 31) 重力仪的轴对称弹簧-重物传感器。铜线圈经励磁线圈上弹簧的套筒在垂直方向上运动。用其近端的电容传感器来测量位移，并且同处在套筒磁线圈液体永久磁铁内两片运动线圈组成的反馈回路来减小位移，(Graf, 1958; Bodensowen, 1978, 经 Elsevier Science 允许后引用)。

从摆的位置中可得到与基准点之间的重力差。由于仪器可能在高达约 $100000 \text{ } \mu\text{gals}$ 的周期性垂直加速度中工作，所以阻尼非常重要。这通过把摆放到强永久性磁场中来完成。由安装在摆后端的槽内的两个光电管的差分输出确定摆的位置。仪器安装在陀螺稳定平台上面，因此使加速度计输出信号确定仪器整体和传感器之间的运动受力和作用或交叉耦合效应。仪器安装在船的中心线上以尽可能靠近横摇轴和纵摇轴的最大可能平面。

Bodensowenwerk Kosmos 31 重力仪的轴对称弹簧重物结构示意图见图 6.2b。将重 30g 的管子 Pyrex 玻璃管在管内安装。该管和线圈在摆系中，它的两端通过线圈上主要由于平衡垂直加速度中制作引起的交叉耦合效应的影响。并摆周期约 0.25s 的管子能位移。用安装在悬吊部的电容传感器来测量。由处在管子底端的强永久性磁铁的场内运动线圈的两端组成的反馈回路使位移减小到最小。重力变化由移动的线圈产生的电流得到。

6.4.2 LaCoste & Romberg 仪器

LaCoste & Romberg 仪器是广泛用于海洋重力测量的非静态仪器 (LaCoste, 1967)。传感元件是一个细长拉力弹簧。理论上在不负重时回到零点，达到一个有重量的摆上 (图 6.3a)。弹簧盘绕的使其伸长的总量与弹簧的两端固定点之间的距离一样。则是用空气阻尼器 (图 6.3b) 或者充液装置 (仪器 SL 1) 来得到。液体阻尼的仪器没有空气阻尼仪器固有的交叉耦合效应 (B. 7.2.2.3.4 节) 影响 (B. 7.2.2.3.4 节)。

对一个摆的位移 u

$$m\ddot{u} + R\dot{u} + ku = 0 \quad (6.7)$$

这里 $m\ddot{u}$ 是作用在摆末端物体 m 上的加速力, R 是阻尼系数, k 是等效的弹簧常数 (Worzel 和 Harrison, 1963; Diehlinger, 1978)。利用阻尼使 $R\dot{u}$ 设计的比其他项大很多。如果我们考虑到作用在仪器壳上的力 $m(g+z)$ 和当物体归零时弹簧施加在其质心的垂直力 ky , 这里 y 是臂数, 那么

$$m\ddot{u} + R\dot{u} + ku = m(g+z) - Ay \quad (6.8)$$

或者

$$\ddot{u} + 2h\omega\dot{u} + \omega^2 u = g + z - ay \quad (6.9)$$

这里 h 是阻尼系数, ω 是摆的角振荡频率并且 $a = A/m$ 。仪器设计使得阻尼力很大而且回复力很小。为了得到 g , 对方程 (6.9) 在 t_1 到 t_2 的时间间隔上进行积分。

$$\int_{t_1}^{t_2} (\ddot{u} + 2h\omega\dot{u} + \omega^2 u) dt = \int_{t_1}^{t_2} (g + z) dt - ay \int_{t_1}^{t_2} dt \quad (6.10)$$

如果积分周期够长, 所有的垂直加速度 z 的总和为零。方程 (6.10) 变为

$$\int_{t_1}^{t_2} g dt = \int_{t_1}^{t_2} (\ddot{u} + 2h\omega\dot{u} + \omega^2 u) dt - ay \int_{t_1}^{t_2} dt \quad (6.11)$$

因此, 在时间间隔 t_1 到 t_2 上的平均重力值 \bar{g} 是

$$\bar{g} = \frac{d}{dt} \int_{t_1}^{t_2} (\ddot{u} + 2h\omega\dot{u} + \omega^2 u) dt - ay \quad (6.12)$$

积分值通过一个机电系统测量的 u 计算得到。原始重力值用带纸带式记录仪来监控并且保存为数字格式。一般情况下, 四分钟的积分间隔足以使垂直加速度消除掉。在恶劣天气下, 周期可以延长到 12 分钟之长, 但同时会降低分辨率。

仪器在船上安装到由陀螺仪控制的力矩马达来保持稳定的平台上。那么, 传感器就不受水平加速度的作用。但是平台的水平漂移会导致需要改正的误差 (5.7.2 节)。一种改进后的重力仪箱内靠近海底拖曳的 LaCoste & Romberg 仪器最近用于加利福尼亚 1000m 深处的重力场高分辨率研究 (Zumberge *et al.*, 1997)。仪器还被装在飞机上, 潜艇上和直接放在海底上。深海单点测量的技术表示在图 6.4 中。仪器安放直用一根软管与声呐仪器组相连的放在压力盒内的天平架上。声呐组包括压力计、一个 CTD 仪器、一个向下扫描的声呐和一个用来定位在海底应答器网内的重力仪的声学发射和接收机。声呐组又用同轴电缆连接到船上的控制系统、声呐显示器和数据记录器。这种弹性连接在进行测量时可使船与重力仪中脱耦。一旦仪器到了海底, 调平和调零的操作就由船上控制。通过 CTD 输出的海水柱密度, 从压力计读数中获得仪器水深。在一次测量结束后, 重力仪提高到离最浅的海底地形大约 150m 的高处并以接近 1.0m/s 的速度转移到下一处。

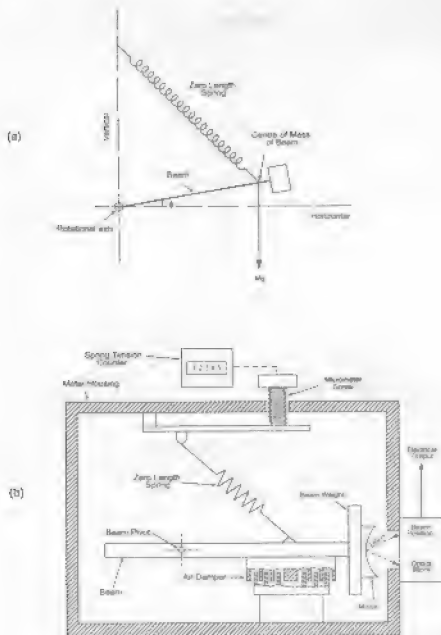


图 6.2 (a) LaCoste & Romberg 梁式重力仪的原理示意图 (LaCoste, 1967)。修改得到美国地球物理联合会图章 (LaCoste & Romberg 梁式重力仪的悬挂系统 (经 LaCoste & Romberg 有限公司允许后引用))。

6.5 振弦式重力仪

重力的变化由振动的单摆弦线的共振频率变化来确定，弦线承受垂力为 mg 的张力（图 6.5a），对于一个两端固定的柔物弦线来说，基本模型的频率 f 为：

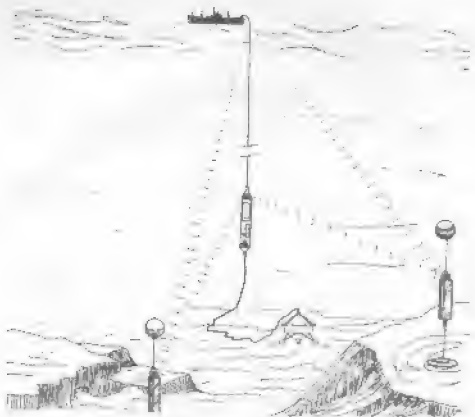


图 6.1 上 Ekusile & Rombert 在太空中进行的重力测量。一个由弹簧和包含重力仪的力计在柔性线型相联，用声学传感器测定位置。测得的重力数据通过力计传输到海面 (Hildebrand 等, 1960)。经美国地球物理学会允许后印刷

$$f = \frac{1}{2f} \left(\frac{T_1}{m_1} \right)^{\frac{1}{2}} \left\{ 1 + \frac{2k_1}{l} \left(\frac{\mu A_1 \cdot T_1}{T_1} \right)^{\frac{1}{2}} \right\} \quad (6.13)$$

f 为弦线的长度

T_1 为弦线的张力

m_1 为物体 / 单元的长度

k_1 为金属丝正中面的截面的扭转半径

μ 为刚性模量

A_1 为线的截面积

如果 T 是由应变引起的弦线应力张力，那么 $T = \sigma \cdot A$ 。因此，重力的变化可以从 f 的变化中得出。以一个、两个或者三个张动弦为基础的仪器曾被俄罗斯、美国和日本用来测量海上的重力。

第一个张弦式仪器包含的核心元件是一个扁平的软铜线状物，它大约 50mm 长，悬挂在永久磁铁的场内，底端有一个 65g 的物体 (Gillies, 1949)。交流电的通过使线状物以大约为 1000Hz

的共振频率振动, 线状物高机械 Q (大约 20000) 确保振动是稳定的。铍铜合金的使用将方程 (6.13) 中的刚性项的影响减小到 1%, 所以可以认为它是一个常数偏差, 因此在做相对重力测量时可以忽略掉, 那么:

$$f = \frac{1}{2l} \left(\frac{mg}{m_1} \right)^{\frac{1}{2}} \quad (6.14)$$

一根弦组成了 Tokyo 船载重力仪的核心元件 (Sagawa 和 Hwang, 1973)。铍铜弦长 25mm 并在大约 2000Hz 的共振频率。设备装在陀螺稳定平台上。弦的频率以 20s 为间隔记录。

因为弦的频率与重力不是线性关系, 恶劣情况下的平台垂直加速度引起大的非线性改正误差。这可以通过使用两个反向作用的弦来避免 (Wing, 1969; 图 6.5b)。忽略方程 (6.13) 中的刚性项, 基本振动模式的频率 f 可表示如下:

$$f = \frac{1}{2l} \left\{ \frac{T_0}{m_1} \left(1 + \frac{mg}{T_0} \right) \right\}^{\frac{1}{2}} \quad (6.15)$$

$$f = \frac{1}{2l} \left(\frac{T_0}{m_1} \right)^{\frac{1}{2}} \left[1 + \frac{1}{2} \left(\frac{mg}{T_0} \right) - \frac{1}{8} \left(\frac{mg}{T_0} \right)^2 + \frac{1}{2} \left(\frac{mg}{T_0} \right)^3 \right] \quad (6.16)$$

也可以写做

$$f = k_0 + k_1 g + k_2 g^2 + k_3 g^3 + \dots \quad (6.17)$$

这里 k_i 是仪器常数。在图 6.5a 中, 上面的物体增加上弦线的张力, 同时下面物体减小上弦线的张力。因此, 上下两根弦线的频率 f_1 和 f_2 可以表达为

$$f_1 = k_{01} + k_{11}g + k_{21}g^2 + k_{31}g^3 + \dots \quad (6.18a)$$

$$f_2 = k_{02} - k_{12}g + k_{22}g^2 - k_{32}g^3 + \dots \quad (6.18b)$$

两弦线的输出 Δf 是频率差 $f_1 - f_2$, 因此

$$\Delta f = (k_{02} - k_{01}) + (k_{11} + k_{12})g + (k_{22} - k_{21})g^2 + \dots \quad (6.19)$$

通过两根弦线频率的外差来求得。偶数项是非线性的。并且两弦线的理想几何形状收敛于零。频率差因此可以用来确定 g , 因为

$$\Delta f = (k_{11} - k_{12})g \quad (6.20)$$

弦线是大约 30mm 长的高 Q 值铍铜线, 安装在陀螺稳定平台上。弦线将物体精确地约束到传感器的轴上, 可以消除水平加速度。在中等海况下, 重力测量精度可以优于 1 $\mu\text{m/s}^2$ 。但是这种仪器有可能发生不规则漂移。

6.6 用于重力测量的力反馈加速度计

美国宇航公司生产的 BMS-3 重力仪的传感器内包含了一个反作用于受加速度影响的物体位移的反馈系统。它比原先介绍的摆型与弦线型重力仪有了明显的改进, 因为它不受平台的水平和垂直加速度的交叉耦合效应的影响。加速度计检测物体 (见图 2.1 节) 在两个永久磁铁 (图

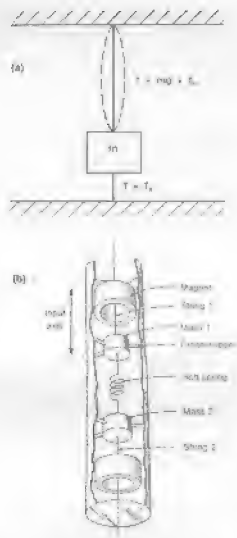


图 6.5 (a) 弹簧式重力仪原理; (b) 双质量式重力仪的传感器。作用在物体 1 上的力为增强的使得在无限磁场内振动的磁上的张力增加, 同时在下部磁场内振动的磁上的张力由于物体 2 上的作用力而减小。科维理防止其横向移动 (Wing, 1969)。(经美国地球物理学会允许) 引用。

6.6 的垂直运动。仪器测量围绕在此物体之上的线圈内的电流。平衡时, 作用在重物 2 的重力已被线圈内向上的磁感应磁力所补偿。总加速度 (重力加速引起的加速度) 的变化会改变线圈的重量。产生的线圈位移被一个在线圈内产生电流使其恢复到零位的匀磁回路所感应。线圈内的电流正比于垂直加速度变化, 此变化是重力与作用在磁上的垂直加速度的总和。磁向弹簧前传感器限制在其敏感轴方向运动。

加速度计是在一个不到 10mm 高和 50mm 直径的圆柱体内。加速度计和相关的电子线路分别放在各自的恒温箱内, 并且封闭在第三个恒温箱内以保证恒温和控制物体周围的磁场稳定。传感器产生一个与垂直加速度成比例的输出电流, 加速度在 0~200000 m/s^2 的范围内变化。在实际工作中, 输出以某个参考标准来和以保证覆盖海上常规到的垂直加速度值。在成正比于重

力的脉冲频率的形式数字化以前, 电流经过一个时间常数为 1.5s 的 R-C 滤波器以消除高频部分, 脉冲频率从 0 到 50kHz 的变化代表了总垂直加速度从 880000 到 1080000 g 的变化。平台垂直加速度用一个加权平均滤波器去除 (Bell and Watts 1986)。

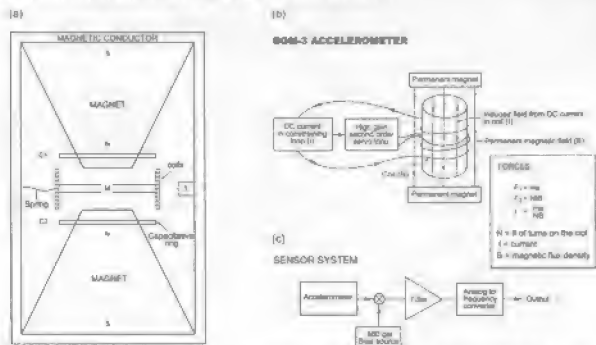


图 6.6 贝尔平衡重力仪: (a) 物体 M 在两个永久磁铁之间运动。电容环通过缠绕在 M 上的线圈来感应其位移。一个反馈回路保持 M 处在平衡位置 (据 Bellinger, 1978; Bell 和 Watts, 1986, 经 Elsevier Science 允许后引用); (b) 和 (c): 经勘探地球物理学会允许后引用。

6.7 重力异常的计算

6.7.1 简介

重力仪测量海上任意点和绝对重力值已知的港口基点之间的 g 的差值 (仪器的漂移从测量开始和结束时的基点测量中得到)。由于受到不同的潮汐状态下水的引力, 可能要对港口重力值做一些小的潮汐改正。对大多数的现代重力仪来说, 每星期的漂移仅有零点几个 $\mu\text{m/s}^2$, 并且一般以依靠港口之间的线性插值来计算。为了将重力归算到大地水准面上, 并计算出海底下质量变化引起的重力场扰动或异常, 附加的改正也是必需的。

6.7.2 对观测平台运动的改正

重力仪受到平台运动引起的加速度的影响, 必须通过适当的仪器设计来计算或消除。

6.7.2.1 Eötvös 改正

平台的运动使仪器受到向心加速度的影响, 向东运动时重力读数减小, 向西运动时重力读

数增加。在普通船速（小于15节或28km/h）下，由向心加速度引起的 *E_{cor}* 改正 *E_c* 由以下近似表达式计算：

$$E_c = 7.503S \sin H \cos \phi + 0.004154S^2 \quad (6.21a)$$

其中，*S* 是以节（1节=0.5m/s）为单位的船速，*H* 是航向， ϕ 是纬度。

如果船速以每小时公里为单位，则方程变为

$$E_c = 4.040S \sin H \cos \phi + 0.001211S^2 \quad (6.21b)$$

改正值加到观测值中。对于10节（=18.5km/h）的船速，第1项值共不到0.5mGal，且常常忽略掉。对于固定翼飞机的速度（—150节或者—280km/h），需要更精确的向心力项的表达式（Barlan, 1968）：

$$E_c = 2\Omega^2 \rho \cos \phi + \frac{S_N^2}{\alpha} \left[1 - \frac{h}{\alpha} + c(2 + 3\sin^2 \phi) \right] + \frac{S_E^2}{\alpha} \left(1 - \frac{h}{\alpha} - 2\sin^2 \phi \right) \quad (6.22)$$

在此， Ω 为地球的角速度

S_E 为平台的東西向速度分量

S_N 为平台的南北向速度分量

h 为飞行器对大地水准面的高度

c 为参考椭球面的扁率

α 为地球的半长轴轴线

在地面速度超过200节（371km/h）时，*E_{cor}* 改正超过4500mGal。

图6.1显示了不同航速、航向和纬度下的 *E_{cor}* 改正值。通过对方程（6.21a）微分得到由导航定位误差所引起的 *E_{cor}* 改正误差。因此，

$$\begin{aligned} d(E_c) = & 7.503(\cos \phi \sin H dS + S \cos \phi \\ & \cos H dH - S \sin \phi \sin H d\phi) + 0.008S dS \end{aligned} \quad (6.23)$$

把典型的测量速度代入方程中就会看到重力测量中精确导航的重要性。*E_{cor}* 改正对东西方向的速度误差和沿着航向的航向方位角误差特别敏感。如果船以东西方向10节（18.5km/h）的速度运动，0.2节（0.37km/h）的速度改变，在纬度50°时会使 *E_{cor}* 改正变化1μGal。如果南北向航向改变1°，则 *E_{cor}* 改正值会发生同样的变化。对同一纬度的200节速度的飞机测量，2节地面速度的误差会产生高达13μGal的 *E_{cor}* 改正误差，当航向有1°误差时改正误差达到17μGal。

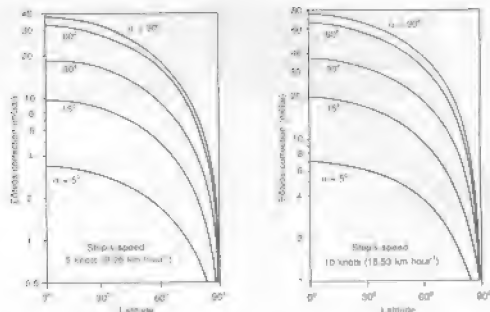


图 6.7 船速为 5 节 (9.26 km/h) 或 10 节 (18.5 km/h) 时, 航向为 5°, 15°, 30°, 45° 和 90° 时的 Eotvos 改正随纬度的变化 (据 Behlenger, 1978, 经 Elsevier Science 的允许)

6.7.2.2 平台水平和垂直加速度的改正

走航式重力仪装在常平架上, 仪器响应于仪器轴时轴方向上的总加速度, 或者装在陀螺仪控制的船用气法平衡的平台上, 使得仪器轴在真的垂直方向。若将安装在常平架上的重力仪一直用到二十世纪 70 年代晚期, 通过两个垂直安装的水平加速度计的输出来修正对水平加速度的 Brown 改正。安装在陀螺稳定平台上的仪器至少在理论上不受船舶短周期波浪、长周期波浪和洋流的响应所引起的水平加速度的影响。但是与船的正弦纵摇和海流相关的较大水平加速度仍然存在。而且, 在恶劣天气下平台可能偏离水平, 从而导致仪器受水平运动的影响 (Talwani, 1970)。倾斜程度取决于水平运动的周期对平台周期的比值。在比值小于 1 的情况下, 可以忽略不计。倾斜加速度的改正可以由平台水平加速度的输出来确定。倾斜改正 α_c 如下:

$$\alpha_c = - \left[(\Delta \ddot{y})^2 + \frac{1}{8} (\Delta \dot{y})^2 \right]^{1/2} \quad (6.24)$$

$\Delta \ddot{y}$ 是由平台加速度计所确定的平均倾斜角, 其中第一项是水平加速度的作用, 第二项是静态误差。

由风浪和涌浪所引起的垂直加速度也应该去除。在此类情况下, 它们可以使瞬时重力值变化达到 105 μGal 。由 1.88 的重力仪测定的重力值经过了 3.5 分钟的时间长度的平均, 这要比船舶运动周期要长。如果重力仪是线性的, 而且重力值在积分时间段内不变化, 可以使用简单的时间平均。但是, 如果存在非线性变化及漂移导致仪器不在其零点附近波动。因此, 需要重力值和仪器加速度的关系进行实验校准。一个积分周期内的重力变化效应可以作为积分段的初始平台垂直速度之差导出改正因子予以考虑。

平台上的摆型仪器所得到的重力读数是在船舶重力数据的主要来源。它受到船水平和垂直加速度的交叉耦合的影响。当仪器水平运动时，如图 6.8 中的位置 I 或 III，摆位移的速度提供了实际重力读数。当仪器向上运动时，摆位移的速度大于在位置 I 和 III 时的情形，所以重力读数要大于实际重力值。当仪器向下运动时，重力值偏小。一个周期的平均重力读数不是通常的实际重力值。

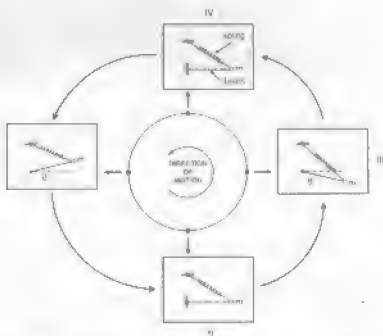


图 6.8 作用在海洋重力仪摆上的垂直和水平加速度交叉耦合效应（据 Dehlinger, 1978，得到 Elsevier Science 的允许）

如果仪器的摆与水平方向成 θ 角（图 6.8），由作用在物体 m 上的重力和垂直于水平加速度而引起的力偶 C 可以表达如下：

$$C = ml \left[(g + z) \cos \theta + \dot{x} \sin \theta \right] \quad (6.25)$$

这里 l 是摆的长度。若 θ 很小，则平均力偶 \bar{C} 为

$$\bar{C} = ml(g + \bar{x}\theta) \quad (6.26)$$

交叉耦合误差则为：

$$e_{cc} \sim \bar{x}\theta \quad (6.27)$$

摆的振动可以表达为：

$$\theta = \theta_0 + \theta_1 \sin(\omega_p t + \alpha_p) \quad (6.28)$$

在此， $\theta = 0$ ， α_p 是相位角， ω_p 是摆动摆运动的垂直加速度的角频率。在一个周期内，作用在物体 m 上的水平加速度为：

$$\dot{x} = \dot{x}_0 \sin(\omega_s t + \beta_p) \quad (6.29)$$

由此, ω_s 是水平加速度的角速度, β_p 是相位角。将 (6.28) 和 (6.29) 式中的 θ 和 \dot{x} 代入 (6.27) 式中, 并在运动场域上积分, 则交叉耦合误差 ϵ_{α} 为 (Baldridge, 1978):

$$\epsilon_{\alpha} = 0.5 x_0 \beta_1 \cos(\alpha_p - \beta_p) \quad (6.30)$$

在 $\omega_s = \omega_n$ 下该式有效, 此时 $\epsilon = 0$ 。当摆受到相同频率的水平加速度和垂直加速度的激励时产生交叉耦合误差, 且当摆物运动和水平加速度的相位差 $\alpha_p - \beta_p$ 为 0 或者 π 时达到最大值。该误差可以忽略不计。实际测量中, 可以用平台上的加速度计所得的 \dot{x} 来做实时交叉耦合改正。

6.7.3 高程改正

因为仪器一般都在离海面几米的范围内, 所以将测载重与值改正到大水准面只是一个很小的修正。对观测点和大地水准面之间的高程差 h 所进行的改正称为高程改正 (EW), 值为 $h \cdot \gamma / 9.80665 \text{ ms}^{-2}$ 。如果仪器位于海平面则观测到的重力读数加上此值, 即为改正后的值。对大多数情况来说, 该值可以忽略不计。如果仪器位于海平面, 则量点和海面之间测水的吸引力也要经过改正。假设这部分为一个厚度 h 的无限薄水板, 则改正为 $2\pi \rho_w h$, ρ_w 为水的密度 ($\rho_w = 10^{-3} \text{ g/cm}^3 = 10^{-3} \text{ kg/m}^3$)。对密度 ρ 等于 1.03 g/cm^3 的海水来说, 0.03 ms^{-2} 的改正值要加到观测值之中。

有时用一种不受海流地形影响的方式来表达重力梯度, 这通常将测水替代为与海流地形具有同样厚度的物质层来处理。这种简单的处理通常叫做“薄层厚度等于测水深度的无限板来替代海水”。这种前提下, 岩石测点的附加测深外力是 $2\pi \rho_w h$ 倍, 作为海水和测点质量的替代。如果知道洋流的测深地形, 例如测深曲线测深, 则可以给一定的重力改正。对于观测点使用的地形数据分为许多块, 然后将每块的重力积分 (例如见 (3.2.3) 节)。基于 Parker (1966) 提出一种基于快速傅里叶变换的技术, 他认为测深引力由两部分组成: 一个等于测深点周围水体质量的测深引力及非测深质量的引力。在快速改正通常用平垫地球模型, 而在地理的解则应用于非均匀地球的特征研究 (Takin 和 Talwani, 1966)。

6.7.4 潮汐改正

由于地球、太阳和月球之间距离的周期变化, 地球上任意一点的重力数值也随时间变化, 且对月球的重力影响为主。因素包括的潮汐中, 水柱的流动要小于 1m, 这时在计算平均的平面上的重力时则不予考虑, 因为潮汐修正 $\sim (0.3 \text{ ms}^{-2})$, 要小于测量误差 (通常大于 1 ms^{-2})。然而在潮汐高度达到几米的浅水区, 改正值变得重要了 (Ridd, 1961)。

重力同时也受到地球固体变形的影响, 它最大可以使地球半径变化达到 0.56 m , 而导致 0.3 ms^{-2} 的重力变化。形变可以用 E. C. Longman (1959) 的厚法计算得到。固体潮在分析地球

重力测量时已经予以考虑了 (Smith and Gornitz, 1990)。由于测量误差一般大于 1 mGal , 在进行海面测量时一般予以忽略。潮汐运动所引起的水体变化而导致的固体地球的变形所带来的重力变化一般小于 0.02 mGal , 因而也可以忽略。

6.7.5 空间异常和布格异常的计算

为了分离由于海底地形及地壳构造引起的重力吸引部分, 我们对大地水准面上的重力值中减去一密度的旋转地球的理论重力值。理论重力值根据 A. Clairaut 的公式得出, 他假设地球是一旋转扁球体, 非常接近实际水准面而数学计算上便利的形体 (Denzinger, 1978)。基于扁率 $1/297.0$ 的 1980 年国际重力公式给出纬度为 ϕ 的重力加速度 g_{int} 为:

$$g_{\text{int}} = 978049(1 + 0.0052884 \sin^2 \phi - 0.0000059 \sin^2 2\phi) \text{ mGal} \quad (6.31)$$

在扁率精化后采用了修正的表达式, 即基于扁率为 $1/298.247$ 的 1967 大地水准面参考系统公式 (Woodward, 1973)。纬度 ϕ 处的重力 g 为:

$$g_{\phi} = 978031.846(1 + 0.005278895 \sin^2 \phi + 0.000023462 \sin^2 2\phi) \text{ mGal} \quad (6.32)$$

图 6.9 表示了据此公式的重力值随纬度的变化。 g_{ϕ} 与 g_{int} 的差为:

$$g_{\phi} - g_{\text{int}} = -17.2 + 13.6 \sin^2 \phi \text{ mGal} \quad (6.33)$$

空间异常 Δg_{FAA} 为:

$$\Delta g_{\text{FAA}} = (g_{\text{obs}} + \text{FAC}) - g_{\phi} \text{ mGal} \quad (6.34)$$

g_{obs} 为观测点的重力值。

船轨迹交叉点处的空间异常之差 (交点误差) 可以评估海上重力测量的精度。在卫星定位使用之前, 定位不准确是误差的主要来源, 这使得在交叉点处出现高达几十毫伽的差值 (Wessel 和 Watts, 1998)。将重测航线分割为直线段, 为每段确定一个最佳改正常数使所有交点差最小化, 可以降低交点差均方根 (Prince 和 Forsyth, 1984)。这种技术不能改变单条测线上的相对重力异常值。

用于海面观测值的简单布格异常 Δg_B 为:

$$\Delta g_B = g_{\text{obs}} + (\text{FAC} + \text{BC}) - g_{\phi} \quad (6.35)$$

空间异常反映了海底地形和海底以下物质的密度变化。它们不依赖于海底密度的假设, 所以常被用作许多海底构造解释的依据。在局部重力场的许多研究中, 由大地水准面和扁球参考面之间的偏差造成的重力变化通常被忽略。对所谓间接效应的改正空间重力场中似乎表现为常数。当研究深部质量变化且波长超过 500 km 时, 就要进行这种改正。例如, 西太平洋的海沟附近, 在 3000 m 的测高上, 参考扁球面上的大地水准面高度变化达到 60 m 或者更多, 需要达 16 mGal 的改正。这可使局部空间异常被掩盖 80% (Oguzen and Bodino, 1979)。

通常在海洋水研究时计算布格重力异常, 因为这样可以直接和陆布格异常相比较。但是,

我们应该注意地形密度的横向变化, 它产生的场的变化可能难以和深部密度变化所产生的场区分。而且, 佩黎克用于一维泰勒改正的近似不适用于地形变化大的区域。

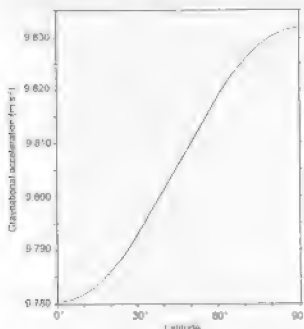


图 6.7 假定地球是由等密度层组成, 并近似成具有扁率为 $1/298.257$ 的旋转椭球体, g 随纬度的变化 (据 Heiskanen, 1968; 经 Jacek Sotomaj 允许后引用)。

6.7.6 均衡异常

可对海洋区域外部对下的面积海面引起的横向密度的变化进行校正。均衡改正用于分离由地壳密度变化而引起的重力场变化部分。均衡改正使用自地表到地壳下沿地幔重心处, 在较少的地表下居慢传递密度。理想情况, 深度, 即补偿面, 是角动量守恒处相等。均衡改正与大地水准面如何补偿的假设来计算。使用两种主要模型以局部补偿为基础, 认为补偿质量直接存在于对应地形特征正下方。

6.7.6.1 Airy-Heiskanen 补偿

在 1830, (1863) 认为地球可以看作是一个漂浮在流体上的固体壳。表面荷载, 如山脉, 通过较厚的流体在深部得到补偿, 在凹部地区通过减薄得到补偿。基于均衡调整是完全的即补偿是呈区域性的假设, W. M. F. Airy (1868) 编制了一系列的补偿表。在较地区的地质密度都取 2.67 g/cm^3 , 下部流体的密度取 0.37 g/cm^3 。图 6.10a 是一个简单的补偿结构 (Airy-Heiskanen)

均衡异常 Δg_{A-H} 为:

$$\Delta g_{A-H} = (g_{\text{obs}} + \text{FAC} + \text{BC} + I_{A-H}) - g_p \quad (6.36)$$

I_{A-H} 是对补偿块体的引力校正。

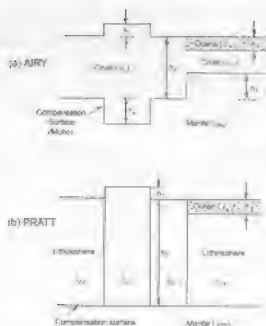


图 6.10 象雅 (a) Airy (1855) 和 Hayford (1909) (b) Pratt (1855) 所提供的均衡模型

6.7.6.2 Pratt-Hayford 补偿

L.H. Pratt (1855) 认为均衡补偿可以由地壳密度的横向变化达到。在一个固定的补偿水平上, 通常假设为 13.7km 的深度, 压力处处相等, 因为高地形区域的地壳密度要低于低地形区域。如图 6.10b 所示, L.H. Hayford (1909) 用一种易于计算的公式表达了这种思想。平衡时,

$$\rho_c h_0 = \rho_c (h_0 + h_1) = \rho_c (h_0 - h_2) + \rho_m h_2 \quad (6.37)$$

在此, ρ 为岩石密度 ($\rho_c, \rho_m, \rho_c, \rho_m$)

h 为地形高程 (h_1, h_2)

h_0 为补偿深度

个区域被分为几块并且计算它们的高程 h_i , 而得到如下均衡异常:

$$\Delta g_{P, n} = (g_{obs} + FAC + BC + I_{P, n}) - g_s \quad (6.38)$$

$I_{P, n}$ 是补偿块体引力的改正。海洋均衡异常的精确地壳使用 Gills-Hayford 方式, 因为它与地壳岩石组成的密度变化更一致 (A. Verwey, Meade, 1981) 和其他人对这一模型进行了改进。考虑了地壳的有限强度, 认为它的特性表现为漂浮在流体上的弹性板。像的而错这种地壳模型的重要特征是完全板壳内部强大的力的范围内部流动通过, 因此补偿是区域的而不是局部的。这种均衡改正类似于地球弹性壳层的假设。

6.7.7 重力异常的成因

重力异常通常用以表示海面图和密度的等值线图。目前重力场可视化技术得益于计算机数字图像处理技术的发展, 均衡面图和高度的形式表现异常 (L. 等, 1990)。随着兴起大地

对异常幅度的注意，帮助以一种形象表现的形式给人们展示重力场和重力异常。异常图用给定方向的日照后的阴影形象来表现与场源深度相关的场梯度变化情况。颜色方式使得低幅度异常的细微变化都可通过对比拉伸方式来完善；可简单辨认的颜色变化可用于表示特定范围异常值的细微差别。

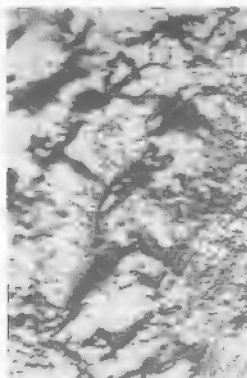


图 6-11 显示的是北美洲陆上的重力异常图(图 1: Mares-Bainbridge 的 Green 岛; E. E. Crampton 的 100, 1000 英尺; ME 的 Marsh 岛; 图 2: 新大陆山岭的 100 英尺; 由美国地质局重力异常研究委员会, 印刷得到 BGS 主任的同意)。

这种地图旨在充分发挥我们识别陆上高度和结构变化的能力, 它提高了我们对线性特征、构造走向和区域模型的理解。因为数据通常数字化和等值线图作假掩盖了不同程度的误差, 这些特点在高度插值或图上可值不周量。为给假信息可假化而开发的计算和解释的应用使重力场地形可以快速显示。整合, 并且与地形、重力异常、地质或地质等其他数据信息叠置显示。

图 6-11 是南北美洲陆外的重力场异常图。显示了相应于北东向断层的线性异常和早期新生代地壳走成在中心的一异常。本图例与布希为异常值从 0 到 100 的图例列条中, 这样就可得到不同强度和颜色的图形。图例显示通过处理重力网络来构建, 它好像一半被放在地区北部, 一半的无源数据被洗掉表面。彩色异常图可以通过简单的高度值的转换得到。

6.8 海上航空重力测量

6.8.1 概述

越来越多的海上重力测量采用航空测量, 所以有必要简单地分析一下重力场随观测点高度的变化。给定一个面了的重力场, 如果两个面之间没有物质存在, 我们就可以确定其上的任意

面上的重力场（向上延拓），因为在真空中重力场符合拉普拉斯方程。相应于 x 方向上无限延拓的线性体。地球外部无旋转地球的重力场 U 符合拉普拉斯方程：

$$\frac{\partial^2 U}{\partial x^2} + \frac{\partial^2 U}{\partial z^2} = 0 \quad (6.39)$$

通过分离变量得到 U ：

$$U_g(x, z) = (A \sin kx + B \cos kx) e^{-kz} \quad (6.40)$$

A 和 B 是常量， k 是波数 ($2\pi/\lambda$)， z 是海平面上的观测点高度。在海面 ($z=0$) 观测时，重力位为：

$$U_g(x, 0) = A \sin kx + B \cos kx \quad (6.41)$$

在高度为 h 处

$$U_g(x, -h) = [A \sin kx + B \cos kx] e^{-kh} \quad (6.42)$$

或者

$$U_g(x, -h) = U_g(x, 0) e^{-kh} \quad (6.43)$$

因此重力位随因子 e^{-kh} 递减。因为 $g = -(\partial U_g / \partial z)$ ，在波数为 k 时 g 分量为：

$$g(x, -h) = g(x, 0) e^{-kh} \quad (6.44)$$

在海平面以上高度 h 处，所需重力波数为 k 的重力场强度随因子 e^{-kh} 递减。因此，其振幅分量随测量高度的增加而衰减。对方程 (6.44) 所有 k 值进行积分可得到高度为 h 处的总场。图 6.12 是一个向上延拓的例子。

延拓的重力场变化可以用相似的方式来研究。向下延拓即对观测点下的重力场推导，取决于重力值和其导数。这种处理要观测精度的严重限制，因为观测值的噪音会在向下延拓中增加 (Grant 和 West, 1965)。

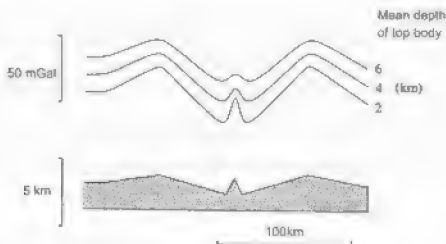


图 6.12 在深度为 2km、4km 和 6km 的二维地质体重力异常 (Rosen, 1987)。

6.8.2 航空测量

航空重力测量会比陆测受到更大的干扰加速度的影响。当平台的运动速度为 350~400 km/s 时, $Korras$ 改正达到 2500 $\mu\text{m/s}^2$ 。但是, 加速度计、GPS/DGPS 和现代测高仪的应用, 使得我们有可能获得足够精度的飞机地理位置、速度、航向、高度和垂直加速度, 使测量的空间异常仅有几 $\mu\text{m/s}^2$ 的误差。与陆测一样, 飞机的垂直加速度并不成周期性变化, 且测机与瞬时轨道的地质性质非一致。振幅为 400 $\mu\text{m/s}^2$ 和周期为 0.1~100s 的滤波后的垂直加速度需要用高度计确定, 并且需要从测量所得的加速度中去掉。

基于 LaCoste & Romberg 重力仪的航空系统已在美国开发出来 (Sweeney, 1981; 361) 等, 1991)。每个点的地理坐标由 GPS 来确定, 高分辨率的高度、激光和压力高度计用于确定飞机高度。图 6.13 对比了在纽约的纽约长海峡用航空和陆测进行测量的重力值。现在基于改进型海洋重力仪的航空仪器测量精度可以达到 2.5 $\text{mGal} \cdot \text{cm/s}^2$, 波长分辨率一般为 6.13km, 随飞行高度变化。

6.9 卫星测量

海洋重力场可以通过人造卫星来获得。当这些人造卫星仅仅当作参考点时, 它们被认为是被动的, 如果它们装载仪器来测量参数, 如飞行器海面以上的高度, 就认为是主动的。

6.9.1 被动卫星: 地球重力场中轨道摄动

如果地球是均一的球体, 卫星将在不随时间变化的椭圆轨道上运行。因为地球既不是球体又不是均匀密度体, 卫星受到一个使其轨道摄动的摄力。它的轨道平面和地球赤道平面相交的点随时间变化, 这种现象称为节点退行。这提供了确定大尺度海面形状和重力异常的方法 (Khan, 1983)。

若地球是均一的球体, 无旋转重力位 U_0 为:

$$U_0 = -\frac{GM_E}{r} \quad (6.45)$$

在此, M_E 是地球的质量, r 是径向距离, G 是万有引力常数。当地球为非均匀的球体时, 需要加上扰动位 U_p

$$U_0 = -\frac{GM_E}{r} + U_p \quad (6.46)$$

因为 r 相对于 r 项相当小, 所以卫星轨道仍然可以认为是椭圆形的。

地球表面以上的点 P 的一次导数用拉普拉斯方程表示为:

$$\nabla^2 U_p = 0 \quad (6.47)$$

在球坐标中为:

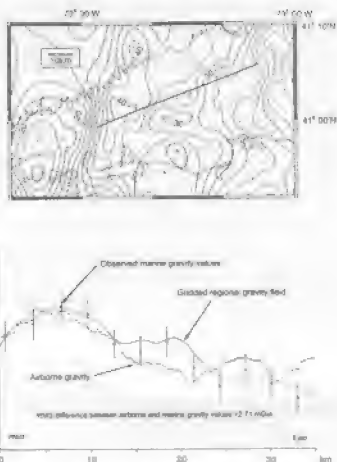


图 6.13 穿越美国东北部的长岛海峡的航空重力测量。上图是根据在图中所示点测量的陆地和海洋重力而绘制的中间重力等值线图上的飞机轨迹。下图所绘为航空测量所得重力值（点）、海面所测重力值（点）和以 1 km 为网格间距的重力场（虚线）。船舶值的误差条由交点给出 (Beck et al., 1991)。经地球物理学会允许后引用。

$$\begin{aligned} \nabla^2 U_s &= \frac{1}{r^2} \frac{\partial}{\partial r} \left(r^2 \frac{\partial U_s}{\partial r} \right) + \frac{1}{r^2 \sin \theta} \\ &\frac{\partial}{\partial \theta} \left(\sin \theta \frac{\partial U_s}{\partial \theta} \right) + \frac{1}{r^2 \sin^2 \theta} \frac{\partial^2 U_s}{\partial \lambda^2} = 0 \end{aligned} \quad (6.48)$$

在此， r 是观测点到地球质心的距离。

θ 是地心余纬度 ($\pi/2 - \phi$)， λ 是经度， U_s 可表示成 $1/r$ 的幂级数和 θ 与 λ 的球谐函数。如果关于 λ 旋转对称，那么 U_s 不随经度变化，系数简化成常函数或勒让德多项式表示。重力位可以表示为：

$$U_s = -\frac{GM_s}{r} \left[1 - \sum_{i=1}^{\infty} \left(\frac{a_i}{r} \right)^i J_i P_i \sin \phi \right] \quad (6.49)$$

在此， a_i 是赤道半径， $P_1 \dots P_n$ 是勒让德多项式， $J_1 \dots J_n$ 是与地球内部物质分布有关的无量纲系数。关于赤道平面的球谐函数取决于卫星轨道的倾角 i 。高阶系数 J 可以由不同倾角星

星的节点退引速来确定。由于偏离轴对称面引起的卫星轨道的摄动是短周期变化的, 所以不能很好地确定。但可以将其重力位表示成通用的球谐展开式来研究它。

$$U_r = \frac{GM_E}{r} \left[1 - \sum_{n=1}^{\infty} \left(\frac{a_r}{r} \right)^n \sum_{m=0}^n P_n^m \sin \phi (C_n^m \cos m\lambda + S_n^m \sin m\lambda) \right] \quad (6.50)$$

在此, $P_n^m \sin \phi$ 与缔合勒让德函数具有正则化后的正交性 (Koon, 1983)。n 阶 m 次的正则系数 C_n^m 和 S_n^m 可由卫星轨道中导出。大地水准面和参考椭球面之间的距离, 即大地水准面高 N , 由 Brun 的公式表为:

$$N = \frac{U_r}{\gamma} \quad (6.51)$$

在此, γ 是椭球面上的正常重力值, 因此:

$$N = \frac{GM}{\alpha_r \gamma} \sum_{n=1}^{\infty} \sum_{m=0}^n \left(\frac{a_r}{r} \right)^n (\delta C_n^m \cos m\lambda + \delta S_n^m \sin m\lambda) P_n^m \sin \phi \quad (6.52)$$

在此, δC_n^m 为所测 C_n^m 减去参考 C_n^m , δS_n^m 为所测 S_n^m 减去参考 S_n^m

因此重力异常 Δg 为:

$$\Delta g = \frac{GM}{a_r^2} \sum_{n=1}^{\infty} \sum_{m=0}^n \left(\frac{a_r}{r} \right)^{n-2} (n-1) (\delta C_n^m \cos m\lambda + \delta S_n^m \sin m\lambda) P_n^m \sin \theta \quad (6.53)$$

图 6.14 描绘了海上和陆上的大地水准面长波长的波动。大地水准面高也可通过卫星运动的重力推算和地表重力测量的组合来计算。

6.9.2 主动卫星: 雷达高度计

70 年代, 在 SKYLAB 的太空飞行器上进行了一个新颖的实验, 用面向地球的微波 (13.9GHz) 脉冲测量其离海面的高度。用其反射时间测量高度的精度在 1m 左右, 绝对精度为几米 (Criswell 和 McInnes, 1974), 这后来对准备中雷达高度计的发展产生了显著的影响, 这些雷达高度计包括 GEOS-3、SEASAT、GEOSAT、ERS-1 和 TOPEX/POSEIDON (表 6.1)。

已知卫星轨道厘米级精度的高度测量相对于轨道摄动分析和天文大地测量, 能更精细地提供海洋大地水准面形状。

图 6.15 阐明了雷达高度计的原理, 它表明了卫星相对于海面、大地水准面和参考椭球面的关系。如果卫星相对于参考椭球面的高度已知, 那么大地水准面相对于参考椭球面的高度 N 就为:

$$N = h - \Delta h_s = H_1 - H_2 - \Delta h_s \quad (6.54)$$

在此, h 为海面在参考椭球面上的高度, Δh_s 为海面和大地水准面的距离, H_1 为雷达高度计对参考椭球面上的高度, H_2 为卫星对海面的高度。

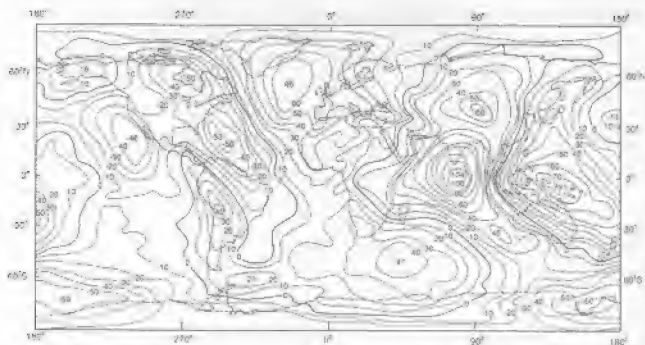


图 6-11 参考 1980 年大地水准面参考系统修改的 GEM10B 重力场模型 (据 Langel 等, 1981) 的大地水准面图。等值线间隔 20m。复印得到 Ruan, M. S 的允许。来自 ICR Handbook of Geophysical Exploration for Seismic (L. S. Garver), 版权归 ICR Process, Boca Raton, Florida。

表 6-1 轨道参数和卫星雷达高度计的特性 (据 Kramm, 1995)

卫星	发射信息	轨道高度 (km)	周期 (分钟)	倾角 (度)	使用寿命 (近似)	传输频率 (MHz)	轨道
GEO-3	4.75	843	111.8	11.5	3.5 年	13.9	极轨
SEASAT	6.78	800	100.8	108	106 天	13.5	极轨
GEOSAT	5.85	802	100.8	108	GM: 18 月 IRM: 3.25 年	13.6	日同步极轨
ERS-1	7.91	782.5	98	98.5	N: 3 年 RM: 1 年	13.8	日同步极轨
TOPEX/ POSEIDON	8.92	133.4	120	66	3-5 年	13.6	偶周轨 日同步
ERS-2	1.95	780	100	98.5	(3 年最少)	13.8	日同步极轨

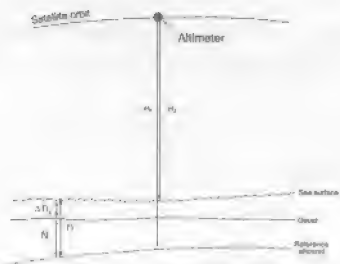


图 6.15 卫星高度计的原理示意图

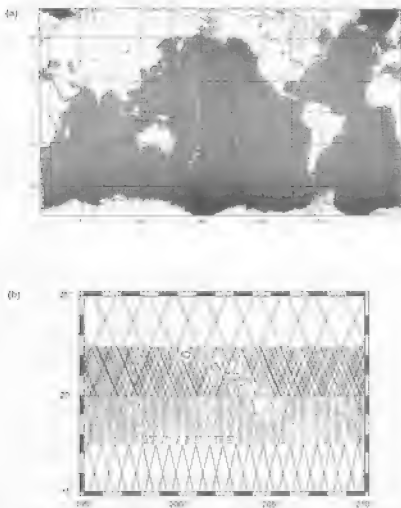


图 6.16 (a) Jason-2 的地面高程 (摘自 NASA); (b) 夏威夷到法国 TOPEX 和 POSEIDON 的地面高程。每种轨道高度图都在 10°N 至 10°S 的纬度范围内。从上到下: JASON-2 (严格重复轨道); TOPEX/POSEIDON (大振幅)

量任务: ERS-1 (大地测量阶段) 和 ERS-1/2S 重复轨道 (据 Sandwell 和 Smith, 1987)

Δh 是所谓的海面地形, 它是包括潮流、洋流、风压和水的密度变化等海洋水文气象因素引起的。 Δh 通常有着比大地水准面变化小半个以上数量级的幅值。它可以通过对凡取平均而极大地缩小。

大地水准面高度的最大误差源于卫星相对于参考椭球面位置的不确定性。轨道计算需要一地球重力场模型和地面跟踪站的精确定位。跟踪系统的噪音、大气阻力和太阳辐射压力的变化、卫星和地面站之间的无线电传播路径的偏差都需要考虑在内。大气模型可借传播路径误差降到分辨率级。干大气、对流层水分和电离层电荷密度的典型改正值分别为 2-5cm, 10-50cm 和 1-5cm。仅从的噪音和误差、导致反射点距离海面最近点的天线偏移和海面面积度变化在计算时也必须考虑在内。

ERSAT 在高度测量精度优于 10cm, 每个高度值都代表卫星地面轨道运动的 5cm 的 1 秒钟测量的平均值。ERSAT 的精度精度正原约 10cm。由雷射和大地联合开发的 100Hz/100S 卫星精度达到 5cm, 但可能要有 10cm。卫星运行严格重复或大地测量轨道, 前者是为重复通过选择些大地测量轨道 (SD-Track), 后者提供了稠密的地面覆盖。精确重复轨道提供了较高的精度近岸航线和较低的低纬轨道分辨率。大地测量轨道提供了更密和几乎均一的覆盖。图 6.16 为 ERSAT 和 ERS-1 轨道。在最近的重复轨道量中, 有可能得到 26km 波长的分辨率, 精度达到 1mGal (Neumann *et al.*, 1993)。

大地水准面高度的不确定性可通过减小轨道交叠并推重复轨道的差分来降低。一种方法是确定上轨道和下轨道的大地水准面高度, 得出沿特定卫星轨道的相对于交叠差的最佳拟合直线。相交差就可借以消除最佳拟合直线来调整, 这样每个轨道的偏差和趋势可以在连续的位置中有储和积累起来。一般不需要超过三次迭代就可以使误差均方根差和最大误差稳定 (Pascucci 和 Pascucci, 1986)。每个轨道测量的偏差和趋势应用与最初的高度计算结果就可产生一个卫星高度剖面。

图 6.17 是由高度计数据和卫星轨道运动给制出的大地水准面剖面。在长波长的地方具有很好的一致性。以波小于 200km 时, 高度计同样揭示了短波长的成分。这些特征反映了海底及以下的密度起伏, 因为海底密度起伏、地形是对大地水准面有重要贡献的主要因素, 两者之间的关系取决于地形波长。在短波长时, 水深效应被高度计噪音和大的海洋所模糊, 并长波被掩, 它们对大地水准面的影响被海面调查所掩盖。

卫星高度计数据已用来勾画海洋大地水准面非常详细的图片, 可以表现只有几公里波长的自然地理特征 (Smith, 1988)。因此需把高度计用来调查那些测程程度低的区域, 如南太平洋, 那里依赖于稀疏的测深测深的水深数据起到极大的改进作用 (Lambert 和 Coleman, 1982; Haxby, 1987; Smith 和 Smith, 1991)。图 6.18s 显示了用除南极洲的大地水准面的形状, 这是由 ERSAT 轨道向垂直线偏差绘制出来的。可通过由方程 (6.52) 和 (6.53) 反演的大地水准面导出重力异常。在小区域中 Δg 可通过加权的最小二乘法来获得。因此总的重力异常可以通过将 Δg 加到参考重力场模型的重力异常上得到。第二种方法利用大地水准面高的求解来建立比未

知参数多得多的系列观测方程。一旦确定 α_{obs}^m 和 $\delta \alpha_{\text{obs}}^m$, 重力异常就可从方程 (6.53) 中获得。图 6.18 显示了从卫星高度计得到重力场的一个实例。

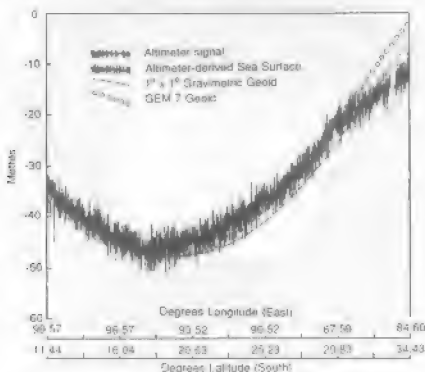


图 6.17 卫星轨道高度计 (Cross) 测定的高度计穿越印度洋获得的地表距海面的高度的对比。取自海勒 (Heller, M.A. (1993) 的著作, 来自 1990. *Advances in Satellite Exploration of Sea* (Ed. T. A. Geyer), 版权归 CRC Press, Boca Raton, Florida.

6.10 重力异常的分析

6.10.1 概述

从质量密度定律可以看出, 由地球内部物质产生的某表面外任何一点的重力位与表面薄壳层密度为 ρ 的虚拟层产生的重力位是相同的。

$$\rho_s = -\frac{1}{4\pi G} \frac{\partial U_{(s)}}{\partial n} \quad (6.55)$$

这里 $\partial U_{(s)} / \partial n$ 是质量引力在地表外法线方向上的分量 (Cassin 和 Weert, 1968)。因为包含物质表面引力是垂直的, 因此内部质量重力位能被无限多的质量分布来满足。尽管海底下的密度分布不能唯一地确定, 但是当获得其他地球物理资料, 尤其是地震、钻井信息时, 可以在密度模型上加上一些严格的限制。

最后结果, 雅利和与范成刚并 (雅利第一号) 获得的样品可以得到海底以下 10 公里内的

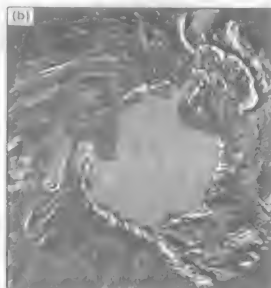
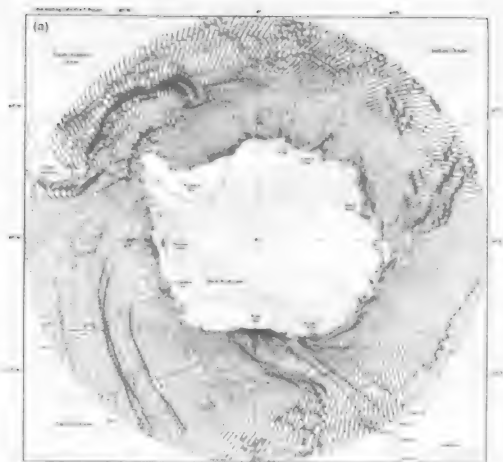


图 6.18 (a) 全球范围内的磁感线分布，快速修正模型对于南美洲的沿磁感线分布，表示成磁感线的网络（10000 磁感线，单位为 1）。（据 Sandwell 和 M. Kley, 1988）。（经美国地球物理联合会允许引用）。（b）利用卫星高度计得到的南美洲周围磁感线分布图，表示成磁感线的网络。（经 D. Sandwell 的允许）。

表 6.2 主要沉积物和岩石的密度表(密度, 据 [Jermolovich, 1984; Gelfand 等, 1986])

岩 性	密度 (mg/m^3)
粘土	1.6-2.6
沙	1.7-2.3
深海碳酸盐软泥	1.6-1.9
砂岩	1.6-2.8
页岩	1.8-3.2
石灰石	1.9-2.9
花岗岩	2.5-2.8
辉长岩	2.7-3.5
流纹岩	2.4-2.7
玄武岩	2.7-3.3
橄榄岩	2.8-3.4
片岩	2.4-2.9
片麻岩	2.6-3.0
闪岩	2.9-3.0
蛇纹岩	2.4-3.1

注: 由于结构破裂或孔隙可使密度降低上述范围以下。

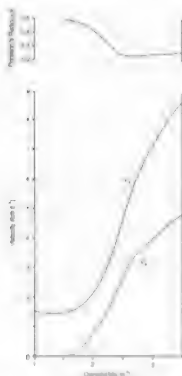


图 10 孔隙度在沉积物中的分布 (1 和 2) 与深度成正比, 孔隙度和土体孔隙度之间为 Sillars-Brooke 函数所描述, 曲线取自 Loefer (1970) 所发表数据, 孔隙度上部表示为 V_p 和土体曲线所得的孔隙比变化。

式的线积分计算出来。图 6.20 表示了一种由 Larran 等人 (1959) 描述的广泛应用方法基础计算均匀密度的三维体的重力。

质量体是一个 x, y 平面上的多边形，并在 z 方向无限延伸。在观点 $P(0, 0, z)$ 处的重力的垂直分量为：

$$\Delta g = 2G\rho \oint z d\theta \quad (6.56)$$

在此， $\oint z d\theta$ 是 Hansen (1968) 给出的线积分：

$$\oint z d\theta = \int_A^B z d\theta + \int_B^C z d\theta + \int_C^D z d\theta + \dots \int_N^A z d\theta$$

在 BC 边上的点 Q

$$PS = \alpha_i, \quad z = (x - \alpha_i) \tan \gamma_i \quad \text{因此}$$

$$z = \frac{\alpha_i \tan \gamma_i \tan \theta}{\tan \gamma_i - \tan \theta}$$

并且

$$\int z d\theta = \alpha_i \sin \gamma_i \cos \gamma_i \left\{ (\theta - \theta_{i-1}) + \tan \gamma_i \ln \left[\frac{\cos \theta_i (\tan \theta_i - \tan \gamma_i)}{\cos \theta_{i-1} (\tan \theta_{i-1} - \tan \gamma_i)} \right] \right\} \quad (6.57)$$

通过替换

$$\alpha_i = x_{i+1} - z_{i+1} \left(\frac{x_{i+1} - x_i}{z_{i+1} - z_i} \right)$$

Q 点的深度为：

$$z = \frac{x_{i+1}(z_{i+1} - z_i) - z_{i+1}(x_{i+1} - x_i)}{(z_{i+1} - z_i) \cos \theta - (x_{i+1} - x_i)} \quad (6.58)$$

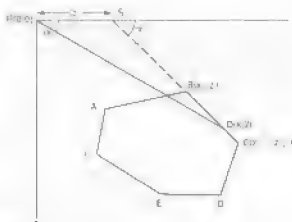


图 6.20 多边形 ABCDE 的引力计算 (取自 Vanover & Braken, 1970)。版权所有 1970 John Wiley & Sons 出版公司所有。

整个多边形周围的万有引力为:

$$\Delta g = 2G\rho \sum_{i=1}^n \left\{ \frac{(x_{i,n+1} - x_i)(z_{i,n+1} - z_i)}{[(x_{i,n+1} - x_i)^2 + (z_{i,n+1} - z_i)^2]^{3/2}} \right. \\ \left. - (x_{i,n+1} - x_i) \theta_i - (\theta_{i,n+1} - \theta_i) \ln \left(\frac{r_{i,n+1}}{r_i} \right) \right\} \quad (6.59)$$

$$r_i = (x_i^2 + z_i^2)^{1/2}$$

这样 Δg 的表达式就容易地转换为计算机代码了。如果存在密度的横向变化, 地质体就分为很多多边形, 可以计算每一个的引力并进行累加。图 6.21 显示了用这种方法做的一个重力模拟的例子。模型 A 是模拟西非大陆边缘的一项剖面, 由已知点的地震折射数据所推得的密度是计算所约束。模型 B 则异常显示了在外陆架下潜变最低密度边界的和引入陆架海水成得大岩的效果, 并对它修正使计算场和观测场匹配。虽然是非唯一的, 但是这种结构就能提供被地震和其他方法验证的有价值的可用模型。

当对垂直构造走向的几十公里尺度的线性重力异常进行分析时, 地球的面率可以忽略。但是对大的构造, 例如向—底系, 就需要将其引入到场的计算中。图 6.22 表示了东地中海各海沟 700km 的长断面的曲率影响。如果忽略曲率, 在接近剖面的外部, 异常值要错出 3.4 masls。

重力场的计算可以用近似末端改正考虑构造走向的有限程度研究方法来进行修正。但是, 更严格的方法是下一节所述的三维模型。

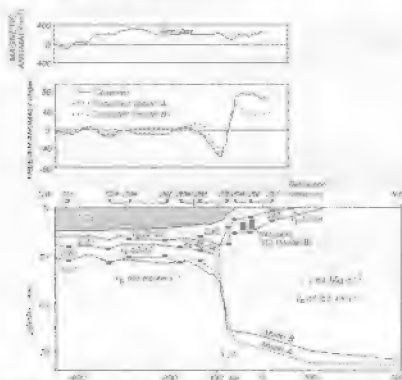


图 6.21 从地表剖面和一维重力异常修正模拟中所测的东非大陆边缘结构。有两个图形, 模型 B 使计算和观测间重力异常更匹配。层率均以 mg cm^{-3} 为单位, 并随波速以 km s^{-1} 为单位。在其顶部显示了用来限制层厚度的地震折射点的位置 (据 Jones 和 Moberg, 1982)

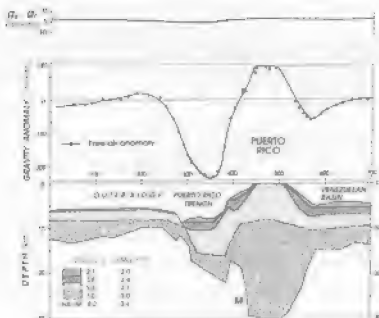


图 6.22 地球曲率对波多黎各海沟空间异常计算的影响。显示了球形地球 (g_s) 和平板地球 (g_f) 假定计算的空间异常差异 (据 Tarkin 和 Talwani, 1966)。经 Blackwell Science 允许后引用。

6.11.2 三维地质体的重力异常

许多海洋重力异常,如海山和深成岩体所引起的异常,缺乏线性趋势,所以更适宜于认为是一维体。R.L. Parker (1972) 通过对包含异常体的表面升高解的傅里叶变换累加推导其场值。更一般的,将三维结构体分为许多平板体,并单独计算每块的引力。M. Talwani 和 M. Fling (1960) 描述了一种将地质体细分为一系列厚度为 δz 的水平板的技术 (图 6.23)。在板上面原点 $P(0,0,0)$ 处:

$$\Delta g = G\rho\delta z \int_0^{2\pi} \int_0^r \frac{zrdrd\theta}{(r^2 + z^2)^{3/2}} \quad (6.60)$$

对 r 积分

$$\Delta g = G\rho\delta z \int_0^{2\pi} \left[1 - \frac{z}{(r^2 + z^2)^{1/2}} \right] d\theta \quad (6.61)$$

现在我们沿平板的周边积分

$$\Delta g = G\rho\delta z \left[\int d\theta - \int \frac{z}{(r^2 + z^2)^{1/2}} \cdot d\theta \right] \quad (6.62)$$

此式就可以表述为数值积分的形式。然后在整个地质体上扩展这种积分。M. Tarkin 和 M. Talwani (1966) 所改进的计算步骤考虑了地球曲率。

$$\Delta g_i = K_i \Delta \rho_i \quad (6.64)$$

在此, K_i 是函数 (Beech, 1977)。当重力值的数目大于未知数的数目时, 就用最小二乘法解方程 (6.64) 而得到 $\Delta \rho$, 因此:

$$\Delta \rho = K^{-1} \Delta g \quad (6.65)$$

K 是矩阵方程, Δg 是函数重力异常值; 方程 (6.65) 的解产生了每个 K_i 的 $\Delta \rho_i$ 都是质量可变的二维薄片或者具有可变密度的棱角地质体。

6.12.3 非线性反演

如果给两平面的无限程度地质体加上严格的边界条件, 重力数据非线性反演就可以用来确定异常质量几何形状。然而, 必需对地质体的形状有所限制, 虽然这种限制并不严格。一种方法是在给定程度之外必须确定某平面的形状, 然后以该形状的假想可以确定其他平面的形状。M. R. P. Hoot (1980) 用这种方法确定了界面深度 (Muller) 和通道的基岩结构。J. C. Lasserre 使用类似的方法考虑了地质体棱角的引力, 得到一维可变密度 $\Delta \rho$ 的水平棱柱。如果假定异常质量分布在地质体表面和厚度可变的薄水平板上, 那么 $\Delta \sigma$ 可以求得:

$$\Delta \sigma(x, y) = \frac{1}{2\pi G} [\Delta g(x, y)] \quad (6.66)$$

如果已知棱柱上表面的深度 h_u , 那么面密度 $\Delta \sigma$ 就可以通过以下方程求得:

$$h_d = h_u + \left(\frac{\Delta \sigma}{\Delta \rho} \right) \quad (6.67)$$

类似的方法被用于磁偶极子阵列 (Candell 和 Henderson, 1983)。

最近技术提供了一种非线性反演的反演方法。这种方法把数据产生于给定平面的假想最佳值, 如地质体的形状。一般原理与原理是使观测值和计算值之差最小化而求得最佳值。利用最佳化法可推得顶部是所需重力体的表面和地质体底部值最大或最小值 (Kee, 1973; Al-Chalabi, 1971)。

第七章 海洋地磁场

7.1 地磁场

海洋表面任一点上磁场的大小和方向常用一个总磁偏强度矢量 F 来表示, 它的单位为 G ($1\text{G}=10^{-4}\text{T}$, 高斯)。总磁偏强度 F 的变化范围是在磁极附近的 40000G 到两极的 40000mT 。如果 D 和 Z 分别是 F 的水平和垂直分量, 那么 D 和 Z 之间的夹角 I 就称作磁偏角; 当 F 斜下偏斜的时候, I 取正值, D 和地理北极之间的夹角 H 叫作磁偏角, 当 F 由正北向东偏时取正值 (如图 7-1)。通过海洋磁通, 磁学磁通和地质磁通如磁通 M , 磁化它就可以提供一个几乎均匀而遍及全球的磁场, 因此可以使人对已经海洋磁通了解于地磁场。图 7-2 中的磁通等值线图, 磁通等偏角等值线图以及地磁与磁偏角等值线图是磁通 M 和 M 的磁通的各子分量是制而成的。目前地磁场的两个磁极分别位于北半球内的磁极 F 的 78°N , 101°W 和南半球磁极点斯海岸附近的 61°S , 143°E , 与磁心偶极子所推算的偏角地磁磁轴约 11° 左右很接近。从严格的磁极子磁通言, F 等值线应该与地磁磁轴中心分布, 如图 7-3a 所示实际情形与图 7-3b 的磁心偶极子太平洋 21°N , 147°E 偏离, 490km 的偏心偶极子与现代地磁场更接近。

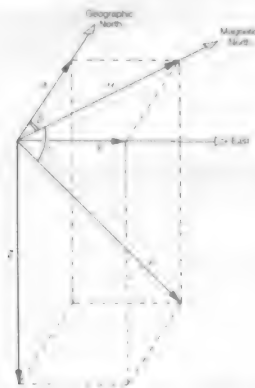
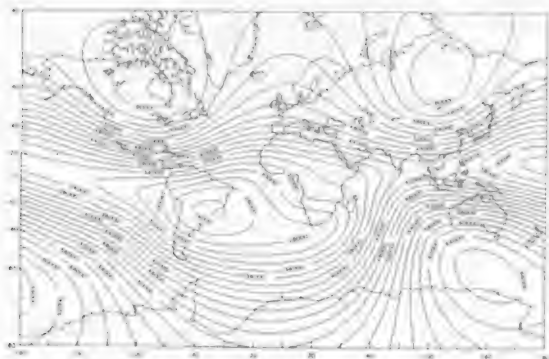


图 7-1 地磁偏角关系 (据 J. J. Van der Pol, 1969, 德克萨斯大学海洋地质学系提供)

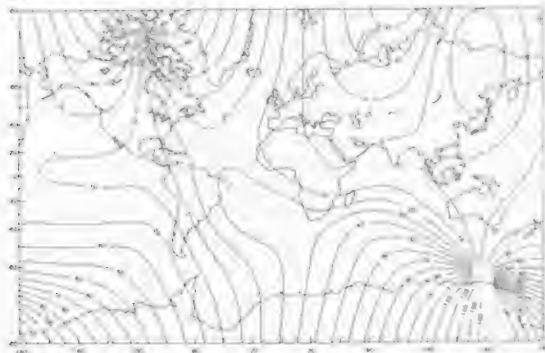
* 注: 原标注为 V , 为与计算公式和插图标注统一, 改为 Z 。

图1的模拟分析表明, 外部磁场强度不到总磁场强度的1%。地磁的主磁场产生于地球内部铁磁性核中, 它由一种自激发电机制和平均磁感应强度 (Jackson, 1979)。然而, 这个深部场只是源于后地壳和外部电离层的部分。从地壳和电离层, 主磁场的变化是缓慢的, 自激的。例如,

(a)



(b)



7.2 海洋地磁测量

7.2.1 早期的观测

由于地磁倾角在地上的重要性, 最早的海洋磁倾角测量的目的是磁偏角, 即由可以自由转动的磁针和天文观测得出的真北之间的夹角得到。1492年詹姆斯·坎内尔 (James de Cane) 在大西洋进行了大量的测量工作, 才有了磁偏角曲线, 1702年出版了第一幅世界磁偏图。随后的海洋磁偏图仍然是海洋磁偏角研究的焦点。到19世纪中期为止, 磁偏图不仅能够提供某个特定年代磁偏角, 而且能够显示出预期磁偏角的长期变化。

以理论为主导,由本湖水质监测性指标所组成的变化性指标体系是基础数据库。然而,一直到本世纪,才可以在由美国的主导基金会管理的特别数据库 (Callison (1966-1968), 和 Carver (1969-1980) 及美国调查局 Joyce (1966-1968) 上获得数据。而该数据库建立是在半个世纪,一半为开放性和半封闭。一半为敏感性和非敏感信息。敏感性和非敏感信息从水平分层的水平一半分层的数据库将 100% 敏感性和非敏感性可以整合到 1% 和 10% 和 100% 敏感信息数据库的 100% 敏感一半,在海洋上具有非敏感信息可以整合到 1% 和 10% 敏感信息数据库和 100% 敏感信息数据库的变化性。直到二十世纪五十年代,水文数据库的发展才使得基础性数据库变得过时。

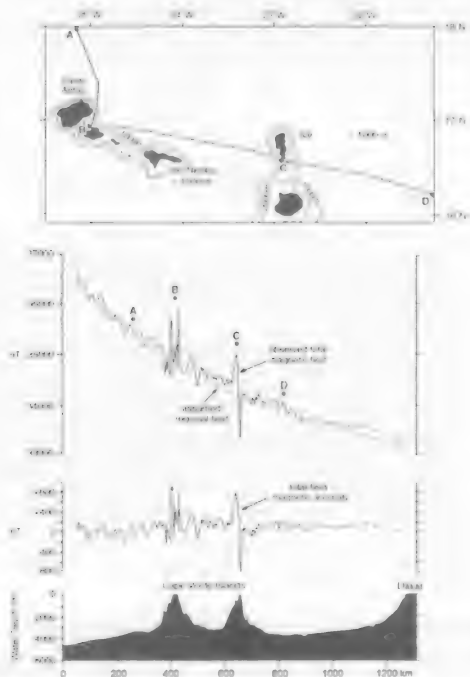
7.2.2 磁通门磁力仪

第一次世界大战期间，为了进行海底电缆网络的建造，门德列维奇设计了一种用于海底电缆的新的绝缘材料。这种绝缘材料是放在一个密封的容器中，由两种不同的液体在真空条件下，通过高压填充。它和以前的绝缘材料具有不同的导电率。其他重要的特征是它的弹性，在负载下，弹性可以恢复（如图 1）。门德列维奇说，通过以平方厘米 100-10000 的密度，将粘土或类似材料填充到绝缘体中，这种材料可以提供一个保护层，防止水的渗透和防止盐的沉积。在具有绝缘材料的情况下，电缆的电阻和电容的减小，电缆的寿命和耐用的增加。因此，新的绝缘材料是用于海底电缆的。门德列维奇说，这种材料可以用于制造各种类型的电缆，包括用于海底电缆的绝缘材料。这种材料可以用于制造各种类型的电缆，包括用于海底电缆的绝缘材料。这种材料可以用于制造各种类型的电缆，包括用于海底电缆的绝缘材料。

磁场的磁力线在空间分布与物质磁场的分布十分接近, 它并不是一种可以精确测量的仪器, 因为不存在磁矩具有磁场的稳定性。虽然液体可以通过一个标准物质来采样, 但仍需要与绝对磁力线进行校准。1G 的精度可能只能维持在小时, 几天的时间不可能稳定在 10nT 以内。

磁鐵(磁方)礦床主要分布于 1967-1968 年開採地磁礦物年圖開海峽、福洲和江北大西洋和北大
 洋洋上早期船舶調查。圖 2 是 1968 年 4 月考察在 1968 年 4 月考察的磁鐵礦物圖。Carm. Nord.

初得母乳。在磁场强度较大的情况下,由于液体表面波频率的变化,会使电压很快衰减直至消失,且随频率衰减而消失,因此在船舶磁头磁头与记录磁头间保持有适当的磁头磁头值。



附：1. 叶明谦：《唐人及宋初的佛经翻译家》，*Journal of Chinese Literature* (the Berkeley edition)，1982年第1期。叶明谦在文中指出，唐初的佛经翻译家与南北朝时期的佛经翻译家不同，他们不再像南北朝时期的佛经翻译家那样，只是机械地翻译佛经，而是开始对佛经进行创造性的翻译。在叶明谦看来，佛经翻译家开始在一个新的层面上，对佛经进行创造性的翻译。见 *Journal of Chinese Literature* (the Berkeley edition)，1982年第1期。

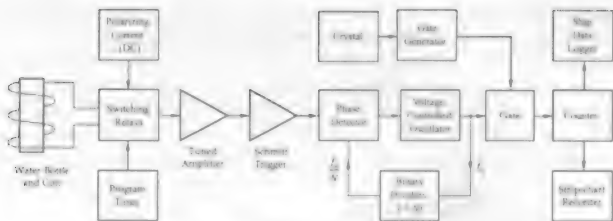


图 7.5 磁异常测量系统框图, 结构基础为通用微处理器。

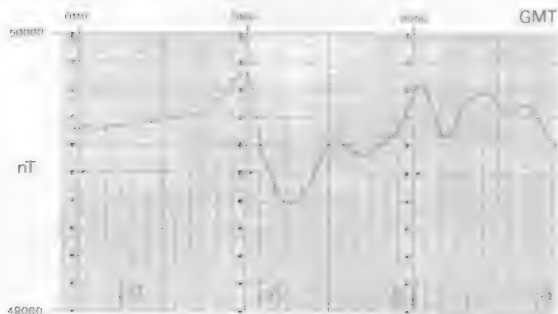


图 7.6 用通用微处理器, 计算机控制磁异常测量系统测得的磁异常强度随时间的记录格式为 GMT, 船速为 15 km/h。

当线圈与磁异常磁场的夹角 θ 为 90° 时, 线圈感应磁场的初始值在值最大, 并以正弦形式变化, 其频率与船速成正比。对于正交的线圈可确保保持单一线圈的方向和船用磁异常有一个恒定而单一的方向与磁异常垂直一致, 使得线圈由磁异常的时间波动稳定, 同时已确定磁异常磁场的频率与水平磁异常 H_x 计算出来的磁强度。导航记忆磁异常和磁异常物理数据以数字化方式记录下来, 并同时显示在记录纸上 (图 7.6)。

线圈与磁异常, 磁异常传感器拖在船尾长约两倍于船的长度以上的距离之后, 深度为 1.1m (Redding and Mearns, 1981)。船舶正常速度为 15~30 km/h, 在磁异常飞机上飞机的速度一般为 2.0~10 km/h, 传感器距离海面的 300~600 m。目前已使用直升机对某些区域进行了测量。

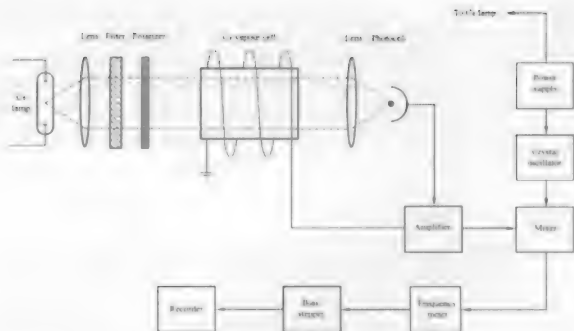


图 7-7 铯蒸气磁力仪的主要部件 (据 Robinson and Coruh, 1988)

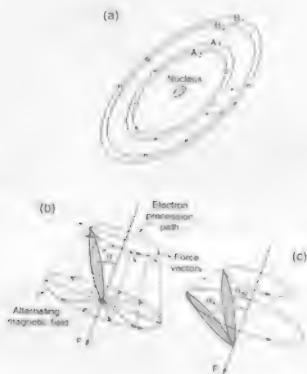


图 7-8 (a) 铯原子四个轨道上的电子分布状况; (b) 在变化磁场中一个铯原子电子上所受的力; (c) 电子自旋从铯原子的小角度低能级的 A₁ 轨道转动到大角度高能级的 A₂ 轨道 (据 Robinson and Coruh, 1988)。

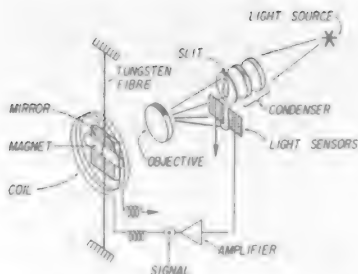


图 7.2 测量海底磁场的磁通门磁力仪的主要线路图。光源和 (5mm，直径为 1.5mm，长度约为 100mm) 的磁通门磁力仪，其灵敏度为 0.1nT，精度为 0.1nT (L, 1987)。

作用使得只有磁通门磁力仪。磁场的变化和磁力仪的轴相垂直，磁场的磁通门磁力仪中的电流发生变化，由电流的变化可以推算出磁场的变化。电流被存储在内部的一个数字记录器。其灵敏度一般为 0.2nT，可以探测到几 nT 的磁通门磁力仪。磁力仪放置在磁力仪内，一般被放在磁通门磁力仪的一角架上，通过声学信号可以使它们返回到海面下。因此其磁通门磁力仪可以连续工作 120 多天。

7.2.6 卫星磁力仪

已经发射的卫星中使用了磁通门、磁通门和光泵磁力仪来记录海洋上的磁场 (表 7.1)。其中比较成功的一颗卫星是 MAGSAT。它于 1979 年十月成功发射，进入地球磁层，环绕于太阳同步轨道，观测北美和欧洲地区高导电性电离层上的外部磁场的变化。经过为期七个月的飞行，MAGSAT 得到了离地平均高度为 100km 几乎覆盖全球的磁通门磁力仪 (如图 7.10)。

MAGSAT 上安装有一台用于总场磁通门磁力仪和一台用于总场磁通门磁力仪。它们安装在磁通门的磁通门磁力仪，以避免飞行器磁通门磁力仪的影响 (如图 7.10a)。两个磁通门磁力仪。

一个太阳磁通门磁力仪和一个磁通门磁力仪提供的飞行器姿态准确度达到 10^{-2} 弧度。测量精度可以精确到 1nT，精度精度优于 1nT。磁通门磁力仪，每秒钟可以提供 16 个测量数据。通过比较测量精度和精度可以测出磁通门磁力仪的情况。由于磁通门磁力仪在电路中的误差，其数据不能全部恢复。在飞行或数据是零误差的阶段，可从分量中得到总场磁通门磁力仪。每秒钟采集六十个测量数据。

表 7-1 表 7-4: 测量地磁场的卫星仪器 (据 Jensen, 1988; van Kesteren, 1988)

卫星	轨道	高度 (km)	日期	仪器类型	精度精度 (nT)
Cosmos-49	50	261-488	1964.10-1964.11	质子	22
OGO-2	87	413-1510	1965.10-1967.9	铷	6
OGO-4	86	412-908	1967.7-1969.1	铷	6
OGO-6	82	397-1098	1969.6-1971.7	铷	6
MAGSAT	97	352-561	1979.10-1980.6	磁通门, 铯	6, 3
DE-2	极轨	309-1012	1981.8-1983.2	磁通门	~100

7.3 总场磁异常

7.3.1 介绍

地磁总场主要来自于地球的偶极子部分, 为了分离出近地表磁体异常引起的地磁场的空间变化, 必须从观测值中减去地核产生的区域场 F_0 , 亦减去磁场的时变体部分 F_1 , 最后得到磁异常 ΔF , 即:

$$\Delta F = F - F_0 - F_1 \quad (7.4)$$

7.3.2 区域磁场改正

地磁区域场 F_0 是二阶球谐或低阶多项式表示, 所以对于不同区域的磁异常很容易进行比较, 相应地磁异常线或等值线(见 Baillard, 1987)。为了解决这个问题, 采用了国际地磁参考场 (IGRF), 它给出了地磁场的球谐分解, 包含主地磁数和时变系数 (Gauss, 1988; Langel, 1992), 地磁场磁位表示为:

$$F_0 = \sum_{n=0}^{\infty} \sum_{m=0}^n \left(\frac{a^n}{r^n} \right) (g_n^m \cos m\lambda + h_n^m \sin m\lambda) p_n^m \cos \theta \quad (7.5)$$

这里 a 表示参考球体地球半径 (6371 km), g_n^m 和 h_n^m 是 n 阶球谐系数 (如 1965.0) 和 m 阶磁位的以 a 为单位的球谐系数, n 和 m 是整数, θ 是日格林尼治历系的地心纬度, λ 是地心经度 (例 $\lambda = 40^\circ - 50^\circ$, θ 为纬度 (例北取正)), ϕ 是地磁心的同经度角, $p_n^m (\cos \theta)$ 是 n 阶 m 次勒让德多项式, 以球坐标修正制球谐式给出 (Gauss and Baillard, 1980)。

从可用的观测数据来说, 方程 (7.5) 中的 n 最大能到系数 10, 从 1945.0 年代以来, 磁场模型扩大到具有 10 阶次的 120 个系数, 从 1985.0 年代扩大到 n 阶次的 80 个系数。

为了得到磁值, 需对方程 (7.5) 进行磁线各分量方向的微分:

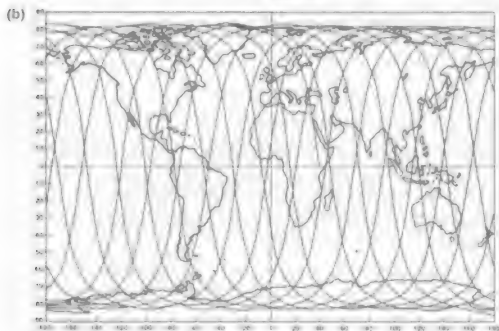
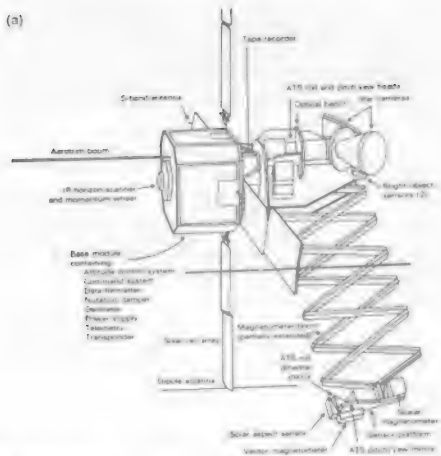


图 1.6 (a) MAGSAT 卫星飞行图 (引自 *Space Sci. Rev.* 1982); (b) MAGSAT 卫星飞行图内的磁测数据。磁测: ΔB_{obs} , 高度: ΔB_{calc} , 倾角: θ , Γ (即 $\Delta B_{\text{obs}} / \Delta B_{\text{calc}}$)。

$$X_r = \frac{1}{r} \frac{\partial U_m}{\partial \theta} \quad (7.6)$$

$$Y_r = -\frac{1}{r \sin \theta} \frac{\partial U_m}{\partial \lambda} \quad (7.7)$$

$$Z_r = \frac{\partial U_m}{\partial r} \quad (7.8)$$

这里 X_r 、 Y_r 和 Z_r 分别是总场强度在以椭球体地球为参照的笛卡尔坐标北向、东向和钟向向下的分量 (Peddie, 1982)。

要计算海洋上一点的磁位和磁场各分量, 需要将该点以地心系统定义的测量坐标系转换成地心坐标系。根据国际天文学联合会的规定, 取 IGSN 1980 的赤道半径和 1/298.25 的扁平率, 把计算的磁场换算到地心笛卡尔坐标系。这时在经纬度 ϕ 处磁场的各个分量 X (北向)、 Y (东向) 和 Z (垂直向下) 在地方笛卡儿坐标系下为:

$$X = X_r \cos \delta + Z_r \sin \delta \quad (7.9)$$

$$Y = Y_r \quad (7.10)$$

$$Z = -X_r \sin \delta + Z_r \cos \delta \quad (7.11)$$

这里 $\delta = \phi + \theta - 90^\circ$ 。

总磁场强度 F 由下式求得:

$$F = (X^2 + Y^2)^{1/2} \quad (7.12)$$

水平强度 (H), 磁偏角 (D) 和磁倾角 (I) 为:

$$H = (X^2 + Y^2)^{1/2} \quad (7.13)$$

$$D = \tan^{-1}(Y/X) \quad (7.14)$$

$$I = \tan^{-1}(Z/H) \quad (7.15)$$

国际地磁参考场 (IGRF) 是针对特定年代 (例如 1985.0) 拟合的。1985.0 进行测量所需的系数由 1985.0 系数推导出来。随着可用的磁测数据地增多, 修改系数并新模型和全球数据之间更加一致。这就要求对低纬度的正磁场模型得到的异常值进行重新拟合。地磁参考场 (IGRF) 以特定年代范围时间等距分布的数据为基础。已知 1985.0 (IGRF) 地磁参考场值和 1985.0 (IGRF) 地磁参考场值, 1982.5 测量数据的异常值就由以上两套数据进行内插得到。当后者被 1985.0 (IGRF) 的参考地磁场值化时, 又可以重新计算异常值。

7.3.3 地磁日变改正

海洋地磁场不仅受长期变化的影响, 而且受 7.1 节中讲到的短期变化的影响。如同在高纬度和赤道电地流之下的地区那样, 高频波动的振幅如何之大, 以至于地磁场小值以 50mGauss 等值线或不得不舍弃全部数据。在大部分远地地区, 地磁日变具有 20-40mG 的量级。海洋地磁日变幅值随着纬度和其他原因发生变化 (Chapman and Bartels, 1940; Riddihough, 1974)。在海上, 电磁感应会减小地磁场, 但是它的影响是变化的。与电海水的流动会影响地磁场的变化, 其度

化程度取决于相对地磁极的水体运动速度和方向。海底和近海岸区的导电结构和海岸线形状等因素 (Parkinson and Jones, 1979)。用海岸附近的陆基磁测来研究海上的日变, 存在幅值变化较大和相位误差大的风险。

图 7.11 的磁偏日变图将分别来自英吉利海峡外大陆上一个固定浮标所测的结果和距离约 400km 的西南英国观测站所测结果。可以看出海上的日变是岸上的两倍。

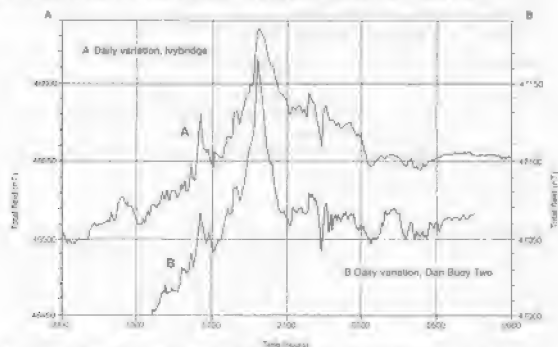


图 7.11 英吉利海峡地区的磁偏记录。曲线 A 表示在船上测量的磁场变化, 位于 Ivybridge, Devon ($50^{\circ}23'N$, $3^{\circ}36'W$)。曲线 B 表示由固定浮标测量的磁场变化, 水深 400m, 位于进入英吉利海峡的 Western Approaches ($51^{\circ}37'N$, $1^{\circ}34'W$) (来自 Eust and Mason, 1982)。

从峰值时间差可明显看出两者之间有一个相变, 精确校正日变的方法是在固定浮标上记录地区磁场的, 但是很少利用这种方法。不仅因为放置和回收仪器耗时, 而且因为场的空间变化通常远地大于预期的日变。在磁水平于梯度法中的地方 (见第一章), 只要提供航向改正和船上的 GPS 定位或者惯性电子定位系统就可以由航迹交叠来推測日变曲线。一些海上测量通过在船后拖有两个相隔一定距离的传感器, 可测量场水平梯度来测。由水平梯度而不是总场可以推断出磁源体的位置、深度和其他特征, 因为日变同等程度地影响两个传感器, 所以梯度测量不受日变的干扰 (Marcotte et al, 1992)。

航宇磁测也可以从精确的轨道交叉点计算得到。地磁场随时间变化部分 (表 7.1), 在卫星轨道上, 但地磁外层磁化可解引起的磁异常变化和由磁壳层或电离层造成的不可预测的场变化幅值量级一样。因此, 通常采用静磁时期的数据进行分析。对于向量数据, 从外层磁场中把固体地球信号的向量分离出来比标量数据困难, 因此, 许多研究专门针对标量数据。几种磁场干扰的测量方法为向量数据提供了依据。K_p指数 (Planetary Activity) 用于赤道和宇纬度地区测量, AE 指数 (Auroral Electrojet) 用于极地区域 (Parkinson, 1983; Ranganathan, 1989)。对于同一地区, 当磁测数据和由其它卫星测量的数据有实质性不同时就会被舍弃。

7.3.4 航向改正

船体平台对传感器测得的磁场的贡献可以表示为:

$$F = \cos \theta \cos \alpha \cos \delta + \cos \alpha \sin \delta + \sin \alpha \sin \delta \sin \theta \quad (7.16)$$

这里 F 是测得的磁场, F_0 是地磁场, θ 是航向, δ , α , γ , δ 和 θ 是函数, 它们取决于船体的磁化。局部磁场的方向和磁矢量距传感器的距离 (Ballard and Meese, 1991)。公式中的第一项取决于船体的对称性, 当磁场对称时, 该项的值很小。

航向的航向改正可由非静磁场中的几个航向误差给出。用指定的磁矢量来监测日变时就可以做到这一点, 但是通常这是不可行的, 所以一般的测量是在时间变化可能很小, 又在每天测量的时候进行。图 7.12 所示为一个航向改正曲线, 它是对方程 (7.16) 磁场的值进行最小二乘法拟合得到, 这是靠几内亚的中磁传感器以约一倍船长拖曳在长约 60 m 的 RRS Charles Darwin 船后。曲线周围的散点是由于日变和航向误差的影响所致。航向改正一般高达 30m, 在航船磁异常区, 航向改正值能够超过几千米距离。

7.3.5 磁异常化极

由于地磁场随纬度的变化使得磁性体异常面貌也随纬度发生变化。图 7.13 所示为两组一系列线性系统, 它们的磁化在相反的方向上变化。低纬度地区的异常部分严重偏离磁源体, 偏斜度或者不对称取决于当地的磁化方向和地磁场矢量。

偏斜度可以由相位角来表示 $\theta = \theta' - \theta'' - 180^\circ$, 这里 θ' , θ'' 分别代表地磁场的磁倾角和正交于异常走向的垂向平面上岩石的永久磁化方向。

通常所测定的磁异常形式就是磁极处产生的磁异常, 在磁极处, 一个对称的磁性体可以产生一个对称的磁异常。S. Karason (1957) 将这样的“极”称为“化极”。对于同一物质其磁异常和重力异常可以分别处理。化极是对异常区域或磁体的磁矩量的线性转换, 因此可以认为是能被操作 (Goss, 1955)。对于右图, 一个沿南北方向磁化的磁性体, 在测点场中可以用下面一个算子来表示化极:

$$F(K_x, K_y) = \left(\frac{|K|}{i \cos \theta \cdot \cos D \cdot k_x + i \cos \theta \cdot \sin D \cdot k_y + \sin \theta \cdot |k|} \right) \quad (7.17)$$

这里 K_x 和 K_y 分别是沿 x 和 y 方向上的频率, X 轴指向南北方向; $\theta = \sqrt{1 - \sin^2 D}$, θ' 和 θ'' 分别是相对于 x 方向的地磁场倾角和磁化方向的分角, $D = \delta - \alpha$, δ 是磁赤纬角这个算子是不相宜的, 因为异常和磁异常都被去除了, 在低极的异常图上会产生误差, 采用附层因子可以限制场值的放大 (Mendonça and Silva, 1993)。

图 7.14b 所示为北倾角 18° 的一维体磁异常剖面图。它如右图所示当磁化方向磁化(源极), 有的磁化方向同磁化(非源极), 磁倾角为 0° , 磁倾角为 18° 。每块岩石的表面和底面分别出现在水平面以下 3.5km 和 5.0km 的深度。当异常化极时(如图 7.14a), 仍可以看到原来非对称的剖面转换成了有峰值, 低谷和磁矩梯度的对称剖面, 它反映了正常和反转磁性体的分布。

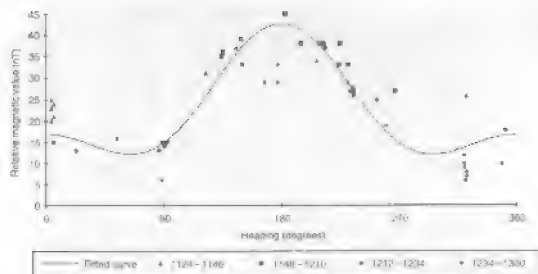


图 7.12 在凡尔登海湾中(经 $11^{\circ}10'N$, $0.17^{\circ}W$) 的比 RSS (Rustless Sawfin) 鲷鱼的磁场相对脑膜内的变化。磁方位被施加长约 300m 船尾。根据记录的自然时间标记数据点。曲线是根据方程 (10) 对数据拟合最多二项拟合的结果。船尾改正约达约 30m, 超过了在异常磁场的情况下磁场方向变化的范围(据 Buchanan *et al.*, 1990, 经 Blackwell Science 允许后引用)。

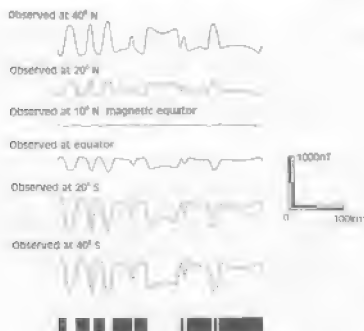


图 7.13 海底二项体磁异常形状的纬度效应。图底部磁体的走向为 N-S 向, 它已被 $10^{\circ}S$, $80^{\circ}E$ 下的一个偶极场所磁化。黑色代表正向磁化, 白色代表反向磁化。把同一个磁体移到不同的纬度用深度 100m 下磁体的曲线。异常的形状与磁化方向和磁体所在的纬度的有关, 当把磁化磁体移到磁赤道正部, 正向磁化体会产生负异常(据 McKeown and Sclater, 1977, 经 Blackwell Science 允许后引用)。

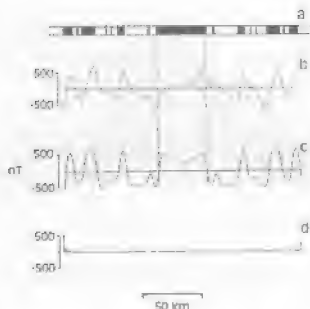


图 7.14 线性岩块 (a) 的总场磁异常 (b) 的化极 (c), 其中 $I=45^\circ$, $D=0^\circ$; (d) 转换到地体走向为 40° (据 Haseely and Cox, 1972; 经美国地球物理联合会允许后发表)

7.3.6 海洋磁异常成因

总场磁异常可以绘制成剖面图、等值线图、等距图和带有颜色的立体图。首先通过滤波可以滤掉磁场中的长波长部分, 从而分离出短波长异常。相反地, 由深部磁性基底引起的长波长部分可用向上延拓或其它滤波方法勾绘。沉积盆地和大成侵入岩的边界经常可以用磁场的二阶或三阶导数表示出来, 它们强调了磁场梯度随磁性基底深度变化的情况 (Telford et al., 1990; Cowan and Cowan, 1993)。

图 7.15 展示了磁等值线图的一部分, 它描述了表征大部分海洋的显著线性磁异常模式。这些异常典型地分布在 $100\sim 300\text{ s.d.}$ 之间, 从磁条带的错断很容易识别出长的断层。图 7.15a 中的航空磁测等值线图覆盖了英国西北部海岸外陆架和 Hebrides 岛。磁值 ($\pm 100\text{ nT}$)、短波长异常 ($\pm 5\text{ nT}$) 和浅的磁性基底相联系, 它们主要由海床沉积物、沉积岩和新生界火成侵入岩组成。在图的中间部分为厚砂岩层和沉积岩层的槽地, 其磁场强度小, 梯度小于 50 nT/km 。图中的平静海区被一个复杂的海上基岩岩脉之上的线性基岩异常所打断。图 7.15b 是同一地区的磁异常立体图, 它强调了线基岩地区 and 中央沉积盆地之间在构造特征上的差别。同时也显示了基岩基底上磁场异常模式的线性特征, 这一点在相应的等值线图中不是很明显。

7.4 岩石和沉积物的磁性

地球外部的磁场变化相对小, 可以通过多种方式解释。当把岩石和沉积物放在一个磁场中时, 通过感应, 它们将被磁化, 结果该物质中的偶极子沿着外磁场的方向排列。除非外部磁场为十

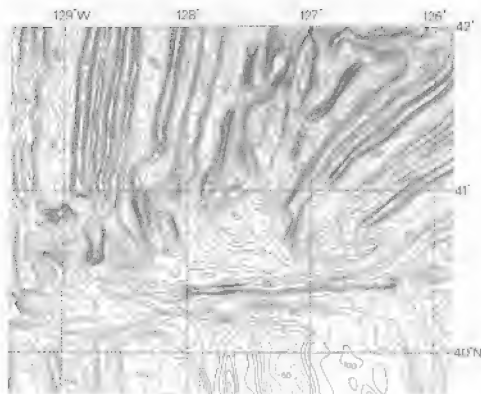


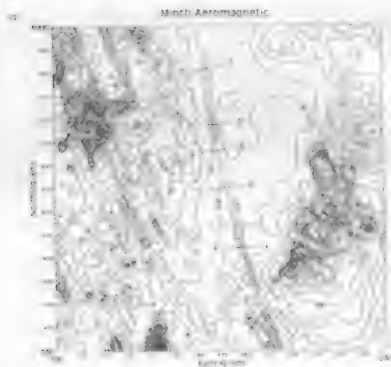
图 1-1 北大西洋地区的磁强度等值线图(强度单位为 γ)。磁条带按 40°、20°、0° 和 20° 命名。条带年龄 (Banda et al., 1970) 和磁条带 (Stearns and May, 1961; Rost 和 Menzies, 1961) 均经估计和经美国地质学会允许后引用。

地球磁场。否则，当外磁场撤销时，磁化磁化迅速消失。磁化强度和磁矩强度或者是磁化磁场强度 M 正比于外磁场强度 H ：

$$M = \chi H \quad (7.18)$$

在关系式中， χ 为磁化率，可以表示为单位体积的（ χ_v 体积磁化率）或单位质量的（ χ_m 质量磁化率）。如果某种元素的电子处于基态，未配对电子的磁矩与磁场产生一个和周围磁场同方向的磁场，这种元素并由此构成顺磁体或顺磁性物质。顺磁性的顺磁性矿物有磁铁矿、辉石、祖母绿和云母。它们的磁化率很小，取正值（如表 7.1 中所示）。当电子处于基态时，磁矩的电子产生一个与周围磁场相反的磁场，这种元素叫做是抗磁性的。顺磁性元素的磁矩很小（如表 7.2 中所示）。石英、方解石、正长石和石膏等属于抗磁性矿物。由于抗磁性，顺磁性矿物和抗磁性矿物的磁矩抵消，所以一般磁化率测量不出它们的磁矩。

在二价顺磁性物质中，电子的自旋和轨道运动产生磁矩。当铁磁物质在特定区域或形成晶体结构中的磁畴。在一种基本的磁畴模式，磁畴取向同一方向排列，这种现象发生在铁磁性物质中的铁、镍、钴元素上。当把它们放在外磁场中，它们会产生很强的磁矩，磁矩为退火消正的（如表 7.3 中所示）。当温度升高，通过居里温度平均，电子间的距离增大，长程排序作用减小，导致物质铁磁性消失（如表 7.3）。



(b)

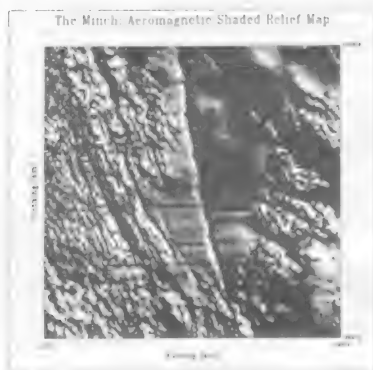


图 2. (a) 苏格兰西岸的磁法和磁象 (李 2006) 的航磁扫描图。 (b) 1:100,000 为比例尺的磁象等值线图。(a) 为 shaded map, 它来自于 Lee 等, 航磁值为 45°。 (b) 为 shaded 的磁象为 200 m (由 M. K. Lee and C. A. Gree 提供)。

表 3.2 矿物和岩石的磁化率 (据 Kretz and van der Pligst, 1990)

类型	磁化率 $\times 10^3$ (SI)	
	范围	平均值
矿物类		
石英		-0.01
岩盐		-0.01
方解石	-0.001—0.01	
粘土矿物		0.2
黄铁矿	0.05—5	1.1
黄铁矿	0.5—35	5.5
磁黄铁矿	1—6000	100
钛铁矿	300—3500	2000
磁铁矿	1200—19200	6000
沉积岩		
石灰岩	0—3	0.3
白云岩	0—0.9	0.3
砂岩	0—20	0.3
页岩	0.01—15	0.6
火成岩		
花岗岩	0—50	
流纹岩	0.2—35	
闪长岩	0.6—120	10
安山岩		50
辉长岩	1—90	10
辉绿岩	1—35	15
玄武岩	0.2—175	10
橄辉岩	90—200	100
变质岩		
片麻岩	0.1—25	
片岩	0.3—3	1.4
闪岩		0.7
板岩	0—35	0
蛇纹岩	3—17	

铁磁铁矿是大多数岩石的磁性载体，属于亚铁矿物中的矿物，一般在热液活动的环境中形成。铁磁铁矿由磁铁矿和磁黄铁矿 (Fe₃O₄ 或 magnetite) (FeS₂) 固溶体或其衍生物形成。居里温度随 x 增加而基本以线性方式降低，从 578 °C (x=0; 磁铁矿) 降低到 120 °C (x=1; pyrrhotite)。因此岩石或沉积物中的自然永久磁化载体位于磁铁矿系列的末端。普通岩石的磁化率和磁铁矿含量基本成正比，而且随着磁铁矿的磁铁矿化率降低。如果铁磁铁矿温度低于 500 °C 被氧化会生成超细晶粒的铁磁铁矿，这种过程常常发生在深海玄武岩中。这种岩石中的 (Said et al. and Bannister, 1986)。磁黄铁矿是低温 (100-300 °C) 磁铁矿氧化形成的，磁铁矿的氧化使其永久磁性显著降低 (表 7.4)。

表 7.4 中太平洋海岭玄武岩的平均居里温度 (据 Peterson and Hilde, 1983)

玄武岩年龄 (Ma)	平均居里温度 (°C)	样品个数
0.1-0.5	159±9	65
3.5	274±112	359
7.0	234±42	131
8.9	300±51	18
9.5	297±56	68
12	340	1
16.5	306±40	43
67	417±13	4
105	408±70	4
108	353±34	44
108	281±42	31
115	362±32	11
131	428±49	6

铁磁铁矿系列 (Fe₃O₄ + 1-x)FeS₂) 由两种可变比例的亚铁矿物组成，铁磁铁矿 (Fe₃O₄) 和赤铁矿 (Fe₂O₃)。这个系列中，磁性有显著变化。顺磁性的铁磁铁矿是一些富含亚铁矿物 (沉积矿) 的浅水沉积物的主要成分；顺磁性赤铁矿是沉积岩中 NRM 的主要载体。铁赤铁矿在酸性火成岩和变质岩中比在基性火山岩中更丰富。

普通岩石和沉积物的磁化率列在表 7.2 中。磁铁矿含量高的岩石，例如玄武岩熔岩和辉长岩，x 值很大。酸性或中性火成岩和变质岩的磁性通常较低，磁化率使相互重叠明显。海基沉积物的磁化率很低，为了计算海面磁异常，通常认为它们是无磁性的。

很多岩石获得剩磁磁化强度 M，必须矢量叠加到感应分量 M_i 之上。总磁化强度 M 的大小决定了异常的大小，M 的方向决定了异常形状。Q=M/M_i 叫做 Koefertberger 比值。该比值和磁性颗粒的大小有一定的关系。从洋脊喷发出来的玄武岩的 Q 值很高，反映铁磁矿的磁性颗粒小和处于高阻状态。海洋玄武岩的 Q 值一般大于 5，因此在分析深海磁异常时通常只考虑剩磁磁化强度。

7.5 磁异常的分析

由磁异常确定海底以下区域的磁性分布会遭遇我们在研究重力场已经遇到的相似的非唯一性问题。根据高斯定理(见5.10节),如果仅仅已知边界上的磁场,那么边界内部就会有无数种异常源分布方式产生同样的已知磁场(Lange, 1987)。而且,海洋磁测数据量是有限的,每一个观测值都存在相应的误差;如果有一种可以描述磁场分布的模型,那么就一定存在其他可以同样精确描述该磁场的模型。但许多模型是可以舍去的,因为有些在地表上是不现实的,得到的磁化强度值在合理的范围以外,或者是因为有铅垂、测线 and 测线数据的位置或形状的限制。例如,沉积岩和洋底基岩夹山岩相比,磁性如此微弱,它们对于总场的贡献,就可以忽略不计。来自地震探测的沉积层可给磁性基岩的上界面提供边界条件。热流测量能够得到热里点等温面的深度,这样提供了磁性体下界深度的限制。在一些地区,钻井资料可能会给场薄体的上界面提供一个限制深度,同样能指示它的磁化强度和磁化方向。尽管如此,一个场薄体的几何形状和磁化强度仍难以限制,存在以下三个方面的原因:

(1) 磁化强度来源:场源可能既有感应磁化强度又有剩磁磁化强度。在深海中,磁异常虽然主要来源于火山基岩的剩磁磁性,但是沿大陆边缘或那些受低温蚀变和热液活动影响的地区,感应磁化强度和剩磁磁化强度的贡献大小就不那么确定了。

(2) 磁化强度方向:一个磁性体上面的磁场不但受到磁性体深度的影响还受到它的磁化强度方向和大小的影响。如果磁性体的磁化方向不同,那么同样形状和深度的两个磁性体就会产生不同的异常模式。

(3) 磁化强度变化:一个场源体内部,磁化强度可能变化很大。场源中某些部分沿着现代地磁场方向磁化(正场),其他部分可能具有相反方向的剩磁磁化强度(反转磁化强度),基岩的磁化强度可能至少有一个量级的差异,这是热液活动、低温蚀变和岩性变化的结果。

虽然解释磁场变化是非常困难的,但在当初进行的海洋磁测,已经意外地提供了有关海洋结构和历史的关键数据。现在我们将研究用于分析海洋磁异常的方法。就像用于研究重力场的方法一样(第六章),研究磁异常可以分为正演模拟(间接法)和反演(直接法)两种方法。

7.6 由正演模拟给出磁化强度分布

7.6.1 简介

尽管越来越多的磁测工作利用了三分量磁通门磁力仪(Korenaga, 1995),有关海底以下物质磁化分布的认识大部分来自总场测量。如果 F 是未受干扰的总场强度, ΔX 、 ΔY 、 ΔZ 分别是由磁异常体引起的 x 、 y 、 z 方向上的磁场分量,那么总场异常就可以表示为:

$$\Delta F = [(F_0 + \Delta X)^2 + (F_0 + \Delta Y)^2 + (F_0 + \Delta Z)^2]^{1/2} - F \quad (7.19)$$

这里 F_x 、 F_y 、 F_z 是 F 分别在 x 、 y 、 z 方向的分量(图7.17)。由于异常场通常比 F 小得多(15%),总场的方向虽然包括了感应异常场,但仍可以看作是和未受干扰磁场的方向一致。 ΔF 是 ΔX 、 ΔY 、 ΔZ 在 F 方向上的投影总和,因此得到:

$$\Delta F = \Delta X \cos \theta \cos i + \Delta Y \sin \theta \cos i + \Delta Z \sin i \quad (7.20)$$

这里 θ 和 i 分别是地磁场的磁偏角和磁倾角。当地球体分块或磁化程度被磁化，在其内部产生的磁场就有磁偏角。然而，即使是磁性的岩石，其磁偏角是非常小的，可以忽略不计。

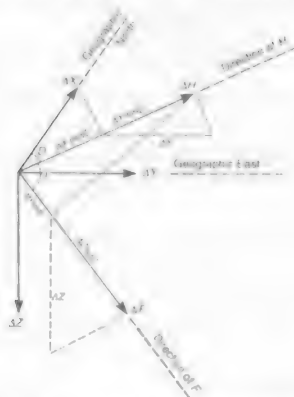


图 7.17 磁偏角分量 ΔX 、 ΔY 、 ΔZ 与磁偏角 $\Delta \theta$ 。图中标出了总磁场的方向（据 Telford, 1965），经勘探地球物理学学会允许后引用。

7.6.2 几何上简单的磁性体

假设有导磁率和磁化率均匀的均向磁化地质体产生，例如一个柱体或者一个水平板，那么计算就可以由基本的磁学方程计算出来 (Cox and West, 1968; Telford et al., 1990)。通过比如计算和标定的磁异常，就可以提供地质体的深度和形状。由于大部分岩体或许多天然形成的磁导率体是线性的，构造法点与无限磁化的垂直或倾斜面于估算用线形模型。例如，假设磁场垂直于一个横截面为正方形的线性体如图 7.18。如果 M 和 M_z 分别是垂直于磁体走向垂直平面的水平和垂直磁化强度， M 是一个单位磁化中产生的磁化强度。那么：

$$M_z = M F \sin \alpha \cos \phi \quad (7.21)$$

$$M = 2 M F \sin \phi \quad (7.22)$$

这里 F 是总磁场的值， α 是柱体轴的偏角 (Merrison, 1987)。对于垂直于 F 且 $\phi = 0$ 或 $\phi = 90^\circ$ ，我们看到磁体截面磁化没有发生任何变化。在基本坐标系系中，某一点 x 处的垂直磁场为：

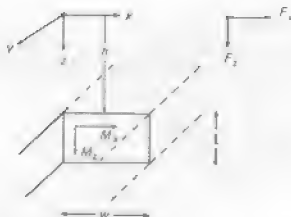


图 7.18 横截面为矩形的物体。沿 F_1 方向为 M_1 的线性磁化体。块体长轴的方向平行于 x 轴(据 Harrison, C. G. A., in Geomagnetism (Ed. J. A. Jacobs), 1987)。

$$F_z = \frac{\mu_0}{4\pi} \left[2M_1 \left[\tan^{-1} \frac{x}{h} - \tan^{-1} \frac{x-w}{h} - \tan^{-1} \frac{x}{h+t} + \tan^{-1} \frac{x-w}{h+t} \right] + M_1 \ln \frac{[x^2 + (h+t)^2][(x-w)^2 + h^2]}{[x^2 + h^2][(x-w)^2 + (h+t)^2]} \right] \quad (7.23)$$

这里 μ_0 是真空中磁导率, w 是块体的宽度, t 是块体的厚度, h 是块体面向的深度。水平磁场为:

$$F_x = \frac{\mu_0}{4\pi} \left[M_1 \ln \frac{[x^2 + (h+t)^2][(x-w)^2 + h^2]}{[x^2 + h^2][(x-w)^2 + (h+t)^2]} - 2M_1 \left[\tan^{-1} \frac{x}{h} - \tan^{-1} \frac{x-w}{h} - \tan^{-1} \frac{x}{h+t} + \tan^{-1} \frac{x-w}{h+t} \right] \right] \quad (7.24)$$

最后两个方程可以写成:

$$F_z = S_1 M_1 + S_2 M_2 \quad (7.25)$$

$$F_x = S_3 M_1 - S_4 M_2 \quad (7.26)$$

因为异常场很小, 所以总场异常为:

$$\Delta F = \cos i \sin(D - \alpha) (S_1 M_1 + S_2 M_2) + \sin i (S_3 M_1 + S_4 M_2) \quad (7.27)$$

这里 D 和 i 分别是轴向偶极子磁场的磁偏角和磁倾角。

磁化强度连续变化的简单情况, 通过分析可以得到磁场值。考虑具有正弦曲线变化的垂直磁化强度, 波长为 λ , 幅度为 M 的沿 x 轴方向平行延伸的水平层。假设磁化层厚度为 a , 上界面深度为 h 。那么, 在点 $(x, 0, 0)$ 处的垂直磁场为:

$$F_z = \frac{\mu_0}{2} M_1 (e^{-ka} - e^{-k(h+a)}) \sin(kx) \quad (7.28)$$

这里 k 是波数 $(2\pi/\lambda)$, 磁场的变化幅度为磁化强度的幅度乘以 $a/2$, 该式子包含了两个指数项。把它们放在一起就构成了所谓的地球滤波器 (Schonck and McCann, 1972)。当 $k \rightarrow 0$ 时其值为零, 当 k 很大时其值约等于零。如果磁化强度由不同波数的项给出, 那么通过迭加方程 (7.28) 就可以得到磁场值。

当异常的长宽之比接近于 1 时, 通过比较磁场等值线图和由自然地形体推出的等值线图就可以得到场源体的近似大小和埋藏的深度 (Koenig et al., 1981)。然而, 在大量实际应用中很少用这种简单形状的分布方法, 因为已经有了可以快速计算任意形状磁体的反式计算机软件。

7.6.3 任意形状二度体的总场异常

深部的大部分和大陆边缘的许多磁异常是线性的, 其长宽比通常超过 5:1。因此, 场源体可以假想为在异常方向上无限延伸的一维多边形体。计算此群场源磁异常最通用的方法是由 M. Takami and J. R. Beitzler (1984) 所设计的算法。为了计算图 7.19 坐标中沿 x 轴无限延伸的多边形在点 $(0, 0)$ 处产生的磁异常, 首先考虑一个体单元 $\Delta x \Delta y \Delta z$, 为一个横截面为 ABCD 无限长的磁棒。在点 $(0, 0)$ 处, 磁位为:

$$U_m = - \left[\frac{M_x \cdot x + M_y \cdot y + M_z \cdot z}{(x^2 + y^2 + z^2)^{3/2}} \right] \Delta x \Delta y \Delta z \quad (7.29)$$

这里 M_x , M_y 和 M_z 是在 x 、 y 和 z 方向上待求的磁化强度分量。

体的磁位可以表示为:

$$\begin{aligned} U_m &= \Delta x \Delta z \int \frac{M_x \cdot x + M_y \cdot y + M_z \cdot z}{(x^2 + y^2 + z^2)^{3/2}} \cdot dy \\ &= 2 \Delta x \Delta z \frac{M_z \cdot x + M_y \cdot z}{x^2 + z^2} \end{aligned} \quad (7.31)$$

垂向磁场强度 ΔZ 为:

$$\Delta Z = - \frac{\partial U_m}{\partial z} = 2 \Delta x \Delta z \frac{2xzM_z - M_y(x^2 - z^2)}{(x^2 + z^2)^2} \quad (7.32)$$

x 方向上水平磁场强度 ΔX 为:

$$\Delta X = - \frac{\partial U_m}{\partial x} = 2 \Delta x \Delta z \frac{(x^2 - z^2)M_x + 2xzM_y}{(x^2 + z^2)^2} \quad (7.33)$$

在图 7.19 中, 对方程 (7.32) 和 (7.33) 沿 x 轴进行积分可以得到无限薄板的 ΔZ 和 ΔX , x 由 x 变化到无穷大。

$$\Delta Z = 2 \Delta z \frac{M_z \cdot z - M_y \cdot x}{x^2 + z^2} \quad (7.34)$$

$$\Delta X = 2 \Delta z \frac{M_x \cdot x + M_z \cdot z}{x^2 + z^2} \quad (7.35)$$

为了写出群体 KMS 的磁场, 要对方程 (7.34) (7.35) 沿着 KS 的深度 z 和 z_0 之间对 z 进行积分,

$$\Delta Z = \int_{z_0}^z \frac{M_z \cdot z - M_y \cdot x}{x^2 + z^2} \cdot dz \quad (7.36)$$

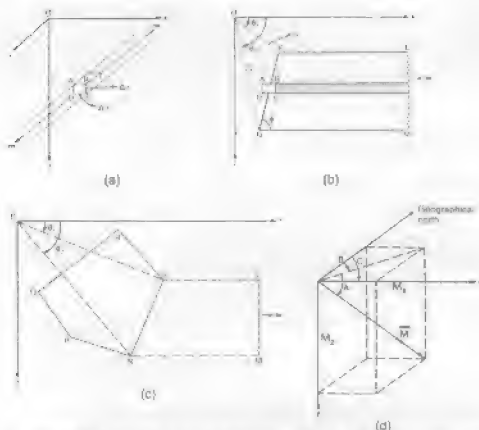


图 7.19 无限延伸薄导体多边型场强的计算。无限导体 (a) 和薄板 (b) 的几何形状。 (c) 中所示为支杆测量的多边形几何形状。磁化强度各个分量之间的关系在 (d) 中给出 (据 Tajiri and Heitzler, 1964)。

对于 KN 上的任何一点，

$$x = (x_1 + z_1 \cos \phi) - z \cos \phi$$

$$\Delta Z = 2 \sin \phi [M_1 (\theta_2 - \theta_1 \cos \phi + \sin \phi \log \frac{r_1}{r_2}) - M_2 (\theta_2 - \theta_1 \sin \phi - \cos \phi \log \frac{r_1}{r_2})] \quad (7.37)$$

也可以写成：

$$\Delta Z = 2(M_1 \cdot Q - M_2 \cdot P) \quad (7.38)$$

这里：

$$P = \frac{z_{21}^2}{z_{21}^2 + x_{12}^2} (\theta_1 - \theta_2) + \frac{z_{21} x_{12}}{z_{21}^2 + x_{12}^2} \log \frac{r_2}{r_1}$$

$$Q = \frac{z_{21} x_{12}}{x_{21}^2 + x_{12}^2} (\theta_1 - \theta_2) + \frac{z_{21}^2}{x_{21}^2 + x_{12}^2} \log \frac{r_2}{r_1}$$

在此使用了变量符号：

$$x = x_1, x_2$$

$$z_{21} = z_2 - z_1$$

$$r = (x, y, z)$$

$$r = (x^2 + y^2 + z^2)^{1/2}$$

相似地，柱体水平磁场 X 为：

$$\Delta X = 2(M_z \cdot P + M_z \cdot Q) \quad (7.39)$$

方程 (7.38) 和 (7.39) 中的 P 和 Q 是图 7.19c 中的坐标系很容易计算出来。 M_x 、 M_y 和 M_z 之间的关系可以参考图 7.19b 给出。 M 由给图坐标系及地理北极定义。 A 是 M 向下为 z 轴的倾角， B 是 M 水平投影和地理北极之间的夹角。在 $x-y$ 平面上， z 轴在地理北极之间的夹角为 C ， B 和 C 都是从地理北极顺时针算起。 M_x 和 M_y 可由下式给出：

$$M_x = M \cos A \cos(C-B) \quad (7.40)$$

$$M_z = M \sin A \quad (7.41)$$

如果多边形体是由于地磁场感应磁化，那么 $M = \chi F$ ， A 是磁倾角， B 是磁偏角（即分别是 I 和 D ，见图 7.1）。

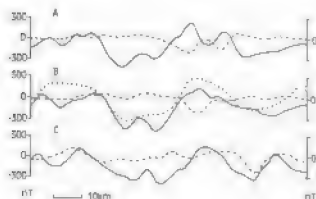
为了得到多边形体截面 $XYQPR$ 的磁异常，需要计算沿 x 轴方向无限延伸柱体如 $KLMN$ 产生的磁异常。绕多边形场值的系统叠加，就可得到点 $(x, 0, 0)$ 处的总异常，只要按照 θ 角增大或减小所指示的那样对每一个柱体的奇磁符号作出合适的规定即可。

如果总场异常 ΔF 与地磁场 F 相比很小，那么

$$\Delta F = \Delta Z \sin I + \Delta X \cos I \cos(C-D) \quad (7.42)$$

为了求出多边形体截面上的总场异常，需要连续移动原点计算 x 轴上其端点的场值。计算出总场异常，然后与观测值进行比较。通过变化场源体参数，不断重复这个过程直到其最小。乘积差得到最合理的地质模型。

(a)



(b)

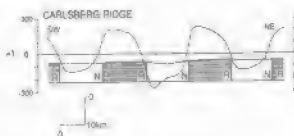


图 7.20 (a) 印度洋西北部 $5^{\circ} 25' N$ 、 $61^{\circ} 45'$ 上靠近 Carlsberg Ridge 脊岭上一条航迹 A、B、C 的观测和计算磁异常。实线表示观测异常；虚线表示均匀正向磁化（有效磁化率为 0.0131 ）的计算异常；点线表示假设由正向和反向磁化 20kg 变体块体构成的计算异常。在计算异常时假设地形变体水平无限延伸。Carlsberg 脊岭由简单球体模型计算出来的磁异常。这部分脊岭位于磁赤道的南部，因此正向磁化基岩产生负异常。陡峻的磁场梯度是由于正向和反向磁化块体的变换引起的（据 Vine and Matthews, 1963）。

度体模拟已经广泛应用于海洋线性磁异常研究, 对我们认识地质时代的海洋演化方面起了关键作用。在 20 世纪 30 年代早期, F. J. Vine 和 J. H. Matthews (1963) 就发表了西北印度洋磁异常的经典计算成果。图 7.20 显示了在 Far Isberg 奇峰上由 HMS Ocean 记录的磁场变化情况。虚线为假设海底被均匀磁化情况计算出来的磁异常。很明显磁异常并不能够由海底地形来解释。但是, 通过在异常的地方插入岩地磁场反方向磁化的岩块, Vine 和 Matthews 表明计算磁场能够重建观测场的梯度和大小。这个结果已经被成功的应用到了许多领域。

7.6.4 三度磁性体的磁异常

三度体的总场异常的计算方法已由 V. Vacquier (1963), M. Talwani (1965) 等推导出来。它们构成快速计算的基本方法, 用于研究线性走向的磁性体, 如许多孤立海山和深藏火成侵入岩体。

下面考虑图 7.21 中的磁性体 Q, 如果 U 是磁性体在点 $(0, 0, 0)$ 处的磁位, 那么磁性体 Q 的磁场强度的三个分量分别为:

$$\Delta X = \iiint - \frac{\partial U}{\partial x} dx dy dz \quad (7.43)$$

$$\Delta Y = \iiint - \frac{\partial U}{\partial y} dx dy dz \quad (7.44)$$

$$\Delta Z = \iiint - \frac{\partial U}{\partial z} dx dy dz \quad (7.45)$$

在此对磁性体 Q 进行三重积分。利用方程 (7.29) 关于体元 $\Delta X \Delta Y \Delta Z$ 的磁位表达式, 沿 x, y, z 方向对其求导:

$$\Delta X = M_x N_1 + M_y N_2 + M_z N_3 \quad (7.46)$$

$$\Delta Y = M_x N_2 + M_y N_4 + M_z N_5 \quad (7.47)$$

$$\Delta Z = M_x N_3 + M_y N_5 + M_z N_6 \quad (7.48)$$

这里:

$$N_1 = \iiint \frac{3x^2 - R^2}{R^5} dx dy dz, N_2 = \iiint \frac{3xy}{R^5} dx dy dz;$$

$$N_3 = \iiint \frac{3xz}{R^5} dx dy dz, N_4 = \iiint \frac{3y^2 - R^2}{R^5} dx dy dz;$$

$$N_5 = \iiint \frac{3yz}{R^5} dx dy dz, N_6 = \iiint \frac{3z^2 - R^2}{R^5} dx dy dz$$

通过双重积分解析解和重积分数的解就可以计算出这个三重积分。为了进行积分, 需要把磁性体分成多个均匀磁化的多边形薄板或者矩形柱。第一步如图 7.21 所示。在每一个薄板上进行双重积分, 再沿着 z 轴进行数值积分。如果上述每一块体元积分的面积部分表示为 S_1, S_2, \dots, S_n , 这样:

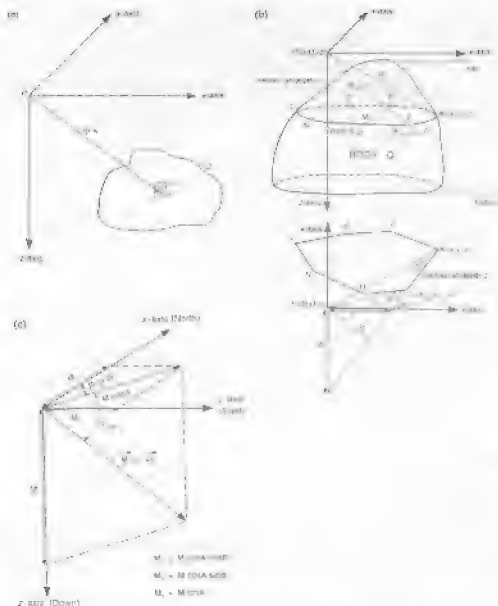


图 7 (a) 一物体与轴引起的磁异常计算。(b) 文中所述的体 Q 与 x, y, z 坐标系的关系。(c) 由余矢和表示磁体深度曲线。(d) 磁化强度向量 M 的分量 (据 Tarantola, 1987)

$$S_z = \iint \frac{3x^2 - R^2}{R^5} dx dy \quad S_y = \iint \frac{3xy}{R^5} dx dy \text{ 等}$$

这些积分就由薄板坐标系计算求出,就可确定 S_x 到 S_z 的值, x 值的正负为磁性体的上下。

由磁体的磁矩等值线和磁化强度分量 M_x, M_y, M_z 可以计算出任意点的一个磁异常分量,再用前面的方程 (7.200) 计算出总异常值。如果磁性体仅仅是被磁体替代,那么 $M = \chi F$ 。

方程 (7.16), (7.18) 中的系数 M_x, M_y 和 M_z 依赖于磁性体的几何形状和地磁场方向。一旦磁场方向的这些系数计算得到,则对不可大小和方向的磁场引起的磁异常可以通过迭代来得到。

而且, 如果已知总场异常和磁性体的形状, 那么可以用最小二乘法求得 M , θ , ϕ 。

磁体模拟主要用于由水深和其相应的磁异常确定海山磁化方向, V. Kaperov (1963) 和 M. L. Richards *et al.* (1967) 是这种方法的先驱者。假设一个均匀磁化场体计算的磁化强度异常值计算和观测磁场之间具有最小二乘偏差。该结果给出海山形成时磁化磁场的平均方向, 因就在轴面地心偶极场中获得磁极的假定下, 可以推断出古地磁极的位置。当然这种方法并不能提供任何经度方面的信息。

图 7.22a 和 b 展示的是太平洋中部, 夏威夷海面的一个海山上的水深和地磁场总场强度的等值线图, 没有进行正常场改正。与地磁场的倾角和偏角分别为 32° 和 11° 。在海山顶部, 磁异常约有 300G (取海底的磁界与模拟海磁具有相同深度) 图 7.22c, 观测场与计算场之间的最小二乘拟合给出磁化强度平均偏角为 18° , 偏角为 190.8° , 大小为 3.8 Am^2 。虚拟地磁极位于 66.6° N 和 340.1° E 。模拟偶极地磁场, 它相对于 80° N , 74° E 的区域地磁极的偏移率表示该海山形成于磁极晚期南 10° 的地方, 而且以较向北移动了 1700km。

许多海山显示了复杂的磁性特征, 它们似乎源于至少相隔一个地磁极反转时期的火山活动, 并以磁化及结晶磁化形式对海面磁异常有所贡献 (Sawyer *et al.*, 1980; McNitt, 1986)。最小二乘拟合常被大偏差, 必须引入其它方法分离均匀和非均匀磁化的磁异常。I. A. H. Jelinek 和 R. L. Parker (1987) 通过非均匀磁化部分极大化, 分离均匀和非均匀磁化两部分, 然后确定非均匀磁化程度。这种非参数方法提供了地磁极位置的可信度。

7.7 反演解释

7.7.1 线性反演问题

通过求解满足观测磁场的积分方程可以解法得出海山目标的几何形状和磁化强度的问题 (Bott, 1967; Parker, 1974)。如果已知磁性体的形状和磁化方向, 那么磁化强度分布的计算就是解线性积分方程, 因为磁异常和磁化强度是线性相关的。如果已知磁性体的部分形状和磁化强度, 那么必须求解非线性积分方程找到未知界面。

考虑图 7.23 中的球状场体磁异常。磁化方向平行于 $\mathbf{m} = m_1 \cos \theta_1 \mathbf{e}_1 + m_2 \sin \theta_1 \mathbf{e}_2$, 所谓的磁异常分量在 $(x \cos \theta_1, x \sin \theta_1)$ 方向上, 即位于 $x-x'$ 平面上的矢量。设 (x, y) 是磁性体上或内部点的 x 坐标, z 为埋藏的深度为 $z = z_1(\xi)$ 和 $z = z_2(\xi)$ 。磁化强度 $M(x)$ 为 x 的函数。假设给定磁性体的形状, 要求解 $M(x)$ 。磁异常 $\Delta F(x)$ 可以用下式表示:

$$\Delta F(x) = \int_{z_1}^{z_2} M(\zeta) K_r(\eta_1, \eta_2, \beta(x-\zeta)) d\zeta \quad (7.49)$$

这里 K_r 为产生异常的核函数, K_r 取决于 η_1 , η_2 和 $\beta = \eta_1 + \eta_2$ 。对于这个例子, K_r 和 M 有关, 因此需要解一个线性积分方程; M. J. E. Bott (1967) 提供了一种解法, 把磁性体分成有限的小单元, 每一个小单元都均匀磁化, 磁化方向已知。假设有 p 个单元, 在 n 个采样点上记录的磁异常为 $F_i(x)$, $i = 1, 2, \dots, n$, 这里 $n \geq p$ 。方程 (7.49) 的积分可以用下面的有限项相加得到:

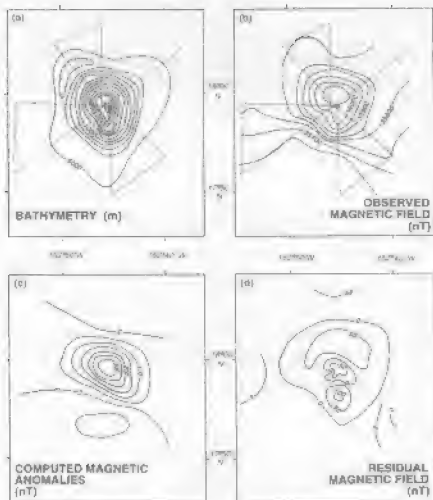


图 7.22 (a) 沿横切到洋中太平洋 53.0° 海山的磁异常。图 (c) 中的磁异常经偏角为 199.8° ，倾角为 -18.9° 方向的磁化矢量计算得到磁化强度为 3.8 A/m 。该磁化矢量的古地磁极位于 56.3° N , 150.1° E (据 Promentel et al., 1970)。经美国地球物理联合会允许后引用。

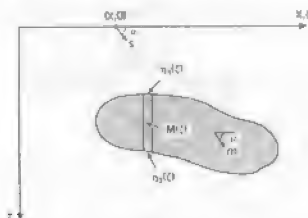


图 7.23 用以说明磁化强度分布的任意几何形体 (据 Bost, 1967)。经 Blackwell Scientific 允许后引用。

$$\Delta F_i = \sum_{j=1}^q K_{ij} M_j (i=1,2,\dots,q) \quad (7.50)$$

这里 K_{ij} 是第 j 个单元在第 i 个点上产生的磁异常, 假设磁化强度是均匀的, K_{ij} 是第 j 个单元, 是第 i 个单元(场点)和磁化方向的函数。当 $q=p$ 时则相当于解 p 个线性方程, 用矩阵表示为:

$$\mathbf{M} = \mathbf{K}^{-1} \Delta \mathbf{F} \quad (7.51)$$

如果 $q > p$, 用最小二乘法解积分方程为:

$$\mathbf{M} = (\mathbf{K}^T \mathbf{K})^{-1} \mathbf{K}^T \Delta \mathbf{F} \quad (7.52)$$

这里 \mathbf{K}^T 是 \mathbf{K} 的转置。

假设磁性体分布在一个固定深度的平面上或位于深度 z_1 和 z_2 之间。矩磁方法很容易应用到不规则磁性体上, 它可被分成许多小的单元。

Blackwell 应用矩磁法研究了太平洋东缘 Juan de Fuca 海岭的磁化强度分布, 产生的磁场为线性磁异常(图 7.21)。假设磁性体由一维体组成, 这些一维体不是限定深度在 3.3km 和 5.0km 之间的地壳层(大洋层 2)就是在 5km 到 11km 之间的中深层(大洋层 3)。矩磁法可以从每隔 2.1km 磁化的高磁异常值中求出每个块体的磁化强度(图 7.21)。在大洋层 2 中 2.1km 宽的所有块体的磁化强度分布。块体的磁异常值由 7.6 节中所述的二维法求解, 结果与矩磁法非常接近。由于异常值的对称性反映了磁化强度分布的对称性。

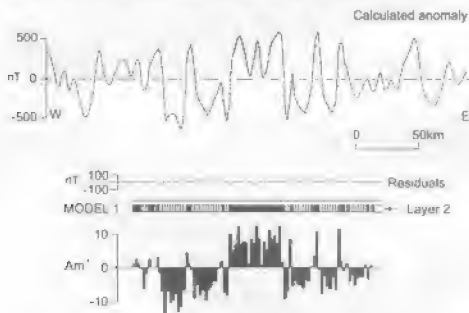


图 7.21 利用矩磁法和对称性对 Juan de Fuca 海岭的磁异常剖面计算所得的大洋层 2 的磁化强度分布用于模型假设的块体宽度为 2.1km。点表示的是应用二维法计算的磁异常(据 Blackwell, 1967)。经 Blackwell Science 允许后引用。

1. Bonduradsson (1987) 用磁场异常的二维和三维傅里叶变换得到磁化强度分布。假设磁化强度由一个标量函数在一个高维量的乘积组成, 他导出了磁化强度和异常频谱之间的一般关

系。在西北印度洋 (Gulf of Bengal 海峡) 的磁异常观测值的一维谱谱和交叉谱表明磁异常不能和结壳均匀磁化的地形, 这和早期 El Zafzafi 和 O. B. Matthews 推测的结果 (见 7.3 节) 一致。水深和磁异常 (维纳谱上) 的相关性不足表明海底有正向和反向磁化块体共存, 一个岩体产生正磁化另一个岩体产生负磁, 结果导致整体海底相关性低。与地形相关的磁异常曲线部分和与磁化岩体相关的磁异常部分在频谱曲线中明显是被分开 (Gardiner et al, 1985) 指出地槽岩体的磁化强度 $\sim 5.5 \text{ a.u.}$ 比一般岩体的平均值大得多, 这个结论在其它地区已经被证实。

7.7.2 非线性最优化技术

分析海上磁场空间变化的一个有效途径是线性和非线性最优化方法相结合, 给出观测异常和计算异常之间的最佳拟合。假设一个均匀磁化岩体上一点 (x, y) 处的磁异常为 $\delta F(x, y)$ (图 7.25)。如果区域磁场能用一个二次方程式来表示, 则:

$$\Delta F(x, y) = M_1 f_1(x, y, L, d) + M_2 f_2(x, y, L, d) + a_0 + a_1 x + a_2 y^2 \quad (7.53)$$

这里 f_1 和 f_2 分别是 x, y 的非线性函数, 岩体的中轴投影和观测点之间的距离为 L , 岩体厚度为 d , 岩体地面深度为 z , M_1 和 M_2 分别是 x, y 平面上磁化强度的水平和垂直分量 (Ofoegbu and Bott, 1985)。为了求出未知量, 需要知道若干个点上的磁异常。用八个参数表示异常的方程组的最小解用观测值和计算值之间的平方和 (目标函数) 最小化。非线性目标函数用非线性最优化方法处理。例如用前章几何体解法和解方程 (7.1) 和 (7.2) 等参数地质上合理的估值。这样可得非线性参数 M_1, M_2, a_0, a_1, a_2 和目标函数就是最佳拟合值。因此, 非线性最优化函数曲线, 直到最小为止, 可以逐一对目标函数求导, 找到最小值的拟合曲线。这是一种有效的拟合技术, 只要注意保证目标函数不落入局部最小的陷阱。

表 7.5 非线性最优化的结果 (据 Ofoegbu and Bott, 1985)

剖面	岩体中部的深度 (km, 海平面以下)	岩体宽度 (km)	磁倾角 ($^\circ$)	磁化强度 (A/m)
A-A'	0.5	1.19	-74	0.46
B-B'	0.48	1.03	-86	0.64
Q-Q'	1.27	1.14	-99	0.51
G-G'	1.17	1.45	-77	0.33
I-I'	0.47	1.19	-78	0.51
K-K'	0.44	1.13	-100	0.56

Ofoegbu 和 M. R. P. Bott (1985) 已能用非线性最优化方法得到了七个岩体的磁化, 就是 M_1 和 M_2 岩体磁化强度 20 a.u. 的范围内, 中图 (图 10) 所示中曲线拟合异常。图 11 所示为 M_1 和 M_2 岩体产生的磁场和用非线性最优化方法计算的异常。由该剖面给出的各个参数列于表 7.5。岩

地磁都在海底以下 0.1 km 和 1.1 km 之间。大的磁异常表示此处是在现代地磁场的反方向上弱磁化, 强的磁化强度 $\sim 0.5 \text{ A} \cdot \text{m}^{-1}$ 说明是由基性成分组成。

7.7.3 磁异常和海底地形

凡其当磁场由深施仪器测量记录时, 磁化的地形对总场异常的贡献可能混入。在推断海底磁化强度分布方面, 快速傅里叶变换法应用于处理线型海底地形 (Parker, 1973; Parker and Huestis, 1974)。可允许磁化强度在水平方向上变化, 不能沿垂直方向上变化。磁化方向都被认为是稳定的, 但是正的和负的磁化都可能存在。例: 假设磁化与的海底是常数, 它前面由水深值定义。如果 ΔF 是磁异常, 那么:

$$F(\Delta F) = EC_0 \sum_{n=1}^{\infty} \frac{|k|^n}{n!} F[M(x) \cdot m(x)] \quad (7.54)$$

这里 $F(\Delta F)$ 是 ΔF 的傅立叶变换, E 是地球磁偶极矩 (见 7.6.1 节), C_0 是与磁化强度相关的场值幅度因子, k 是波数, $F[M(x) \cdot m(x)]$ 是在点 x 处关于海底深度 $m(x)$ 和磁化强度 $M(x)$ 组合的傅立叶变换。磁化方向和磁场方向均取垂直方向; 如果两者不是这样, 异常值需要校正。磁化强度傅立叶变换 $F(M)$ 由下式给出:

$$F(M) = \frac{F(\Delta F)}{EC_0} - \sum_{n=1}^{\infty} \frac{|k|^n}{n!} F[Mh^n] \quad (7.55)$$

M 可以用迭代法从 ΔF 中推知。首先由假设的 M 值求出 $F(M)$, 由 $F(M)$ 给出新的 M 值代入方程 (7.55), 这样反复计算直至收敛。然而, 结果并不是唯一的。B. L. Parker 和 S. F. Huestis (1973) 定义了一个非唯一性的定理来证明, 该函数叫磁化率因子, 是不产生外磁场的磁化强度, 分布于随海底地形起伏深度不定的磁层之中 (图 7.56)。该磁化率因子的任何部分可以从给定的磁化强度中增加或减去而不影响外磁场。Parker-Huestis 方法已被 K. C. Macdonald 等 (1980) 推广到三度体中。

7.7.4 磁力和重力联合解释

对于同一个区域, 包有会讨论重力异常和磁异常是否由同源物质引起。任意形状场源体外的一点, 其磁力位 U_m 和重力位 U_g 可以通过泊松方程联系起来:

$$\nabla^2 U_m = -\frac{M \nabla^2 U_g}{G \rho} \quad (7.56)$$

这里 ρ 是场源密度, M 是磁化强度, G 是万有引力常数, 场源体内任一点的泊松矢量 $\nabla^2 U_m / \rho$ 是不变的。

方程 (7.56) 是解算由同源体重力异常、磁异常泊松矢量和从磁方数据计算的重力异常的基礎 (Bott and Ingleton, 1972)。这方面的运算, 如将法尤其适用, 一般重力异常和磁异常通过同

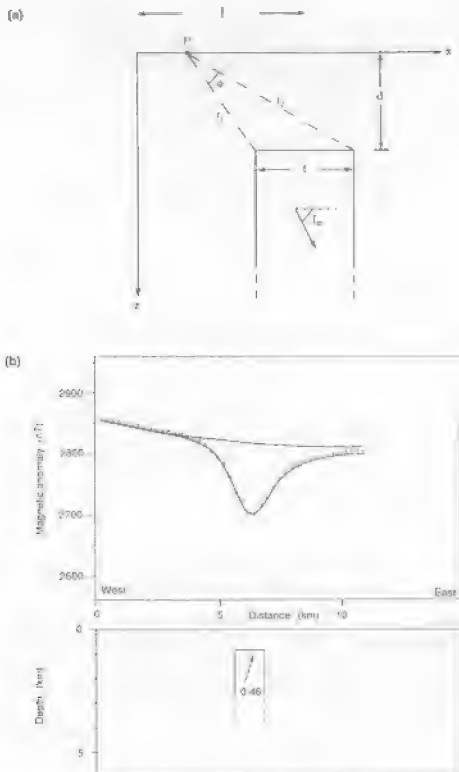


图 7. 25 A/m 的均匀磁化垂直岩场的横剖面, P 点为磁异常观测点, I 是磁化矢量倾角. (b) 在图 7. 16a 中剖面 $A-A'$ 垂直岩场上的计算磁异常. 用一次和二次场确定最佳拟合二次场. 空心圆表示观测异常. 与观测异常点相连的连续曲线是计算异常曲线. 图中也标出了最佳拟合区域场. 给出的深度相对于海面以上 300m 的观测平面. 箭头所示为磁化方向. 磁化强度单位 A/m 据 Orloughu and Bott, (1985).

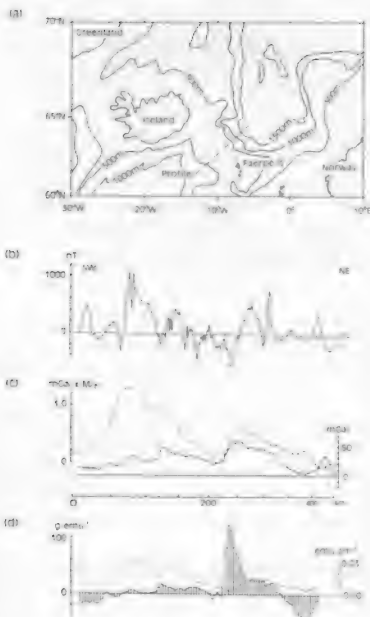


图 17. 阿育亚直于法第一航路附近走到的加 2 号海底磁异常带之剖面图。(a) 大西洋底磁异常带位置 (据 Smith et al., 1972); (b) 海底磁异常; (c) 磁异常带上的磁异常 (曲线) 和磁异常带 (虚线); (d) 海底磁异常带的磁异常带的温度。和磁异常带 / 磁异常带的 σ / μ (据 Bott and Ingles, 1972)。

第八章 热 流

8.1 引言

来自于地壳内部的热能可以通过传导、对流和辐射的方式传递到海底,其中传导和对流是主要的热传递方式,而辐射由于热物体处于真空,因此在海底的“空温度”下(1~2K)就不那么明显了。在研究热流过程中,最理想的是能够测量到传导和对流过程中的热能损失。由于在实际上测量流体中的热传递很困难,所以地热流的大小是用热导部分 Q 来表示的。 Q 是温度垂直梯度 (dT/dz) (设 z 向下为 z)和海底热导率 K 的乘积:

$$Q = -K \frac{dT}{dz} \quad (8.1)$$

符号说明热流的传播方向是 z 轴的正方向。 Q 通常以毫瓦每平方米(mW m^{-2})来表示,它的全球平均值是 80 mW m^{-2} ,表示全球表面热流损失为 $1.6 \times 10^{16} \text{ W}$ 。一个地区热流通过对流部分可以通过 Q 的垂直值估算单一几何构造物,诸如假定热流估算海底基岩的冷却板(和热流体)的热输出值之差来估计。

因为海洋的构造作用主要是由热驱动的,所以地热流的测量为寻求解释洋底及其沉降时间演化的模型提供了重要的边界条件。我们已经发现浅海或深部的区域热变化与地热过程密切相关,而且我们已经知道热平衡的改变引起沉降与隆起消亡面热流的束机制。这也使得我们能够对地球内部的热平衡做估计。而温度正是我们理解岩石作用过程和如大陆构造和岩浆产生的关键。大陆边缘的热流也非常重要,因为它与沉积盆地的演化和新岛的成熟与迁移关系十分密切。

本章我们主要描述海洋中地热流的测量方法以及影响其变化的因素。我们将考虑在空间和时间上都引起热流值快速变化的区域性因素。这些知识将为我们进一步讨论与海洋演化有关热流奠定基础。

8.2 海洋中热流的测量

8.2.1 地温梯度的测量

海底以下的地温梯度是在海底沉积层顶部几米内通过岩芯取样仪器在钻孔中量测的。早期的测量使用温差电偶,后来又用更加稳定且具有较高的抗温系数的热敏电阻来代替,其系数通常为 $200 \sim 1000 \mu\text{V}/^\circ\text{C}$ 。最初用探针头由于比较稳定用的比较多,但它的敏感性不太好。沉积层中浅层的地温梯度一般用两种仪器来测定。第一种是由Edward Bullard(1954)发明的,该仪器主要由两个安装在中空不锈钢管中,相隔固定距离的热元件组成,其探管总长为 $2 \sim 5 \text{ m}$,直径为 $20 \sim 40 \text{ mm}$,它附有一个装着记录仪的重物,其用绞车沉放到海底。温度差作为时间的函数在

探头沉入海底前，在海底之上的期间及上石之后的时间内被记录下来。温度平衡时的样品值则通过外热来测量。该仪器在一堆小重量船上是可以方便地使用，但最早温度记录 30 分钟的时间来避免由摩擦产生的热。除了记录时间长以外，该仪器还有一个缺点就是对样品桶桶中微弱的沉积物样品造成需要另外单独取样的必要。后来又设计了一件与之相配套的 1-2 英寸取样器。

第二类传感器由 M. Faling 等人设计。将热敏电阻接点包塑后安装在垂直或倾斜取样器壁上并位于十厘米处上（如图 8-1 和 8-2）。每个热敏电阻距取样器壁的距离大约为 10mm，其热敏电阻的头部方向采用 40mm。这种仪器使用 100 Ohm 热敏电阻通过热干能（Lowndes et al., 1987）。热敏电阻组成是惠斯桥电路的一部分并与安装在取样器头部的一个压力传感器内的电液和记录器相连。海底温度是通过记录到的变化来计算的。通常，在不受探头插入干扰时，地温梯度可以在仪器插入海底后 1 分钟内获得。尽管 Faling 型仪器在原理上操作更为简单，但它的主要优势在于可以在热敏元件作用区外进行沉积物采样。重的取样器头还可获得更大的插入深度。后来的仪器还使用了高分辨率的数字记录与声学测量技术从海面监测原位的地温。

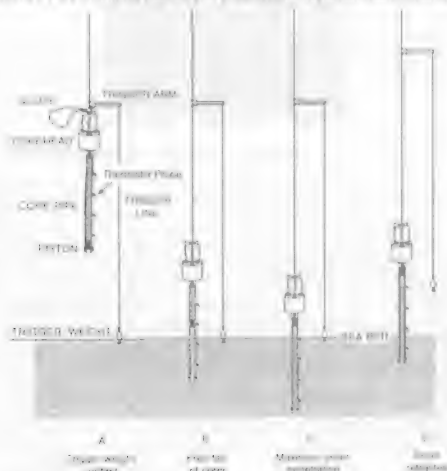


图 8-1 利用重力取样器测量海底温度。把在取样器上的热敏电阻与安装在取样器头部的记录仪相连。当重力驱动探头触到海底时，热敏电阻上的电液记录器开始记录探头通过时测得的取样值。直到样品桶上落基达底部，经过微秒管或电液取样器头将样品点取时，取出样品桶并落基于底部时，取样品桶的沉基使得取样器插入沉积层中。用这种方法可以使取样品桶插入沉积层以下 30 多米(据 Ewing 等, 1976 修改)。

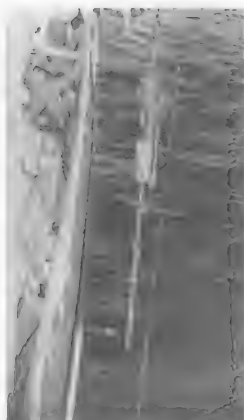


图 8-2 在深度约 1000 cm 处用 PVC 材料制成的垂直温度仪。它是有绝缘层的和用流沙密封的埋样器。

为了避免附件一流单节测量后都起相同的热流损失, 后来又发明了本探针仪器用于该物的区域附件 (Van Bogaert and Anderson, 1972; Henderson *et al.*, 1979)。从单一传感器与深海上直接连接的, 从一十厘米有记录位和电路的压力值中推出在沙的与 60mm、长度约 1m 的牢固附件。传感器阵列就安装在距流沙箱和 2.5m 内附件底部相称的流沙的 60mm 处。在此范围内, 探针插入沉积物后即会牢固附件使用的数十秒在人的 20 分钟也是不会影响附件传感器的。因此在此段时间内 (一般是 15 分钟) 就可获得非稳态的地温梯度。目前已经成功地用这种仪器在一次沉积中测量到了 15 个站位以上的地温梯度值。

由于深海每个罐都处于稳态平衡态, 所以也可以使用浅的潜水测量。对于具有几米水深有沉积物覆盖的海域利用传统的调查船已进行了几百次的调查。(3.4 节中) 但测量结果如图 8-3 所示, 这里测量的平均地温梯度是 0.1°C/m。部分测量值来自自建的浮体流和深潜器的测量结果。深潜器的调查包括于 1965 年在 Juan De Fuca 海湾进行的一次调查, 在那里 Klein 将一个人工合成的测量器吊起放在玄武岩路面上, 用笨测量没有沉积物覆盖区域的地温梯度 (Johnson and Johnson, 1966)。在 Grosser (Schlanger 和 Johns Resolution) (参见第十一卷), 钻探船钻出的钻孔中也进行了深海底地温梯度的测量。在美国架和大陆架, 由于海洋底部水流的短期变化和海床底部移动对海底流以地温梯度的干扰使得从浅深取样不能得到反映深部热传导数据, 所以深钻孔还是非常有必要的。幸运的是, 由于温度是评估深部化合物降解的一个非常重要的因素, 在许多大陆架中都进行了大量的温度测量 (Vasquez, 1981)。

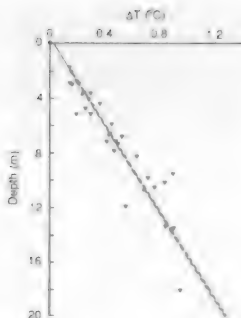


图 8-1 11 处测得的温度分布图, 该图对于海底的温度与深度的关系未表示 (Lamont 等, 1960), 经美国地球物理联合会允许后引用。

8.2.2 热传导的测量

沉积层和岩石的热传导系数 k 可以用好几种方法来测定。

8.2.2.1 Ratcliffe 的加热平板法

此方法由 R. B. Ratcliffe 发明 (1963), 是用来测量软沉积层的传导率。测定在绝缘胶圈中的圆盘状样品放置在一个含电热器的小型隔热板 and 两个水制冷板之间, 周围用玻璃料灌填至以减小边缘部分的热损失。平板温度用小温差电偶来测量。样品的传导率由达到热平衡时通过样品的温度差来计算, 另外还要考虑对通过边缘面而流失热量的微小校正。此种方法很慢, 通常每个样品的测量时间都要超过一小时, 而且较严重的样品扰动现象也是不可避免的。

用该仪器测量获得的海洋沉积物的热传导率值列于表 8-1 中。由于该仪器温度较低和压力较大, 因此测得与一些小的校正。测得测量所得值比实验室测量值要低 3%。当温度从 25°C 变化到 35°C 时, k 值降低约 5%; 而深度每增加 1800m, k 值在压力增加使 k 值增加 1%。

8.2.2.2 Birth 分离法

当可以取得岩芯的岩芯后, 热传导系数就可以用图 8-46 所示的分离法来测量。使用电加热器加热土样直径为 40mm 厚 5mm 的圆盘状岩样放置在两块同样直径的铜块之间, 其上下是热流计和热传导系数的铜块组成, 外面再用两块铜皮覆盖。上述堆栈顶部的加热器在加热的时候底部用热流计系统加以冷却。整个装置都要安置在液体中以保持有良好的热接触, 并且用和岩样等面积的金属罩保护。用温差电偶来测量通过岩样和两块铜块的温度。因为通过堆栈中各个部分的

热量是相同的, 若样的地温梯度与测热装置圆盘的平均地温梯度的比值与热传导系数成正比。用这种装置测得的深海玄武岩和其他的两种岩石的数据列于表 8.2.2 中。

表 8.1 海底沉积物的热导率测量值

岩性/采样点	测量方法	热导率(W/m·℃)	参考文献
钙质软泥			
东北大西洋	稳态法	0.93-0.97	Bullard and Day (1961)
太平洋	探针法	1.00	Von Herzen and Maxwell (1959)
粘土质钙质软泥			
太平洋	探针法	0.97	Von Herzen and Maxwell (1959)
钙质/硅质软泥			
太平洋	探针法	0.87	Von Herzen and Maxwell (1959)
钙质软泥			
金士山度 (Kingsman Shoal)	探针法	0.78-1.33	Johnson et al. (1990)
深海粘土			
太平洋	稳态法	0.72-0.99	Bullard and Day (1961)
黑泥			
地中海	稳态法	0.87-1.00	Bullard and Day (1961)

8.2.2.3 Sass-Lachenbruch-Munro 综合单元法

如果只有一小块样品, 可以将未饱和的样品装入探针里, 并以分毫毫米速率测量这种固液混合物的平均热传导系数。这是由 M. Sass 等 (1971) 最先使用的一种方法。有了流体的热导系数, 就可以计算岩样的平均传导率。

8.2.2.4 探针法

由 Von Herzen 和 A. L. Maxwell (1959) 发明了一种被广泛使用的技术, 在岩石回收到甲板以后很快就能测量热导率。具有热电偶和一圈连接低电压电源线的探针插入岩石内部, 当样品以恒定的速率在电线中散失时就可记录其温度值 (图 8.6)。用连续加热法测量岩石物质的热导系数很微小。理想状态下热传导杆的表达式为, 在时间为 t 的时刻, 探针的温度 T 为:

$$T = \frac{Q}{4\pi k} \left(\ln \frac{2.246kt}{r^2} \right) + C, \quad (8.2)$$

其中 Q 是单位时间单位长度输入的热量, k 是样品的热导率, W 是样品的散热率 ($k = \text{密度} \times \text{比热}$), r 是探头半径, C 是个常数。这个关系式假设探针是无穷长度中的无穷热源并且 $t > r^2/k$ 。

大部分探针的 r/k 比值约为 10^{-5} 。当它大于 10^{-5} 后, 其 $\ln t - T$ 呈线性, 斜率为 k 的倒数。这种线性关系只能维持在 10 分钟之内, 10 分钟之外由于探针的有限长度和样品的边界使得等

表 8.2 已钻取的海洋基底岩石的热导率测量值

岩性 / 位置	热导率 ($\text{W/m} \cdot ^\circ\text{C}$)	样品号	参考文献
大西洋中脊脊缘附近玄武岩, 37°N (DSDP 334 站位)	$1.66 (\pm 0.02)$	19	Hyndman et al (1977)
华纳海盆玄武岩, 印度洋东北部 (DSDP 257 站位)	$3.70 (\pm 0.06)$	6	Hyndman et al (1977)
马里亚纳海沟玄武岩与辉绿岩 (DSDP 453 站位)	$2.29 (\pm 0.42)$	13	Horai (1982)
大西洋中脊脊缘附近辉长岩, 37°N (DSDP 334 站位)	2.39	1	Hyndman et al (1977)
马里亚纳海沟辉长岩与基岩岩 (DSDP 453 站位)	$2.69 (\pm 0.51)$	43	Horai (1982)
大西洋中脊脊缘附近蛇纹岩, 37°N (DSDP 334 站位)	3.19	1	Hyndman et al (1977)
马里亚纳海沟蛇纹岩化的 辉长岩与玄武岩 (DSDP 453 站位)	$1.71 (\pm 0.03)$	3	Horai (1982)

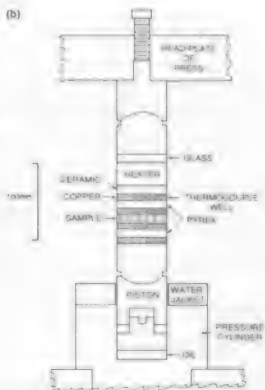
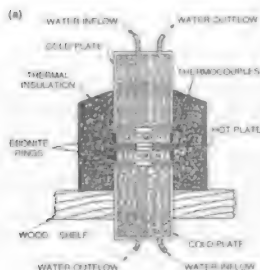


图 8-1 (a) 用加热平板法测量海底沉积物的热导率 (据 Bateman, 1960); (b) 用分离槽法测量岩石的热导率 (据 Birch, 1960)。经出版社和美国地质学会允许后引用。

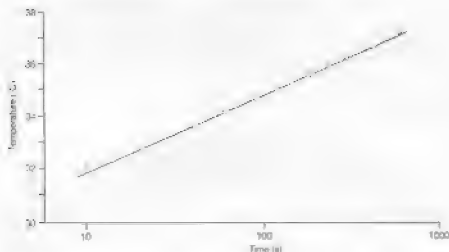


图 8.5 将铜针插入黏土和黏土和黏土的加热速率的图(引自 Yong, Luessen and Maxwell, 1959), 经美国地球物理联合会允许后引用。

式 (8.2) 中的近似关系变得无效。这里发表的用探针测量法获得的结果和标准法测量的最大误差在 10% 以内。用探针法测量的深部泥和物的热导率数据列于表 8.1 中。

在变化的条件下探针法对各个岩层单元的导热率进行测量。如果每个岩层分别为 $l_1, l_2, l_3, \dots, l_n$, 热导率分别为 $K_1, K_2, K_3, \dots, K_n$, 那么热导率 K 的估计值 K' 为:

$$\frac{l}{K'} = \frac{l_1}{K_1} + \frac{l_2}{K_2} + \frac{l_3}{K_3} + \dots + \frac{l_n}{K_n} \quad (8.3)$$

其中 $l = l_1 + l_2 + l_3 + \dots + l_n$ 。

Lytle 和 Jumar 等 (1989) 用如图 8.6 所示的装置同时直接测量了热导率和热流密度。热流传感器由一个长 30mm、直径 1mm 的不锈钢针制成, 它包含一个热线线圈和嵌在针尖附近的铂铂电阻。取样器被放入岩层, 当钻尖钻入岩层, 钻尖的大部分热量散失后, 给热线线圈通电。桥电路测量热线电阻 (R_1) 和另一个与它匹配的热敏电阻 (R_2) 的电阻值之差, 从而得到它们的阻值差来计算热导率。待测水流的岩层 (通常小于 10.0mD 的流层厚度) 都可以是一个封闭的电阻和 R_2 之间的电阻抗之关系获得。因为所用探针比点式探针的更大更结实, 所以大部分是成洞的 (1/8 英寸) 的井眼曲线不是受到破坏的。它是通过现代的方式测量热导率来获得的。正如是成洞的。如表 8.1 中探针法得到的热导率数据与实验室探针法得到的测量值是相吻合的。前面章节提到的一种使用热流和热导率测量的方法也应用到将插入热流探针的测量方法 (Glynn 等, 1979)。

8.2.2.5 含水量测量法

表岩层和泥层的热导率可以根据岩层的干热导率、热阻率率和含水量来用下面的经验公式来估算:

$$R_T = (161 \pm 14) + (651 \pm 30)w \quad (8.4)$$

其中 α 的单位是 cm^2/s 或 $(1/3600) \times \text{cm}^2/\text{s} = 2.77778 \times 10^{-5} \text{m}^2/\text{s}$, ρ 是含水量乘以沉积物的密度。这里的热传导率被假定为与沉积物的各向同性相一致。但在实际测量中,一般首先测量热传导率而不是测量含水量。

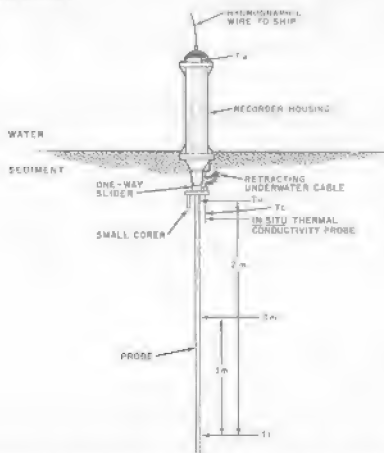


图 8.6 与地面温度记录器相连的沉积物热导率探头(取自 Lane 等, 1984)。该探头距地球物理联合实验室使用。

8.3 热传递与表面热流

当海洋底部地体的热状态可以假设假设为是纯热量传递到海底的时(式(8.5)),一维热传导方程为:

$$\frac{\partial T}{\partial t} = \kappa \nabla^2 T, \quad A = \rho C_s \quad (8.5)$$

其中 κ 是热扩散率, 它同时包括了热传导, κ 是热导率, 也就是对通过热导热量 Q 的函数, 而 A 是物质的热容 (Conduction and Capacity, 1988)。如果 $\partial T / \partial t = 0$, 即达到热平衡后, 就有:

$$\nabla^2 T = -A/K \quad (8.6)$$

海洋底部热流提供了海底以下沉积物深度剖面。假设有一一维的纯热量从态的由沉积岩柱, 热传导方程的一维表达式就可以写成:

$$\frac{\partial^2 T}{\partial z^2} = -A/K \quad (8.7)$$

如果海底温度是 0℃ (内源的热流值是 1), 那么:

$$T = -(A/2K)z^2 + (Q_0/K)z \quad (8.8)$$

如果内部没有热生成, 即 $A=0$, 那么表达式 (8.8) 就可表示为:

$$\frac{\partial T}{\partial t} = \kappa \nabla^2 T \quad (8.9)$$

这就是散热方程。它定义了受均匀固体半空间约束的海底温度如何随时间变化的。若给定边界条件, 方程的一维解的形式为:

$$\frac{\partial T}{\partial t} = \kappa \frac{\partial^2 T}{\partial z^2} \quad (8.10)$$

用误差方程可表达为:

$$T = T_0 \operatorname{erfc}(z/2\sqrt{\kappa t}) \quad (8.11)$$

其中的误差函数定义为:

$$\operatorname{erfc}(x) = 2/\sqrt{\pi} \int_x^\infty e^{-y^2} dy \quad (8.12)$$

时间 t 时的地温梯度就可以根据 $\partial T/\partial z$ 通过求微分 (8.11) 得到:

$$\frac{\partial T}{\partial z} = \frac{T_0}{\sqrt{\pi \kappa t}} e^{-z^2/4\kappa t} \quad (8.13)$$

这种认为海底的冷却仅仅通过传导方式的假设并不经常有效, 因为有些区域的热流存在很大的差异, 这说明流体循环肯定在热传递中扮演了十分重要的角色。洋中脊系统中的热液喷口就是这种现象的一个最壮观的显示。流体移动方向上的热流值 Q 由以下公式给定:

$$Q = \rho_m C_m v_m (T_1 - T_2) \quad (8.14)$$

其中 ρ_m 是流体的密度, C_m 是流体的比热, 而 v_m 则是质量通量, $T_1 - T_2$ 是流体的温差。如果考虑到热传输发生在多孔介质中, 且地温梯度呈非线性时, 该公式通常需要做校正。

8.4 热流变化: 区域环境的影响

8.4.1 底层水的变化

在研究热流变化的原因时必须考虑的一个因素就是底层水温的扰动。如果底层水温增加, 海底以下的地温梯度就会减小, 因此热流值也会减小; 反之亦然。其影响的大小可以用 8.3 节中给出的热传导方程来估计。假设底层水温瞬时变化了 ΔT , t 秒以后对海底以下深度为 z 处的温度进行测量。时间 t 时的温度和在无限时间内达到平衡时的温度变化 $T(z)$ 的关系由以下公式给定:

$$T(z) = \Delta T \cdot \operatorname{erf}\left(\frac{z}{\sqrt{4\kappa t}}\right) \quad (8.15)$$

因此波动梯度为:

$$\frac{\partial T}{\partial z} = \frac{\Delta T}{\sqrt{\pi\kappa t}} \cdot \exp\left(\frac{-z^2}{4\kappa t}\right) \quad (8.16)$$

其中近地表值为 $\frac{\Delta T}{\sqrt{\pi\kappa t}}$ 。

图 8.7 说明了在深海地温梯度为 $0.05^\circ\text{C}/\text{m}$ 时温度瞬时下降 2°C 所产生的结果。因为典型沉积层的散热系数是 $2 \times 10^{-6} \text{ m}^2/\text{s}$, 因此这种影响在 10000 年以后就会很小。发生在 18000 年前极地冰盖扩张导致的底层水流的突然下降对现今地温梯度的影响很显然可以忽略的。而从海洋观测站重复观测到的底层水温度的变化也不足以产生沉积层的显著热流变化。但在大陆架、大陆坡、邻近水团边缘由于短期内大范围混合而致使温度急剧变化的地区, 以及底层水温可以超过 300°C 的热液喷口附近是个例外。在更遥远的过去, 由于海水的蒸发使某些封闭海盆如地中海海底的热流可能在较短的地质时期发生了 30% 以上的波动, 而且其沉积物底层温度的上升也超过了 20°C 。

8.4.2 沉积与侵蚀

海底的热环境明显地受沉积速率的影响, 因为上层温暖水中的颗粒沉降会导致地温梯度的下降, 因此热流值也减小。如果沉积层突然发生重力滑移热流值也会变小。如果发生剧烈的侵蚀, 较深较热的沉积层变得更接近底层水, 则增加了地表的热流值。

沉积热效果可以通过考虑一个均匀半空间从 $z=0$ 的表面以固定速度 v 移动的情况来分析。其中, 海盆均匀沉降并连续不断地被沉积物充填, v 为沉积速度。假定洋底深处的热流值是常数 Q_0 , 而在时间 t 时的表面热流值 Q_s 由下式给定:

$$Q_s = Q_0 \left[1 - 4v^2 \operatorname{erfc}\left(\frac{v\sqrt{t}}{2\sqrt{\kappa}}\right) \right] \quad (8.17)$$

其中 $4v^2 \operatorname{erfc}$ 是补偿误差方程 $(1 - \operatorname{erf})$ 的二重积分, κ 是半空间的散热系数。由于沉积作用导致的热流值减少是时间 t 和 $v\sqrt{\kappa}$ 的函数, 如图 8.8 所示。对从深部获得的热流值的改正可能比较大, 特别是在靠近陆地的具有高沉积率的地区。例如阿留申盆地在过去的 70Ma 期间沉积了 4000m 以上的沉积层, 其观测到的 $55 \text{ mW}/\text{m}^2$ 热流值的校正量就有 $>12 \text{ mW}/\text{m}^2$ (Gangseth et al., 1980)。

沉积作用增加了 λ 值, 减小了基底远离表层的移动速率。沉积速率也随时间发生变化。J. Hutchinson (1985) 曾经根据沉积物孔隙度估算一定深度的水平对流速率和热属性, 并结合热流方程进行数值求解而给出表面热流值随时间的变化关系。在图 8.9 中, 沉积速率在开始的 10Ma 间为 $100 \text{ cm}/\text{Ma}$, 而在沉积作用停止前慢下来的 10Ma 间为 $50 \text{ cm}/\text{Ma}$ 。表面热流值对沉积率的变化有较快的响应。当沉积作用停止时, 热流值就恢复到随半空间的时间常数而变化。

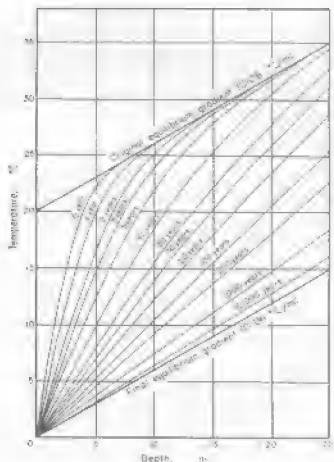


图 8.7 海底流地壳下沉 2% 时对地温梯度的影响 (据 Jamieson 等, 1967)

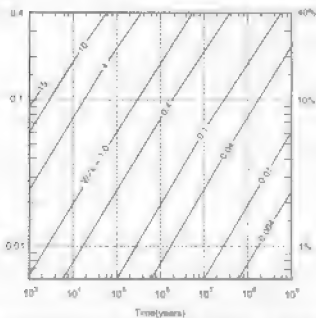


图 8.8 岩浆和地壳与岩浆的热流比减小 (据 Jamieson 等, 1967) 对划地球物理联合会允许范围

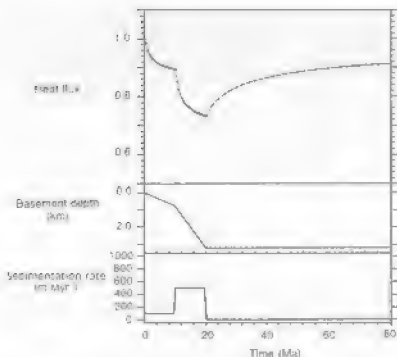


图 8.4.2 由于沉积速率的变化引起的表面热流随时间的变化。热流值取自热流图（部分表示，据 Hutchison, 1995），经 Blackwell Science 允许后引用。

8.4.3 沉积物的热生成

海洋沉积物中含有少量的放射性同位素，因此它们的放射性衰变对表面热流也有一定的贡献。主要的生热元素有 ^{238}U 、 ^{235}U 、 ^{232}Th 和 ^{40}K （如表 8.3），沉积层中的放射性热生成热 Q_r ，以 W m^{-2} 为单位，可用以下公式来计算：

$$Q_r = 10^{-1} \rho (9.52c_u + 2.56c_{\text{th}} + 3.48c_k) \quad (8.18)$$

式中 Q_r 是密度，以 kg m^{-3} 计； c_u 、 c_{th} 和 c_k 是以百万分率 (ppm) 表示的 ^{238}U 、 ^{232}Th 和 ^{40}K 的丰度百分数， 10^{-1} 是 ^{238}U 的衰变常数 λ (sec^{-1})， 19.6×10^6 是 ^{238}U 的半衰期 $T_{1/2}$ (sec)。如果按这些元素在海洋沉积物中的平均浓度计算，它们所产生的热值大概是 19 mW m^{-2} ，都集中在一定深度的热流值范围（图 8.4.2），那么以 100、300 和 1000 m 的沉积速率过程形成的沉积层状体的表面热流值如图 8.10 所示。该曲线也控制了非放射性热流的曲线，沉积层状体生成热的估计量取决于热导率随深度的大小。对于垂直深度 3000 m 热流值的输入，内部产生的热对应于沉积作用导致热流值先增后减以达 40%。

有机物的氧化是内部生热的另一个可能来源。它的最大热流值可以通过对定义的有机质降解至非碳相时的速率值来估计。如果沉积物平均沉积速率是 100 mm 年^{-1} 而有机质含量是 5%，则在池产生的热流值是 0.12 mW m^{-2} 。要得出太平洋平均热流值亦需考虑这一种热源，但它的影响也非常微小 (Langseth, 1976)。

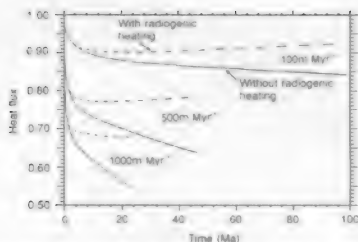


图 8.10 根据不同速率分别的 100、500 和 1000m Myr 的冷却计算得到的表面热流值。实线表示无放射性生成热，虚线表示在 10⁻⁶W/g 的放射性生成热，曲线由前至后 (Hutchison, 1985)，经 Blackwell Science 允许后引用。

表 8.3 主要的生热同位素

母同位素	子同位素	当前生热率 (W/kg)
²³⁸ U	²⁰⁶ Pb	9.4 × 10 ⁻⁵
²³² Th	²⁰⁸ Pb	2.7 × 10 ⁻⁵
⁴⁰ K	⁴⁰ Ca, ³⁹ Ar	2.8 × 10 ⁻⁵

8.4.4 地形与沉积层厚度的变化

除了少数隆起的地区，海流速度基本保持一定的温度，因此海底地形的变化会干扰到等温线的分布形态。其主要干扰是假如到大概等于地槽沉积层深度；其次，还取决于地形隆起的幅度。如果地形高出于沉积层深度，那么在此隆起期间的垂直热流值要高于周围区域的平均值，相反在隆起区热流值就要低一点。

如果地形起伏平缓，那么平均垂直热流值就会减小，这是因为部分热流会沿粗糙的表面水平流走了。假定有一个面积为 A 的粗糙表面 S ，它在水平面上的投影为 A' ，那么粗糙热流值 Q 就是：

$$Q, A = \iint (Q_v \cos \alpha + Q_h \sin \alpha) dA \quad (8.19)$$

其中 Q 和 Q_v 是通角为 α 的粗糙表面上单位面积 dA 的垂直与水平热流值。那么就有：

$$\frac{Q_v - \bar{Q}_v}{Q_v} = \sin^2 \bar{\alpha} \quad (8.20)$$

其中, \bar{Q} 是 S' 面上的平均垂直热流值, α 是从 S' 的平均坡度得到的 α 值, 而 $(Q - \bar{Q})/Q$ 就是“粗糙系数”(Lambertsen 和 Madsen, 1986)。表 8-1 所列的是几种平均坡度的典型热流值。很明显, 由于粗糙地表的影响, 粗糙热流值的减少很小时, 除了坡度等于或大于 20° 时, 一般不超过 15%。

表 8-1 由于海面粗糙所引起的平均垂直热流的减少值

平均坡度 α (度表示)	粗糙程度 $(Q - \bar{Q})/Q$
1	0.009
5	0.044
10	0.087
15	0.131
20	0.174

如果沉积物覆盖在不规则的基岩热导率的基岩上, 热流值在基岩海底上就具有一定的空间变化。因为热流首先通过高热导率基岩, 所以在基岩最浅的地方热流值是最大的。热流值的变化是周期性的, 假使热流通过基岩从起伏的海底脊, 其波峰为 λ , 波峰与波谷之间的距离是 λ 。如果通过波峰的热流值比通过波谷的热流值大 δQ , 那么 δQ 与平均热流值 Q 的比值由以下公式给出:

$$\frac{\delta Q}{Q} = \frac{2\pi l(K_b - K_s)}{\lambda K_s} \quad (8.21)$$

其中 K_b 是基岩的热导率, K_s 是沉积层的热导率。如果海底脊与相隔 10km, 而波谷与波峰高度为 1km, 且 $K_b = 2K_s$, 那么就可以得到 30% 的热流值变化。一般情况下 $K_b < 2K_s$ 。

在对 32°N , 120°W 处中太平洋脊的局部研究中, 利用了反射地震剖面的成像技术来估计基岩表面热流的波动情况 (图 8-11)。对爱兰斯斯槽 (Erebus) 附近的热流值的测量显示, 其相对于边缘附近地区平均值的变化幅度超过 60%。沿剖面的表面热流值可以从二维热流方程中求得:

$$\frac{\partial K}{\partial x} \cdot \frac{\partial T}{\partial x} + \frac{\partial K}{\partial y} \cdot \frac{\partial T}{\partial y} + K \left(\frac{\partial^2 T}{\partial x^2} + \frac{\partial^2 T}{\partial y^2} \right) = 0 \quad (8.22)$$

其中 T 和 K 分别是点 x 和 y 点的温度和热导率。如果给定沉积层和基岩的传导率就可以得到方程解。在构造剖面工作一个矩形的网格, 并在每个网格点上输入热导率和温度值。假设地球表面每个单元在这个模型产生的热量是相同的, 沉积物一基岩的界面保持恒定的温度 (0°C), 而且在构造的边缘没有垂直热流传输。那么, 利用与方程 (8.22) 有一些相似的一个近似方法就可求取构造上所有点的温度 T 。重复这个过程直到获得集中于 x 点的 T 值。

从数值方法获得的表面热流与利用简单几何结构分析而获得的热流值非常接近 (图 8-12a)。Fryer 四陷的应用研究表明, 大多数热流值的散列现象是由地形和沉积物沉积厚度的变化引起的 (图 8-12b)。地形和沉积厚度结合起来可使热流值约更成线状而聚集于盆地边缘。热流值异常并不像理论预计的那样明显, 因为陆坡边缘的薄沉积层将会缓和强烈的热流值波动现象。

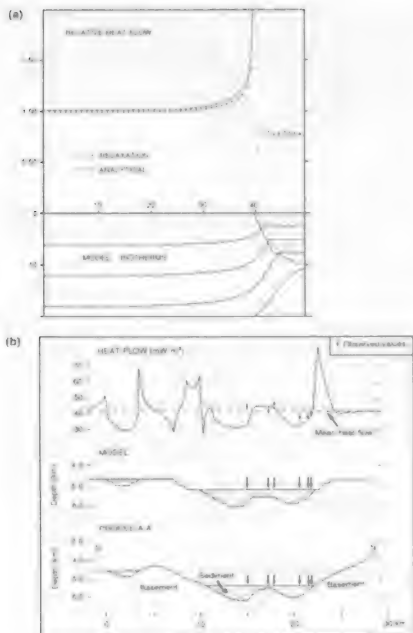


图 8-12 (a) 随时间变化的热流表面和热流变化。热分析和数值计算得到的结果与热流表面和热流变化在图中。(b) 在 100km 距离处图 8-11 模型与热流表面和热流变化 (据 Selinger 等, 1970)。经 Elsevier Science 允许后引用。

在 100 公里，在空间内热的水生传导速率比热的水生运动横向体输的速率小得多，那么

$$\rho C_p v_z \frac{\partial T}{\partial z} = K \frac{\partial^2 T}{\partial z^2} \quad \text{或} \quad \rho C_p \frac{\partial T}{\partial t} = K \frac{\partial^2 T}{\partial z^2} \quad (8-24)$$

这样等式就可以用一维扩散方程表示 (方程 8-10)。热量状态可通过热传导的速率与热流面随时间的变化来定义。在这热流面处的移动过程中引起热流面在图 8-12 等中描述的方式进行。以 1000 Ma 的时间速率沉积的具有 100 Ma 年龄的基底热流面速率减小 10%。

如果在增生处 ($x=0$) 给定相同的边界条件, 其温度 $T=T_0$, 且 $x=0$ 时 $T=0$, 那么从方程 8.11 可得到:

$$T(z,t) = T_0 \operatorname{erf}\left(\frac{z}{2\sqrt{kt}}\right) \quad (8.25)$$

离右边缘点 x 距离的表面热流 $q(t)$ 可由下式表示:

$$q(t) = -K \frac{\partial T}{\partial z} \Big|_{z=0} = K T_0 / \sqrt{\pi k t} \quad (8.26)$$

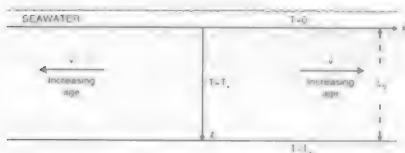
因此, 热流值与海底年龄的平方根成反比关系。

假定温度为 0°C 的海底为具有固定厚度 L 的板块, 且其底部温度保持与增生点的温度 (T_0)。那么其温度结构可以通过下面的公式求解:

$$\frac{K}{\rho C_p} \left(\frac{\partial^2 T}{\partial x^2} + \frac{\partial^2 T}{\partial z^2} \right) = v_z \frac{\partial T}{\partial t} \quad (8.27)$$



(a) Cooling of half-space



(b) Cooling of plate with constant thickness

图 8.13 海底通过以 L_0 为期间的一个连续和以厚度为 L_0 的板块上的连续增生作用而产生。

给定的边界条件为: $x = L_0$ 时 $T = T_0$, $x = 0$ 时 $T = 0$, $z = 0$ 时 $T = T_0$ 。方程的解为:

$$T(x, z) = T_0 \left\{ \frac{z}{L_0} + \sum_{n=1}^{\infty} \frac{2}{n\pi} \sin\left(\frac{n\pi x}{L_0}\right) \exp\left[\frac{\omega_1 T}{L_0} \left(\frac{\omega_1 L_0}{2\kappa} - \sqrt{\frac{\omega_1^2 L_0^2}{4\kappa^2} + n^2 \pi^2}\right)\right]\right\} \quad (8.28)$$

如果热的水平传导速率比由于板块运动产生的横向传导小很多, 那么, 式可简化为

$$T(x, z) = T_0 \left\{ \frac{z}{L_0} + \sum_{n=1}^{\infty} \frac{2}{n\pi} \sin\left(\frac{n\pi x}{L_0}\right) \exp\left[-\frac{n^2 \pi^2 k t}{L_0^2}\right]\right\} \quad (8.29)$$

$L_0^2 / \pi^2 k$ 为大洋板块的热时间常数。

冷却板块模型通过修正也可以用于研究由于热物质侵入而导致的非加热情况下的温度深度结构(Von Herzen et al., 1982)。

8.5.2 拉张体系的热流

作用力可引起地球表面各部分之间的扩张, 导致下陷和薄弱区域下面热物质的上升隆起。拉张作用在大陆边缘的融化过程是很重要的。它对热流的影响可以利用板块的传导冷却模型来估算。图 8-11 中由等温线 T_0 定义的包含基底的板块被瞬时拉伸。厚度为 h_0 的一部分以拉伸系数为 β 的拉伸, 使得温度 T_0 以下的物质上升并保持均衡状态。当前没有达到热平衡的板块一直处于冷却过程直至达到它的初始厚度。较轻板块下沉引起的短重物体替换引起的最初回陷为 S_0 ; 随着板块的冷却, 会进一步的发生回陷作用, S_0 为最终的回陷。

板块的温度结构可由扩散方程 (8.9) 的一维形式得到

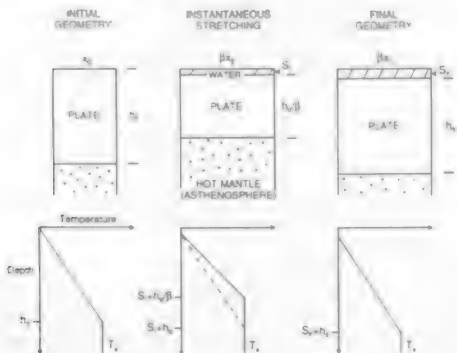


图 8-11 均匀板块的拉张 (据 Mc Kenzie et al., 1978; Frankfort, 1980)

如果假设泥和基岩具均匀的渗透率和孔隙度, 那么深度 z 的温度 T 可由下式求得:

$$\frac{T(z) - T_a}{T_l - T_a} = \frac{e^{R_z}}{e^{R_0} - 1} \quad (8.33)$$

其中 T_l , T_a 分别为热探针最深点和最浅点的温度, z 为温度测量中的长度, R 为由下式给出的佩克莱特数:

$$R = \frac{\rho_{fl} c_{fl} v_{fl} l}{K}$$

公式中 K 为水和岩石的总热导率, ρ_{fl} , c_{fl} 为流体的比热, v_{fl} 为物能通量, R 是衡量热传输过程中对流和传导的相对重要性的一个指标。如果 $R \ll 1$, 那么水导热占主导地位。如果 $R \gg 1$, 那么热传输方式主要为传导。在深度 z , 热流 Q 由下式给出:

$$Q = -K_s \frac{\partial T}{\partial z} \Big|_z + \rho_{fl} c_{fl} v_{fl} T_{fl} \quad (8.34)$$

根据公式 8.33

$$\frac{\partial T}{\partial z} = (T_l - T_a) \frac{\rho_{fl} c_{fl} v_{fl}}{K_s} \left(\frac{e^{R_z}}{e^{R_0} - 1} \right)$$

所以

$$Q = \rho_{fl} c_{fl} v_{fl} (T_a - \frac{T_l - T_a}{e^{R_0} - 1}) \quad (8.35)$$

因此, 如果测得 R 就可以确定热流值 Q 。一个 R 值适合于每半秒计算总热流值和传导热流值的非线性温度剖面 (Anderson et al., 1979)。对于典型的深海粘土, $R \ll 1$ 。对流液体通过的速率为 5×10^{-4} m/s。当梯度呈线性时 $R=0$ 。

第九章 海洋电法勘探

9.1 引言

由于许多地质构造具有大范围的电阻率差异的地质性质,因而通过海洋电法勘探能观察到许多有关地质构造特征的信息。例如,非海水体、海成岩和盐体、非含油泥岩和反冲岩等电阻率较低,相区别水浸层的电阻率则较高。上述各条地质学的问题如能及时发现,就能迅速确定、估计位置与埋置的差别数从而可以忽略的区域,因此勘探可以节省。选择探测地质体的存在与否是其地质学的方法。测电阻率所以电阻率(在测电阻率测定的)的地质构造所表现出的电阻值),或它的倒数(电导率)的形式表示,正负号分别称为“电阻”和“电导”。

虽然对于海底海水和地下地质内部场强的电导特性进行直接测量相当的困难,但这些困难并没有阻碍该领域的发展,主要表现在电法海洋调查仪器设备、野外数据资料分析上的创新,其中包括自然电位、电导和电磁场的测量,专门用来记录人工电流和电磁场强度的技术和专门测量的技术(见第十一章)。在本章中,我们主要介绍以下六个方面:

1. 自然电位法:主要采用海底电极和高阻抗的电压表测量电极附近的自然电位;
2. 感应电极法:根据中断电极的电流而引起的电场衰减量或根据地面阻抗随频率的变化来测量异常体的电导率;
3. 直流电阻率法:根据直流电流通过电极时的电势分布测量电阻率的大小;
4. 大地电磁法:根据激发电磁场和磁化层中的感应电流在地球内部形成的时变自然电磁场测量海底电阻率;
5. 磁测电阻率法:根据接地电阻产生的电磁场得到电阻率;
6. 电磁勘探:根据海底对电磁场传导的响应来得到海底电导率。

9.2 海水、沉积物和岩石的电阻率

电阻率在垂直方向的变化非常大,变化范围可达 8 个数量级之多(表 9.1)。海水的电阻率一般要比天然岩石和沉积物的都小得多,从近海面的 0.2 Ω·m 到冰盖层下的 9.5 Ω·m。海水电阻率的大小主要取决于温度和盐度,受压力变化的影响较小,平均盐度为 3.5‰ 的海水在 1℃ 时的电阻率可近似为(Becker *et al.*, 1982):

$$\rho_T = (3.0 + 0.1T)^{-1} \quad (9.1)$$

各种天然金属和非金属的电阻率值均很高,它们主要是靠电子导电来导电的,导电时几乎不产生热能。而大多数岩石都是不良导体,主要是靠孔隙流体中的离子导电的(称电解质电)。所以,岩石的电阻率大小主要受以下几个因素的影响:离子浓度、孔隙率和孔隙度及孔隙度和流体饱和度。B. H. Aikins(1971)通过对照不同盐度流体浸制的沉积岩岩石的实验测量得到了电阻

表 9-1 常见海水、陆相沉积物、岩石和矿物的电阻率

矿物名称	电阻率($\Omega \cdot m$)
海水	0.2-0.3
砂土	1-100
页岩	4.0×10^{-1} - 2.0×10^1
石灰岩	1.3×10^1 - 8.4×10^1
花岗岩	1.0×10^2 - 1.0×10^3
盐岩	3.0 - 1.0×10^1
玄武质枕状熔岩 (DSDP 504B)	89.5 (SD35.6)
块状玄武岩流 (DSDP 504B)	146.1 (SD48.4)
玄武质角砾岩 (DSDP 504B)	39.9 (SD21.9)
粗玄岩墙 (DSDP 504B)	155.7 (SD60.7)
熔融玄武岩	0.1
辉长岩	1.0×10^2 - 2.0×10^4
安山岩	1.0×10^2 - 4.5×10^3
橄辉岩 (平均)	3.0×10^3
蛇纹岩	1.0×10^2 - 2.0×10^3
花岗岩	1.6×10^2 - 3.6×10^3
板岩	2.0×10^{-3} - 2.0×10^2
云母片岩	5.0×10^2
片麻岩	2.0×10^3 - 6.8×10^4
自然铜	1.2×10^{-8} - 3.0×10^{-7}
石墨	3.6×10^{-7} - 6.0×10^{-2}
黄铜矿	1.2×10^{-3} - 2.0×10^{-1}
方铅矿	1.0×10^{-1} - 1.0×10^{-1}
磁黄铁矿	2.0×10^{-8} - 1.0×10^{-3}
黄铁矿	1.0×10^{-3} -1.5
磁铁矿	1.5×10^{-3} - 7.5×10^1
钛铁矿	1.0×10^{-3} -50.0
锡石	4.5×10^{-8} - 1.0×10^4
金红石	29.0- 9.1×10^2

率与孔隙度之间的一个简单关系式:

$$\rho_f / \rho_o = \phi^{-m} \quad (9.2)$$

其中: ϕ 是孔隙度和岩石的孔隙度, ρ_f 是岩石电阻率, ρ_o 是孔隙率电阻率, m 是一个经验常数, 称作胶结指数 (cementation factor)。阿奇 (Archie) 主要目的是为了描述这些非自合土持是石油的岩层。 ρ_f 和 ρ_o 之比称作电阻率指数 (formation factor), $A = 1/\phi$ 是阿奇定律的 (1) 应用图 9.1 显示了由 Archie 定律得到的孔隙度—电阻率曲线, 分别为美国 2 号深海盐溶液体在层曲线和温度为 15°C 的中高度大陆架或中特低湿沉积岩区的曲线。当盐度较小时 (即裂隙和有效孔隙和流体相互沟通的地方) 预测孔隙度随着电阻率的减小而迅速增大。

一个更广义的表达式为:

$$\rho_f / \rho_o = A \phi^{-m} S^{-n} \quad (9.3)$$

其中, A 是一个经验值, S 是流体所占孔隙的百分数, n 是一个指数 (称为 2.0) (Archie and McJannet, 1963)。 A 值大小与孔隙的几何特征有关, 它对电阻率影响较大。每个地质地区的一个古人类海床的地质和含少量海水的裂隙隙相互连通的系统 (2) 的岩石一样具有类似电阻率。目前已对以下几种类型的孔隙进行过研究:

1. 粒间孔隙: 存在于沉积物和沉积岩中;
2. 大的、连通性差的孔隙: 存在于海底的玄武岩中;
3. 裂隙、节理和裂隙隙: 存在于基岩性的地层中, 特别是火成岩和变质岩的基岩中。

对于地质相同的相同孔隙岩石, 阿奇 (Archie) 定律对于粒间裂隙隙形成孔隙的岩石, 0.1 深海玄武岩的 A 值为 0.5 (Peacock, 1960)。但是一般情况下, A 取 0.5 与 2.0 之间的一个数即可, m 的

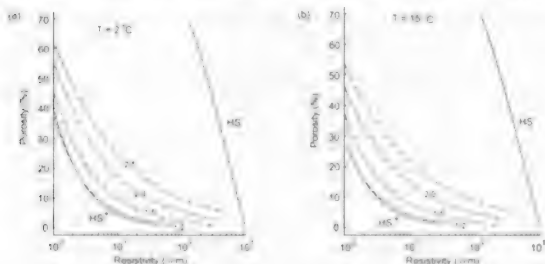


图 9.1: 由 Archie 定律, 与地质条件 (2) 和 (3) 中流体时岩石的电阻率—孔隙度曲线。它显示了孔隙度与电阻率的关系 (2) 和 (3) 中地质和工业上的电阻率指数 (2) 的岩层。阿奇定律 (Archie, 1960) 的表达式为: $\rho_f / \rho_o = A \phi^{-m} S^{-n}$ (Archie, 1960)。阿奇定律 (Archie, 1960) 的表达式为: $\rho_f / \rho_o = A \phi^{-m} S^{-n}$ (Archie, 1960)。

大小取决于孔隙的孔隙形状,通常取1.1与2.5之间的数。小于5000的年龄测年在武岩的电阻率1.0左右,它要观察到电阻率在岩石孔隙中的传导情况。在武岩年龄越高,电阻率就越大,这可能随年龄增大导电孔隙扭曲度变大有关。

海洋沉积物的电阻率一般在 $0.1 \sim 0.01 \Omega \cdot m$ 之间,沉积粘土颗粒是导电性最好的。在固化过程中,电阻率随着孔隙度的降低而增大。海底松散沉积物的孔隙度可以高达0.8,由于 P^* 和 P^* 非常接近,因而(9)式中的常数4可取一定值,所以如果不考虑孔隙气体的影响,电阻率的大小主要取决于孔隙度、胶结因素和 P^* 三个因素。

P^* 值的大小由孔隙水中的离子浓度、电荷及离子迁移率决定。海洋沉积物中主要带 Na^+ 和 Cl^- ,离子的浓度和迁移率与温度密切相关,当温度升高时离子的迁移率随之增加。当温度降低至部分孔隙液体开始凝固时,离子的迁移率和有液孔隙度就开始降低。同时,未凝固的孔隙流体中的离子浓度因粘土上也会引起电阻率的迅速升高。图9.2给出了砂质岩和砾质岩孔隙度随温度的变化情况。电阻率对0至3℃之间的温度很敏感,随温度的变化较大。粘土的电阻率要比粗粒物质的变化速度慢,这可能与它们各种离子的交换能力有关。我们可利用电阻率随流体凝固而显著增加这一特性估算晶体地区水冻结的深度和程度。

大陆边缘下花岗岩和其它基岩岩石的电阻率要比松散沉积物的高出好几个数量级。花岗岩武岩的电阻率合于 $100 \sim 500 \Omega \cdot m$ 之间,不同岩石的电阻率之间有一些重叠部分(表9.1)。

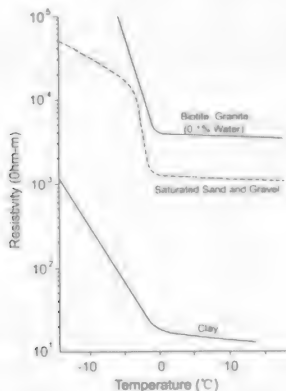


图9.2 沉积物和花岗岩的电阻率随温度变化的曲线(据Buckwold等,1975,经勘探地球物理学会允许后引用)。

所以不能单用岩石的电阻率数据确定其岩性。由于岩石破裂过程中的各向异性（无论是宏观的还是微观的）使得电阻率数据的解释变得复杂。这样各向异性也有可能呈板状或纤维状体的定向排列引起，从而使垂直岩石层流，垂直岩条的电阻率与垂直岩面中的电阻率。实际上，不同电阻率的层是在不同的方向上和速度的传播特性是不同的，使得许多金属硫化物矿化物矿物可在某个方向形成有利电流传导的通道。

当液相的矿物部分与固相在温度 T_m 点内发生熔融，由此电阻率取决于固相熔融部分和固体部分间的电导率。熔融部分所占的比例和熔融部分的几何形状及其混合程度。熔融玄武岩的电阻率约为 $0.1 \Omega \cdot m$ ，要达此程度的接触岩石至少至 3 千数量级 (Jensen and Waff, 1982)。Bardou, Sotrikman 公式给出了熔融部分电阻率的大小限，以电导率的公式表示如下 (Bardou and Sotrikman, 1963; Waff, 1974):

$$\sigma_c = \frac{\sigma_m + (\sigma_s - \sigma_m)(1 - 2\beta/3)}{1 + (\beta/3)(\sigma_s/\sigma_m - 1)} \quad (9.4)$$

$$\sigma_c = \frac{3\sigma_s + (\sigma_m - \sigma_s)(1 + 2\beta)}{(2 + \beta) + (\sigma_m/\sigma_s)(1 - \beta)} \quad (9.5)$$

其中， σ_m 是熔融部分的电导率， σ_s 是固体部分的电导率； β 是熔融部分所占比例。

电阻 σ_c 是熔融物完全混合于各向同性介质的条件下的电导率。下面 σ_c 是纯固体中的熔融部分的电导率。显然，混合部分区域的电导率介于这两者之间。

9.3 自发极化法

很多矿体犹如天然电池一样即在地表产生电势差，主要是矿物含有金属硫化物的矿体。当导体通过两个不同的电化学时就会有电势产生，由此形成自电势异常。电势的大小主要受以下几个因素控制：矿体内外的化学环境差别，矿体与地壳电阻的电阻。由于海水和松散沉积物的氧化还原电势分别为 $+200 \sim +400 \text{ mV}$ 和 $-100 \sim -200 \text{ mV}$ ，所以在沉积物侧面的海底形成重要的氧化还原界面。这时如果有一导体穿过海水和沉积物的分界面就会有电流产生，形成自电势异常。

陆上硫化物矿体的自电势异常一般介于几微伏至几伏之间，需具有围岩相比高差为正值。如果加入导电性好的液体，自电势异常就会减小直至和海底物质面电阻率法值的增加和减小。由电阻率法测定的松散沉积物组成的区域，自电势异常减小至近零上。在海底沉积物和围岩电阻是岩石，减小程度就比较大。

海洋自电势异常是通过记录 1 对相距 10m 至 100m 的电极在非极化电极的电极获得的。目前已有研究提出了确定法矿化物的矿体的方法。然而，自电势异常项目易受海水运动、电偶驱动、拖曳方向误差及自然电磁场变化等因素引起的势梯度所屏蔽。在海底硫化物矿体对海底硫化物矿体形成的海底硫化物矿体形成的约 300m 的自电势异常 (Jensen, 1976)。同样在太平洋海岭的硫化物矿体附近海底形成了自电势异常 (Jensen, 1976)。

9.4 直流电阻率法

9.4.1 引言

测地电阻率是通过向地中通以直流电, 测量电流在地下分布的方法得到的。图 9.4.3a 给出了电极布置图, 如果将两电流电极布置于 C_1 、 C_2 , 测地电流为 I , 并假设各向同性地层的电阻率为 ρ , 则有:

$$\rho = \frac{2\pi\Delta V}{I} \cdot \frac{1}{\left[\left(\frac{1}{r_1} - \frac{1}{r_2}\right) - \left(\frac{1}{r_3} - \frac{1}{r_4}\right)\right]} \quad (9.6)$$

其中 ΔV 为测量电极 P_1 与 P_2 间的电压差。在由电极间距决定的情况下, $\Delta V/I$ 即为半空间电阻率 ρ_s 。当电极是均匀介质时, 则不论对于何种结构的电极, ρ_s 都是一样的且等于实际的均匀电阻率。而对于非均匀介质, 大量资料表明, 不必追求测量电极排列还是保持电极不变改变中点位置, 电阻率 ρ_s 将有所变化, 视电阻率 ρ_s 与电极距或均匀介质的电阻率的关系不大, 同时由于非均质性造成电流失真而不能把它近似为地下平均电阻率。

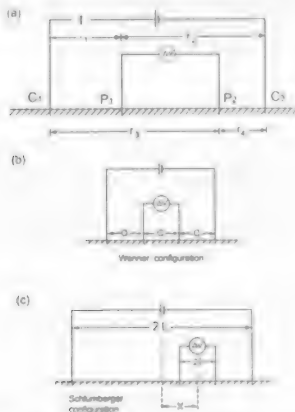


图 9.4.3 测量直流电阻率的电极排列图。(a) 四极法电极布置图。(b) 温纳装置示意图。(c) 施伦堡装置示意图。

阻率随距离的变化, 可由下式计算得到电阻率异常 ρ_{anom} :

$$\rho_{\text{anom}} = 100 \left(\frac{\rho_s - \rho_a}{\rho_a} \right) \% \quad (9.9)$$

其中 ρ_a 是平均海底的电阻率, ρ_s 是海底的电阻率, ρ_s 的大小可由海底的电阻率和电极阵列中心点的水深决定。如果 ρ_{anom} 的值接近于 0, 就表明海底的电阻率均匀, 反之, ρ_{anom} 是大的正值时, 就表明海底的电阻率较大, 这可能与沉积物和矿物区有关。

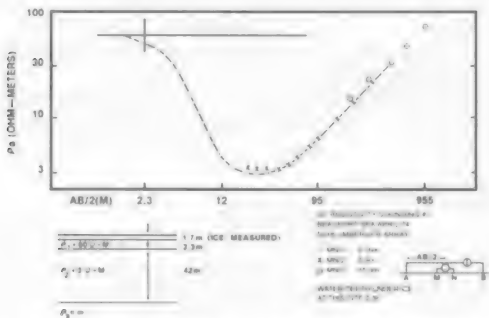


图 9: 在波菲特的采场底部用双极性的直接电阻率测量曲线, 见图 8, 曲线表示所测电阻率。虚线表示理论曲线, 数据取自图 8。据 Francis, 1977; Rogers and Marsden, 1983, 经加拿大地质调查局允许后引用。



图 10: 用于双极电阻率测量的电极式电极布置示意图。C1 和 C2 是电流电极, P1 和 P2 是测量电极 (据 after Francis, 1977), 经英国地质调查局允许后引用。

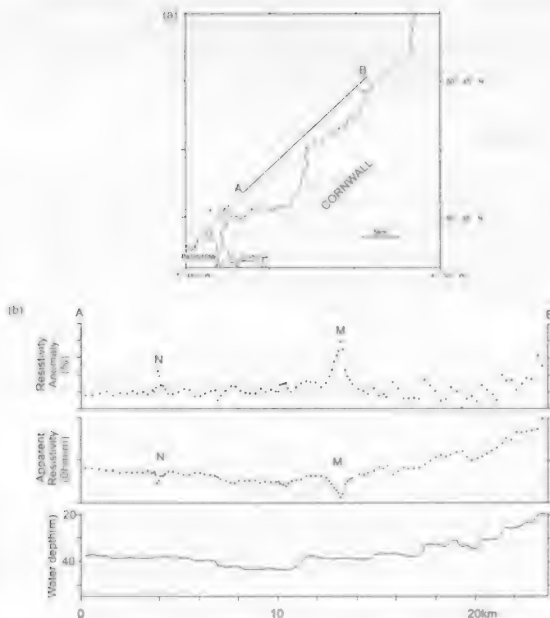


图 5 (a) 是研究区域示意图 (b) 为 A-B 测线的测量结果。图中, M 和 N 表示海底上的两个低阻异常区, 通过它们可以推测出海底的沉积物厚度变化情况。纵轴: 水深 (据 Francis, 1977, 经英国地质局允许后引用)。

在测线的许多段上, 电阻率异常可以反映海水深度的变化, ρ_a 的值随海水深度的降低而增加。如图 5 (b) 的 M 和 N 这两个区域, 相对较大的电阻率异常覆盖了整个海底。在这些区域, 从地质剖面上, 便可以看到出露的基岩。像珊瑚和贝壳碎片等类生物化石和沉积物, 但它们的电阻率, 通常都较低 (是硫化物的一种) 的岩石具有低电阻率和低电阻率, 但电阻率必须通过直接采样来检验。

U. K. C. 等 (1993) 年使用一组 4 个间距 10m 的底部电极组成的阵列得到了被松散沉积

物像面的基岩表面面。在排列剖面, 通以同性的交流电流使其穿入电极间到底, 便可看到对地于电极间的电阻。正电极上的阳离子和负电极上的阴离子会使电极极化, 而电阻测量也可以推知这种极化。通过几次重复测量并差和平均可以消除土壤电流的影响。因为极化间受频率的影响较大, 因而电流频率只能取几个赫兹。

9.4.3 深海测量

在太平洋东岸和大西洋中脊有含金属硫化物出露, 这些区域的海洋电阻率已通过潜航测量。如图 9.7a 所示区域被铺设太平洋的中脊电缆, 它是由法国产仪器 ρ_{sea} 调查得到的。采用潜航装置, 将两电极埋和测量电极分别间隔 10m 呈在 30m 的电缆上, 把电极铺设在水深 2500m 的海底进行了 4 次试验 (Fennox, 1986)。对于山海水 (ρ_s) 和基岩 (ρ_b) 组成的两个相同的半空间之间交流电压的电极而言, 测量电极之间的电压 ΔV 为:

$$\Delta V = \frac{I \rho_s \rho_b}{2\pi a (\rho_s + \rho_b)} \quad (9.10)$$

式中, a 是电极间的间距, ρ_s 的大小受温度、盐度和周围压力的影响, ρ_b 为 ΔV 的倒数。例如, 在半空间由于水和物厚度、孔隙度或矿体埋在不同呈现出的同异性, 这样用潜航装置得到的电阻率随电极间距离的变化而改变。由潜航装置得到的视电阻率为:

$$\rho_a = \frac{2\rho_s \rho_b}{\rho_s + \rho_b} \quad (9.11)$$

在 ρ_b 已知的前提下可由上式得到海底电阻率的大小。

如图 9.7b 为电极排列平面图, 当加入电极间距离时在潜航装置中再附加一额外的测量电极。布置装置一般需要大约 30 分钟的时间, 另外还需要一些时间来测量正向和反向及零电流时的正流和电流。然后让水下仪器上升 100m, 使电极垂直悬挂在标金架侧。海水的视电阻率 ρ_a 为:

$$\rho_a = \frac{4\pi V}{I} \quad (9.12)$$

这是由于 (9.9) 式中的两电阻率相等的缘故。

如图 9.7c 水下有一海山, 上覆盖金属硫化物矿体, 它们沿 200m 等深线呈东西向伸展至 400m 长。在潜航地区均有硫化物矿体, 其顶部部分的是柱状玄武岩。通过垂直布设的电极排列测得硫化物矿体上流出来的视电阻率为 $0.25 \sim 0.4 \Omega \cdot \text{m}$, 而柱状的柱状玄武岩上流出来的视电阻率为 $0.15 \sim 0.2 \Omega \cdot \text{m}$ 。把电极同样放在硫化物矿体上后, 测得是基岩的视电阻率为 $0.214 \Omega \cdot \text{m}$ 。海山的电阻率为 $0.13 \sim 0.2 \Omega \cdot \text{m}$ 。显然, 海山区域基岩的电阻率略小一些。相反, 柱状岩的电阻率含 $1.9 \sim 11.1 \times 10^{-2} \Omega \cdot \text{m}$ 之间。在柱状岩区和硫化物矿体同向出露的地方, 电阻率具有平均值 $\pm 13 \Omega \cdot \text{m}$ 。使得基岩的电阻率出现较大的差别。尽管由于随岩体电阻率的不同, 总电流中流到海底部分的比例减小, 但无论怎样, 出露的玄武岩和硫化物面部的电阻率是截然不同的。因此一点误差对正确

了使用溶解装置寻找深海金属矿物区。方法是可行的。虽然目前测法和埋地采样很难在有效地析出硫化物的山前区域。但电阻率技术有识别基岩厚度的优点。

Cynus 仪器测出揭示了深部硫化物能产生巨大的电阻率异常。据霍伦中图时, 在垂直悬挂装置的电压表上显示有 0.5mV 的电导率。这种异常代表了一个硫化物矿体。一旦将装置安置地穿过硫化物矿体, 电导率便会增加到 10.5mV, 这差别有 8.9mV 的电阻率异常。就其玄武岩基岩部分的电导率梯度与海水中的电导率梯度相同。因此, 自电阻可以用来检测硫化物的出露范围, 并且可能比单用电阻率法来得更容易。

最近, 采用电阻率探测装置测出了位于 26°N 太平洋中脊处的热液活动区的电阻率。将两个电导率电极半插在海底, 一个长约 50cm, 另一个长约 (300) 50cm (Heron 等, 1986)。在一个已知富含硫化物及周围被玄武岩或块状熔岩 (图 9.2) 包围的测线上作阵。通过硫化物测得的视电阻率 (0.18, 0.21 $\Omega \cdot \text{m}$) 与海水浮的一样, 与有大量黄铁矿和是铜矿存在的区域是一致的。玄武岩的视电阻率要低一个数量级 ($\approx 2.4 \Omega \cdot \text{m}$), 将长度 (0.2) 中的 π 代入, 则它的孔眼率为 0.7%, 这比利用东太平洋海隆的海底电阻率计算所得的值要高, 但与用重力及地震方法在底部所测的值相同。

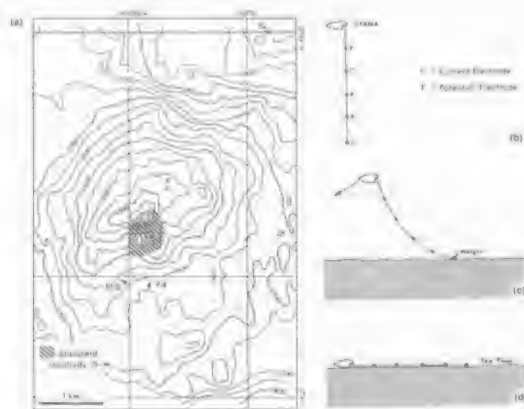


图 9.2 (a) 用电子装置 Cynus 在太平洋海隆地带进行电阻率测量的位置。图中等电阻率间隔是 20mV。空心圆表示海水下电极点, 阴影表示海底玄武岩块状熔岩电导率剖面。电阻率表的单位为 $\Omega \cdot \text{m}$ 。图中阴影表示硫化物矿体可能的出露地点。(b) 电子装置 Cynus 上列。下部的电导率阵列示意图 (据 Heron 等, 1986)。经 Heron 学术出版者的允许后引用。

9.5 感应极化法

人们发现当埋藏有极薄、非导电的绝缘材料,位于电极附近的两个电极电极间的电压与频率成反比时,绝缘材料是极薄、非导电的。当频率时间相对绝缘层下降至初始值的一个部分,这种绝缘材料可以用电阻和电容来描述,它要远小于物质绝缘数(1)到4个数量级。

根据材料特性至几分钟时间,该曲线呈双曲线状(如图9.5)或者非典型的非-1/4回路指数曲线。如果两电极中通过交变的交流电,则由于电容电容的极弱,使得测得的阻抗随频率而增加而减小。

感应极化现象产生于地下中低电阻率区域,且含矿物岩中电力质量(Edwards等,1960)。如果在时间域内进行测量,则曲线可用下列函数来描述,它是(1)在t时间内电压呈双曲线状(图9.5)除以电压V之值,V是流经两电极之间的电压。

$$C_H = \frac{1}{V} \int_0^t V(t) dt \quad (9.13)$$

矿物和岩石的电容量见表9.3。

在频率域内进行交流时,极电阻率由信号源的两个或多个频段确定。百分比如率特性,可由下式计算而得:

$$PFE = 100(\rho_{LF} - \rho_{HF})/\rho_{HF} \quad (9.14)$$

其中, ρ_{LF} 和 ρ_{HF} 分别是低频和高频时的视电阻率,一般在100-1000之间。由于岩石的电阻率会受频率或电压改变,所以PFE通常采用通过计算金属系数MF所得低频时的电阻率进行归一化:

$$MF = 2\pi 10^4 (\rho_{LF} - \rho_{HF})/\rho_{LF} \rho_{HF} \quad (9.15)$$

有些矿体的金属系数的差异很明显,块状硫化物矿体约为10000,而未矿化在岩石则小于10(表9.1)。除了金属系数以外,测量值在最初测量时相位的变化以及各种复杂电阻率的变化也证明未矿化和矿化程度弱(Edwards and Ayers, 1975)。

表9.2 150 Hz 频带电阻率测量(20 m 间距)西丹中野(Edwards and Ayers, 1975)

海底	测量电极间距(m)	电阻率(Ω·m)	误差估计
玄武质枕状熔岩	6	2.35	±30%
玄武质枕状熔岩	7	2.07	±15%
硫化物	8	0.210	±35%
硫化物	40	>0.22	—
硫化物	20	0.175	±15%
硫化物	60	>0.31	—



图 9.2 基于地面垂直电测的两个半极化的电压。在电源电流变化的情况下，当电源在 t_0 时关闭时，电压在 t_0 时突然下降，然后以指数规律衰减。图中阴影面积表示以 t_0 为起点的电压。电压的式变可以近似地用阴影部分表示曲线 t_1 和 t_2 之间的面积 (Fell and 等, 1990; Ramey and Ramey, 1991; 见 Blackwell, 1990 和科罗拉多理工大学出版社允许引用)

表 9.3 矿化和岩体岩石的电容量 (Fell and 等, 1990; 科罗拉多理工大学出版社允许引用)

矿物名称	电容量 (ms)
20%硫化物	2000—3000
8—20%硫化物	1000—2000
2—8%硫化物	500—1000
砂岩、粉砂岩	100—500
密集的火山岩	100—500
页岩	50—100
花岗岩、花岗闪长岩	10—50
石灰岩、白云岩	10—20

* 图 9.3 中的电荷回生的数量,除了最初的时间和最迟的噪声外,整条曲线都进行平均

表 9.4 矿化和岩石的金属系数 (Fell and 等, 1990; 科罗拉多理工大学出版社允许引用)

矿物名称	金属系数 (Ω/cm)
块状硫化物	10000
块状磁铁矿	3—3000
散粒硫化物	100—1000
粘土	1—300
凝灰岩	1—100
前寒武纪片麻岩	10—100
花岗岩、二长岩、闪长岩	0—60
片岩	10—60
火山基岩	1—10

海水的导电性大大减小了干扰场,由于孔眼水的盐度较低,注水电流通常显示,同时它仍包围着电极(在注电时间短暂)。J. C. Murray (1989) 使用了一个 30m 的电极间距,一个位于电极箱中非极化的 Ag/AgCl 电极,当确定它们垂直而彼此垂直时,是正交线阵 EA 记录。在电极间距和观测站之间的相位角(以 μmrad 为单位的),除了极薄层 (1 cmrad 的厚度)以外,在平均值的范围内是正常和基线变化得到了 $10\mu\text{mrad}$ 以上的界限。据查,咸水层底部水和海层内铁磁矿和钙,重金屬等。对于 30m 的电极,其模型结构 μmrad 表明是材料物厚以及来处的铁磁矿含量约在 10%。

9.6 大地电磁法

9.6.1 引言

大地电磁率的变化可在测量天然低频磁场和电场时得到。前者,测大地磁场,在地球内部流动产生电流,称为大地电流。由磁场变化产生的电场强度和相位大小依赖于地质体上物理的电导结构。由于由地面电磁场感应的频率较低,一般在 10^{-5} Hz 与 10^{-2} Hz 之间,回电的强度高于 1 mV ,但随变化一般由受太阳活动引起的磁圈的电值体系产生。

磁场的变化规律可由以下麦克斯韦方程组描述:

$$\nabla \times \mathbf{E} = -\frac{\partial \mathbf{B}}{\partial t} \quad (\text{法拉第定律}) \quad (9.16)$$

$$\nabla \times \mathbf{H} = \mathbf{J} + \frac{\partial \mathbf{D}}{\partial t} \quad (\text{安培定律}) \quad (9.17)$$

$$\nabla \cdot \mathbf{D} = q, \quad (\text{库仑定律}) \quad (9.18)$$

$$\nabla \cdot \mathbf{B} = 0 \quad (\text{连续磁通量定律}) \quad (9.19)$$

其中, \mathbf{E} 为电场强度 (V/m)

\mathbf{B} 为磁感应强度 (T)

\mathbf{H} 为磁场强度 (A/m)

\mathbf{D} 为电位移 (C/m^2)

\mathbf{J} 为电流密度 (A/m^2)

q 为电荷密度 (C/m^3)

由于磁场与接收器之间的薄层上,故可把电磁场看作是平面波。对于均匀且各向同性的介质有:

$$\mathbf{D} = \epsilon \mathbf{E} \quad (9.20)$$

$$\mathbf{B} = \mu \mathbf{H} \quad (9.21)$$

$$\mathbf{J} = \sigma \mathbf{E} \quad (9.22)$$

其中, σ 是电导率系数 (S)

ϵ 为介电常数 (F/m)

μ 是磁导率 (H/m)

电磁场满足下面的方程 (Ward and Hohmann, 1987):

9.6.2 测量

海洋电磁场测量主要是将不同位置磁记录仪器测得值和磁偏值的,通常采用一套独立的器材(磁体)以成若干磁体阵列和阵内的磁通门阵列,并将它们置于测海面(海床表面、海底)测量磁场的变化情况(参见7.3.2和7.3.3节)。一般阵列布置在十字形,将采样频率设为每秒钟四次,场变化在1.0-2.0mT。进行电场测量时要用短距离基阵列,要采用与记录单元中心连接的水中电极,短距离阵列中各电极成相隔数米,这样更有利于作业(如图9.10)。由于水中的电极阵列将测量自然场的变化,将机械地把海水和电极连接起来,这种仪器可以保证精度达到0.001mV的情况下能在200m以内每小时,测得的记录频率测出若干个反场的频率。水电极主要由于100-1000m的绝缘线构成(绝缘为As₂As₂S₃电极)。虽然其探测时间长,但是由于水电极去耦合能力差,这样在电极阵列附近小尺度扰动引起的电场也可被记录下来并得到了。

图9.11为在东京湾海底用海底电极仪器测得的电磁场变化情况,同时也显示了陆上和洋面电极阵列内部磁体数目的千米的变化情况。本层中增加信号的衰减和测量,随着距离大于千米降低曲线,为相对电磁场变化的响应发生明显的变化。

9.6.3 利用电导率结构测定其它物理量

由于极型结构的探测响应易于计算,因而常在频率域分析大地电磁谱和 电场的振幅 E (mV/km) 与磁场的振幅 F (nT) 之间有下列关系:

$$\rho_s \sim (0.2/f)(E/F)^2 \quad (9.28)$$

其中 ρ_s 是频率为 f (Hz) 时的极型电导率, $\Omega \cdot m$ 。查得到一种零电阻率的 ρ_s 值,在频率范围内已知结构的响应曲线拟合最佳为止。地球磁特性与测深和通过的电阻率变化来描述,各向异性也包括在内 (Gallik and Moxineff, 1987)。当使用多电极测深二维模型作业时可考虑其电阻率的横向变化。

如果找到一种极型电导率模型,那么还存在解决唯一性问题,因为在一定频率范围内已知可以无限多的电导率模型能满足。地球对大地电磁谱非线性响应与测深更加复杂 (Parker, 1980; Parker and Reiter, 1980)。通过将问题线性化而求得线性化的结果,图9.12是北大平洋一些磁体阵列测得的电导率剖面图,其中的数据点反映了电导率推算中所固有的非唯一性问题。

我们还可以通过不同电导率分布来建模,这种分布符合测深值,且能得到它们的非有特征,蒙特卡罗法能产生随机模型,每种模型都用模型拟合点与地球响应一致。如果一直或存在下来,这种模型产生的。蒙特卡罗模型是以包括所有符合可能条件的变化,该方法的优点在于寻找这一类模型时不会产生死点似的,缺点是未能保证在有限计算模型内使用所有的可能模型。

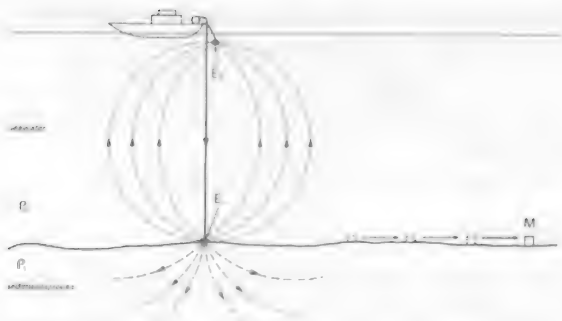


图 9-12 用半圆量角仪测量电阻率的 Wenner 方法的原理示意图。电流是通过垂直电极中流入海底。流入海底的电流直接在地壳中产生了方位磁场 (据 Edwards, 1985)。经美国地球物理联合会许可后引用。

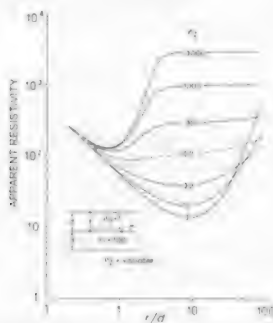


图 9-13 简单的一维电阻率模型中电阻率随距离的变化。图中曲线为 r/a 的函数，其中 r/a 为电极间距与电极深度的比值。图中曲线的电阻率单位为 $\Omega \cdot m$ ， $r/a = 1000$ 的曲线表示电阻率之和如图中所示。 (据 Edwards 等, 1985)。经美国地球物理联合会许可后引用。

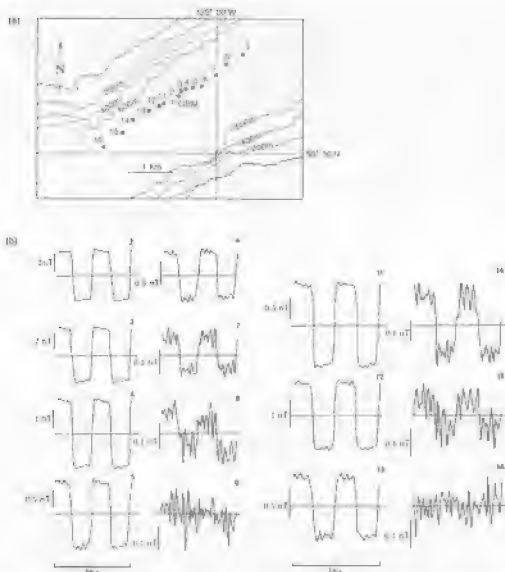


图 9-17 (a) 用 M868 磁通量测量系统 (Bois) 测量得到的渤海磁力线 (Gauss) 和深度 (米) 2-16 站点的等深图; (b) 分别在 2 号 (11 站) 站使用“极发射线发射信号”测到的磁力线记录到的磁通量分量变化情况 (据 David 等, 1983)。帮助探地球物理学学会发布图册

的仪器时,发现 15m 深处的沉积物电阻率从约 $2 \Omega \cdot m$ 迅速上升至 $12 \Omega \cdot m$ 。该电阻率与 26m 处 (1.9 $\Omega \cdot m$) 的松散沉积物的电阻率非常接近,该处相应的孔隙度为 38%,在 15m 处的迅速上升也与水冻层顶部相一致。

9.8 可控源电磁法

9.8.1 引言

当电磁波穿过海洋时,在海底产生感应电流,该电流又产生与海底电导率相关的高频电磁场。虽然非中性的溶解磁场是海洋和陆地的主要问题,但对一次和二次电磁场的组合测量依然是

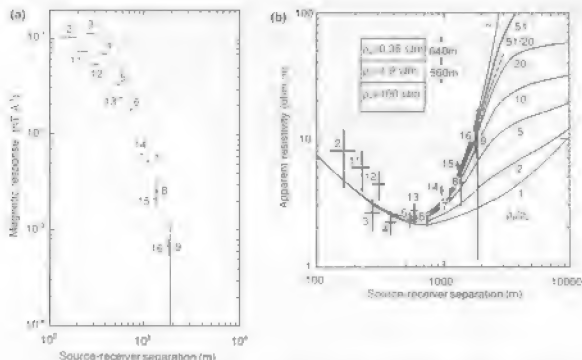


图 9 (a) 与图 9.15a 中双极测点 2~9 和 11~16 型的发射电流正交的频率为 0.125Hz 处磁通量垂直分量, 横轴为双极地磁仪测距; (b) Data 为在 0.25Hz 测得的电阻率曲线与半无限电阻率曲线拟合后的对比图, 土层厚度为 640m (据 Edwards 等, 1983, 查国际地球物理学会允许后引用)。

个很有效的方法。这种方法将传导率作为深度的一个函数。这样建立在分析方法基础上的传导率模型可以限定在简单的几何图形上, 如柱状图、薄片图和半空间图。在测量更复杂的电阻率分布时, 既可以应用数值模拟的方法 (如有限元法与有限差分法), 也可以用实验来模拟的方法 (Oldenburg, 1987; Everett and Edwards, 1991; Flueckiger; and Constable, 1996)。另外, 传导率也可以直接从电磁场的一个或几个分量计算出来, 其中电磁场可表示为时间或者频率的函数。然而, 由于电磁感应的反问题并不是线性的, 所以对它们求解是相当复杂的。但可以通过不断的更新线性化模型得到它的交互式解。

海底传导率是利用一般的简单线性几何关系来研究的。在频率低于 100kHz 的情况下地球物质的介电常数 ($\epsilon < 10^{-1} \text{ s/m}$) 可以被忽略 (方程 (9.20) 和 (9.23))。在传导电流支配位移电流的情况中, 集肤深度 (Skin depth) d_s 可以表示为:

$$d_s = \left(\frac{\rho}{\mu \pi f} \right)^{\frac{1}{2}} \quad (9.30)$$

在 d_s 深度处电流振幅减小到其初始值的 $1/e$ (约 37%)。其中, ρ 为介电电阻率; μ 为介质磁导率; f 为电源频率。因为电磁波是在一个非磁性的介质内传播的, 固有 μ 即为自由空间的磁导率 ($4\pi \times 10^{-7} \text{ H/m}$)。方程 (9.30) 可简化为:

$$d_s = 503.3 \left(\frac{\rho}{f} \right)^{\frac{1}{2}} \quad (9.31)$$

其中, d_s —米 (m); ρ —欧姆·米 ($\Omega \cdot m$); f —赫兹 (Hz)。

因此, 主发射机发出的电磁信号穿过高电阻率基岩层和低电阻率海水层后所接收的信号有非常明显的差异。200Hz 的电磁波在表观为 $1 \times 10^3 \Omega \cdot m$ 中的有效穿透距离为 11.2km, 50Hz 则为 22.5km; 若为水中这两种电磁波的有效穿透距离分别为 17.8m 和 35.5m。为了保证在地面接收到强的电流, 一般采用可控源电磁发射机放在海底或接近于海底附近。通过对海水段磁器可以有效地去除来自深海的干扰干扰。但当将发射机置于大陆架上部, 由于来自深海信号穿过浅海低电阻率的介质和可能导致噪声干扰信号的增强。

9.8.2 可控源电磁系统响应

可控源电磁测量方法可分为两类: 水平双电极法 (HED), 垂直双电极法 (VED), 水平双磁极法 (HMD) 和垂直双磁极法 (VMD)。

发射器和接收器一般具有相同的结构: 由同一直线上的水平双电极, 同一平面的垂直双磁极和共轴的水平磁极一部分组成。发射器可以有两种控制模式: 频率域系统发射一个单一频率的信号或者连续发射多个不同频率的信号, 然后测量其稳定状态响应。时间域系统发射一个瞬时的电磁场 (通常呈 δ 方形成三角形成), 所以无初始磁场的频率选择能谱可决定地球的响应。初次磁场会严重影响初次和二次磁场的联合测量结果; 而时间域系统恰能很好地避免初次磁场中的无规律性问题, 所得结果与傅立叶运算相同。

图 9.17 给出了海面传导率为 0.005 或 0.005 S/m 半空间上覆的传导率为 3.2 S/m 的海水层发射 1Hz 频率的信号时, 通过增加收发距而接收到的径向电场 E_r 和垂向电场 E_z 的变化情况。海水和两个半空间的相应集肤深度分别为 0.27km, 3.3km 和 7.1km。当收发距小于海面介质的集肤深度时, 半电场的衰减主要受海水传导率控制。在更大的范围内, 下面介质的传导率占主导地位, 因而两种模式的差异随收发距的增大而增大。垂直电场对应于小范围的低中传导率介质的影响。10km 以外两种模式的区别开始明显。

设计可控源电磁系统测量, 通过研究不同收发距的模型场属性或将其视为频率的函数来分析它的结果 (Smith 等, 1960; Everett and Roberts, 1991)。图 9.18 中的曲线给出了传导率为 0.005 S/m 的半空间示意图, 其中部有深为 1.5km 或 3.5km 厚 1km 的物壳层。一种情形为壳的传导率低于半空间的传导率 10 倍, 另一种情形为层的传导率为半空间传导率的 10 倍。浅的低传导率带, 造成传导率随距离增加而减弱其衰减速度, 这主要是由于高电阻的屏蔽效应。如果剖面更深一点的话, 对表面电场的作用将会更弱, 仅仅在更大范围才能明显起来。为了探测低传导率区域, 比如 1km 深的部分熔融区域, 收发距必须大于 5km。如果这个区域在 5km 深处, 则收发距至少是其 2 倍。如果层的传导率高于半空间, 电场将在更大的范围内快速衰减。然而, 由于层与半空间顶部之间的电场为双极波, 所以在较小范围内电磁信号将会加强。

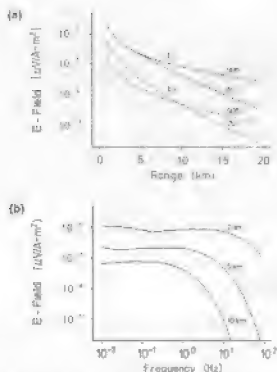


图 9-17 (a) 沿向电场 E_z 和垂直电场 E_y 在频率为 100 Hz 时随距离的变化, 海水的导电率为 3.2 S/m , 下伏地层的导电率分别为 0.05 S/m 和 0.005 S/m ; (b) 沿向电场在潮距分别为 0.5km、1km 和 10km 时随频率的变化情况, 海水的导电率为 3.2 S/m , 下伏地层的导电率为 0.05 S/m (据 Chave 等, 1987), 经勘探地球物理学允许后引用。

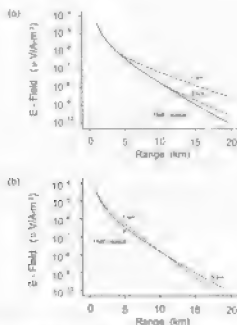


图 9-18 频率为 0.01 Hz 时沿向电场随潮距的变化。图 (a) 中的连续曲线为导电率为 3.2 S/m 的海水中空间和下伏层中率为 0.05 S/m 和 0.005 S/m 的空间中的电场变化。虚线为 1km 厚 0.005 S/m 导电率地层的变化, 其中地层中心分别位于 1.5km 和 3.5km 处。(b) 为含 1km 厚 0.005 S/m 导电率地层的变化的变化 (据 Chave 等, 1987), 经勘探地球物理学允许后引用。

图 9.19 给出了假设距为 100m 的情况下, 双电极分别在不同传导率比值的海水一半空间的瞬时的反应, 这两个一半空间分别代表海水和较绝缘性的岩石。大约经过 2 个阶段(约 10s)电场达到它的直流值。由海底电磁场的散射引起的初始位移约为直流值的一半。我们可以通过测量初始位移发生的时间得到海底电导率。第二个阶段(约 0.1s)由电磁波在水中的传播引起的, 主要由海水的电导率决定。场的性能来自于早晚两阶段响应的叠加: 前一阶段很大程度上受海底电导率的控制, 因此可以通过假定它是良导体得到响应值, 而后一阶段的结果则很大程度上受海水电导率的控制, 所以可以通过假定它是绝缘体得到响应值。水平磁极的响应基本相同 (Crossman 等, 1987)。建立海底以下区域的传导模型时采用早期阶段的瞬时值就足够了, 因为后阶段的信号对海底电导率的依赖程度较小。

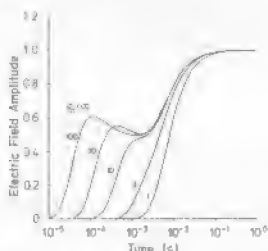


图 9.19 界面处其他双极电极在代表岩石上的海水一半空间的瞬时阶跃响应。假设一半空间的电导率为 3 S/m, 双电极距为 100 m; 电场的阶跃值(规定为每 1 s 秒时的值)。图中显示了不同电导率时的情况(据 Edwards 等, 1988)。经勘探地球物理学会允许引用。

9.8.3 海底静态测量法

C. S. Cox 等人 1986 年就已经设计出用于海底测量的水平双电极系统。发射仪由 500~1000m 长的绝缘电缆组成, 且电缆两端装有 15m 长的不锈钢电极。发射能量通过置于固定浮标或船上的 15~30kW 的发射器发射, 信号通过绝缘导电电缆得到。经过整流电路合成后的波的频率介于 1/16 和 16Hz 之间。

先用低噪、低电阻的 Ag-AgCl 电极测量离发射源 1~200km 内的场强度, 并以数字形式存储于底部记录仪中。P. D. Young 和 L. S. Cox 于 1981 年在东太平洋海隆使用了短距离电场记录器。这种仪器由两正交的刚性天线组成且天线末端装了 Ag-AgCl 电极, 天线长 9m, 是锚系统的一部分。S. Wood 等人又于 2005 年研制了一种长天线电磁记录仪, 它由 200~300 m 长的铜线和 Ag-AgCl 电极组成。工作过程中船慢慢前进, 记录仪随着拖曳于船尾的天线被慢慢放下。当记录仪放在海底时, 整个系统慢慢展开, 两电极的方向和位置通过声学系统定位。

9.8.4 拖曳式可控源系统

拖曳式主动源电磁波系统已被用于研究一些海底的特征, 包括岩浆体、硫化物、砂岩和赤流层等。M. S. Stedje 等 (1990), S. Cornsby et al. and C. S. Cox (1990) 介绍了一种使用拖曳于海底附近的水平双电极发射器和海底接收器的仪器, 用以测量水平电场值。Stedje 等设计的这套仪器由一个中性浮力的发射器和一系列自由下落的仪器组成, 如图 9.20 所示。两根电缆将一个电子控制器和两个 10m 长的铜丝电极连接起来, 两个电极相隔 10m 作为发射器使用。将船上 3.50Hz 的电源 (约 2000Vms) 电源产生的电流通入电缆, 然后逐渐降压得到一系列正半周期或负半周期的电流传输给发射天线。程序产生生成多组正弦极性的半周期电流, 然后产生脉冲形成, 这些波在设定范围内随时间衰减变化。频率介于 0.05Hz 和 8.0Hz 之间的波已可用于海洋实验。拖曳式中频率为 3.5kHz 和 7.0kHz 的单波束回声探测系统主要用于遥控天线离海底的高度并记录各沉积层的近似厚度。



图 9.20 拖曳源电磁波系统, 经 Kluwer 学术出版社允许引用 Stedje 等, 1990。

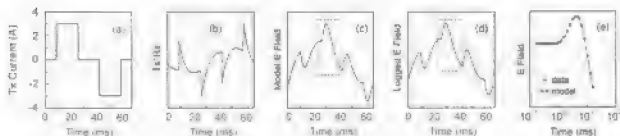


图 9.21 在 2°N, 52°E 洋中实验活动目标区解释数据的一种方法: (a) 瞬时电流变化, 测电流变化和磁致器的脉冲响应进行模拟并得出结果作为 (b) 的值; (c) (b) 与模型脉冲响应的模拟得到后滤波谱与 (d) 的合成电场变化; 相应于发射信号, 合成的电场变化与记录在对数图上的海底电场变化进行对比 (e); 第 Cornsby 等, 1990, 经美国地球物理联合会允许引用。

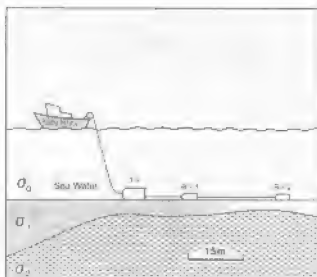


图 9.22 拖曳式水柱双电极系统。其中 T 为发射器， R_1 和 R_2 为接收器（据 Chressman 等，1983，经 Elsevier Science 允许后引用）。

各个电场接收器先数字化正交电极对的电压差再将它记录下来，穿过防水的大线设计成垂直串。当到达海底时，电极臂向下折叠并各海底形成的隔为 13.5m 的跨距。两电极，多孔聚水的 Ag-AgCl 电极安置在电极臂末端，电极臂射孔以给出电极和海水间紧密的电接触。该套仪器还有一个磁罗盘，用照像来记录电极臂方向，然后通过启动声释放回收记录。

瞬时双电极间位于装置由各自独立的一套发射—接收单元组成，它已经安装在可承载入深潜器阿尔文号上测量了 26°N 大西洋中脊 TAG 18 热液硫化物出露处的电阻率（Garrison 等，1980）。每套仪器均包含两个由微处理器控制的发送和接收频道，Ag-AgCl 非极化电极接收来自发射器的双极平面波，测量后将接收器置于海底并使其在离发射器 70m 的地方与发射器一起转动。图 9.21 给出了瞬态场的情况，同时还描述了得到地面电阻率的整个过程。模型的响应首先是通过模拟发射器的电流变化值与接收器的脉冲响应而得到的，然后再用模拟的脉冲响应褶积合成信号（图 9.21c），再通过选择与模拟信号第一段相应的电流变化值，将合成信号和实际信号在对数图上进行比较（图 9.21e）。开始时假使传导率是一致的，如果拟合结果不好的话则再引入一个两层模型。大多数热液区的电阻率介于 0.06 到 0.74 $\Omega \cdot m$ 之间，比海水的 0.3 $\Omega \cdot m$ 要低。较低的电阻率（0.09 $\Omega \cdot m$ ）与该区大量的硫化物沉积有关；而高值岩的电阻率则较高，这主要是由于其含有硫化物和硬石膏的缘故。

时域水平双磁系统主要由一个发射线圈和两个接收线圈组成，在阿加加拿大西海岸的传导率分布时导系统以 1m/s 的速度拖曳于海底（图 9.22；Chressman 等，1983）。发射线圈中的电流每隔 0.5m 转换一次，接收线圈读数以 10 秒间隔记录。图 9.23a 是双半径四模型的瞬时理论曲线，该模型代表电阻率分别为 1、3、10、20 的海底以上的海水。海底电阻率越大所产生的信号则越短，振幅则越高。图 9.23b 给出了通过曲线拟合的电阻率求得的记录信号情况。电阻率求与通过地质法得到的沉积物厚度密切相关，它从高电阻出露早礁的 20 变到上覆 25 多米厚沉积物海底的 2 左右。

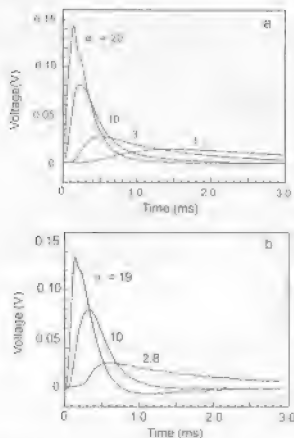


图 9.13 (a) 模型时域表示对随机系统的瞬态理论响应。该模型由两个半空间组成，分别代表海—海床、海床—沉积层界面，电阻率面密度为 1、3、10 和 20 欧姆米。瞬时电压响应曲线形状与海底电阻率成正比（图 9.13b）；曲线上的峰峰峰值随时间常数 τ 而随极化系统的瞬态响应。图中给出了海—海床—海床层的推断电阻率值（据 Hase et al., 1987，经勘探地球物理学会允许后引用）。

第十章 海底放射性勘查

10.1 引言

基于近地表放射性元素的丰度差异,地面放射性测量为探测岩性变化提供了一种敏感的手段,前日也为寻找有经济价值的矿物提供了强有力的方法。如果岩石含有某种自发就变元 m_ZX (m 为质量数, Z 为原子序数),它就会发射出 α 粒子和 β 粒子、 γ 射线。 α 粒子是带正电的氦核 ${}^4_2\text{He}$,是元素 X 衰变产生新元素 Y 时所释放出来的,如下:



带负电的 β 粒子是在中子衰变为质子和电子时产生的,同时元素 X 的原子数增加1,质量数保持不变,如下:



γ 射线是频率大于 10^{10}Hz 的电磁波,是核衰变中 X 从电子俘获过程中放射出的高能光子流。此时电子从最里层的 K 层进入到原子核,



α 粒子和 β 粒子这两种放射性粒子是高能电离性的,不到1mm厚的纸张就能有效阻挡住 α 粒子, β 粒子在固体或液体中穿越几厘米就损失掉大部分能量。这样它们从海底发射或向岩石就不能够被水柱中的传感器探测到。成鲜明对比的是,不带电的高能 γ 射线在穿越几百米空气或几百厘米水后还能被接收到。这些粒子发射时的能量反映放射性的特征,因此通过测量光子能量能识别出产生辐射的同位素。在海洋物理勘探工作中,我们关心在1~3MeV这个能量范围。

对于海底勘探,已经比较好地建立了放射性勘探方法。虽然这种方法在海上应用中刚刚起步,但是已经向大陆架和一部分深海区域提供了很有价值的勘探岩性指标。在描述如何观测和解释放射性勘探之前,我们先来讨论这种勘探技术的基本原理。

10.2 地球内部 γ 射线的放射

自然界中有30多种元素具有放射性衰变特征,但是其中只有钍、铀、钍的元素丰度较高,足以应用于放射性物理勘探中。图10-1为成岩和沉积岩中的丰度图表(表10-1给出),含有这些元素的比较重要的矿物列表10-2列后。富铀的矿物在火成岩和沉积岩中比较常见,富钍的矿物在部分火成岩和沉积岩中富集,铀和钍也存在于某些浮岩矿物中。表10-3给出了一些主要岩石的基本放射性,很多在花岗岩富钍、铀、钍,是花岗岩的 γ 放射源。含20%以上 FeO 的磁铁矿在沉积物是重要的放射性沉积物之一。富铀富钍、通常含量超过100ppm,相比之下,含铁岩含量少于30ppm。在陆地上,已经用航空辐射探测仪测出了很多花岗岩体和磷灰石和重矿物。

表 10.1 火成岩、沉积岩中放射性核的含量 (据 Element, 1982)

放射性核素	超基岩岩 (ppm)	基性岩 (ppm)	花岗岩 (ppm)	花岗岩(低钙) (ppm)	页岩 (ppm)	砂岩 (ppm)	石灰岩 (ppm)
⁴⁰ K	0.0047	0.98	2.97	4.96	3.14	1.26	0.32
Th	0.004	4	8.5	17	12	1.7	1.7
U	0.001	1	3	3	3.7	0.45	2.2

表 10.2 放射性矿物 (据 Taitford 等, 1996, 经刘格元学出版社允许后引用)

矿物	赋存
钾	
1. 正长石, 微斜长石, 钾长石 (KAlSi_3O_8)	酸性火成岩和结晶花岗岩主要成分
2. 白云母 ($\text{H}_2\text{KAl}(\text{SiO}_3)_2$)	酸性火成岩和结晶花岗岩主要成分
3. 明矾石 ($\text{K}_2\text{Al}_6(\text{OH})_{12}\text{SO}_4$)	酸性岩类岩中变质成分
4. 钾盐, 光卤石 (KCl , $\text{MgCl}_2 \cdot 6\text{H}_2\text{O}$)	碱盐类沉积物
铀	
1. 独居石 (ThO_2 + 稀有元素磷酸盐)	花岗岩, 结晶花岗岩, 片麻岩
2. 方钍石 ($(\text{ThU})\text{O}_2$)	花岗岩, 结晶花岗岩, 冲积矿
3. 铈矿, 铈钍矿 ($\text{ThSiO}_4 \cdot \text{U}$)	花岗岩, 结晶花岗岩, 冲积矿
钍	
1. 沥青铀矿 (铀, 钍, 镭的氧化物, 稀有元素)	花岗岩, 结晶花岗岩和钼、钨、铜的矿脉沉积物
2. 钨铀铈矿 ($\text{K}_2\text{O} \cdot 2\text{HfO}_2 \cdot \text{V}_2\text{O}_5 \cdot 2\text{H}_2\text{O}$)	砂岩
3. 沥青铀矿 (沥青铀矿变质物)	伴生于沥青铀矿

铀的两种放射性天然同位素 ^{235}U 、 ^{238}U 分别衰变为稳定的 ^{207}Pb 、 ^{206}Pb (铀矿绝大部分由铀矿) 铀是由 ^{238}U 组成的, 这种 ^{238}U 本身并不释放 α 射线, 但是它的几种“衰变产品”释放, 而且正是这些放射源在放射性矿物中具有重要性。铀在天然铀中含量只有 0.7%, 而它的“衰变产品”铀射的 α 射线能量为 4.0 (0.026 ~ 0.046 MeV), 在铀矿中铀矿没有意义, 天然铀中的铀以放射性同位素 ^{238}U 存在, 它衰变成 ^{234}Th , 同时“衰变产品”释放出 α 射线, 铀只有 ^{238}U 放射性同位素 ^{238}U 占天然铀含量的 0.012%, 1.0% 的 ^{238}U 原子核通过“电子俘获”衰变成 ^{234}Th , 同时发射出能量为 0.054 MeV 的 γ 射线光子, 而绝大部分 ^{238}U 原子核通过发射电子衰变成 ^{234}Th 。

表 10.3 岩石的本底放射性
(Telford *et al.*, 1990, 经剑桥大学出版社许可引用)

岩性	放射性 ($\text{Curies/g} \times 10^{-12}$)
火成岩	
花岗岩	0.7 ~ 4.8
玄武岩	0.5
沉积岩	
石灰岩	0.4
砂岩	2 ~ 4
白云石	8
变质岩	
石英岩	5.0
板岩	3 ~ 8

图 10.1a、b 显示了轴、针变发射的 γ 射线独特的能量值。图中的曲线不是实际测到的, 因为粒子的初能量在成射源内部, 被射源到探头间的旅途中, 以及在探头内部, 因粒子的相互作用而衰减了很多。这涉及到了两种物理过程 (图 10.2)。

1. 光电效应

γ 射线的能量被原子的束缚电子全部吸收, 这对于低能量 (0.2MeV) 的 γ 射线来说是最常见的一种现象。对能量的吸收程度主要取决于介质的原子序数。

2. 康普顿散射

入射的 γ 射线能量部分地被头吸收了, 因此其路径发生偏斜。这种相互作用对于中轴能量 (0.2~2MeV) 的 γ 射线起支配作用, 而介质的原子序数对能量吸收的影响不像低能时那么显著。

3. 电子对的产生

入射的 γ 子在靠近原子核或电子时被吸收, 同时产生一个正负电子对。这种作用要求入射粒子的能量大于电子对的静能能量。既然电子的静能能量是 0.511MeV, 所以只有入射光子的能量大于 1.02MeV 时才会产生电子对。这种电子对的产生过程是高能 γ 射线与介质的主要相互作用形式。

用于海上调查的放射性核素器一般测定的伽马射线能量范围是 0.3~3MeV, 在这个能量范围里康普顿散射占优势 (图 10.2)。散射产生一个连续能量谱或康普顿连续谱, 其宽峰与图 10.1a、b 的轴、针曲线显示的谱线相关。康普顿连续谱的形状不仅仅是放射源元素能量的函数, 而且与探头的响应、放射源的几何外形、源和探头间介质的厚度有关。 ^{40}K 的谱, 在 1.46MeV 处有一个明确的谱峰 (图 10.3),

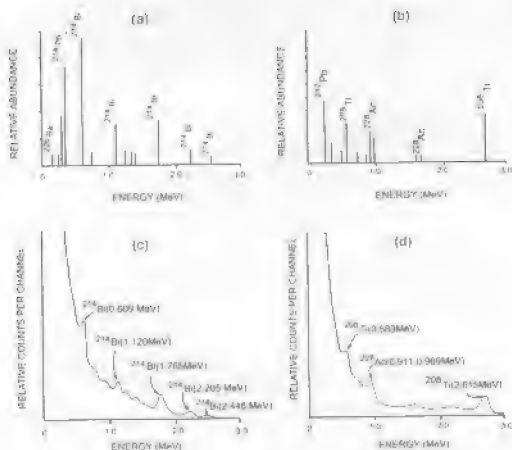


图 10.1 钋-214 的能谱 (a) 和 (b) 取自 Brinkman, 1980; 铋-214 的能谱 (c) 取自 Brinkman, 1980; 铋-214 的能谱 (d) 取自 Brinkman, 1980.

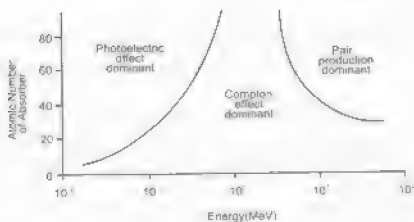


图 10.2 在 10^{-1} 和 10^2 MeV 能量范围内的主要作用 (取自 Evans, 1969)。图中显示元素周期表中最轻的元素 (H) 和 (He) 以及最重的元素 (U) 和 (Pu) 的原子序数在 8 到 92 之间。因此，图中在 0.1 MeV 能量范围内主要作用 (物理效应)。

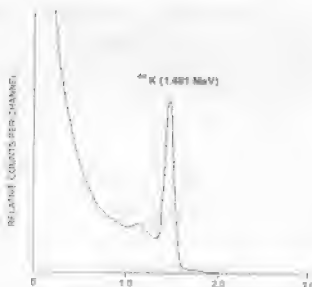


图 10.3 钾元素的伽玛射线谱 (引自 Evans, A. L. 和 Martin, R. G., 1988)

10.3 伽玛射线的衰减

伽玛射线的强度随着它在介质中穿过的距离呈指数衰减, 其公式如下:

$$I = I_0 e^{-\mu x} \quad (10.1)$$

这里 I_0 是初始强度, I 是穿越距离 x 后的强度, μ (μ_0) 是线性吸收系数; $x_{0.5}$ 是能量衰减到一半时所穿过的距离, 由下式给出:

$$x_{0.5} = 0.693/\mu_0 \rho \quad (10.2)$$

这里 m_μ 是质量吸收系数, ρ 是介质的密度。对于一种元素, m_μ 和吸收截面 σ_a 有如下关系:

$$m_\mu = N_a \sigma_a / m \quad (10.3)$$

这里 N_a 是阿伏伽德罗常数, m 是质量数。如果介质是由几种成分组成, 那么:

$$m_\mu = m_{\mu 1} \alpha_1 + m_{\mu 2} \alpha_2 + \dots + m_{\mu n} \alpha_n \quad (10.4)$$

这里 $m_{\mu i}$ 是第 i 种组分的元素吸收系数, α_i 是第 i 种组分所占的质量百分比。这样伽玛射线的穿透性就可通过元素分析来估计。对于一般岩石类型如花岗岩、玄武岩, 分别有且 m_μ 、 ρ 代入 (10.2) 式得到, 该能量衰减和物质组成不同, 如半衰期基本一样 (DePaolo, 1988)。

图 10.4 列出了一组光子分别在空气、水、花岗岩、混凝土中的半衰期。对于不同表面接收到的辐射剂量 (R) 是 3.7 毫居里范围内产生的, 这样海拔高度测量仪的伽玛射线探测器高度地面下 210~230mm 内的辐射剂量为 4.5。从图 10.4 我们看到在 1.76MeV (钠的 γ 射线) 处, 该射线在空气中通过 112m, 或水中通过 1.0mm, 或花岗岩中通过 0.4mm 后, 其能量就衰减到一半。

表 10.4 γ 射线的衰减(据 Durrance, 1986; Grasty, 1979)

光子能量 MeV ^a	半衰距 ^b			
	空气 ^c / cm	水 / cm	泥岩 ^d / cm	混凝土 / cm
1.46	102	118	58	53
1.76	112	130	64	58
2.662	137	160	78	70

^a 空气的状态为 6°C, 760mm Hg, 密度为 0.001293Mg/m³

^b 取自英国西南部的三叠纪泥岩, 密度为 2.30 Mg/m³

^c 密度为 2.5 Mg/m³

因此, 如果以典型的 150m 净空距进行陆地勘测, 对于初能为 1.76MeV 的光子核收到的能量大约是地面探测时的 30%, 当用于测量时, 探头必须距地表 170mm 才能接收到相同的能量。图 10.4 显示了水下核测量得到的放射性光谱。对于沉积层覆盖的放射性岩层, 仅几厘米厚的高层就足以掩盖它的放射性信号。

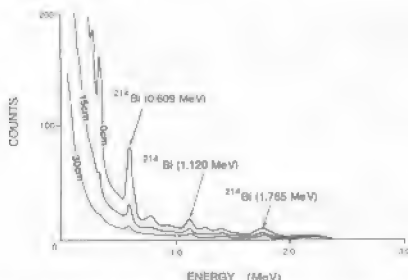


图 10.4 被不同厚度水层覆盖的地质体的 γ 射线能谱(据 Jackson 等, 1979, 经地球物理勘探学会许可引用)

10.4 γ 射线通量的测量

地球表面放射的射线一般用闪烁计数器来测量。这种计数器里的碘化钠晶体或碘化铯晶体经过钨处理后, 能将射线转换成光脉冲。假设 γ 射线被完全吸收, 则光脉冲的强度正比于入射的强度。实际上, 不可能达到 100% 的转换效率, 因此就要对脉冲高度谱曲线形状作修正。光脉冲被运送到光电阴极的光电倍增管, 该管与读数电路相连。 γ 射线能量最终记录为 1 秒或 1 分时间窗内的计数数目。

形式最简单的闪烁计数器是测量一定能量段内(一般是 3.3-3.0MeV 的)射线的总强度,不过,对大多数的仪器都包括一个分壳仪用以确定包含“S”、“T1”、“T2”系列特征峰峰(图 10.1、10.3)能量带的射线强度。能量窗一般设在 1.37-1.85 MeV (“S”系列)和 2.31-2.81 MeV (“T1”),这能使分散峰被记录时不受到窄峰的干扰。与每个能量窗相联系的计数数目不仅可以显示为多道谱条形图的前端,也可数字化记录。

10.5 元素丰度的估计

除了固体地球的放射外,所测的 γ 射线通量里还有非地核放射源的贡献,因此若从计数率推导出元素丰度前必需将非地核放射源的贡献排除掉。将闪烁计数器从海底提高几米,就可测出海水中的本底放射水平。在每一条测线的起点和终点,当计数器在空气中时都需要测量本底水平。本底放射主要来自于宇宙射线和计数器本身,其他可能的放射源是“辐射衰变”产生的副产品氡(^{222}Rn)和核辐射微尘。

在深海的多数地方,氡的 γ 放射一般可以忽略,因为它的半衰期只有 3.825 天,而且其短寿命产品在衰变时发射 ^{214}Pb (26.8 分钟)、 ^{214}Bi (19.7 分钟)比底部海水的更新率短得多。但是在热液活动区和大陆边缘的气或水渗漏区就要考虑其放射影响了。同样,底层水的更新率也比核放射微尘的“假主体” ^{238}U 的半衰期长得多。在大陆架,如果渗漏和沿海渗透或生物体的混合效应,则来自于核试验、意外事故、废弃物等的放射不可能是主要的长期的水体本底放射成分。然而,在局部地区,核废弃物很快地溶入深海沉积层就会加强海底的本底放射水平(Lang, 等, 1988a)。

排除本底放射影响后,还要再考虑铀、钍、钷的 γ 放射能谱的重要性才能从 γ 射线通量推导出它们的元素丰度。如图 10.6 所示,在 1.76MeV 处,以钍元素本身放射的 γ 能量,其计数率并不产生谱峰,但是其记录值即在此能量处有 γ 光峰的铀元素的约 1/3。为了简化计数数目,在从每个能量带得出的数目被记录前,要减掉一个已知源计数率部分或是“剥离校正量”。如果铀、钍、钷的真计数数目是 N_{Th} 、 N_U 和 N_K , 那么

$$N_{Th} = N_{2.62} - B_{2.62} \quad (10.5a)$$

$$N_U = N_{1.76} - B_{1.76} - aN_{Th} \quad (10.5b)$$

$$N_K = N_{1.46} - B_{1.46} - bN_{Th} - cN_U \quad (10.5c)$$

这里 $B_{2.62}$ 、 $B_{1.76}$ 、 $B_{1.46}$ 分别是各 2.62MeV (钍的主峰值)、1.76MeV (钍的主峰值)、1.46MeV (钷的主峰值)处的本底计数, a 、 b 、 c 是“剥离”(校正)比。“剥离”比用探头测量,理想的确定方法是选择一个包含已知量放射元素的海底,让探头与海底接触,进行测定。实际工作中,是在空气中借助于一个拥有放射性元素家族的水泥管子来标定的。在 1MeV 能量以上,出现几米厚的水层并不显著地影响伽马射线谱的形状。然而,由于海水和探头间海水对伽马射线的衰减作用,对之校正仍是必需的。既然放射源精确的几何形状不可能知道,特别是在地形不规则地区,因此通过这种方式得到的元素丰度值必须谨慎对待。

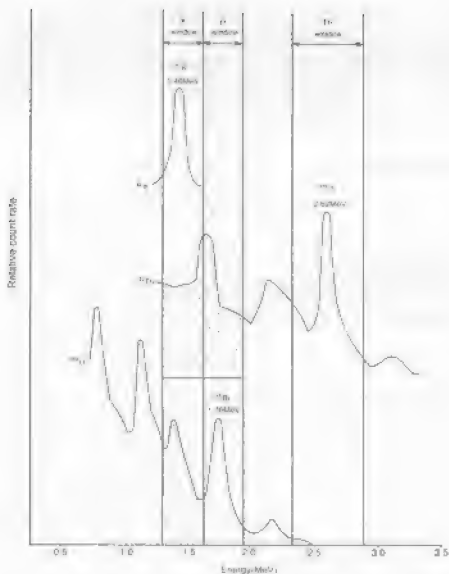


图 10.5 使用单道脉冲高度分析器测得的 ^{40}K 、 ^{232}Th 和 ^{235}U 系列谱图。谱图以与多道谱仪一起工作时标定了 keV。图中给出了伽玛射线的能量窗口的名称 (Radford and McCraven, 1976; In Durrance, 1986)。

10.6 用于海底勘探的伽玛射线探测器

10.6.1 大陆架上的点场观测

最早的一些海底放射性测量是 1974 年由 (J. L. Sommerhayes) 等在摩拉维亚架的一块被石油钻探物污染的区域上进行的现场观测。他们将传统的计数型计数器设置在一个合金管中，用一根电缆系着合金管将其下放到海底（如图 10.4），每隔点下观测持续大约 2 分钟。他的方法工作清楚地表明在一些潜在的混合输出源的观测点，伽玛射线的信号显著地增强。

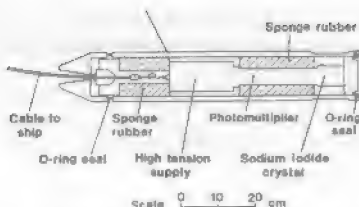


图 10.6 用于大陆架地质测量的便携式计数器 (据 Summerhayes, 1970)

J. E. Nookes 等于 1971 年在佛罗里达近岸海槽做的试验中曾利用静止的 γ 射线探测器进行观测。这个探测器包含一个 15cm³ 大小的锗 (锂) 传感器和一个低温储藏器, 而探测器被安置在一个固定于三角架上的不锈钢容器里。在船上通过液氮将传感器维持在 -180℃ 的工作温度上。除去冷却器时传感器可以置于海水中长达 24 小时, 而此后, 又必须将其重新冷却。探测器通过电缆置于船底, 同时信号由电缆传到船上的谱分析仪。

10.6.2 用于大陆架勘察的拖体式闪烁计数器

最早制造的拖体式闪烁计数器之一是用于杜利阿兹湾的普查中的 (Bastie, 1971)。几乎在同时, J. M. Muller 和其他一些人 also 制造了一个拖曳式仪器, 该仪器包含一个 76 × 76mm NaI (Tl) 探头和关联电路, 而这两部分与一个高压电源一起安置在一个聚苯乙烯的辐射管中 (图 10.7; Muller, Symons, 1973; Muller 等, 1975)。探头里包含一个 60keV⁻¹Ar 放射源用作能量校准的参考。探头系于一个 850m 长的铠装电缆上, 同时它又和最后的 30m 长的电缆一起封入一根灵活的软管中以便减少被岩石露头和其他障碍物触挂的危险。软管里有两条 30m 长的铅管穿过, 以便使软管具有和主传导电缆一样的拖曳比。通常以大约 2.5m/s (大约 5 节) 的速度拖动探头沿海底前行。

探头电缆中被输入船上的四通道的脉冲高度分析仪, 该分析仪能测 0.100-3.000MeV (γ 线总的能量范围), 1.310-1.610MeV⁻¹K⁴⁰, 1.320-1.940 MeV⁻¹U, 和 1.175-2.970MeV⁻¹Th²³² 这四个能量段。每个通道的输出结果又输入给计数器计和定标器, 然后在条形图记录仪上显示计数率。以 1 分钟和 10 分钟的周期记录来自定标器的数据以产生基本的地底放射水平背景线图。使用这种仪器探测放射性异常的例子见第 10.7 节。

19 世纪 70 年代初期 J. E. Nookes 等也开发了一种拖体式闪烁计数器, 这种计数器与刚刚描述的那种计数器的不同之处在于: 它的 NaI (Tl) 传感器是安置在一个金属滑槽上, 这就减少了避免仪器被碰挂的危险; 脉冲只在两个能量段记录, 以 1MeV 为界限。使用这种计数器在佛罗里达近海的艾米利岛附近探测到了富重矿物沉积层的铀钍放射性。J. C. Gascher 等 (1975) 也设

计了一个相似的闪烁式闪烁计数器。这种计数器包含两个 NaI(Tl) 探头，大小分别为 $75 \times 76 \text{ mm}$ 、 $150 \times 100 \text{ mm}$ 。大小探头分别使用 500s、300s 的计数时间，约 1 m/s 的速度被拖行，该仪器曾用于法国附近地中海海岸的岩性差异调查。

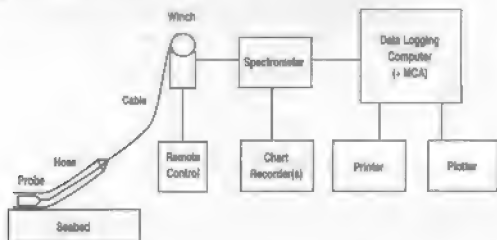


图 10.7 用于大陆架调查的闪烁式闪烁计数器系统的结构简图，MCA 指多道分析器 (引自 S. Jones 和英国地质调查局许可引用)。

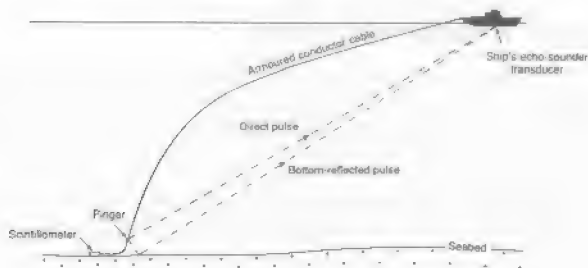


图 10.8 闪烁式闪烁计数器进行深海航放射性勘探工作示意图 (据 Jones, 1996)

10.6.3 用于深海调查的闪烁计数器

人们设计了一种拖曳式的总数闪烁计数器用于深海调查，其装配方式见图 10.8 所示。一个 NaI(Tl) 探头、光电倍增管和电源以密封式封装在一个足以在 4000m 海水中工作的耐压容器中。仪器记录 0.08~2.5MeV 能量谱内的脉冲，以 100s 的间隔输出标定的计数数目，计数值储存在耐压容器中，也通过 8000m 的铠装电缆传送到船上。通常以约 1.0 m/s 的速度拖行仪器前进，同时

保持中部的 NaI(Tl) 探头距海底 200mm。为了保证电缆足够长以使探头距海底 200mm，需要将一个 100Hz 的声脉冲发射器缚于仪器附近的电缆上，将该地底规定的直达信号与海底反射信号的时间差。

B. S. Stokes 等 (1992) 已经使用阿尔文深潜器的计数时间计数器在一系列的潜水作业中调查了太平洋东北部胡安·费尔南德斯海脊上的热液烟羽区。计数率被输入到通用数据记录仪以便与视频图像图像联系在一起。在距惠惠岛沉积 2.1m 处探测到了异常高的计数率，而该沉积含有大量铀 ^{238}U 。

10.7 近海放射性勘探实例

10.7.1 北海

使用闪烁计数器在不列颠周围所作的几条测线显示很多区域海底放射性烟羽的总通量比海水本底放射水平高数倍。在英格兰东北的北海就有这样的区域。在那里，含铀铯和铯层构造的叠积和侏罗纪-白垩纪来源于河流冲刷的海底（图 10.9）。图 10.10 显示了一组距海岸 10 到 100km 测线上连续 5000 记录的总计数率的变化，同时还表明了从近似“测线”校正得到的海底铀、钾元素的含量。

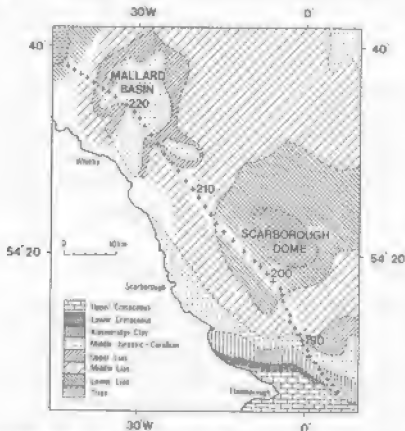


图 10.9 英格兰东北部北海与海底地质相关的放射性勘探测线图位置。测线上的数字表示与图 10.10 中剖面图标注的数字位置相同（据 Miller and Symcox, 1980）。

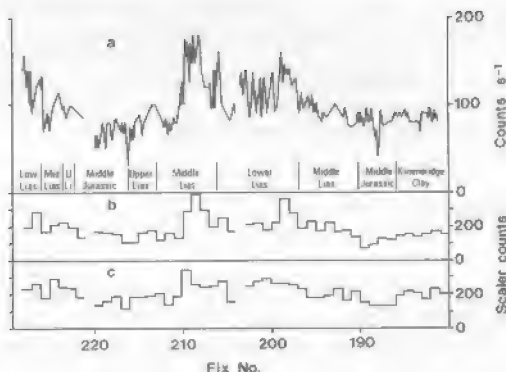


图 10.10 英格兰东北部北海放射性勘探的结果: (a) 总计数观测值; (b) 经“衰减校正”决定的“铀”剖面; (c) “钍”剖面。放射性元素的计数时间均为 60ms。剖面位置见图 10.9 (据 Miller and Symons, 1973)。

放射性剖面清楚地表明了卡布罗构造—斯卡布罗湾隆和曼拉德海盆周围有叠系和侏罗系无重复出露。有些地方出露中侏罗纪放射性海相石灰岩和凝灰岩、页岩。高钾泥岩低计数率。相反的是, 主要由含铀海相页岩构成的下、中里阿斯系地层显示相对高水平的放射性计数率。波动的计数率可能是由于杂质的石灰岩和冰期泥岩造成。波峰与高钾泥岩相对应, 而高钾泥岩正是海相页岩的标志。在侏罗纪岩层出露的地方, 铀计数降低。低钾泥岩是淡水砂岩的特征。这些勘查剖面提供了海底成因放射性计数器用于海底地质调查可行性的最早例证之一。

10.7.2 海格福热斯花岗岩: 不列颠西南的水下岩基

在不列颠近海 50°N, 8°W 附近的大陆架外部, 测量到了高放射性, 而那里是被称为海格福热斯的大花岗岩体露头形成的不连续海床 (见图 10.11)。这个侵入体是大陆架下自东延伸到英格兰西南的基岩延伸体的主要部分。海格福热斯花岗岩是晚古生代 (280Ma) 的岩体侵入到被白垩纪和更新的地层包裹而形成的古生代的板岩岩体中。作为 20 世纪 80 年代英国地质调查局执行的大陆架制图项目的一部分, B. G. Jones 等人与图 10.7 相似的四极数探测器研究了花岗岩的分布和成矿作用。图 10.12 就是在这次调查的 3.5-4.0km 间距的网格和一条剖面数据经处理的全计数等值线图。

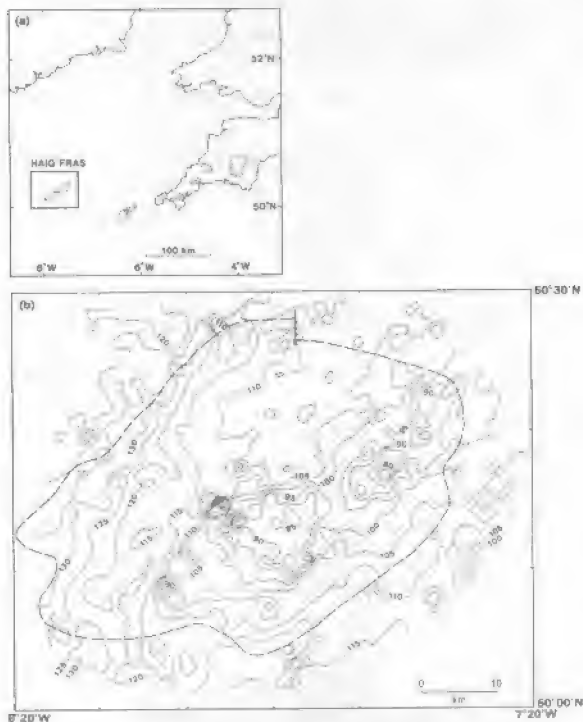
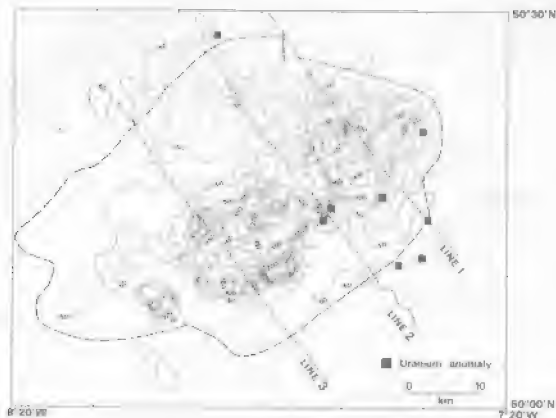
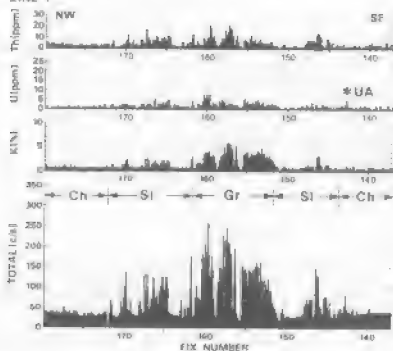


图 10. (a) 研究区域位于北大西洋，靠近英国西南海岸大陆架上隆位置，基岩在研究区域的范围可被识别。(b) 海床地形和基岩隆起区域的水深分布，虚线范围表示的是被白垩纪和新近的地层所包围的古生代岩石隆起核心(据 Jones *et al.*, 1988)。

(a)



(b) LINE 1



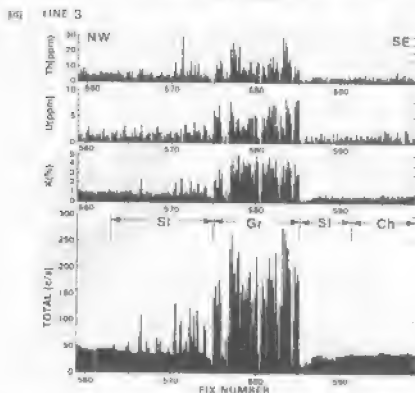
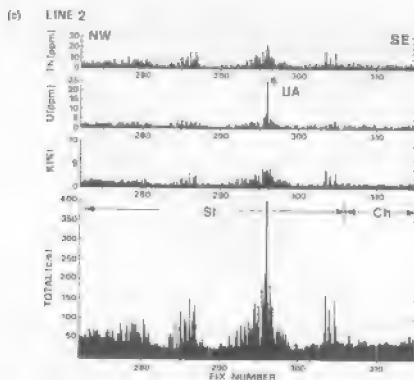


图 10.12 (c) 海格福尔逊在固岩体区域便携式闪烁计数器测量的总计数率 (单位: 个/秒) 等值线图, 被包裹的古生代岩石的边界用虚线标出。(d) (c) 中总计数率和钍、铀, 即沿测线 1、2、3 的差值。岩性表示如下: Ch: 燧岩; St: 板岩; Gr: 花岗岩; UA: 铀异常 (据 Jones *et al.*, 1988b)。

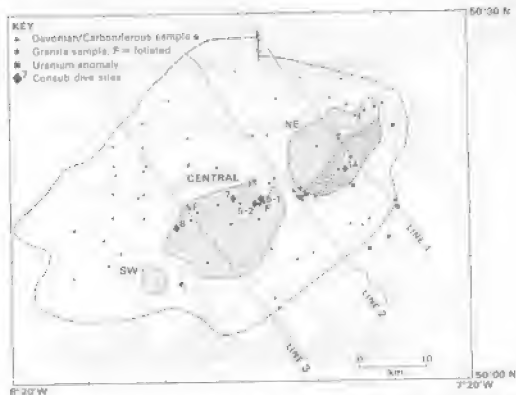


图 10-13 海格福城地区在非洲大陆近的海域地质图，阴影地区表示的是高 γ 放射区，浓阴影区表示低放射性的区域为花岗岩区，虚线表示为古生代岩石的边界，放射线探测剖面 1、2、3 可参见图 10-12 海城取样站位，标记一个无人深潜器 (Conash) 的采样点也在图中给予了标注 (据 Jones et al., 1988b, 经 Geologists' Association 许可引用)。

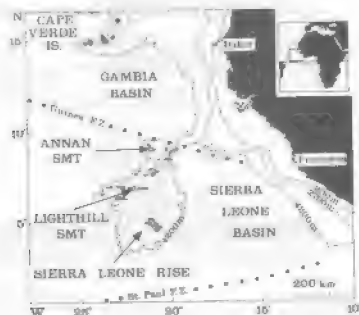


图 10-14 Annan, Lighthill 山脊在赤道大西洋的地理位置图 (据 Jones, 1989, 经美国地球物理学学会许可引用)

表 10.5 从超基岩处大西洋的钍铀计数器测得值的海底采集的样品 (见第 10.15)

	样本站点									
	1	2	3	4	5	6	7/25	10	11	
岩性	C	C	L	C	PL	PL	PL	L	L	
P.O. (%)	0.16	0.12	0.13	0.41	28.58	14.47	33.27	0.34	0.45	
Th(gsm)	0.9±0.1	0.3±0.1	0.2±0.1	10.9±0.1	38.6±1	20.4±1	11.3±1	0.5±0.1	0.8±0.1	
		0.1			0.2	0.2	0.1			
Th(gsm)	1.3±0.1	0.6	0.4±0.1	11.1±0.3	39.2±0.1	22.2±0.1	10.1±0.1	0.6	1.0±0.1	

* C. 碳酸盐软泥; L. 石灰石; PL. 磷化石灰石。

虽然用侧扫声呐可以揭示出哪里有基岩出露,但是,用钍铀计数器可以更好地区别主要的岩性差异,因为花岗岩的伽玛射线通量(大于150个/秒,通常比花岗岩低,约150个/秒)和白垩纪含砾石的沉积层(小于60个/秒)的高一半多。主要在一个地方测到的钍铀计数率大于100个/秒,这可解释为花岗岩体的出露。如图10.13所示,三个主要花岗岩体的接触地方分别记为东北、中部、西南花岗岩体。象一点的特点是其放射性高于周围处,可能是因为地液变质作用引起的。象这样晚期的活动可能会在白垩代伟晶岩岩体和黑云母岩体作用过程中去除了具有重要放射性的附属矿物地壳层(表10.2)。低伽玛通量区域与低放射性异常吻合,而低伽玛重力异常反映的是高变质,低变度的伟晶岩。

有一些微量元素不均衡的区域也属异常岩体。一个典型的“异常带”发生在爱莲芝半部附近(图10.12),这涉及白垩代板岩与北花岗岩体接触的区域。

既然用岩体的放射性水平相类似,这个异常可能是由于基岩从侵入岩迁移到地壳引起的。另外一个异常是在和南部的白垩白垩纪沉积层一线上(图10.12),那也可能是个成壤区,但是那里属于晚渐新世(已知是60—8000年前)的喀拉喀西地区的地质事件。另外,其高放射性也可能是富铀的含磷沉积引起的。

10.7.3 深海放射性探测剖面

很少对深海海底进行放射性探测,但是仍有两处已经被详细调查过,它们是在东部南极大西洋的Lash小丘和Anson海山(图10.14)。这里水深在0—4000米都用侧扫探测系统(计数速率是10.6个/秒)描述的那种侧扫孔网探测仪器)进行详细地放射性测量,其计数率变化的情况在图10.15中以一种方式表示出来,并给出水体中的背景辐射。

在通过平滑的沉积物覆盖的Lash小丘海山处的剖面范围内,测得22.27个/秒的计数率,该测量值处于10—20个/秒的水层背景放射性记录值范围之内。Anson海山的结果更显著,计数率超出背景值三倍,如图11.15中用侧扫海山的剖面所表示的。最显著放射性探测异常出现在峰顶区的平坦部,这里的海底能相映示有大量的青岩路石,岩石样品显示这些岩石

为早第三纪的辉绿岩，大约有 40-60M，是由较厚的珊瑚礁石灰岩经蚀变而形成的，这些珊瑚礁石灰岩是在海山与海平面相近时堆积的，磷酸盐含量在 3ppm 以内，而小于 3ppm 的含量的远洋碳酸盐沉积物在基岩顶部无放射性异常（表 10.5）。钍元素在所有海山样品中含量都很低（<3ppm），对海底放射性贡献很小。

在这些海山中，由于电磁感变口无拖力将拖速限制在大约 1 cm/s，所有数据采集器较慢，尽管拖速慢，观测量少，但很明显，自然伽玛射线探测不仅能够用于大陆架调查，对于深海海底探测也同样可行。当“阿尔文”载人深潜器，在胡安普韦布罗时水域下潜时，D.S. Stokes 等（1992）探测到热液沉积物有强烈的放射性，这一发现表明将深地放射性探测运用于海底火山沉积物的研究是很有意义的。

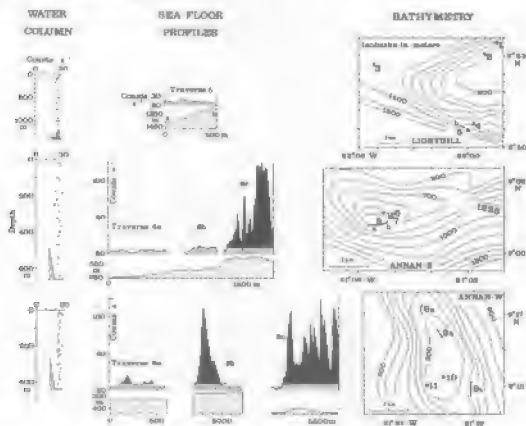


图 10.15 Annan, Lost Hills: 1) 海山上方区域计数器调查测线，阴影区表示重量的总计数率大于海水背景值。海山剖面图是 1-4, 7, 10, 11, 12 剖面线测线 8（见表 10.5）（据 Jones, 1989，经美国地球物理联合会许可引用）。

第十一章 海上钻孔中的地球物理观测

11.1 引言

岩石物理调查, 大陆架勘探已有五十多年历史。深海钻探的时间较短, 开始于 1960 年, 在水深 3.6km 的墨西哥湾和加利福尼亚海岸之间的海域, 利用改装的运输船 class 7 号安泊基物和在武岩基底进行了调查。这也是揭露海底以下几千米处雄心勃勃的 MOHOLE 计划(Mohole 1961)的开始。虽然计划最初因为财力问题而被放弃, 但在二十世纪六十年代后期深海钻探得以恢复, 自那时以后在 2000m 以深的永深处完成了 1000 多口钻井。因为不管是浅水还是深水都有一部分不能完全取样, 所以钻井工作中就包括一项重要的过程, 利用地球物理方法在钻井处测量围岩的性质。通过电缆线把传感器放到井中并记录围岩的响应; 一些传感器可能留在其中, 以观测岩层性质随时间的变化或者进行距井一定距离的区域调查。

根据下列前提条件来设计井下设备:

1. 钻孔的几何形状;
2. 井周围的电特性;
3. 放射性强度, 包括自然放射性衰减和人工放射的伽玛射线和中子射线;
4. 钻孔壁附近弹性波的传播;
5. 钻孔流体和围岩的温度;
6. 流体的压力;
7. 重力场;
8. 地磁场和岩层对脉冲磁场的响应;
9. 钻孔围岩的磁化率。

实际中, 若干个测量仪器同时安装在一个钢制或玻璃纤维的圆柱状装置中。通过多芯电缆下到钻井中, 电缆向井下提供电能和向海面传递传感器的信号。为保证深度的控制, 常常是在装置提升、电缆拉紧时进行记录。深度的测量是通过绞车上的带有刻度的轮子在装置上升和下降时通过电缆的伸缩来估计的。记录的速度通常为 300m/h 和 1800m/h。地面连续监测并且数字储存在测井仪的输出, 以备后处理。

海上调查中, 地球物理测井有很多用途。揭示地壳反射层组特性, 以帮助了解大陆架和深海盆地的结构和演化。估测孔隙度、渗透率、碳氢化合物饱和度等。对探测到的石油储藏进行估计。井下探针可以反映地层物理特性的详细变化, 用以研究海平面和气候的变化, 火山和地壳构造事件。钻井中揭露的一些岩石岩屑还可用来研究深部火成岩基底 (Gardberg, 1997)。

因为井下设备对钻井内和钻井周围的瞬时环境反应灵敏, 所以本章我们首先就要介绍一些海上钻井的成孔和常规钻井特征。接下来的几部分将描述钻井设备并讨论深浅水的测井例子。

11.2 海上平台旋转钻

旋转钻是靠一根管状钻杆底部的切削钻头来工作的。当钻头旋转时，在钻杆中心向下压来的压力下，岩石碎屑由水或泥浆从钻杆和钻孔之间的环状空间带回地表（图 11.1a）。循环的流体不仅用于带小的岩屑离开地表，同时还起冷却钻头的作用。钻井泥浆还有助于防止周围高压的流体进入钻孔而造成危险的井喷。随着钻孔的加深，钻杆上会接上新的钻杆。

在钻孔底部附近，由钻井流体的沉淀颗粒形成几厘米的泥饼（图 11.1b）。泥饼的外围是渗透带，其原有的孔隙水已完全为钻井流体所替换。再往外就是过渡带，钻井流体浓度逐渐降低直

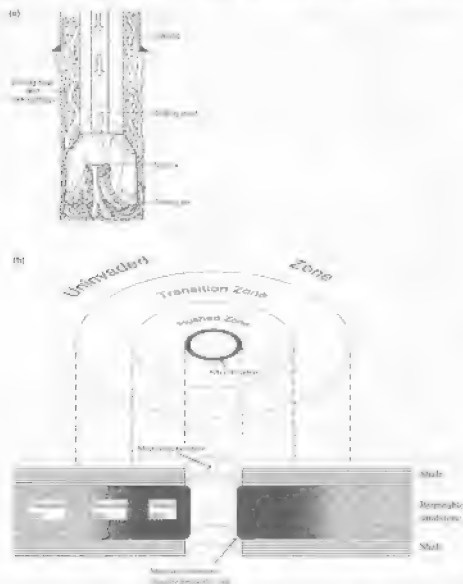


图 11.1 (a) 旋转钻原理 (图自 *Exploration and Production* LDC)。 (b) 旋转钻井时形成的洗井带、过渡带和未洗井带示意图 (据 Scott and Sorensen, 1988; St. John, 1985)。经 Science and Technology Educational Services and W. H. Freeman and Company 许可引用。

全季。过流管在多孔和透流率上的差异中引起误差。

仅通过岩屑和恢复地层的结构去表示大量的信息。如果要进行连续的数据, 就需要用下述所有切割的(流道是用金线做的)的三样岩屑样品来统计。2. 水流的物理性质和式。保留在岩屑管中并送回地面。当取回不连续时, 需要由岩屑口立即再取若干样, 即“岩屑管”。并取取岩屑用几千个喷射孔, 在井中时并继续取岩屑 20~30mm 长, 直径 30mm 的岩屑。

因为钻头本身的不稳定, 所以在取回岩屑时会有影响。在取回岩屑时或取回岩屑中, 岩屑的钻头自行通常是 20~30 英寸 (514mm), 它的钻头直径通常为 18 $\frac{1}{8}$ 英寸 (17.1mm)。在深海勘探中则要求用改进的小型钻头和套管。水深 3000m 左右, 通常用 8 $\frac{1}{2}$ 英寸 (216mm) 钻头和 7 英寸 (178mm) 套管。一旦钻杆有套管, 一些常规的地球物理勘探就会受到限制, 尤其是基于放射性强度的测量。

早期的大陆架勘探是在浅水或有油气的区域, 带有钻探平台的船只做操作。后来发展为在开阔水面固定于海底的钻架。或钻架和主井架上进行作业。后两种需要锚固或地锚定位来保持位置, 动力定位是船机置于海底固定中时信号来控制船的推进器并保持在井上的速度最小。大多数深的深海勘探是利用“Challenger”号和“Joides Resolution”号动力定位船作业。在 1968~80 年的, “Challenger”号完成了 624 个钻探 1992 个钻孔。“Joides Resolution”号在 1985 年早期为国际深海钻探计划服务(图 11.3)。至今共完成了 100 个钻孔。

Joides Resolution 号钻杆的总长超过 9000m, 钻杆内径最小为 102mm, 使得不和钻井工组可以通过钻孔。钻杆上安装有顶部补偿器来消除由于船只垂直运动对微体传感器的影响。对于深的深井物, 钻杆顶端安装有不能转动的取样器和装置。钻杆分为 30m 一节组成, 通过升降设备上的电力驱动装置旋转, 升降设备通过 37m 的井架使钻头逐渐下降插入海底。需要或海水穿过钻管以提供冷却。与商业钻架不同的是, 这里没有返回到平台上的流体。样品可通过在钻杆的末端附有塑料样品袋来取样获得。当其到达钻孔底部时会自动地卡在钻头上。直到取出样品, 钻速约 9.1m, 为材料的速度 (Barnes et al., 1992)。利用通水水压使钻头密封, 防止管壁可使表层沉积物。钻探通常可以拿到完整的沉积岩层的样品, 但是对于玄武岩基岩或沉积物中奇异的物质, 如礁石, 可能只须采取一小部分岩样。钻头磨削管壁后取取钻头, 磨削 30m 的锥形体放置海底, 通过光学或电照相和钻杆进行导向。钻探设备也可以通过集束推进而钻入。通过海底探测土导向基座可以在海底探测路上打钻, 获取洋脊顶部和海底的深海样品。

11.3 孔径测量

种最简单的井下测量就是用机械的井径仪在套管安装而测定钻杆的几何形状。仪器由三个或者四个机械臂组成, 紧贴井壁, 提供钻杆直径的连续剖面和一个机械臂的方向。如图(11.3)所示位置剖面记录是对校正 30mm 与钻杆规格相关的探针所获数据是必需的。测径仪可以提供显示岩性与物理不整合性的证据。钻孔直径少可能是由于膨胀的诱导引起。超量构造可能是由于岩屑管或井内引起膨胀之不可逆性 (breakage) 破裂所致。测径剖面结合其他测井方法进行岩性和结构分析, 可用来校正地面的地震剖面。



图 11.1 一座海上钻井平台 (Rig) 正在海上钻井 (Rig)。图片来源: Getty Images (© 2019 Getty Images)

11.4 电法测井

11.4.1 简介

岩层的电阻率测井是海上钻井测量的一种常规测井方法。因为这是获得孔隙度的一种方法。电阻率还可以用于分析岩性、探测地层的岩性变化和进行岩性对比。有油气藏的地方，其地层的孔隙水比率（水饱和度和 S_w ）可以用电阻率来估算。碳氢化合物是电的不良导体，如果是基性孔隙水，则岩层电阻率就会增加。一种流相与另一种流相的相变保持恒定，直到孔隙水浓度不能再减小为止。 S_w 由 Archie 的经验公式给出：

$$S_w = (\rho_{MR} / \rho_{MNH})^{1/n} \quad (11.1)$$

这里 ρ_{MR} = 基岩电阻率/孔隙水电阻率， ρ_{MNH} = 基岩电阻率/孔隙水电阻率/碳氢化合物电阻率。

ρ_{MR} 是在一些已知水饱和的钻井中测量得到的。 n 是由碳氢化合物与已知浓度孔隙水的不同比例的岩层电阻率决定。在大多数岩层中， $1.5 < n < 3.0$ 。式 (11.1) 中的水饱和率也可以用岩层因子 F 和盐孔隙流体的电阻率 ρ_F 表示

$$S_w = (F \rho_F / \rho_{MR})^{1/n} \quad (11.2)$$

所以 $F = \rho_{MR} / \rho_F$ (参见 9.2 节)

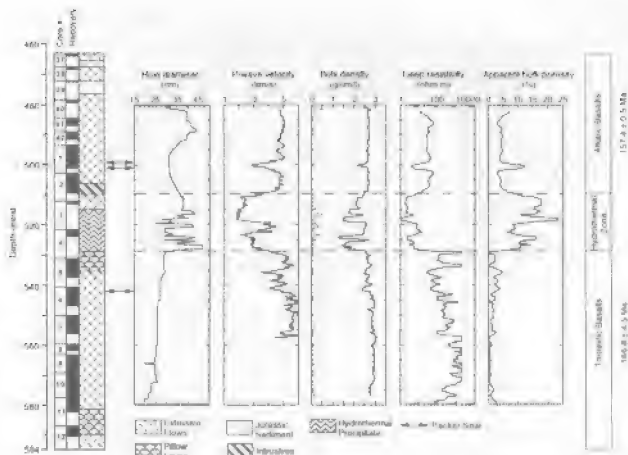


图 11-1 西太平洋 (180.50° 经度, 18° N, 150° E) 处成岩基成流井和其他测井记录。在热液与玄武岩交界处可见最大的岩性变化 (据 Tassara et al., 1993, 图 11, 原文 Seeley 等许可引用)。

11.4.2 侧向测井

设计电流聚焦于围岩深部的仪器来测量电阻率, 这样就可以减少钻井壁附近扰动的影响。侧向测井仪控制电流电流聚焦于钻井周围的一个圆柱区域。在 75–300mm 长的中央电极两端各有约 1.5m 长的屏蔽电极。通过调节输入电流使得一个电极自动保持等电势。从中央电极进入围岩的电流到大约为屏蔽电极等电势间距的距离, 其电势差为零。由中央电极上的电流导出电阻率。电流层的厚度大约为中央电极的长度, 并且可以通过调整电极结构来改变穿透的深度和仪器的精度。

双侧向测井 (图 1) 可同时提供两条不同电流穿透深度的电阻率曲线 (图 11-4a)。浅曲线和深穿透的聚焦电流路径; 两个电流束均为 300mm 的恒定厚度。穿透浅的测得的电阻率主要受侵入层特征的控制; 而穿透深的电阻率要更快地随层特征控制。前者对于侵入层的研究有利; 对更深穿透的电阻率测量。双侧向测井可测得垂直距离 500–1000mm 的岩石差异, 所以可以用来进行详细的钻井之间的对比。图 11-4b 为西南印度洋洋脊深水位置的深侧向测井曲线。在高度岩化层中, 如玄武岩或玄武岩, 可见两个侧向测井曲线间的差异 (得出孔隙和断裂的孔隙)。

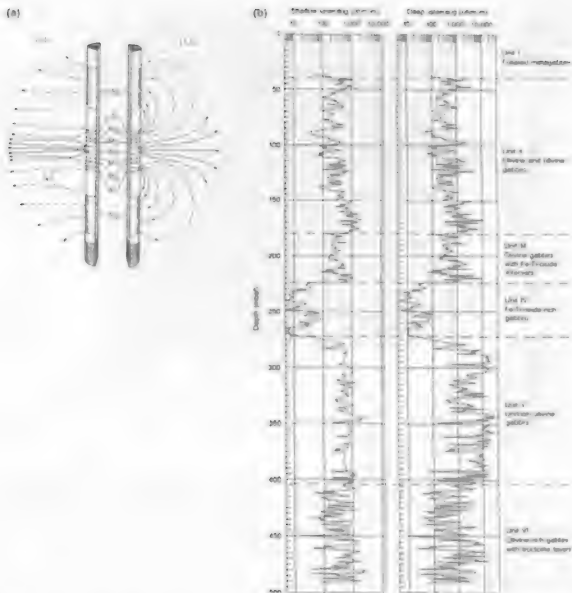


图 11.4 (a) 双测井探针。A. 主电极; M. 监测电极 (据 Schlumberger *et al.*, 1989, p. 100-101) (b) Schlumberger 双测井探针 (据 Schlumberger *et al.*, 1989, p. 100-101) (c) 测井深度/电阻率/电阻率的双测井探针曲线。曲线显示 200cm 和 400cm 之间电阻率发生较大的下降, 这一位置对应于 10-15% 的氧化铁含量的增加 (据 Schlumberger *et al.*, 1989)。

11.4.3 感应测井

图 11.5a 为一个感应测井的示意图。在探测基座上的发射线圈中通入约 25kHz 的高频交流电流, 在围岩中产生与发射线圈轴同次生的 (transmitted) 电流。地层电流产生的磁场, 在电极线圈的接收线圈中产生感应电流, 它与岩层的电阻率成反比。发射与接收线圈之间的耦合电流通过附加补偿或“反作用”线圈进行消除。磁场 (EM 场) 穿透的深度约为按一发射线圈间距的 75%, 典型的深度为 0.5-5m。

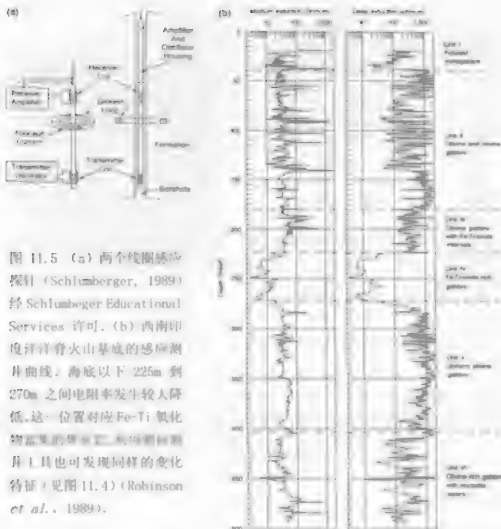


图 11.5 (a) 两个线圈感应探针 (Schlumberger, 1989) 经 Schlumberger Educational Services 许可。(b) 西南印度洋洋脊火山基底的感应测井曲线。海底以下 225m 到 270m 之间电阻率发生较大降低。这一位置对应 Fe-Ti 氧化物富集的地层。利用感应测井工具也可发现同样的变化特征 (见图 11.4) (Robinson *et al.*, 1989)。

由于次生电流受钻井泥浆和钻井流体扰动的影响, 发展了多线圈的聚焦感应测井来测量岩层电阻率。双感应测井仪 (DIL) 可提供自电导 (SP) 和一个电阻率值 (ID)。深部感应测井 (ILM, 中部感应测井: SPIL, 浅部球形聚焦测井), 多芯探针的响应通过按一定部分的组合来测定, 其权值根据线圈的数目和叠加输出值的交叉面积确定。穿透深度为 0.5~5m, 垂直分辨率约 1.5m, 通过线圈的适当组合可改变参数。

11.4.4 地层倾角电阻率测井

通过探针可测量岩层单元的倾角和其内部断裂的方位角。探针通常是由四个或六个等距紧贴钻孔壁的微电阻电极组成 (图 11.6a)。如果不整合面是平行的则每一对电极上的电阻率是相同的。如果电极的方向和孔径的大小不同, 电阻率的差异可以用来测定倾角和走向。一个磁通门罗盘和一对摆提供倾角的方向。钻井相对铅垂方向的偏差和开偏的方向。通常沿着井壁每相距几个毫米来进行微电阻率的测量。

图 11.6b 是电阻率地层倾角测井仪的典型“蜘蛛”图。点表示深度和倾角的方向; 短线条表示倾斜方位。超过特定深度段的倾角玫瑰圈突出了断层、不整合面和沉积特性。

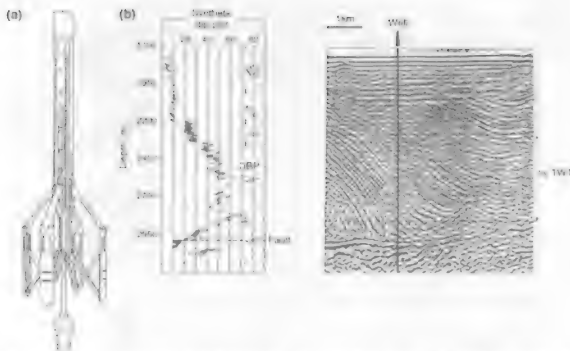


图 11.4 (a) Schlumberger 电极偏角测井仪。四个工作电极的间距为 1m, 中心电极为 0.1m, 电极布置如图, 测点距孔深 (Bul) = 1000。 (b) 电极距地层偏角位置测定的或地层电阻。左式曲线图显示随着深度和地层序列的电阻; 0.01 是分散的电阻值。右式是测井孔深和电阻的电阻分布图 [据 Bowdler and Wynn, 1990, 经 Schlumberger Company 的许可使用]。

11.4.5 微电阻率测量

微电阻率测井能分辨厘米距离的电阻率来分辨小尺度结构和探测有深部时的渗透性岩层。利用冲液槽以内的浅层电阻率来校正深部电阻率的深层测量。进而计算出未扰动地层的电阻率。初始微电极以 20-50mm 间隔安装在绝缘橡胶板上, 用环氧树脂与井孔壁紧贴。

Schlumberger 地层微电阻率仪 (The Schlumberger Formation MicroScanner, FMS) 是一种高精度的探针, 被广泛应用于石油工业上的测井评估。它确定安装在两个垂直板上的紧密排列的微电极片, 而同时记录十个微电阻率剖面 (如图 11.7)。仪器的位置通过一轴加速计测得, 其方位由一分量磁力仪测出。Schlumberger 全孔地层微电阻率仪 (The Schlumberger Fullbore Formation MicroScanner, FMI) 通过组合四十个弯曲电极板, 可安装在管壁上安装附加微电极以增加接触面积, 提供对井孔壁更全面的覆盖。以 180mm/s 的速度测量时, 电极电流的每一个采样点测量着 $5 \times 2.5 \text{ mm}$ 为跨的相邻岩层。井孔壁上的电阻率用灰度或设定的颜色以横切形式显示。展开的图像代表了仪器对岩层孔隙度、矿物、颗粒大小、孔结构、钻孔流体性质和岩石硬度等变化的响应 (如图 11.8)。FMS 图像结合其他参数, 如岩石的颜色和自然伽马射线强度等, 可用于鉴定沉积物中频繁的气压变化和火山层序的岩性变化。Brewer et al., 1990。在实验室中可类似地测出全部岩石的高分辨率图像。与岩性和构造相联系, 有助于对井下微电阻率记录的解释 (Jackson et al., 1991)。

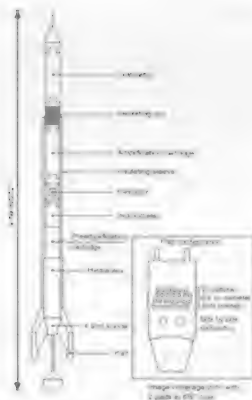


图 11-7 是挑战者号模型 (据 Hargrett et al., 1990, 经 (unlogged) Science 的许可引用)

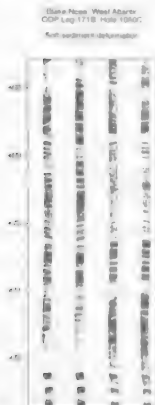


图 11-8 是挑战者号模型 (据 ODP 和 M.A. Lovell 的许可引用) 的分解图 (据 ODP 和 M.A. Lovell 的许可引用)。

11.4.6 大尺度电阻率测量

在深海钻井中, 利用将回电位大地增加几十伏的电压, 通过测量电阻率导电体和孔壁率 (图 11.9a)。电极将海底深埋电极的电流, 钻井孔道可以忽略不计。300V 或 500V 电源产生接近 6A 的电流, 通过绝缘的电缆和更为绝缘的导体到达形成连续性的电路。通过测量的回路电流主要穿过过岩层而不是局限在钻孔区域 (大约 10000 A/m)。钻井套管和钻井电缆都没有足够低的电阻产生分流。图 11.9b 为东太平洋 Gorda Ridge 裂谷南翼 GDR 5048 站 Ae-AeC1 电极间电阻率的一组函数。由于电极的间隔比钻孔的直径大, 所以在计算电阻率时不必对孔径变化作几何校正。

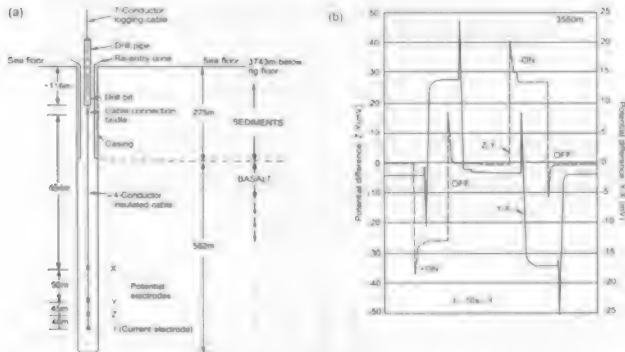


图 11.9 (a) 东太平洋 Gorda Ridge 裂谷南翼 GDR 5048 站大尺度电阻率试验的电极布置; (b) 用 (a) 所示的电极结构测量的电阻值 (据 Van Bergum et al., 1982)。

在 5048 站, 钻孔一开始就以 25m 垂直间距记录电流和电势差。当钻孔加深时每 10m 记录一次, 稳定地保存电极的每一组数据。每个方向有 600 的大的约 6A 的电流通过, 因此环境电势可由平均电流消除。对于均匀的岩层, 其视电阻率 ρ_a 为:

$$\rho_a = \frac{2\pi\Delta V}{I} \left(\frac{z_1}{h^2 - z_2^2} - \frac{z_1}{h^2 - z_1^2} \right)^{-1} \quad (11.3)$$

这里 h 为电流电极在海底以下的深度, I 为电流, z_1 和 z_2 为电极深度, ΔV 为两中电极的电势差 (Van Bergum et al., 1982)。图 11.10 给出关于电极对计算的视电阻率曲线。由于电极对在前距加大, 电流穿透也较大, 导致较小的电阻率变化对测量记录的影响小。与岩芯样

对比, 电阻率明显增加出现在枕状熔岩 ($\rho_s = 100 \Omega \cdot \text{m}$) 与块状熔岩 ($\rho_s = 1000 \Omega \cdot \text{m}$) 之间过渡带的问题, 大约 500m 左右。在丰度度电阻率的很多变化反映样状玄武岩的蚀变程度。

图 11-10 同时给出了两种电测井曲线并测量的视电阻率。一系列的波动可能是由于钻孔扰动所引起。在 900m 附近 (枕状熔岩和块状熔岩高), 测向测井曲线的电阻率比大间距分布曲线高。俯视图比更深处测的电阻率增加比大间距分布曲线测量的要小的多, 可能是由于未扰动层和靠近钻孔的扰动层之间的电阻率有明显的差异。

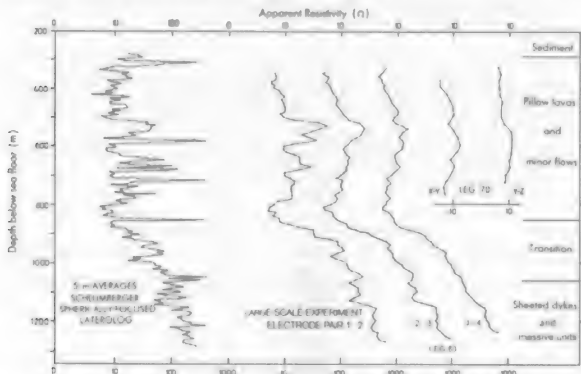


图 11-10 1980年 500m 深位的电阻率测量。曲线从右到左为: S-Averages 测井仪测定的钻孔修正电阻率的 5m 平均曲线; 和理论试验测量的视电阻率曲线 70 厘米大电极布置曲线 (1.5m)。所示, 50 厘米大电极排列穿过 50m, 其中电极 1 的埋深最大 (Resistivity = 1000 $\Omega \cdot \text{m}$)。

11.5 放射测量法

11.5.1 自然伽玛放射

由于放射性元素在沉积物和岩石中的丰度 (表 10-1) 不同, 测量自然放射性, 就可以探测岩性差异。井下的自然放射线通量通常用闪烁计数器测量。对于裸井, 约一半的放射线从 10m 以内的井壁中产生, 而有套管井则减少 30% 的放射性强度。从第 3 章中我们了解到, 闪烁计数器对总放射性的感应与放射性元素 (主要是 U、Th 和 K) 的浓度和周围环境物质 (包括地层稀钻井液) 的密度有关。这种感应也与孔径大小有关, 闪烁计数器的原始计数通常需用测径测井校正。为了保证足够的计数段数, 测井速度一般不超过 200m/s。伽马射线的单位用 API (American Petroleum Institute) 表示, 该单位基于休斯顿大学的一台测试仪器测定的成射水平为标准。

因为 U 和 Th 聚集在原始沉积物的有机组分中, 页岩和海藻煤屑土强放射性的外部地层之中。富含长石、云母、海绿石、磷灰石和锆石的沉积物以及富铀伊利石黏土都显示出强放射性。自然伽马射线测井已应用于测试页岩层和评估混合胶结地层中页岩层的浓度。许多页岩层和大山基的伽马射线流量超过 150MFC, 新的玄武岩层岩流为 80MFC。

中伽马射线光谱仪分析记录多个能量带上的 γ 射线, 我们便可以获得更多信息。因为放射性核素与放射性同位素有关 (参见第三章), 故通过测试能够确定 U、Th 和 K 的丰度。 γ 射线光谱仪能用于测定页岩沉积物中页岩的量和变化。测井速度一般约为 200m/h 或者更小。图 11.11 显示了 γ 射线光谱仪对此海富含有机质页岩层的感应。这里主要测定了 U、Th 和 K 的含量。

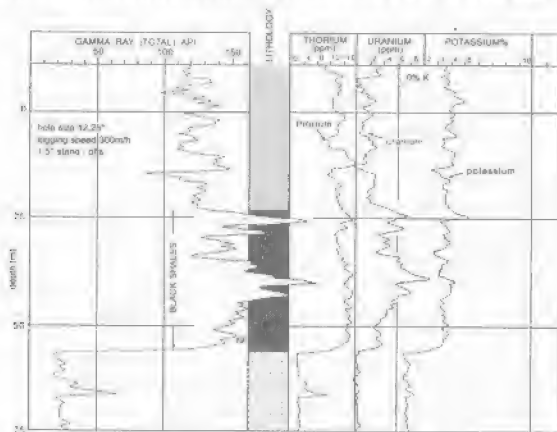


图 11.11 北海富油黑色页岩层页岩层的伽马射线光谱仪测井曲线 (据 Rider, 1986)

11.5.2 密度或伽玛测井

裸井周围的密度能够通过利用伽马射线数主井型井测定反向散射辐射的方法测得。反向散射与周围地层中的电子密度密切相关, 电子密度与地层体积密度是成比例的。 ^{60}Co (1.17 和 1.33MeV) 和 ^{137}Cs (0.66MeV) 都是常用的伽马射线源。部分屏蔽的盖革计数器或者闪烁计数器放置在放射源的上方 400–500mm, 故只要有伽马射线穿过地层就能被检测到。与地面的相互作用主要靠背散射, 因有效穿透深度不超过 150mm, 所以需要考虑射线沿着井壁在泥湾中的衰减量。这可以用两个距放射源不同距离的探测器测得, 较近者受到散射的影响较大, 所以品质校正数据可以根据不同的伽马射线流量计算得到。

伽马射线测井显示了体积密度或者孔隙度 ϕ ，其关系可以表示为下式：

$$\phi = \frac{\rho_M - \rho_R}{\rho_M - \rho_f} \quad (11.4)$$

其中 ρ_M 是岩石基质密度， ρ_R 是测井记录的体积密度， ρ_f 是流动液体的密度。因为伽马射线测井显示，所以 ρ_R 移位于泥岩界面密度（对于泥岩密度为 2.15 g/cm^3 ，由表 11.1）算得的孔隙度是地层中含油的孔隙度。但是，气体小于液体的密度 ρ_f ，从而使得测得的孔隙度值（图 11.12）近似平均为 100% 水的测井速度中，仪器的垂直分辨率约为 60cm。

测井和声波测井结合起来可以提供孔隙度剖面，指示地壳中气态和液态超临界记录。在 0.1 MeV 的伽马射线的用途很大，其强度与地层电子密度和光电吸收成比例，其中光电吸收主要是从地层基质的而不是孔隙度和流体成分的贡献。因此电子密度决定于核能射线质量，所以光电截面系数就能计算出来（Schlumberger）。岩石密度测井利用了一个 ^{137}Cs 放射源和两个探测器在一系列的测量窗口测量伽马射线质量（图 11.13）。输出量用光电吸收截面系数 μ_p 划分， μ_p 的单位为 $\text{barn}/(\text{g/cm}^2)$ ($1 \text{ barn} = 10^{-28} \text{ cm}^2$)，可以从下式计算得出：

$$P_p = \frac{U}{\rho_v} \quad (11.5)$$

其中 U 为单位体积的光电吸收截面 (barn/cm^3)，取决于低能窗口计数， ρ_v 为单位体积的电子密度系数 ($\text{electrons}/\text{cm}^3$)，由高能计数计算得出。该方法用来鉴别基质的矿物和岩性。由于重晶石对伽马射线的高吸收特性，所以该方法对基于重晶石的钻井泥浆是不起作用的。

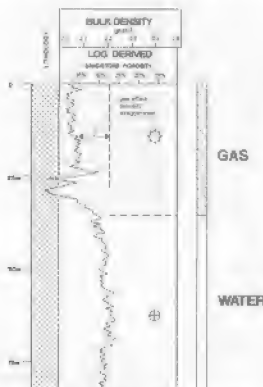


图 11.12 含气砂岩的密度测井曲线。气体增加了测得的孔隙度值。在气体充填的地带测得的孔隙度值应减小约 8%（据 Rider, 1996）。

11.5.3 中子测井

中子探测器用从 α 粒子源发射的慢速中子流(约4MeV)轰击井孔周围区域,可应用于有套管的井中进行测试。中子源通常被铍(Be)和镅(Am)元素组合而成,因为中子和质子的质量几乎相等,所以它们碰撞的时候能量损失最大。当中子遇到一定能量后被原子核捕获,并发出高能伽马射线,探测器能探测到这些 γ 射线。 γ 射线的放射强度与氢的含量密切相关,而与地层液体(包括水、油、气)的量也是密切相关的。获得孔隙度需要考虑到井孔直径的变化、地层流体性质和岩性,因此反散射射束就反映了孔隙度的不同。天然气中氢的含量比水和油中的氢含量低,因而导致异常低的孔隙度值。页岩含有束缚水,所以估算出的孔隙度值比真实值会高一点。

早期的中子测井手段是用一个单一探测器测量高能放射物,捕获伽马射线和慢中子的,这些手段本质上是未定量的。其结果很大程度上受到井径大小、流体盐度、沉积和套管的影响。孔隙水平中和井孔流体中存在的氯以及其他慢中子的吸收物,极大地影响了孔隙度值。由于这个原因,高能超热中子通量相对来说不受中子吸收物影响,所以能够测量。探测器安装在滑板上以保证探测器与井壁的紧密接触。泥饼和井壁的粗糙度需要加以校正。

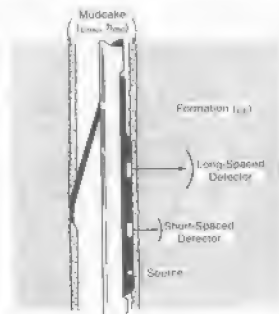


图11.13 双间距岩层密度测井仪(据Schlumberger, 1989)。经Schlumberger Educational Services的许可引用。

双能中子测井(DNL)用两对传感器,每一对都有一个超热中子探测器(0.1-100eV)和一个热中子探测器(0.025eV)。探测器在页岩层序中测得相同的孔隙度值,但它在页岩中测量时的显示响应是不同的,因为页岩中包含有热中子吸收器。孔隙度值的不同与页岩含量和流体盐度相关。超热和热中子探测手段的结合可以探测出页岩储层中的气体。仪器的垂直分辨率约为0.25m。穿透深度通常约为150-250cm。在致密的低孔隙度的地层中穿透深度可以高达600mm。

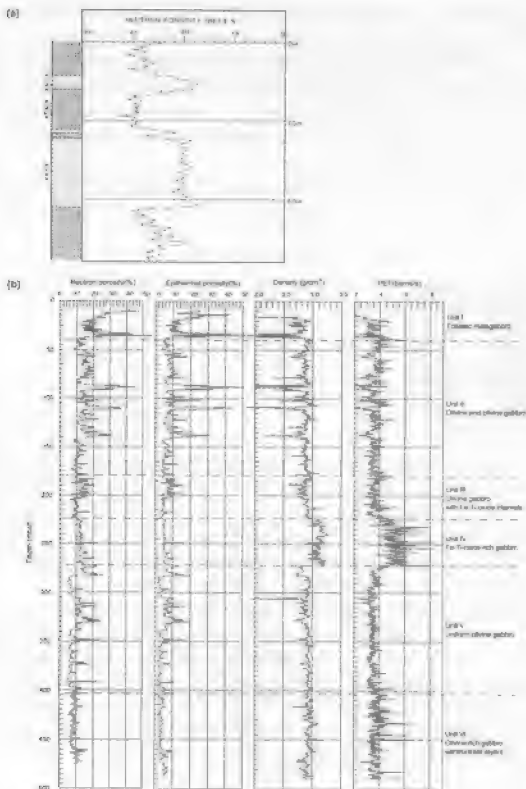


图11 (a) 砂岩-页岩交互地层中的中子测井响应。在砂岩中探测出较低的中子孔隙度(25-30%)。由于仪器对吸收的水的响应,页岩中的约15%的测量值比孔隙度真实值大(据Holt, 1986); (b) OMR-15号井在印度洋特奇西南的火山基底的测井响应。深度40m发现高孔隙度(20%)。低孔隙度存在于同一的橄榄石辉长岩层中(据Robinson *et al.*, 1989)。

脉冲中子探测是发射短促爆发的热中子，并在每次爆发后的两个时间间隔内测量俘获中子形成的碳氢化合物对于俘获率，就是最常見的热中子吸收微，因此可以进行含水含量变化的评估。测水浓度也能通过测量返回率来获得，以验证。方法局限于裸井中。脉冲中子探测的一种重要应用就是探测铀矿前线的谱线中确定各种主要成分在围岩中所占的比例。这样就可以进行矿物特征的评估，并能较精确地判断育性。在 Loses Rossington 号钻探船上能测量 ^{135}Cs 、 ^{137}Cs 、 ^{89}Sr 和 ^{140}Ba 。这种探测的一种重要优点是能够在钻孔中操作，因此它适用于那些因井壁不稳定而不能进行测井的钻井中。

中子测量以中子或右旋孔眼率为单位，1000API 单位的响应人为地定义为在休斯顿大学参考点处水饱和的细美安纳石基岩（100孔眼率）每秒的计数记录。泥岩和火山岩剖面图显示于图 11.11 中，中子仪在泥石基岩中的响应与孔隙率 ϕ 的关系如下：

$$\log_{10} \phi = a + bN \quad (11.6)$$

这里 N 是中子仪读数， a 和 b 是常数，当中子仪穿过其他岩层时，根据该经验公式就可从所获的测井结果中计算孔隙率。

11.6 高频声波测量

11.6.1 井下电视

井下电视是一种超声波扫描仪，它通过旋转机电换能器产生并接收超声波图像，它每秒旋转 3 次，工作频率有 2 个：1.3MHz 和 400kHz/ 每 640 μ s 发射一次脉冲，返回信号的幅值取决于钻孔流体和周围岩层的声阻抗比、钻孔尺寸和井壁粗糙程度。1.3MHz 的换能器能给出特别清晰的图像，但是奇频率可能会因粗糙井壁及向散射的能量而极大降低，因而在这些区域，通常用原换能器。其他的探测仪，包括 Weston Atlas 周围钻孔成像仪，它每秒产生 4500 个脉冲，频率为 200kHz，换能器每秒转动 6 圈，每圈记录 250 个数字回声。

从井壁反射回来的能量在电脑屏幕上显示并存储起来等待进一步处理，仪器上升速度为 20-40m/s。探测仪速度变化产生的图像失真在图像最终处理出来前需被校正。当钻孔流体有循环流动特征，或非定向永久球体置于传感器的周围使超声波信号能以较小的衰减到达井壁。井下电视探测仪中装有磁通门磁力仪用来给反射序列定向。需要达黎加斯勒的埃德火山岩的变密度井下电视图像显示在图 11.15b 中。作为多种可视显示方式，由旋转次数计算出来的钻孔直径被绘成二维图形（图 11.15c），这一仪器已经广泛应用于断数，地层不连续和结构特征的成像。通过井下电视测量钻孔形状可以确定岩石中的主应力。

11.6.2 声波测井

声波测井仪器能够测出弹性波经过裸孔井壁附近的传播速度，它包括一个或多个发射装置和一系列接收装置，这些装置将装于用弓形弹簧固定在井孔中部的探测器内。发射头发出一个声波脉冲穿过钻孔流体进入目标岩层，岩层中产生临界折射的压缩波，它沿着井壁传播，接收器接

器管内辐射进入非受激流体的能量。发射接收装置和固定排列使岩层内部传播的能量先于钻井流体中传播的能量到达。

最近美国海洋石油业通过流体中的压缩波时，腔界面的波也在钻井液中产生，它产生 5 波，强吸收射和反射在探测腔中（见图 14，1988）。除了 5 波，入射下波在流体内部激发同波，这也是反射事件，两种波都产生，第一种波是基波反射（见图 15），它在岩层和钻井流体中的传播速度相等，第二种波是反射波在流体中传播，它和基波的传播速度相等，但波速是流体速度的 1.5 倍，第三种波是反射波在流体中传播，它和基波的传播速度相等，但波速是流体速度的 1.5 倍，第四种波是反射波在流体中传播，它和基波的传播速度相等，但波速是流体速度的 1.5 倍，第五种波是反射波在流体中传播，它和基波的传播速度相等，但波速是流体速度的 1.5 倍，振幅在波前附近一流体界面附近的中有大振幅的波动，在流体中振幅不稳定。

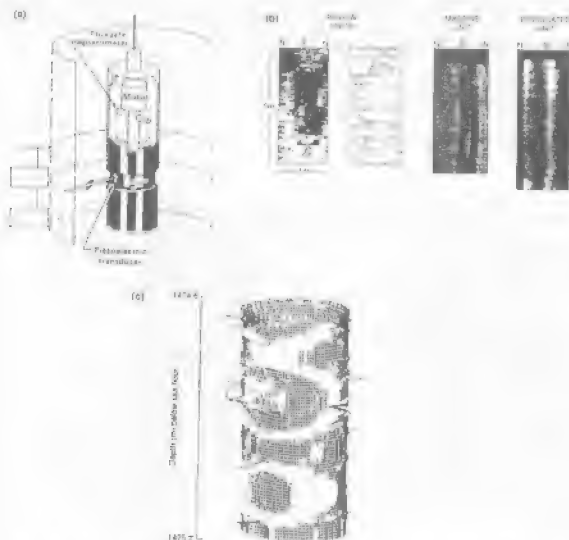


图 1-15 (a) 电视测井示意图 (据 Newman *et al.*, 1988); (b) 电视测井图像显示的太平洋岸附近加利福尼亚海下的火山岩 (据 Moritz *et al.*, 1989); (c) 太平洋岸加利福尼亚海海底 50 米附近电视测井图像显示的沉积火山岩不同深度上方位角偏转时的差异 (据 Robinson *et al.*, 1989)。

图 11.16a 中的探测器由两部分震源、上部发射器 (S1) 和下部发射器 (S2), 以及四个探测器 (R1-R4) 组成。通常的发射频率为 20kHz, 脉冲每间隔 30ms 产生一次, 声速的倒数 (慢度) 是经过 S2-R2 和 S1-R4 的旅行时间和经过 S2-R3 和 S2-R1 的旅行时间的差异获得。这些值取平均后用来补偿探测器井中的排列变化和探测器位移。由于脉冲的频率重复和信号振幅的变化, 初至波有时会丢失, 引起传输时间记录的突然变化。当电子增益不足和下行波传播较弱时就会出现周期性变化, 例如有气体压力时。

由于钻孔扰动, 对短距离传播时间中推定的岩层中的传播速度会引起较大的误差。传播声速度可以用长间距排列的探头可靠地加以确定, 以记录离井壁一段距离的能量传播。如图 11.16b 中所示传感器的配置, 传播距离超过收发距达约 4m 的时间能够被记录下来。由于钻孔不规则和探测器与井轴不一致造成的旅行变化能够通过平均两探测器的首尾之间的传播时间来补偿, 发射机所在地点就是先前接收器所在的位置。收发排列中允许有 4 个能行时间测量装置以 8 种收发器组合方式每隔 0.6m 的间距进行安放。

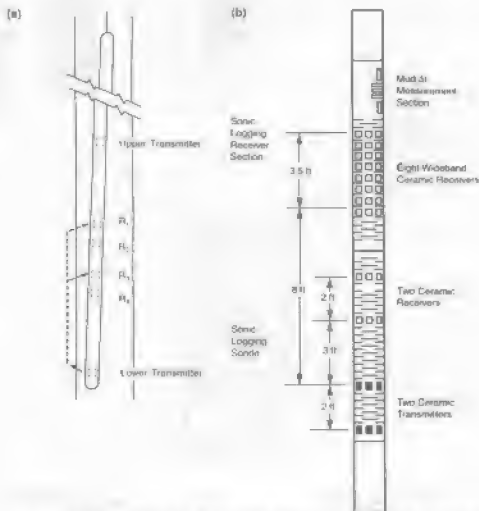


图 11.16 (a) 插在井壁声速测井仪。图上显示的是两相发射—接收传感器之间的射线路径; (b) 所组成。三个电转换器排列来记录短间距和长间距的声速测井面成的测井仪器。据 Schlumberger, 1982, 经 Schlumberger Educational Services 的许可引用。

旅行时间差通常综合起来提供穿过钻孔的总传播时间, 通过这样的办法计算出层速度。对深海的火成岩基底的声波测井记录显示在图 11.16 中。在沉积岩地中, 测井记录用于跨孔对比和区分低速带。孔隙率 ϕ 是利用 M. B. J. Kylling 的修正的公式, 从声波测井记录中得出:

$$\phi = \frac{\Delta t_{\text{Lss}} - \Delta t_{\text{ss}}}{\Delta t_{\text{F}} - \Delta t_{\text{ss}}} \quad (11.7)$$

这里 Δt_{Lss} = 声波测井层传播时间, 通常表达为 $\mu\text{s}/\text{ft}$ (岩层的慢度)

Δt_{ss} = 在岩体中的传播时间 (慢度) ($\phi = 0$)

Δt_{F} = 在孔隙流体中的传播时间 (慢度)

ϕ 的值可能有大的误差, 因为地震速度对岩性和气体压力比较敏感。从公式 (11.7) 中计算出来的砂岩中的气体含量是 79—90%。

全波声波仪记录压缩波、剪切波和斯通利波 (图 11.17)。P 波和 S 波的速度给出了有助于岩性判断的指标比。断裂密度和孔隙率能通过能量变化和体波频率计算出来。低频 S 波/P 波振幅比可以获取井中的断裂特征。与井壁附近岩层流体运动有关的斯通利波的振幅衰减可以用来计算渗透率 (Tang and Cheng, 1996)。

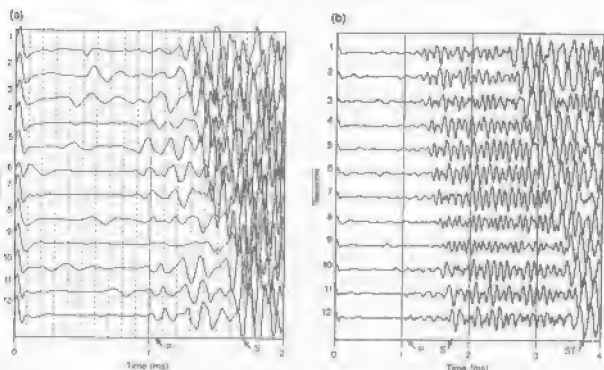


图 11.17 (a) 深度计西南部的 12 道井底 214.3m 以下的多道记录; (b) 12 道记录的强聚焦, 所有道上都记录到强压缩波。图 (b) 中放大时间尺度显示在所有接收器上的强压缩波和斯通利面波 (ST) (据 Thomson 等, 1989)。

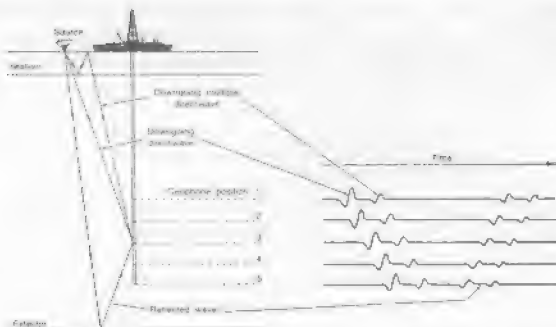


图11.18 J-Log系统用船拖曳来记录垂直地震剖面的震源—检波器系统结构示意图。显示的信号是船孔中某几个地震检波器所记录的（据D.Dolan等，1987）。

11.7 井中地震测量

声波测量方法应用于地震反射的时深转换，但是当传播时间组合在一起时就会使系统复杂累赘，所以声波测井要用垂直地震剖面来校准。垂直地震剖面图需要使用地表附近激发的检查炮和一个井中检波器来获得（图11.18）。检波器信号直到波到达的孔井内被存储以记录从检波器上方和下方的反射体返回的反射波。这些记录就能与地表地震剖面的原始记录相联系。常规反射剖面处理技术清除了多次波（参见第四章）。挪威海的OD642站位的垂直地震剖面（VSP）见图11.19。

井中检波器已被用于新的深海地震实验，它比传统的海底接收器有更大的优势。井中地震波峰拉海底的简单，海底位移通常会因为多次反射和模型转换而变复杂。周围的噪声水平通常较低，因为微震干扰会随深度而减弱。在井中牢固的机械固定使得地面和接收器耦合好，而在海底，由于沉积盖层的剪切强度低，这种耦合就较差。

在钻井回收后，地震信号已经在井孔中被记录。夏威夷大学的中井传感器由3个4.5Hz互相正交的地震检波器一起放在铝罐中，并被放置在具有电子回路的电力箱内。一个93m长的多线铠装电缆连接传感器和记录部件。在记录压力箱上方与电缆相连的是一根摩内梯电线。这根电线长至少是水深1.5倍，有足够大的浮力保证记录器总是停在海底以下。固定桩与电缆的自由端相连，记录器通过激活爆炸装置来回收。电缆自由端浮出表面，记录箱由船上的绞盘收起来，这时检波器仍然留在水中。

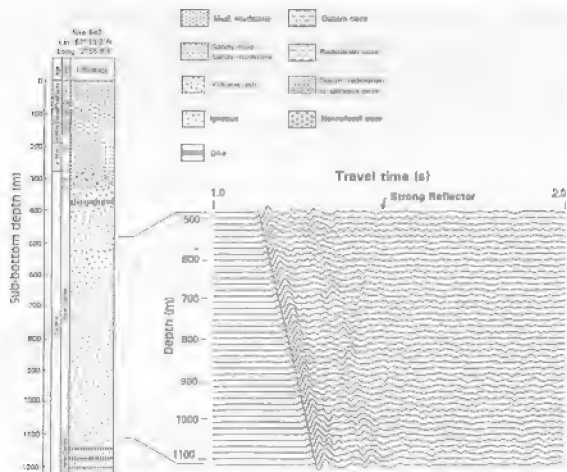


图 11.18 挪威布希士钻井平台 642 站位的垂直地震剖面 (VSP) 实验记录。迹表示了垂直组成的地震检测器的输出结果, 该结果已通过一个 10-10kHz 的带通滤波器处理 (据 Rott Jørgen and Winkler, 1989)。

11.8 温度测量

在广阔的近海调查范围内, 从研究碳氢化合物的产生和成熟度到全球构造过程, 地热梯度都是一个关键的参数。测量工作是将热敏电阻和最大的玻璃水银温度计一起绑在一个测井钻具上来测量井底温度的。在深海, 由 R. E. Von Herzen 设计的热敏探测器已经记录到了钻头前面未受干扰的温度 (Flood 等, 1995)。当用 Jones Resolution 号的先进活套取芯管 (AFC) 进行浅部取样时, 铂电阻被安装在一个取芯套管上进行原位温度测量。在海底放置约 10 分钟达到热平衡后, 工具下降至钻具的末端, 然后通过钻头激发。钻孔底部稳态温度由 10-15 分钟的周期内每隔 5s 一次的温度记录来估计。

钻孔内的连续温度测量, 并不表示热平衡条件, 但能够说明地层流体流动或流出钻孔的运动。例如, 钻穿超压页岩, 常常导致温度梯度大幅度增加, 因为热流体可从深部源进入钻孔中。气体流入孔中会扩张, 并且导致温度降低。如果超过了正常温度范围, 孔内的温度也被用来校正其它测井工具的响应。

在计算未受干扰的地温梯度时，需要考虑岩体流体循环效应。通常的方法是假设钻井底部温度和 $\log(Ar/(Ar + t))$ 之间是线性关系，其中 Ar 是循环停止的时间， t 是钻井在井中的循环时间 (Fertl and Wichmann, 1977)。根据几个钻井底部钻井液的温度时，均衡便是 $Ar/(Ar + t) = 1$ 时的高度。在 Glomar Challenger 号钻床和 Resolute 号钻床中，海水会以底部水的温度进入钻井中，在海底处受到稍微温暖些，因此井的上部加热时底部会冷却，温度校正能够由循环率和循环的总时间计算得出 (Bath and Langseth, 1983)。

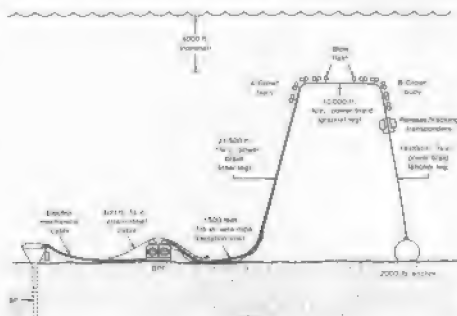


图 11.20 夏威夷大学设计的钻井内地质物探测器和底部记录系统中的设置。根据体导电缆的钻井内仪器包 (BIP) 和记录系统 (BIP) 底部处理包，通过射束 (据 Asper 等, 1983)。

11.9 井中重力

沿海钻井中的重力测量可以作为一种非常规的方法来确定地层的密度，该密度可用孔隙度估算。检测具有异常孔隙度的超压带以及约束由海面测得的重力异常的密度模型。井下仪器也能绘制与复杂构造有关的垂直重力场如地震很难对其边缘成像的盐丘底部。第六章中介绍的振动量具的简化方案和 Inverse-Ramberg 重力仪 (Howell 等, 1988)，后者直径一般约为 100 mm，精度为 $\pm 5 \text{ mGal}$ 。每读一个数大约需要 20 分钟。仪器的零点漂移由孔中间一深度处的重复读数决定。对于在钻井观测圈距离 5 倍大小的一片区域，如果已知深度能精确到 $\pm 50 \text{ mm}$ ，密度测量的精确度能达到 $\pm 0.1 \text{ Mg/m}^3$ ，孔隙度大数能精确到 $\pm 1\%$ 。

11.10 井中磁力测量

与第七章中描述的类似，三分量磁通门和总场质子旋进磁力仪已经发展用作无套管的钻井探测井。仪器用可变弹簧装置于井的中点，每隔 10 cm 测量一次磁场。图 11.21a 显示了海底的地磁

测井记录。测井仪器也被用来测量磁化率,该仪器将一个缠绕在低磁阻材料芯上的线圈同更小的电路相连 (Kjamsaeng, 2000)。线圈最初在“无磁”地层处达到平衡,该处的磁化率很低。当仪器移至磁化率或者电导率不同的区域,电路平衡被破坏。磁化率的改变被解释为电阻抗,并产生感应电压,电导率的改变会产生一个同相电压。磁化率和电导率的数据由检测电路的输出结果来计算。穿透深度大致等于磁化率线圈的半径。该仪器可用来探测富含磁性矿物的岩体,例如磁铁矿和钛铁矿 (图 11.21b)。

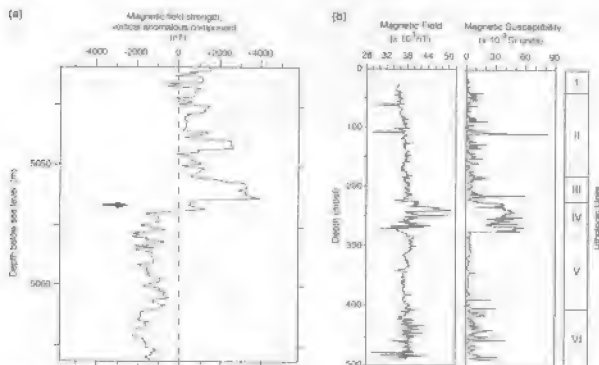


图 11.21 (a) 在中大西洋洋脊的 ISDP 30kA 磁轮, 利用垂直分量磁化率磁方仪检测到的磁异常场 (据 Paramee *et al.* 和 Sornchaiwiboon, 1981); (b) 在西南印度洋洋脊的磁方仪检测到的磁异常场和磁化率的测量, 岩性单元表示如下: I. 透闪石英辉长岩; II. 橄辉岩和含橄辉岩的辉长岩; III. 橄辉石辉长岩和富氧化铁辉长岩互层; IV. 富氧化铁、氧化铁辉长岩; V. 橄辉石辉长岩; VI. 富橄辉石辉长岩和富磁辉长岩。富铁质、氧化铁辉长岩互层除了 II 和 III 单元之外, 磁异常的平均值和峰值信号振幅的变化都与岩性单元的界面吻合较好 (据 Pariso *et al.*, 1991)。

钻孔中核磁共振 (NMR) 测量方法类似于用核子磁力仪来测量总地磁场, 不同之处在于地层中的流体取代了接收传感器中的流体。如核磁共振成像磁共振仪 (MRI), 可以产生一个脉冲磁场, 该磁场使使孔隙流体中的阳离子与地球磁场不同的方向排列 (Sternberger, 1989)。接收器记录每四个脉冲阳离子沿地球磁场方向重新排列时旋进信号的衰减, 单位体积岩石内自由流体的总量 (自由流体指数) 能够由衰减信号的振幅来估计, 振幅表达式为:

$$V(t) = V_0 \exp(-t/T_2) \cos \omega_0 t \quad (11.8)$$

其中 V 是感应线圈中的感应电动势, $V(t)$ 是 t 时刻的电压, T 是能进磁子的横扫描时间, ω 是磁旋角频率。信号处理的基本方法确定在附录 B 中提供了信息。

11.11 随钻测井

随钻测井 (LWD) 用于测量和记录井的实时数据 (Lundquist 等, 1993; Hansen 等, 1992), 以及 μ -Wave Resonance 号上的测压测斜。测压测斜设备由一个钻头之上的实时测量传感器、传感器、电子处理器和自然伽马射线。这种设备随钻钻进记录并条件变化之测井工作已很困难, 减少了钻孔或由于泥土或者颗粒结构膨胀而造成堵塞的风险。传感器的输出结果和测井数据记录式在以测压测斜的实时记录上。测井数据随钻记录以便井下数据测井数据内。测压信息随后通过与钻头运动时间单独记录相匹配的数据记录来提取。

11.12 渗透性测量

地层在有效孔隙度的条件下转移流体的能力 (渗透性) 是它最重要的物理性质之一。它是决定石油储集层经济寿命的主要因素。渗透率也影响流体耗散的速度。渗透率还影响流体在岩石中的化学变化和地表的化学平衡。然而, 它是钻井中最难测量的参数之一。现在的方法主要是靠位流响应之间的经验关系 (Solomon, 1994)。如果一个多孔地层被一流体相饱和, 并且流体和岩石间没有化学反应, 流体流过一个长为 L 横截面积为 A 的区域的速度由下式给出:

$$F_v = \frac{K_p \cdot \Delta P \cdot A}{\eta L} \quad (11.9)$$

其中 ΔP 是流体流过的压力降, Q 是流体流量, K_p 是渗透系数, 它由孔隙度和孔隙大小及孔隙内压力之间的关系决定。它用单位达西表示。达西表示单位为 10^{-8} 的流体在压力梯度为 1 (atmos) 条件下以 1 cm/s 的速度流过 1 (cm) 区域的渗透率。石油储集层中的渗透率通常在 5–500 md 范围内。

渗透率的测量是通过用可渗透的流体来封一部分主密封岩来测定的, 如图 11.22 所示。封隔器由一个渗透的流体激活, 它封隔井下部分地层单元。然后流体流进封隔器, 由泵送主封隔器成为可渗透流体压力。一旦封隔器膨胀, 渗透流体产生的压力等于或者接近的流体压力, 确定。如果你用一个恒压力脉冲, 就能记录流体从封隔器流入地层接触的压力降。流量减小由下式给出:

$$P(r)/P_0 = F(\alpha, \beta) \quad (11.10)$$

其中 $P(r)$ 是距可初始长度 r 处压力的值, P_0 是初始压力常数, α 是一个无量纲的参数, 由存储系数 (S) 和地层的孔隙度来决定; β 也是一个无量纲参数, 由式 (11.9) 决定; L 是一个无量纲参数 (Becker 等, 1994)。

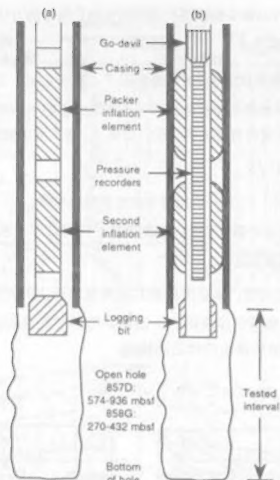


图 11.22 装配在 *Joides Resolution* 岩芯取样器上的可膨胀的钻柱封隔器。(a) 膨胀前和收缩后的双电极封隔器。(b) 油管清道器, 压力记录器和膨胀的封隔器。渗透性在套管底部和钻孔底部之间的间隙内测量。油管清道器引导由船抽进膨胀电极的流体。当封隔器膨胀后, 油管清道器移动, 允许流体直接被抽入实验间隔区内 (据 Becker et al., 1991)。

在高渗透性的地层, 压力迅速衰减。更可靠的测定 K 值的方法利用了隔离区的压力变化, 此时流体以一个常速度涌进, 该速度很小以至于不能产生水力压裂。根据以下关系, 流入流体时压力的增长与时间 t 对数呈线性关系,

$$P(t_i) = (q\eta/4\pi K_p b) \ln(\gamma \phi \eta C_i a^2 / 4K_p t) \quad (11.11)$$

其中 $P(t_i)$ 是从注入开始后在 t_i 时刻超过该处地层压力值的压力。 q 是流入流体的流量, a 是钻孔半径, b 是隔离区域的长度, γ 是欧拉常数。 C_i 和 η 分别是隔离区域流体的压缩系数和动态粘度。

渗透性是由 K 和孔隙度之间的经验关系得出的, 孔隙度是通过电阻率、中子和声波测井测出的, 例如:

$$\log K_p = A \log \phi + B \quad (11.12)$$

其中 A 和 B 是对岩心样品做实验测量所得到的常数。通常的方法是用 Kozeny-Carman 关系

$$K_p = (P_e F S_{pvo})^{-1} \quad (11.13)$$

其中 P_e 是一个经验孔隙形状因子, F 是地层因子 (等式 9.3), S_{pvo} 是单位体积内孔隙的表面积, 由 γ 光谱测井获得。如果孔隙水达到了一个碳氢储集层中不可压缩的最低水平, 渗透性就可由电阻率估算, 尽管常常会有很大的误差。如果 S_{or} 是不可压缩的水的饱和度, 则:

$$K_p = (C_a \phi^3 / S_{or})^2 \quad (11.14)$$

其中 ϕ 由电阻率值得到, C_a 是一个由岩性决定的经验常数。

渗透性可由上述的核磁共振 (NMR) 方法获得, 利用以下关系式

$$K_p = C_{NMR} \phi^4 T_2^2 \quad (11.15)$$

其中 C_{NMR} 是一个经验常数, ϕ 是由核磁共振测量估计出的孔隙度, T_2 是质子旋进的横向弛豫时间, 它是从电压衰减曲线获得的。沿钻井传播的斯通利面波的速度也能够提供渗透率的估计值, 因为它们的传播由流体运动控制。

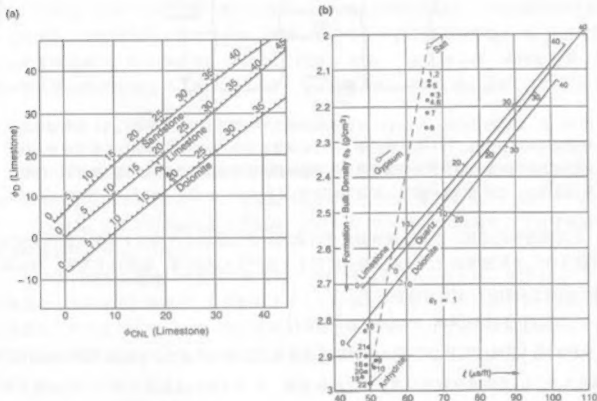


图 11.23 (a) 被流体渗透的纯石灰岩、砂岩和白云岩孔隙度的密度测井和中子测井图;

(b) 密度—孔隙度关系曲线 (据 Schlumberger, 1989, 经 Schlumberger Education Services 的许可引用)。

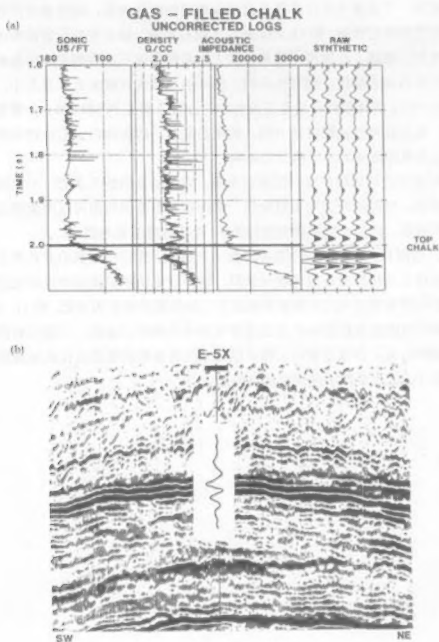


图 11.24 北海气藏勘探的地震合成记录。(a) 评价井 (E-5X) 的测井记录和从声阻抗数据得到的合成地震记录, 在气藏顶部出现地震相倒转; (b) 气藏分层性反射剖面记录的单道合成地震记录图, 深度至 100ms (据 Megson, 1992, 经 Geological Society 的许可后引用)。

11.13 多传感器测井

当用一种传感器测量井周围的物理特性, 例如孔隙度时, 就会有相当大的不确定性。而当用一组探测器测量时, 这种不确定性就会降低, 因为每种探测器对各种地质特征, 例如地层矿物成份、孔隙的几何形态和油气是否存在等的响应不同。数据通常用交汇图来表示。用兼容的测井方法来测同一参数, 不兼容的测井方法来测量不同的参数, 或者将测井曲线和实验室数

据结合起来。根据一个或多个井位作图来总结标准层的测井响应，这样就可以在标准层位缺失时通过测井数据进行地层预测。图 11.23a 展示了纯石灰岩、砂岩和白云岩的密度测井和中子测井的孔隙度（变化）曲线。孔隙度 ϕ 值单位的大小是根据纯石灰岩测井响应的单位范围来确定的。如果井位不在石灰岩层段，则岩性不同，估计的孔隙度可能太大或者太小。图中标识的点 P ($\phi_s=15$, $\phi_n=21$) 的体积百分比是石灰岩和白云岩分别占 70% 和 30%。如果假设这些是该岩层仅有的成分，则其总体的孔隙度是 18%。实现石灰岩、砂岩和白云岩三种岩性成分混合在一点是可能的，但是孔隙度相对不受组分的影响。

图 11.23b 是井位的地层密度—慢度关系图，它所能反映的石灰岩、石英砂岩和白云岩孔隙度的分辨率很差，但能清晰识别出蒸发岩。密度对光电断面的图可以用来确定孔隙度和单矿物矩阵的矿物学特征，因为光电吸收剖面指数 P_b 受孔隙度的影响很小。

从密度和声速测井能得到的一个重要参数—声阻抗。假设已知其沿井孔的变化和一已知的地震信号源，就可以直接算出合成地震记录图。这种合成地震记录图可以研究在地面地震波记录上反射的原因和因为相变和沉积厚度等原因引起的地震波特征的变化。图 11.24a 是北海的一个井位根据测井得来的密度数据和 P 波速度算出的合成地震记录图，它表明相的反转与白垩纪的一个气藏的顶部有关。合成地震记录图可以用来改进参数的处理以提高地震分辨率。密度测井和声波测井联合的优点是能够提供现场声阻抗。